Федеральное государственное бюджетное образовательное учреждение высшего образования «Балтийский государственный технический университет «ВОЕНМЕХ» им. Д.Ф. Устинова»

На правах рукописи

ФИЕВ КОНСТАНТИН ПАВЛОВИЧ

КОНТРОЛЬ, ОЦЕНКА И СНИЖЕНИЕ АВИАЦИОННОГО ШУМА ВБЛИЗИ АЭРОПОРТОВ

1.3.7 - Акустика

Диссертация на соискание ученой степени кандидата технических наук

Научный руководитель: доктор технических наук, доцент, профессор Тюрина Наталья Васильевна

Санкт-Петербург 2024

ОГЛАВЛЕНИЕ

| ВВЕДЕНИЕ | 4 | | | | | | | |
|---|------|--|--|--|--|--|--|--|
| ГЛАВА 1. СОСТОЯНИЕ ПРОБЛЕМЫ И ЗАДАЧИ ИССЛЕДОВАНИЯ | 12 | | | | | | | |
| 1.1. Объекты исследования | 12 | | | | | | | |
| 1.2. Нормирование авиационного шума в жилой застройке | | | | | | | | |
| 1.3. Влияние авиационного шума на жилую застройку | | | | | | | | |
| 1.4. Акустические характеристики самолетов и аэропортов | | | | | | | | |
| 1.5. Расчеты влияния авиационного шума на жилую застройку | | | | | | | | |
| 1.6. Снижение авиационного шума на местности | 33 | | | | | | | |
| 1.7. Основные задачи исследования | 37 | | | | | | | |
| ГЛАВА 2. ВЛИЯНИЕ АВИАЦИОННОГО ШУМА НА ЖИЛУЮ ЗАСТРОЙКУ | OT | | | | | | | |
| ИССЛЕДУЕМОГО АЭРОПОРТА «ПУЛКОВО» | 38 | | | | | | | |
| 2.1. Описание трасс полетов | 38 | | | | | | | |
| 2.2. Методика определения шума в жилой застройке | 43 | | | | | | | |
| 2.3. Характеристики и оценка шума в жилой застройке аэропорта «Пулково» | » 47 | | | | | | | |
| Выводы по главе | 61 | | | | | | | |
| ГЛАВА 3. ИССЛЕДОВАНИЕ АКУСТИЧЕСКОГО ВОЗДЕЙСТЬ | ВИЯ | | | | | | | |
| АЭРОПОРТОВ | 63 | | | | | | | |
| 3.1. Акустическое воздействие различных типов воздушных судов | 63 | | | | | | | |
| 3.2. Влияние траекторий полетов на шум вблизи аэропортов | 77 | | | | | | | |
| 3.2.1 Общие положения | 77 | | | | | | | |
| 3.2.2 Методика контроля авиационного шума за соблюдением | | | | | | | | |
| установленных трасс полета | 79 | | | | | | | |
| 3.2.3 Применение методики контроля шума на примере аэропорта | | | | | | | | |
| «Пулково» | 82 | | | | | | | |
| 3.3. Влияние основных режимов полета на воздействие шума в точках | | | | | | | | |
| наблюдения | 90 | | | | | | | |
| 3.4. Изменения шума в зависимости от расстояния 98 | | | | | | | | |

| 3.4.1 Характер снижения авиационного шума с увеличением расстояния д | ĮΟ | | | | | | | | | |
|---|------|--|--|--|--|--|--|--|--|--|
| летального аппарата в пределах приаэродромной территории | 98 | | | | | | | | | |
| 3.4.2 Снижение шума с увеличением расстояния до аэропорта | 102 | | | | | | | | | |
| Выводы по главе | 107 | | | | | | | | | |
| ГЛАВА 4. РАЗРАБОТКА МЕТОДА РАСЧЕТА ШУМА С УЧЕТ | ГОМ | | | | | | | | | |
| ЭКРНИРУЮЩЕГО ЭФФЕКТА СООРУЖЕНИЙ ПРИ РАЗБ | ЕГЕ | | | | | | | | | |
| САМОЛЕТА | 111 | | | | | | | | | |
| 4.1 Разработка метода расчета шума на защищаемой территории с учетом | | | | | | | | | | |
| экранирующего эффекта сооружений | 111 | | | | | | | | | |
| 4.2 Разработка метода расчета шума с учетом экранирующего эффекта у фас | сада | | | | | | | | | |
| здания на территории аэропорта | 118 | | | | | | | | | |
| 4.3 Теоретические исследования экранирующего эффекта сооружений 1 | | | | | | | | | | |
| 4.4 Экспериментальные исследования экранирующего эффекта зданий в | | | | | | | | | | |
| аэропорту «Пулково» | 125 | | | | | | | | | |
| Выводы по главе | 128 | | | | | | | | | |
| ГЛАВА 5. РЕКМОЕНДАЦИИ ПО СНИЖЕНИЮ АВИАЦИОННОГО ШУМА | 130 | | | | | | | | | |
| 5.1 Общие рекомендации по снижению шума аэропортов | 130 | | | | | | | | | |
| 5.2 Снижение шума установлением правильной траекторией полета | 136 | | | | | | | | | |
| 5.3 Определение экранирующего эффекта зданий | 150 | | | | | | | | | |
| Выводы по главе | 153 | | | | | | | | | |
| ВЫВОДЫ И РЕКОМЕНДАЦИИ 15 | | | | | | | | | | |
| СПИСОК ЛИТЕРАТУРЫ 15 | | | | | | | | | | |
| ПРИЛОЖЕНИЯ 17 | | | | | | | | | | |
| Приложение А. Фотографии с мест проведения измерений 1 | | | | | | | | | | |
| Приложение Б. Результаты проведения мониторинга | | | | | | | | | | |
| Приложение В. Акты внедрения | 273 | | | | | | | | | |

ВВЕДЕНИЕ

Повышенный шум был и остается одной из приоритетных, но сложных проблем охраны окружающей среды. Согласно данным Всемирной организации здравоохранения, здоровье населения на 17-20% зависит от состояния окружающей среды, включая уровни транспортного шума, как одного из доминирующих неблагоприятных факторов окружающей среды. Ha основании Роспотребнадзора количество жалоб на негативное воздействие шума ежегодно увеличивается [1]. При длительном воздействии повышенного шума ухудшается слух человека и возникает тугоухость (а иногда и полная потеря слуха), появляются заболевания сердечно-сосудистой, нервной и других систем. При этом шум распространяется на значительные расстояния, что существенно затрудняет борьбу с ним. Например, зона санитарного разрыва (ЗСР) от высоковольтной линии электропередач по фактору электромагнитного излучения составляет всего несколько десятков метров, а ЗСР для железной или автомобильной дороги по фактору шум может составлять многие сотни метров. Распространение шума на значительные расстояния объясняется не только высокой интенсивностью источников шума, но и особенностями его затухания в пространстве. Отметим также чрезвычайное обилие источников шума, которые «преследуют» человека во всех средах обитания.

Среди многообразных источников шума большую долю составляют средства транспорта: автомобильного, железнодорожного и авиационного. При этом, сравнивая различные виды транспортного шума, отметим, что наиболее трудно достичь снижения авиационного шума. Также, как автомобильный и железнодорожный шум воздействует на территории, расположенные вблизи магистралей, так и авиационный шум, воздействует, в первую очередь, на нормируемые объекты, расположенные вблизи аэропортов, в зоне тяготения взлетно-посадочных полос и маршрутов взлетов. Современный крупный аэропорт – это источник интенсивного акустического загрязнения на площади в многие

тысячи квадратных километров. По отечественным и зарубежным данным, эквивалентные уровни звука на территории жилой застройки, расположенной вблизи аэропортов, могут превышать допустимые нормы на 5-15 дБА (или в 1,5-3 раза по субъективному ощущению громкости) в дневное время [2]. В ночное время эти значения еще выше, поэтому в ряде зарубежных аэропортов пролёты в ночное время запрещены.

Приведенные примеры относятся к случаям, когда жилая застройка располагается на расстоянии нескольких километров от аэропорта. Значительно более серьёзные цифры превышений (20-25 дБА и более) регистрируются, когда жилая застройка расположена в нескольких сотнях метров от взлётно-посадочной полосы (ВПП) аэропорта.

Примеров аэропортов, вблизи которых расположена жилая застройка на территории Российской Федерации, большое множество, назовем лишь некоторые из них:

- 1) жилая застройка у аэропорта «Пулково» в г. Санкт-Петербург базируется на расстоянии порядка 900 м от ВПП, что составляет около 40 м от границы территории аэропорта;
- жилая застройка у аэродрома «Авиационно-ремонтный завод №123» в
 Старая Русса базируется на расстоянии 400 м от ВПП и на расстоянии порядка
 м от границы территории аэродрома;
- 3) жилая застройка у аэропорта «Минеральные воды» в г. Минеральные воды базируется на расстоянии около 1000 м от ВПП и на расстоянии порядка 30 м от границы территории аэропорта.

Авиационная акустика — один из самых солидных разделов инженерной акустики, при этом проблема шума аэропортов, связанная с негативным воздействием авиационного шума на человека и его снижением, является чрезвычайно актуальной.

Степень разработанности темы исследования

Проблему снижения авиационного шума, в том числе, экранированием изучали известные отечественные учёные: М.В. Буторина, В.Ю. Захаров, М.О. Картышев, О.А. Картышев, В.В. Медведев, Н.К. Кирюшкина, Н.И. Николайкин, М.А. Пинигин, В.Ф. Самохин, А.Г. Мунин, В.Е. Квитко, Б.В. Мельников, В.И. Токарев, Е.В. Власов, Е.М. Малков, А.В. Стерликов, Ю.Д. Халецкий, Д.П. Шумков, Г.А. Личутин, И.А. Сухорукова, Э.В. Сазонов, А.Е. Шашурин, Н.В. Тюрина, а также зарубежные ученые: L.М. Lilley, А.L. МсРіке, М.R. Fink, J.L. Peters, C.D. Zevitas, C.J. Roof, G.A. Wellenius и другие.

Однако, на наш взгляд, дополнительного исследования требуют вопросы оценки и снижения авиационного шума в жилой застройке, расположенной вблизи аэропортов и в частности, взлетно-посадочных полос (ВПП), при таких наиболее шумных операциях, как разбег, взлёт воздушных судов (ВС). В данных операциях самолёты генерируют наиболее высокие уровни шума. В настоящее время достаточно полно изучен вопрос распространения шума в жилой застройке от автомобильных потоков и поездов, но специфика процессов образования шума в аэропорту и на территории вблизи расположенной жилой застройки, связанная с изменением положения ВС на ВПП и в воздушном пространстве, а также снижения шума зданиями и сооружениями в аэропорту требует специального изучения. Для решения поставленных задач необходимо изучить влияние основных режимов, траекторий движения и расстояния до ВС на акустическое воздействие на селитебную территорию, а также рассмотреть вопросы, связанные с особенностями экранирования авиационного шума в аэропортах.

Научно-техническая гипотеза:

Разработка расчетной модели и расчетных формул для определения шума с учетом эффекта экранирования зданиями и сооружениями, расположенными вблизи взлетно-посадочной полосы аэропортов, позволит уточнить и упростить оценку уровней шума на селитебной территории и в нормируемых помещениях на территории аэропортов, а также разработать наиболее эффективные шумозащитные мероприятия.

Цель диссертационного исследования: Оценка акустического воздействия вблизи аэропортов при изменении расстояния, режима и трасс полётов, а также снижение шума в жилой застройке и нормируемых объектах аэропорта.

Задачи исследования:

Основываясь на результатах аналитического обзора проблемы, были сформированы следующие задачи исследования:

- 1. Определить параметры шумового загрязнения в районах Санкт-Петербурга и Ленинградской области, подвергающихся действию авиационного шума, вблизи аэропорта «Пулково», разработать требования к шумозащите;
- 2. Определить акустическое воздействие, создаваемое различными типами воздушных судов, выделить наиболее шумные;
- 3. Разработать методику мониторинга авиационного шума, учитывающую отклонение воздушных судов от установленных маршрутов взлета, проанализировать результаты мониторинга с целью определения шумовой нагрузки в точках измерений при изменении трасс полетов воздушных судов на примере аэропорта «Пулково»;
- 4. Экспериментально уточнить закономерности снижения шума от воздушных судов с изменением расстояния, а также при различных режимах полетов;
- 5. Используя теорию, основанную на методе последовательного преобразования звуковых полей, получить формулы расчетов экранирующего эффекта в жилой застройке и на территории аэропорта в течении разбега по ВПП;
- 6. Выполнить теоретические исследования экранирующего эффекта сооружений и экспериментальную проверку полученных теоретических данных;
 - 7. Разработать общие рекомендации по снижению шума вблизи аэропортов.

Объект исследования: в качестве объекта исследования выбран аэропорт «Пулково», находящийся в г. Санкт-Петербург.

Предмет исследования: характеристики шума вблизи аэропорта и требования к его снижению, закономерности шумообразования, а также пути его снижения.

Научная новизна:

- исследовано влияние основных режимов и траекторий полёта, а также расстояния, на шум вблизи аэропортов;
- при принятом допущении об аппроксимации самолёта при разбеге линейным источником шума исследован экранирующий эффект сооружений, расположенных вблизи ВПП;
- получены формулы для расчета шума с учетом экранирующего эффекта близрасположенных к ВПП зданий, теоретически изучена связь снижения шума с конструктивными параметрами зданий.

Практическая значимость (полезность):

- разработаны рекомендации по снижению шума вблизи аэропортов;
- получены численные зависимости снижения шума вблизи аэропортов с увеличением расстояния;
- получены численные значения связи акустических характеристик с траекторией полёта;
- экспериментально определен экранирующий эффект зданий в зависимости от их размеров;
- разработаны рекомендации по выбору траекторий полёта, обеспечивающих снижение шума вблизи аэропортов.

На защиту выносится:

- 1. характеристики шума в жилой застройке вблизи аэропорта «Пулково», данные сравнения с санитарными нормами и требования к снижению шума;
- 2. экспериментальные данные об акустическом воздействии различных типов воздушных судов на селитебную территорию;

- 3. установленные значения влияния режимов полета самолета на шум аэропорта;
- 4. установление закономерностей снижения шума при увеличении расстояния от ВПП и аэропорта;
- 5. методика определения влияния траекторий полета на шум в жилой застройке и результаты измерений шума в контрольных точках при изменении траекторий полета самолета;
- 6. методика расчёта шума с учетом экранирующего эффекта близрасположенных к ВПП зданий и сооружений;
- 7. результаты теоретического исследования полученных зависимостей;
- 8. разработка общих рекомендаций по снижению шума в аэропортах;
- 9. результаты апробации предложенных решений.

Степень достоверности:

Достоверность диссертационного исследования подтверждается серией экспериментов, выполненных в натурных условиях с использованием высокоточной акустической аппаратуры, использованием современных методик испытаний и обработки информации, результатами апробации согласно теме диссертации.

Апробация результатов исследования:

Основные положения диссертационной работы, а также результаты проведенных научных исследований были обсуждены и представлены на заседаниях кафедр «Экология и БЖД», «Экология и производственная безопасность» БГТУ «ВОЕНМЕХ» в 2021, 2022 и 2024 годах.

Основные положения диссертации докладывались и обсуждались на российских конференциях с международным участием3:

- 1. VI Всероссийской научно-практической конференции с международным участием «Защита от повышенного шума и вибрации», 21–23 марта 2017 г. Санкт-Петербург;
- 2. Третьей Всероссийской конференции молодых ученых и специалистов "Акустика среды обитания", 18 мая 2018 г. Москва;

- 3. VII Всероссийской научно-практической конференции с международным участием «Защита от повышенного шума и вибрации», 19–21 марта 2019 г. Санкт-Петербург.
- 4. IX Всероссийской научно-практической конференции с международным участием «Защита от повышенного шума и вибрации», 26–28 апреля 2023 г. Санкт-Петербург.

Внедрение результатов исследования:

Рекомендованные автором мероприятия внедрены в аэропорту «Пулково» и ООО «ПКФ Цифровые Приборы».

Личный вклад соискателя учёной степени в получении результатов, изложенных в диссертации, заключается в том, что автором выполнены: обзор литературных источников, теоретические и экспериментальные исследования. Диссертационная работа в полном объёме является самостоятельным исследованием. В работах, написанных в соавторстве, автор сформулировал принципы постановки задач, предложил решения поставленных задач, описал проводимые эксперименты и их результаты, сформулировал окончательные выводы по проведённым исследованиям.

Публикации:

По материалам диссертации опубликовано 7 работ, в том числе 5 в списке журналов, рекомендованных ВАК.

Соответствие научно-квалификационной работы паспорту научной специальности:

Тема диссертации соответствует пункту 6 паспорта научной специальности 1.3.7 «Акустика», отрасль науки — технические науки: 6. Акустика газовых сред, аэроакустика, приём и обработка звуковых сигналов в воздухе, мониторинг источников акустического шума в атмосфере, акустическая экология.

Структура и объём работы:

Диссертация состоит из введения, 5 глав, выводов и рекомендаций, списка использованных источников из 112 наименований, 3 приложений; изложена на 274 страницах машинописного текста, в т. ч. содержит 64 таблиц, 65 рисунков.

Автор приносит благодарность своим коллегам — сотрудникам кафедры «Экологии и производственной безопасности» Балтийского государственного технического университета (далее БГТУ) им. Д.Ф. Устинова, коллективу Испытательной лаборатории и Отделу акустики ООО «Институт акустических конструкций», научному руководителю доктору технических наук Н.В. Тюриной, за неоценимую помощь при подготовке в написании диссертации.

ГЛАВА 1. СОСТОЯНИЕ ПРОБЛЕМЫ И ЗАДАЧИ ИССЛЕДОВАНИЯ

1.1 Объекты исследования

Исследование авиационного шума в настоящем исследовании выполнено на примере аэропорта «Пулково».

В территориальном отношении участок аэропорта «Пулково» расположен в Московском административном районе г. Санкт-Петербурга.

Территория аэропорта общей площадью около 1300 га граничит:

- с севера с производственными, транспортно-логистическими, общественно-деловыми и складскими территориями, жилой застройкой Авиагородка и садовыми участками;
- с востока с Пулковским шоссе и общественно-деловыми территориями, включая подъездные пути к аэровокзальному комплексу «Пулково-1»;
 - с запада с незастроенной территорией города;
- с юга с землями Ленинградской области; с территорией, зарезервированной для развития аэропорта на долгосрочную перспективу; районом города Санкт-Петербурга Горелово [3].

Рельеф территории спокойный с абсолютными отметками от 16,0 м до 22,0 м с понижением рельефа от юго-восточной части территории к северной и восточной её частям.

В настоящее время к территории аэропорта подходят транспортные пути от Пулковского шоссе, к пассажирским терминалам «Пулково-1» и «Пулково-2».

На рисунке 1.1 представлена схема аэропорта «Пулково».



Рисунок 1.1. – Схема аэропорта «Пулково»

В структуру аэропорта «Пулково» в настоящее время входят следующие службы и подразделения: аэровокзалы «Пулково-1» и «Пулково-2», аэродромная взлетно-посадочными служба полосами, организации пассажирских перевозок, служба организации международных перевозок, база эксплуатации радиотехнического оборудования и связи, электро-светотехническое обеспечение производства, автобаза служба спецавтотранспорта, теплотехнического и санитарно-технического обеспечения, служба главного механика, экспериментальный ремонтно-строительная база. цех, мусоросжигательная станция, жилищно-коммунальный отдел, гостиница, цех приготовления бортового питания, административные корпуса штаба аэропорта и ряд других вспомогательных служб.

Характерной особенностью аэропорта «Пулково» является близкое расположение (от 850 до 920 м) по отношению к ВПП жилого района Авиагородка, а также наличие многочисленных зданий и сооружений внутри аэропорта, расположенных на незначительном расстоянии (от 120 до 200 м) от ВПП.

1.2. Нормирование авиационного шума в жилой застройке

Санитарными нормами, регламентирующими допустимые уровни шума в помещениях и на территориях, являются СанПиН 1.2.3685-21 [4] и СанПиН 2.1.3684-21 [5]. В таблице 1.1. приведены выборочные допустимые значения, установленные [4].

Таблица 1.1. Нормируемые параметры шума

| | | | Для источников постоянного шума | | | | | | | | Для источников непостоянного шума | | | |
|---------|--|---------------------------------------|--|----------|-----|----------|-----|------|--------------------------|----------|--------------------------------------|---------------------------------|--|--|
| No | Назначение по- | | Уровни звукового давления, дБ, в октавных полосах со средне- геометрическими частотами, Гц Уровни | | | | | | | | Эквива- | Макси- | | |
| п/ п | мещений или территорий | Время суток | 31,5 | 63 | 125 | 250 | 500 | 1000 | гами, Г <u>ц</u> 2000 | 4000 | 8000 | Уровни звука L(A),дБ А | уровни ур звука L зв (Аэкв.), (А | мальные уровни звука L (Амакс.), дБА |
| 1 | Жилые ком- наты квартир, домов стацио- нарных | с 7 до 23 ч. | 79 | 63 | 52 | 45 | 39 | 35 | 32 | 30 | 28 | 40 | 40 | 55 |
| | организаций социального обслуживания, организации для детей-сирот и детей, оставшихся без попечения родителей, спальные помещения в школахинтернатах, дошкольных образовательных организациях, домов отдыха, пансионатов | с 23 до 7 ч. | 72 | 55 | 44 | 35 | 29 | 25 | 22 | 20 | 18 | 30 | 30 | 45 |
| 2 | Торговые залы магазинов, пас- сажирские залы аэропор- тов и вокзалов | - | 93 | 79 | 70 | 63 | 59 | 55 | 53 | 51 | 49 | 60 | 60 | 75 |
| 3 | Территории, непосредственно прилегающие к | с 7 до 23 ч. С 23 | 83 | 67 | 57 | 49 | 44 | 40 | 37 | 35 | 33 | 45 | 45 | 60 |
| | зданиям больниц и санаториев | до 7 ч. | 76 | 59 | 48 | 40 | 34 | 30 | 27 | 25 | 23 | 35 | 35 | 50 |
| 4 | Территории, непосредственно прилегающие к зданиям жилых домов, домов отдыха, пансионатов, домов-интернатов, дошкольных образований и других образовательных организаций | С 7 до 23 ч. С 23 до 7 ч. | 90 | 75 67 | 57 | 59 49 | 54 | 50 | 37 | 45 35 | 33 | 55 45 | 55 45 | 70 60 |

| 5 | Границы сани- | С 7 до | 90 | 75 | 66 | 59 | 54 | 50 | 47 | 45 | 44 | 55 | 55 | 70 |
|---|-----------------|--------|----|----|----|----|----|----|----|----|----|----|----|----|
| | тарно-защитных | 23 ч. | | | | | | | | | | | | |
| | 30Н | | | | | | | | | | | | | |
| | | C 23 | | | | | | | | | | | | |
| | | до 7 | 83 | 67 | 57 | 49 | 44 | 40 | 37 | 35 | 33 | 45 | 45 | 60 |
| | | ч. | | | | | | | | | | | | |
| 6 | Территории, | С 7 до | 93 | 79 | 70 | 63 | 59 | 55 | 53 | 51 | 49 | 60 | 60 | 75 |
| | непосредственно | 23 ч. | | | | | | | | | | | | |
| | прилегающие к | | | | | | | | | | | | | |
| | зданиям гости- | C 23 | | | | | | | | | | | | |
| | ниц и общежи- | до 7 | 86 | 71 | 61 | 54 | 49 | 45 | 42 | 40 | 39 | 50 | 50 | 65 |
| | тий | ч. | | | | | | | | | | | | |
| 7 | Площадки от- | - | 83 | 67 | 57 | 49 | 44 | 40 | 37 | 35 | 33 | 45 | 45 | 60 |
| | дыха, функцио- | | | | | | | | | | | | | |
| | нально выделен- | | | | | | | | | | | | | |
| | ные на террито- | | | | | | | | | | | | | |
| | рии микрорайо- | | | | | | | | | | | | | |
| | нов в групп жи- | | | | | | | | | | | | | |
| | лых домов, до- | | | | | | | | | | | | | |
| | мов отдыха | | | | | | | | | | | | | |
| | площадки до- | | | | | | | | | | | | | |
| | школьных и дру- | | | | | | | | | | | | | |
| | гих образова- | | | | | | | | | | | | | |
| | тельных органи- | | | | | | | | | | | | | |
| | заций | | | | | | | | | | | | | |
| | | | | | | | | | | | | | | |
| | | | | | | | | | | | | | | |

Нормируемыми параметрами постоянного шума являются уровни звукового давления, дБ, и уровни звука, дБА, а непостоянного шума - эквивалентные уровни звука ($L_{\text{Аэкв}}$), дБА, и максимальные уровни звука ($L_{\text{Амакс}}$), дБА.

Основным источником шума в аэропортах являются летательные аппараты (ЛА), в основном, самолеты. Авиационный шум имеет ярко выраженный непостоянный характер, а, следовательно, его акустическими характеристиками являются эквивалентный ($L_{\text{Аэкв}}$) и максимальный ($L_{\text{Амакс}}$) уровни звука.

В отечественных нормах, в отличии от зарубежных, нормируются показатели для двух временных интервалов суток (день и ночь). Зарубежные нормы приняты для трех временных интервалов суток (день, вечер и ночь).

Согласно СанПиН 2.1.3684-21 уровень авиационного шума не должен превышать предельно допустимый уровень (ПДУ) эквивалентного уровня звука для дневного и ночного времени суток, определенный гигиеническими нормативами для территорий, непосредственно прилегающих к жилой застройке [5].

Отечественные нормы шума не зависят от типа источников транспортного шума. За рубежом принят иной подход: в силу установленных закономерностей

различного влияния на человека разных источников шума из-за времени их действия, спектрального состава и др., шум авиационного транспорта нормируется иначе, чем, например, шум железнодорожного или автомобильного [6,7,8,9].

Для примера в таблице 1.2. приведены нормы авиационного шума для разных стран мира, где нормируемый параметр $L_{\text{Аэкв}}$, дБА.

Таблица 1.2. Нормативные значения уровней авиационного шума для различных стран мира

| Страна | Нормативное значение L _{Аэкв} , дБА |
|--|--|
| США | 75 |
| Австрия | 75 |
| Германия, Люксембург | 75 |
| Канада, Ган-Конг, Испания | 77 |
| Великобритания: гражданская авиация, военная авиация | 72 |
| Дания, Швеция | 70 |
| Франция | 74 |
| Новая Зеландия | 75 |
| Швейцария | 78 |
| Норвегия | 70 |
| Израиль | 75 |
| Нидерланды | 75 |
| Италия | 73 |
| Ирландия, Португалия | 75 |
| Я пония | 75 |
| ИКАО | 75 |
| CCCP | 65 |
| Украина | 75 |

Нормируемые параметры лежат в широких пределах от 65 до 78 дБА. Зарубежные нормы гораздо менее жёсткие, чем отечественные, в этих нормах зачастую отсутствует допустимое значение $L_{\text{Амакс}}$. Тем не менее, отечественные нормы непостоянного авиационного шума (можно предполагать, что при таковом

воздействии организм человека частично адаптируется к вредному шуму) должны быть менее жесткими, чем, например, автотранспортного.

В отечественном ГОСТ 22283-2014 приведены нормативные значения шума на территории жилой застройки вблизи аэропортов более высокие, чем в санитарных нормах (табл. 1.3.) [9].

Для наглядности в таблице 1.3 приведены также допустимые уровни непостоянного шума, принятые в Российской Федерации согласно [4,9].

 Документ
 Время суток
 Допустимый L_{Аэкв}, дБА
 Допустимый L_{Амакс}, дБА

 ГОСТ 22283
 День
 55
 75

 Ночь
 45
 65

 СанПин 1.2.3685
 День
 55
 70

45

60

Ночь

Таблица 1.3 - Нормы авиационного шума на территории жилой застройки

Нетрудно заметить, что согласно ГОСТ 22283 допустимыми считаются на 5 дБА более высокие значения $L_{\text{Амакс}}$, чем установлены СанПиН 1.2.3685, что, вероятно, оправдано.

Средневзвешенным показателем допустимых уровней авиационного шума, определяющих зону запрещения жилой застройки в западных странах, являются эквивалентные уровни звука для дневного времени суток 65 дБА и для ночного времени суток - 55 дБА. Значение максимального уровня звука используется как дополнительный показатель при расчете требуемой звукоизоляции ограждающих конструкций зданий [8].

Определенным разумным компромиссом, связанным с трудностью соблюдения жестких отечественных норм, предлагается введение зонирования территорий по уровням шума, представленное в таблице 1.4 [10, 11].

Таблица 1.4. Зонирование территории в районе аэропортов при эксплуатации воздушного транспорта

| Prova ovrov | Уровни шума, дБА | | | | | | | | | |
|-------------|---|--|---------------------------------|-------------------------|--|--|--|--|--|--|
| Время суток | Территория А | Территория Б | Территория В | Территория Г | | | | | | |
| Время суток | Пригодность территории для жилой застройки | итории для жилой застройки с повыштории для шенной звукоизолящией наружных | | | | | | | | |
| | L _{Аэкв} ≤ 60 при полетах | 61 ≤ L _{Аэкв} ≤ 65 | L _{Аэкв} > 65 | L _{AЭКВ} > 65 | | | | | | |
| 07.00-23.00 | L _{Аэкв} ≤ 55 при опробовании двигателей | | | | | | | | | |
| | L _{Amake} ≤ 80 | $81 \le L_{Amakc} \le 85$ | $81 \le L_{Amakc} \le 85$ | L _{Amakc} > 85 | | | | | | |
| | L _{Аэкв} ≤ 50 при полетах | $51 \le L_{A_{3KB}} \le 55$ | $56 \le L_{\text{Аэкв}} \le 60$ | L _{Аэкв} > 60 | | | | | | |
| 23.00-07.00 | L _{Аэкв} ≤ 45 при опробовании двигателей | | | | | | | | | |
| | L _{Amakc} ≤ 70 | $71 \le L \le 75$ | $76 \le L \le 80$ | $L_{Amakc} > 80$ | | | | | | |

Согласно предложению, представленному в таблице 1.4, в зависимости от УЗ на селитебной территории в районе аэропортов пригодность территорий для размещения жилой застройки делится на:

- территория категории A ($L_{\text{Аэкв}}$ < 50 дБA ночью) строительство жилья разрешается без ограничений;
- территория категорий Б и В (51 дБА \leq $L_{\text{Аэкв}} \leq$ 60 дБА) разрешается строительство зданий с повышенной звукоизоляцией наружных ограждений;
- территория категории Γ ($L_{\text{Аэкв}}$ >60 дБА) запрещается размещение жилых зданий.

В нашей стране немало аэропортов («Пулково», «Адлер», «Домодедово», «Шереметьево» и т.д.), где жилая застройка вплотную приближена к аэропорту, при этом зачастую эквивалентные уровни звука, измеренные у фасадов зданий

превышают выбранный критерий. Исходя из этого положения, в диссертации рассматриваются, в основном, условия расположения жилой застройки вблизи аэропортов, а формализация определения «вблизи» определяется указанным критерием ($L_{\text{Аэкв}} > 60 \text{ дБA}$).

В заключении этого раздела надо отметить огромную роль ИКАО в создании технических норм шума пассажирских самолетов. Действительно, появление первых пассажирских реактивных самолетов (ТУ-104, Boing – 707 и др.) вызвало резко негативную реакцию жителей ближайших к аэропорту поселков и городов. Этот шум был невыносим, максимальный УЗ достигал нередко более 110 дБА. Уже в начале 60-х годов прошлого столетия в ИКАО пришли к необходимости регламентировать шум самолетов на местности. В ИКАО был создан комитет по авиационному шуму самолетов и в 1971 году были приняты первые нормы по шуму самолетов (приложение 16 Чикагской конвенции).

С тех пор регулярно нормы шума ужесточаются (рисунок 1.2).

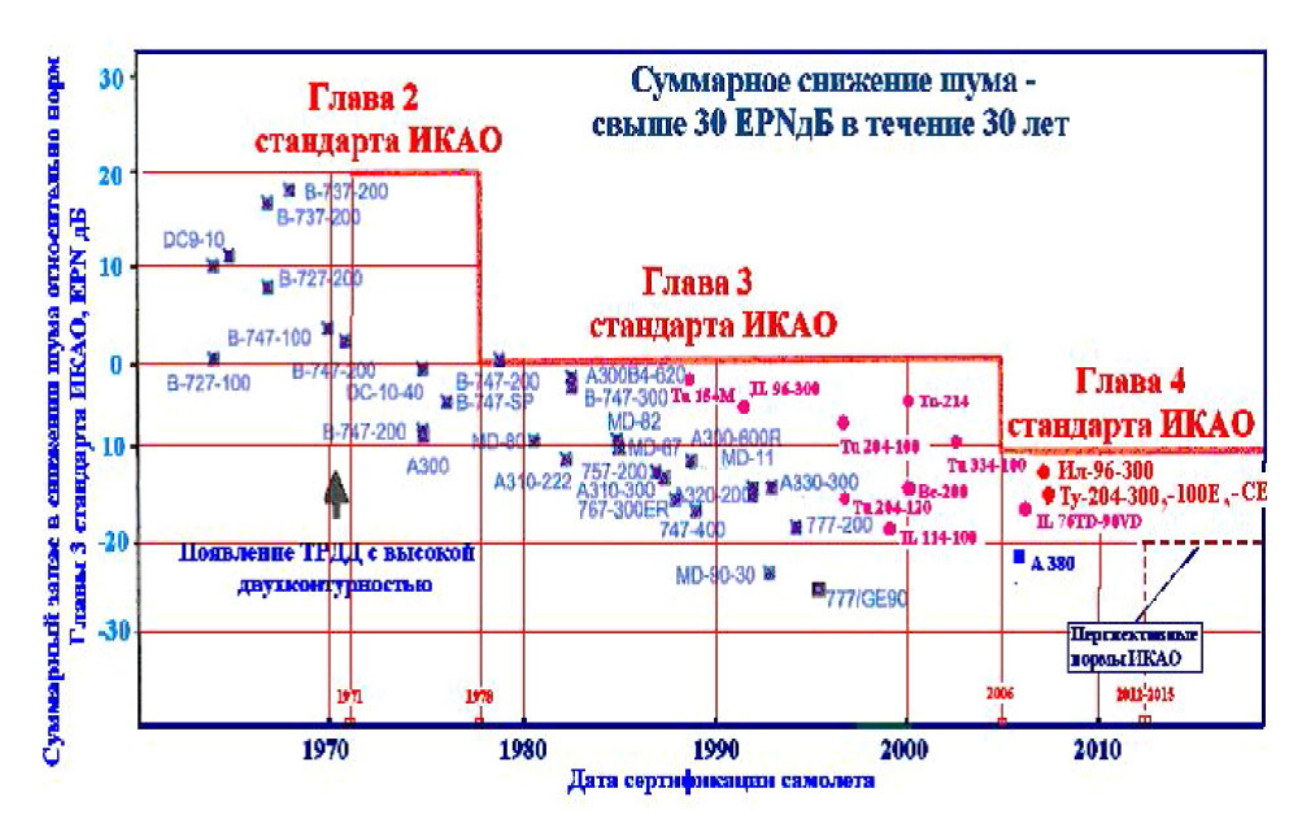


Рисунок 1.2 – График изменения норм шума в периоды с 1970 по 2010 годы

В 70-е годы, в связи с внедрением в гражданскую авиацию турбореактивных двигателей с высокой степенью двухконтурности, произошло снижение шумности самолетов. Это позволило ужесточить нормы и в 1978 году появились новые, более жесткие требования к уровням шума, сформулированные в Главе 3 тома 1 Приложения 16. В настоящее время приняты ИКАО в 2001 году новые нормы, известные как нормы Главы 4 стандарта ИКАО [12]. Эти нормы жестче норм "Главы 3" на 10 ЕРN дБ в сумме по трем контрольным точкам на местности. Динамика ужесточения норм ИКАО рассмотрена на рисунке 1.1. За 34 года, прошедшие после появления в 1971 г первых норм, ужесточение нормативных требований ИКАО к уровням шума на местности самолетов транспортной категории составляет 30 ЕРNдБ в сумме по трем контрольным точкам на местности. Это можно характеризировать, как ужесточение на 30 дБА. Указанная мера привела к тому, что современные самолеты не менее чем на 40-50 дБА менее шумные, чем первые образцы (табл.1.5) [12].

Таблица 1.5. Изменение шума самолётов фирмы «Боинг».

| Год выпуска | Эффективный уровень восприни- маемого шума, дБ FPNL |
|-------------|--|
| 1960 | 123 |
| 1970 | 105 |
| 1985 | 91 |
| 1999 | 85 |
| | |
| | 1960 1970 1985 |

Рост числа взлетов и посадок ведет к увеличению пропускной способности, постройке дополнительных взлетно-посадочных полос (или реконструкции старых) с каждым годом приводит к тому, что сфера влияния аэропортов на прилегающую территорию увеличивается. Эту проблему усугубляет еще и тот

фактор, что города ведут строительство жилых домов все ближе и ближе к территории аэропортов.

Затраты на борьбу с авиационным шумом составляют значительные суммы. Например, программы звукоизоляции зданий в районе аэропортов в Сиднее и Аделаиде составляют \$ 470 000 000, в Бостонском аэропорту \$ 140 000 000, в Сан-Франциско \$ 153 000 000 и в Детройте \$ 118 000 000 [13].

Решена ли проблема воздействия авиационного шума на население? Этому вопросу посвящен следующий раздел настоящей работы.

1.3 Влияние авиационного шума на жилую застройку

В освещении вопросов влияния авиационного шума на жилую застройку, выбора мест мониторинга авиационного шума, оценку ущерба здоровью человека от воздействия авиационного шума и др. в нашей стране особая роль принадлежит О.А. Картышеву, которым (чаще всего в соавторстве) опубликовано большое число работ, посвященных проблеме авиационного шума на местности [14-28].

Автор указывает, что на приаэродромных территориях 30 аэропортов Российской Федерации с наибольшей интенсивностью движения воздушных судов до 6,5 млн человек проживают в условиях сверхнормативного воздействия авиационного шума ($L_{\text{Аэкв}} > 45$ дБА). [7]. Жители этих населенных пунктов жалуются на повышенный шум, требуют запретить полеты в ночное время, компенсировать ущерб здоровью, а также требуют переселения в более благоприятное жилье. К сожалению, последняя (кардинальная) мера зачастую невыполнима, так как в отечественном законодательстве отсутствует правовой механизм решения этого вопроса. Для примера, численность населения, подвергающегося в дневное время сверхнормативному воздействию (больше 55 дБА) на территориях 90 европейских аэропортов составило около 5 млн человек [10].

Такой контраст с ситуаций в отечественных аэропортах объясняется тем, что во многих европейских аэропортах запрещены полеты в ночное время.

Упомянутый автор приводит очень яркие значения превышений норм шума. Приведенными им измерениями авиационного шума на преддомовой территории и в жилых помещениях зафиксированы превышения предельно допустимых эквивалентных УЗ на 25-35 дБА и максимальных УЗ на 25-40 дБА [14].

Некоторое представление об абсолютных значениях УЗ можно получить из работ [15,16]. Так жители поселка «Красный путь» вблизи аэропорта «Домодедово» подверглись воздействию шума, уровни которого составили 86-92 дБА, что значительно превысило нормы [16]. При измерениях шума вокруг аэропорта «Саратов-Центральный» было выявлено, что в зоне повышенного воздействия шума оказались сотни жилых домов и многие десятки школ, лечебных и др. заведений [16].

При этом автор отмечает, что современный аэропорт характеризуется множеством источников шума, но основным и превалирующим фактором является авиационный шум, возникающий при полетах ВС [17].

В работе [18] указывается, что эквивалентные УЗ в районе аэропорта «Пулково» в отдельных точках превышают допустимые нормы на 5-7 дБА в дневное время и на 9-13 дБА в ночное.

Перечисленные факторы подтверждают, что, несмотря на успехи авиационной акустики, проблема снижения авиационного шума остается актуальной.

Как воздействует авиационный шум на человека? Всемирная организация здравоохранения (ВОЗ) предложила 3 основных критерия оценки воздействия шума на человека:

- воздействие на сердечно сосудистую систему;
- влияния шума на сон;
- вызываемое шумом раздражение.

Известный немецкий ученый Т. Шульц представил интегральные кривые воздействия шума от различных источников (Рисунок 1.3) [29].

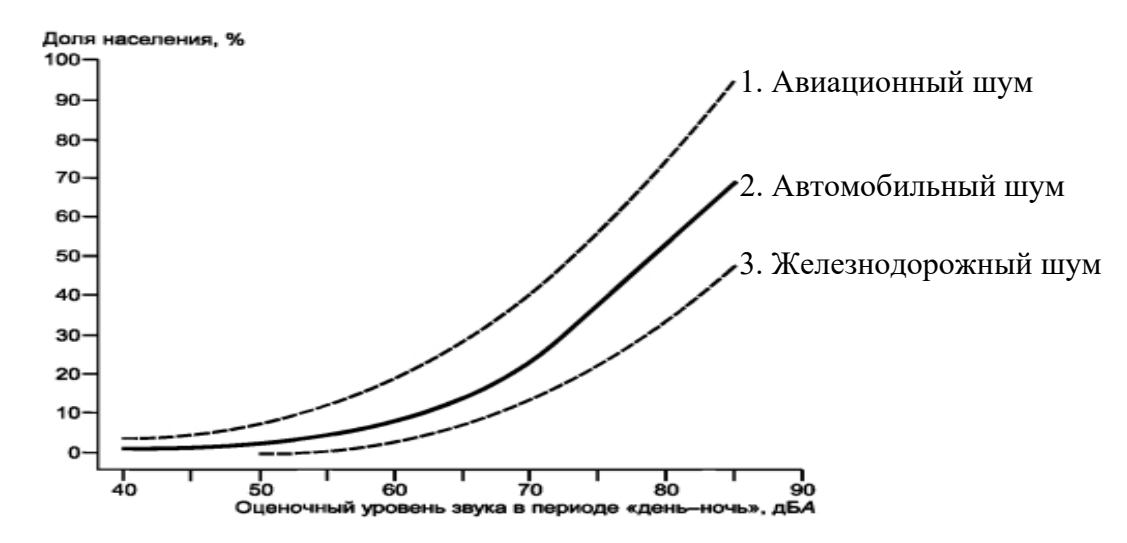


Рисунок 1.3 – Интегральные кривые воздействия шума из различных источников Т. Шульца.

По представленным им данным авиационный шум оказывает наиболее вредное действие на организм человека [29].

Таким образом, для исследуемого аэропорта «Пулково» следует провести измерения УЗ и, сравнив с СН, определить величины его требуемого снижения.

1.4 Акустические характеристики самолетов и аэропортов

Вопросами образования шума самолётов, а также вопросам шумообразования на местности посвящена обширная литература [10-110].

Процессы шумообразования. Основным источником шума самолётов является двигательная установка [30, 31]. Источники шума реактивного двигателя самолёта: вентиляторы, компрессор, камера сгорания, турбина. Эти источники характеризуются шумом аэродинамического происхождения: шум, возникающий из-за образования вихрей у твердых границ потока; шум, возникающий из-за периодических изменений потока на лопатках и лопастях. Влияние этих источников на шумообразование самолёта может фиксироваться на отдельных режимах полёта самолёта. Основным источником шума двигателя является струя выхлопных газов, генерирующая турбулентный шум вдали от твердых границ при перемешивании потоков (шум свободной струи).

В настоящее время применяются только двухконтурные двигатели с высокой степенью двухконтурности. При повышении степени двухконтурности двигателя уровни шума могут быть снижены до 15 дБА [32]. При посадке, когда мощность двигателя снижается, на фоне шума реактивной струи прослеживается шум вентилятора. Определенную роль в снижении шума реактивного двигателя играет звукопоглощение [30]. На Рисунке 1.4 показан вклад основных источников шума с звукопоглощающими конструкциями с разной степенью двухконтурности.

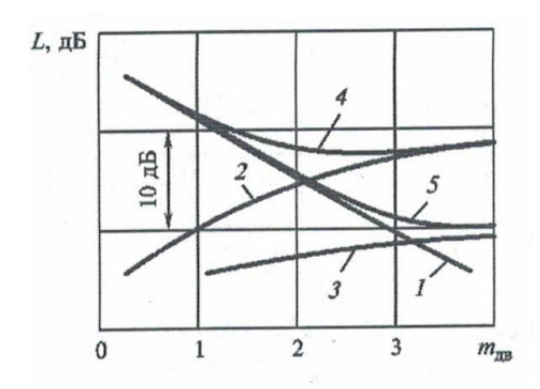


Рисунок 1.4 — Относительный вклад источников шума реактивных двигателей: 1-струя; 2- вентилятор, турбина; 3-вентилятор, турбина со звукопоглощением (ЗПК); 4-суммарный шум двигателя без ЗПК; 5-то же с ЗАК ($m_{\rm дв}$ -степень двухконтурности)

Из рисунка 1.4 виден эффект ЗПК (более 10 дБА), а также превалирование шума вентилятора при высокой степени двухконтурности. Здесь: $m_{дв}=G_1/G_2$, где G_1 , G_2 - расход воздуха через внешний и внутренний контуры двигателя соответственно. Основное влияние на шум струи оказывает её скорость. По теории Д. Лайтхилла, акустическая мощность струи зависит от ёё скорости в бй (для скорости ниже 150 м/с) или в 8й (для скорости выше 150 м/с) степени [33-34]. Чем выше степень двухконтурности, тем меньше скорость струи и ниже уровни, излучаемого её, шума.

Шум реактивного двигателя зависит от его мощности, увеличиваясь почти на 10 дБА при увеличении мощности в 4 раза (Рисунок 1.5).

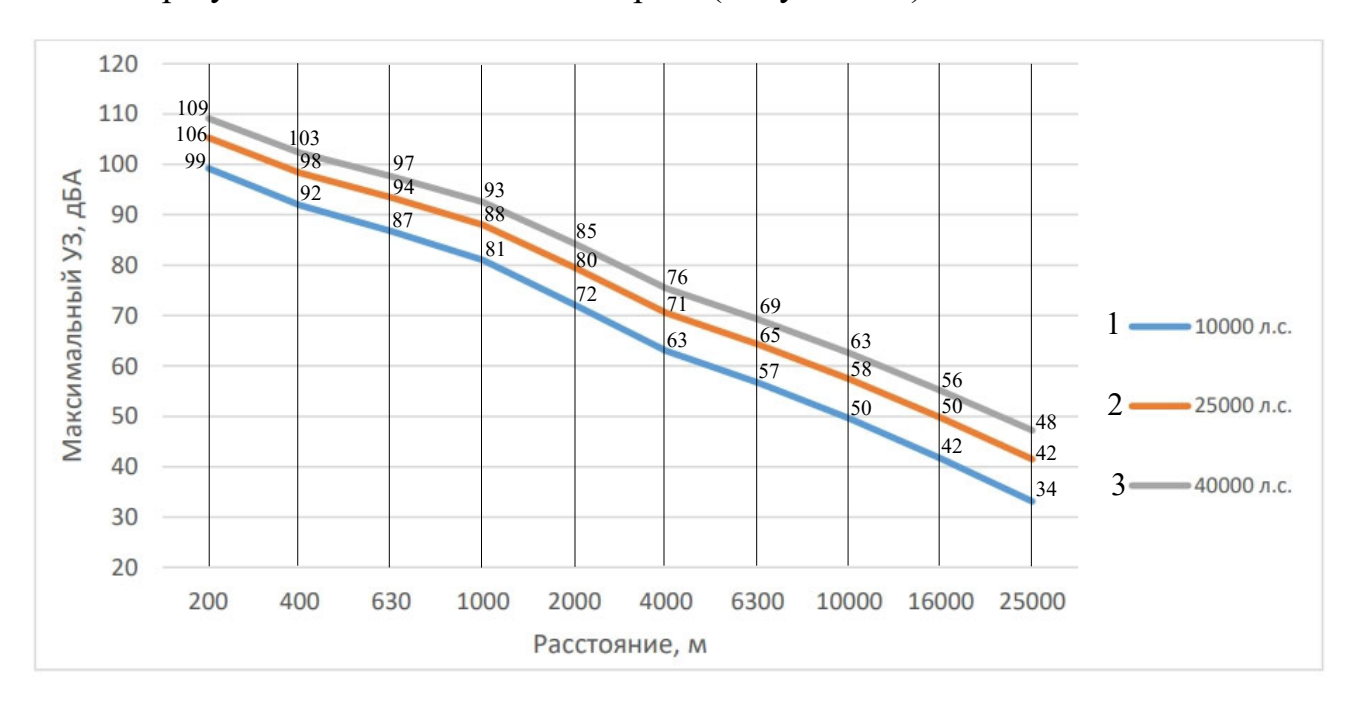


Рисунок 1.5 – Зависимость максимального уровня звука от мощности [29].

Шум турбореактивных винтовых самолётов (3a исключением легкомоторных) на 5-10 дБА выше, чем реактивных. [31]. Шум винта определяется образованием вихрей, а также периодическим изменением потока. Если для шума свободной струи характерен высокочастотный шум, то для вращающихся пропеллеров характерны основные составляющие в низкочастотной области спектра. Обобщая все сказанное об основных источниках шума самолётов и зависимости его от типа самолётов (винтовой, реактивный и др.), мощности режима их работы, двигателя, числа двигателей, конструкции (степени

двухконтурности), можно утверждать, что необходимо выполнить работу по установлению сравнительных акустических характеристик самолётов, обслуживающих исследуемый аэропорт.

Помимо перечисленных основных источников шума, при определённых режимах полёта может возникать и другой характер шумообразования. Так при разбеге, сопровождаемым отражением звука о поверхность ВПП, излучаемый в полупространство шум на 3-4 дБА выше, чем при режиме, когда самолёт отрывается от ВПП. Определенную роль при посадке самолёта играет шум обтекания элементов планера [31]. На рисунке 1.6 показаны участки, где возникает шум обтекания планера.

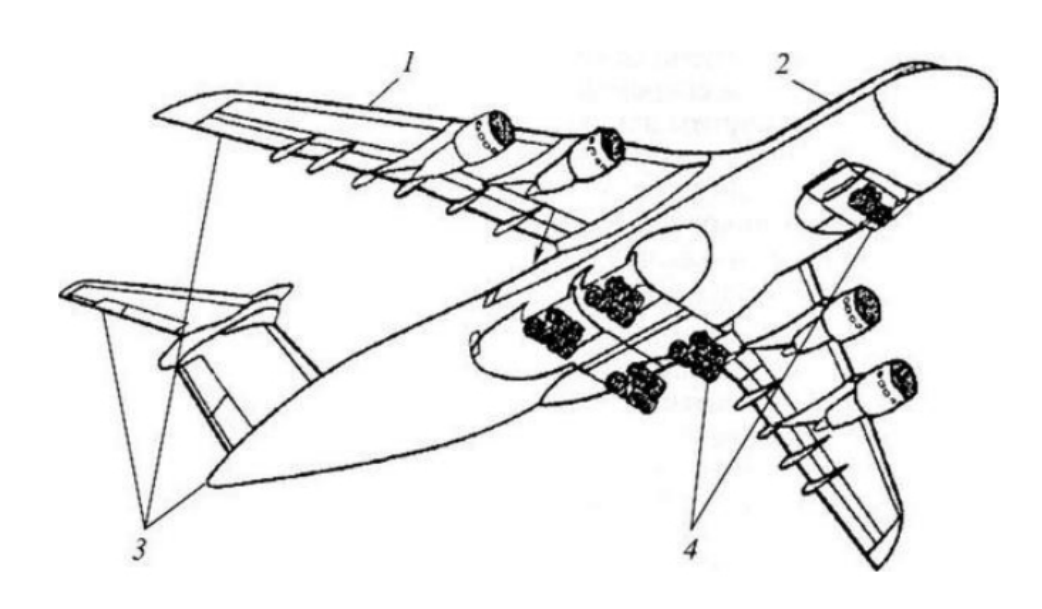


Рисунок 1.6 – Шумы обтекания самолёта [29], [33]: 1-предкрылки; 2-фюзеляж; 3-задняя кромка крыла, закрылков, фюзеляжа и хвоста; 4-шасси

К ним относятся: пограничный слой на поверхности фюзеляжа, турбулентные образования за задней кромкой крыла, закрылками, хвостовым оперением и т.д. В проанализированной нами литературе нет данных о величине шума обтекания, но, учитывая разницу в шуме при режимах посадки и взлёта, этот фактор, можно не принимать во внимание.

В литературе достаточно подробно уделяется внимание процессам шумообразования при различных режимах [6,8,27,35,36,37-39]. Везде отмечается, что шум при взлёте самолёта значительно выше, чем при посадке, т.к. реализуется различная мощность двигателей. При этом данные о разнице противоречивы: так в

работе [31] показана разница 3-4 дБА, в [4] показано, что разница может достигать 10 дБА. Этот вопрос требует специального изучения.

Большой интерес представляет информация об изменениях акустических характеристик самолётов при отклонении их от стандартных режимов при взлёте [3, 40, 41]. Совершенно понятно, что изменение акустических характеристик отдельных воздушных судов связано с рядом факторов, из которых выделим главный — расположение аэропорта и трасс полёта по отношению к близрасположенным жилым застройкам, т.е. для каждого аэропорта изменения (т.е. отклонения от стандартных маршрутов маршрутов) будут различные (в районе от 2-3 до более 10 дБА). Таким образом этот вопрос также требует специального изучения для исследуемого аэропорта.

Для реактивных самолётов при измерениях или расчетах шума в выбранных контрольных (расчётных) точках необходимо учитывать фактор направленности ИШ. В литературе [8, 31] показано, что в зависимости от направления выхлопной струи УЗ в расчётной точке может изменяться до 6 дБА.

Влияние расстояния. Важнейшим фактором, влияющим на шум в контрольной (расчётной) точке, является расстояние от ВПП или до летательного аппарата. Эти процессы определяются дивергенцией, молекулярным затуханием звука в воздухе при расстояниях приблизительно свыше 200-300 м, пространственным углом излучения звука, поглощением звука подстилающей поверхностью (при излучении в полупространство), а также метеорологическими условиями (последний фактор в работе не рассматривается, т.к. методика измерений предусматривает ограничение на скорость ветра, осадки и пр.). Данные, приводимые в литературе по данному вопросу, чрезвычайно противоречивы. Достаточно для примера сравнить данные снижения шума с расстоянием из работы [33] и данные снижения шума, приведенные на рисунке 1.7, изложенные в [42].

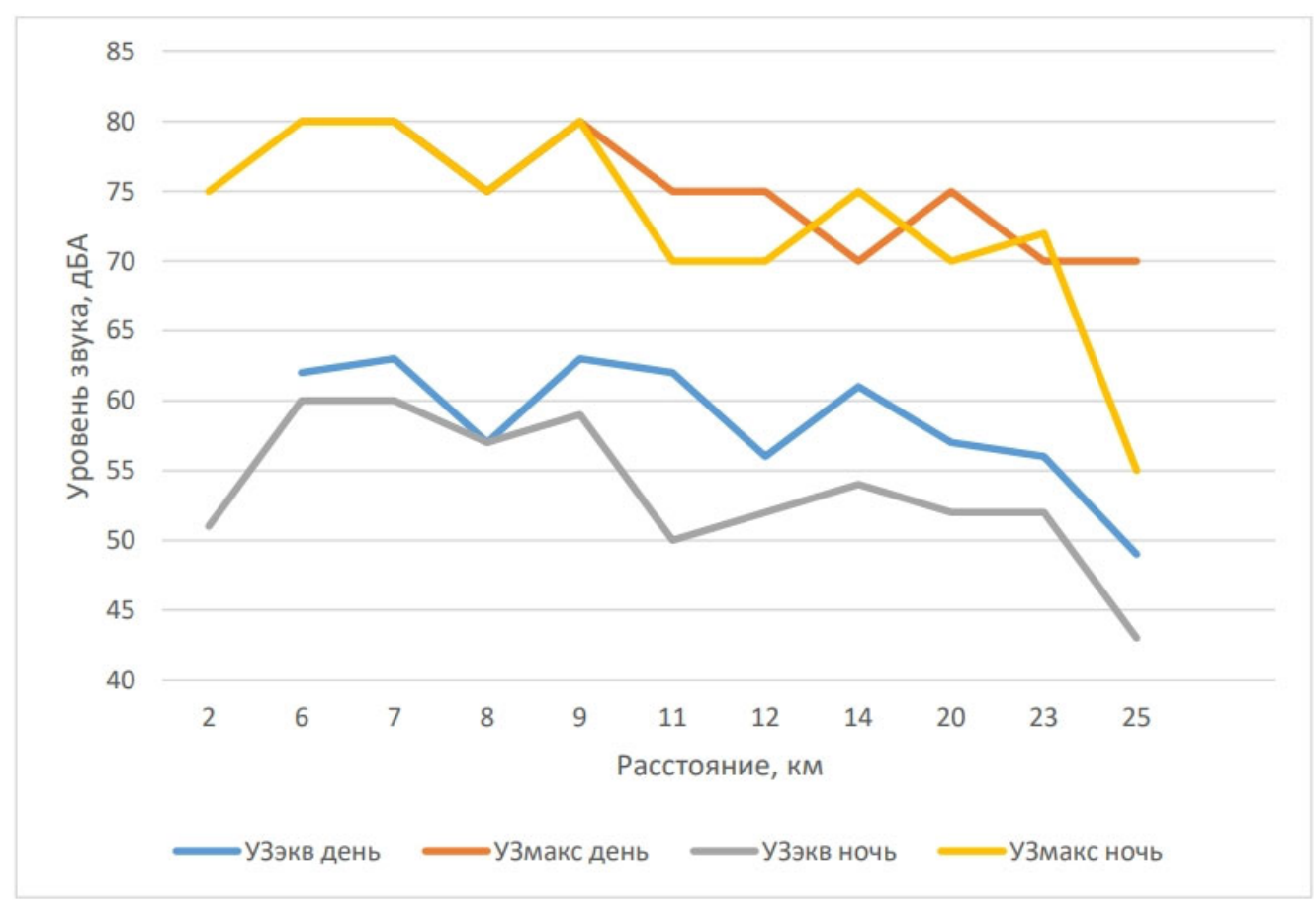


Рисунок 1.7 – Результаты измерений уровней звука авиационного транспорта на различном расстоянии от аэропорта Пулково.

Если в перовом случае прослеживается ярко выраженная закономерность снижения УЗ приблизительно на 7 дБА с удвоением расстояния, то во втором случае это снижение едва достает 2-3 дБА. Этот вопрос также требует дополнительного изучения, особенно на расстояниях вблизи исследуемого аэропорта.

Акустические характеристик аэропортов. В литературе, описывающей авиационный шум применительно к аэропортам, рассматривается шум самолётов в зависимости от типа самолёта, местонахождения в пространстве, режима полёта и др. Определяются эквивалентные и максимальные УЗ в жилой застройке, но эти данные не связаны с акустическими характеристиками аэропортов. Ближе всех в своих исследованиях подошла к решению М.В. Буторина. В своих работах [42], [43], [44] она предложила классифицировать аэропорты в зависимости от их шумности. Так внеклассные аэропорты характеризуются эквивалентными УЗ при

посадке 70,6 дБА, при взлёте 74,8 дБА., І класса 65,9 и 70,7 дБА соответственно и т.д. (Таблица 1.6).

Таблица 1.6 Классификация аэропортов по эквивалентным уровням звука.

| Класс | Тип | Сред- няя расчет- ная ин- тен- сив- ность, взл- пос/ч | | алент- З, дБА взлет | Пара- метры ВПП (длина х ши- рина), м | По- правка на длину полосы, дБА | | ом по- и, дБА взлет | | ояние чения , км взлет |
|-------------------------------------|-----|---|------|---------------------------|---|--|------|---------------------------|-----|---------------------------------|
| вне- класс- ные | - | 22 | 70,6 | 74,8 | 3500- 4000 | 0,0 | 70,6 | 74,8 | 19 | 30 |
| I | A | 19 | 66,5 | 70,7 | 3200 x 60 | -0,6 | 65,9 | 70,1 | 11 | 18 |
| II | Б | 17 | 62,5 | 66,7 | 2600 x 45 | -0,7 | 61,8 | 66,0 | 7 | 11 |
| III | В | 16 | 58,7 | 62,9 | 1800 x 42 | -1,0 | 57,7 | 61,9 | 4,2 | 7 |
| | Γ | 14 | 58,2 | 62,4 | 1300 x 35 | -1,4 | 56,8 | 61,0 | 3,8 | 6 |
| IV | Д | 10 | 53,2 | 57,4 | 1000 x 28 | -1,9 | 51,3 | 55,5 | 2 | 3,3 |
| V | - | 5 | 46,7 | 50,9 | - | -2,5 | 44,2 | 48,4 | 0,9 | 1,4 |
| неклас- сифи- циро- ванные | Е | 4 | 42,2 | 46,4 | 500 x 21 | -3,5 | 38,7 | 42,9 | 0,5 | 0,75 |

Эта интересная идея, в тоже время, не связана с расположением жилой застройки вблизи аэропорта. Это может привести к тому, что при дальнем расположении жилой застройки аэропорта I класса оказывает меньшее негативное влияние на население, чем, например, аэропорт IV класса (при формальной разнице

их характеристик (при взлете) около 15 дБА). Таким образом шумность аэропорта должна быть каким-то образом связана с расположением жилой застройки. Мы предлагаем считать акустической характеристикой аэропорта эквивалентные УЗ в близрасположенном жилье. И тогда, согласно таблице 1.7, если жилье оказывается в зоне Г-аэропорт имеет характеристику «недопустимо, высокий шум», Б и В – «высокий» и «очень высокий» соответственно. Наше исследование в основном посвящено решению оценки и снижения шума для аэропортов первого наименования.

Таблица 1.7 Допустимые значения максимальных и эквивалентных уровней звука, создаваемых на селитебных территориях в районе аэропортов при эксплуатации воздушного транспорта.

| D= 0125 0255 | Допустимые уровни шума в зонах, дБА | | | | | | | | | | |
|-----------------|-------------------------------------|---|--|------------------------|--|--|--|--|--|--|--|
| Время суток | A | Б | В | Γ | | | | | | | |
| Пригодность | | | | | | | | | | | |
| территории для | Разрешается | - | вышенной звуко- | Запрещается | | | | | | | |
| жилой застройки | 1 | изоляциеи наруж | кных ограждений | | | | | | | | |
| | L _{Аэкв} ≤60 при | 61 <l<sub>Аэкв<65</l<sub> | 61 <l<sub>Аэкв<65</l<sub> | L _{Аэкв} >65 | | | | | | | |
| | пролетах | 01 <u>\</u> LАэкв <u>\</u> 03 | 01 <u>\</u> LАэкв <u>\</u> 03 | LАэкв/03 | | | | | | | |
| Логи | L _{Аэкв} ≤55 при | | | | | | | | | | |
| День | опробовании | | | | | | | | | | |
| | двигателей | | | | | | | | | | |
| | L _{Амакс} ≤80 | 81 <u>≤</u> L _{Амакс} <u>≤</u> 85 | 81≤L _{Амакс} ≤85 | L _{Амакс} >85 | | | | | | | |
| | L _{Аэкв} ≤50 при | 51 <u><</u> L _{Аэкв} <u><</u> 55 | 56 <l<sub>Аэкв<60</l<sub> | L _{Аэкв} >60 | | | | | | | |
| Ночь | пролетах | J1_LA3KB_JJ | JU_LA9RB_OU | LA9kB OO | | | | | | | |
| | L _{Аэкв} ≤45 при | | | | | | | | | | |
| | опробовании | | | | | | | | | | |
| | двигателей | | | | | | | | | | |
| | L _{Амакс} ≤70 | 71≤L _{AMakc} ≤75 | 76 <u><</u> L _{Амакс} <u><</u> 80 | L _{Амакс} >80 | | | | | | | |

1.5. Расчеты влияния авиационного шума на жилую застройку

Действующие документы по расчету авиационного шума, в частности, основополагающие «Руководство по рекомендуемому методу расчета контуров шума вокруг аэропортов» [45] содержат подробную информацию о расчетах УЗ при единичном воздействии и суммарных УЗ, расчетах контура шума и др. Эти расчеты позволяют смоделировать величину и характер акустического загрязнения районе жилой застройки. В отечественном нормативном документе ΓΟСΤ 22283-2014 [9] приближенные изложены методы вычисления эквивалентного УЗ при известных максимальных уровнях для реактивных и винтовых самолетов. В нормативных документах не уделяется внимание оценке авиационного шума в жилой застройке, например, экранирующего эффекта зданий.

Влияние шума на жилую застройку и распространение звука в жилой застройке рассмотрено в ряде трудов [3, 7, 10, 21-27, 31, 36-44]. Авторами достаточно подробно описан экранирующий эффект зданий на основании оптико-дифракционной теории [8, 46-50]. Применение этих методов, как показывают результаты натурных измерений, приводит нередко к расхождению между расчетными и экспериментальными данными от 5 до 15 дБ в широком диапазоне частот [497]. Подход, основанный на оптико-дифракционной теории, не позволяет учитывать поглощающие и отражающие свойства различных поверхностей, характер плоской, цилиндрической или квазицилиндрической волны ИШ (звуковая волна принимается сферической, а ИШ – точечным). Этих недостатков лишена теория, в основу которой положен метод последовательного преобразования звуковых полей. Основы этой теории разработаны и применены для решения различных задач в БГТУ «ВОЕНМЕХ» докторами технических наук М.В. Буториной, Н.И. Ивановым [44], Н.В. Тюриной [51-53] и А.Е. Шашуриным [54-57].

Описаны особенности распространения звука (дивергенция, дифракция, поглощение и отражение звука)

В аэропорту наибольший шум фиксируется при разбеге и взлёте в близрасположенной жилой застройке. При разбеге в процессе шумообразования, кроме самого летательного аппарата, участвует и сама ВПП, являясь вторичным источником звука. При этом звук отражается от заметной части длины ВПП. Учитывая также значительную скорость разбега ЛА, за время фиксации происходящего процесса фиксируется источник звука, который обладает определённой длиной. Можно предполагать, что фронт звуковой волны этого сложного излучателя близок к цилиндрическому, а тогда интенсивность звука в РТ может быть определена по формуле [48].

$$I_{pT} = \frac{W_{HCT}(2-\alpha)}{2\pi l_{HCT} * R_{pT}} \operatorname{arctg} \frac{l_{HCT}}{2R_{pT}}$$
(1.1)

где W_{ист} – акустическая мощность ИШ, Вт;

 α – коэффициент звукопоглощения ВПП ($\alpha \le 0,1$);

 $l_{\text{ист}}$ – длина условного ИШ, м;

 $R_{\rm pr}$ – расстояние от ИШ до РТ, м.

Необходимо проверить гипотезу о представлении ИШ при разбеге по ВПП линейным источником, а также установить какой характер имеет фронт звуковой волны этого условного излучателя звука. На наш взгляд, для использования для расчетов (разбег по ВПП) необходимо учитывать также фактор направленности ИШ (важный для реактивных самолетов). Формула приведена к виду-расчет УЗ, дБА. Для расчетов авиационного шума в большей степени подходит УЗД в нормируемых октавных полосах частот. С учетом этих и некоторых других факторов рассмотренную формулу необходимо преобразовать, а также использовать понятие длины звуковой тени за экранирующим сооружением.

При наборе высоты изменяется расположение ИШ в пространстве, а характер звуковой тени за экранирующим сооружением меняется, эта задача требует отдельного рассмотрения.

1.6. Снижение авиационного шума на местности

Литература, посвященная снижению авиационного шума на местности и снижению его воздействия на население, обширна [58-112]. Обратим внимание, что эти меры могут быть самые различные, но всех их можно разбить на несколько групп:

- конструктивные (в основном замена шумных самолетов менее шумными.
 Главное эти меры относятся к ИШ);
- административные и организационные меры (введение платы за превышение допустимых УЗ, создание инструкции по пилотированию вблизи аэропорта и др.);
- эксплуатационные методы (оптимизация режима взлета самолета по критерию максимального шума на местности, соблюдение требований не отклонения воздушных судов от стандартных маршрутов взлета, приемы пилотирования, уменьшающие шум при заходе на посадку и т.д.);
- архитектурно-планировочные (размещение жилой застройки вдали от аэропортов, применение экранирующего эффекта для снижения шума в жилой застройке специальным расположением шумозащитных зданий или возведением акустических экранов и т.д.);
- законодательные (запрет строительства жилья вблизи аэропортов, строительство жилья с повышенными требованиями к звукоизоляции оконных проемов в районах действия повышенного шума, переселение жителей из жилых домов, расположенных вблизи аэропортов).

Остановимся на эффективности отдельных мер. В работе [31] приведены интересные данные об эффективности некоторых мероприятий (таблица 1.8).

Таблица 1.8 Эффективность мероприятий по снижению шума авиатранспорта.

| Морги и конструкции изумозопити | Эффективность, |
|--|----------------------|
| Меры и конструкции шумозащиты | дБА |
| Замена устаревших самолетов новыми с большей степенью | 8-14 |
| двухконтурности | 0-14 |
| Применение шумозащитных мероприятий в источнике | 3-5 |
| Смещение кромки ВПП | 1-3 |
| Уменьшение тяги (применение режима пилотирования на | 2-6 |
| малой скорости и дросселирование тяги) | 2 0 |
| Запрет использования реверса тяги | 5 |
| Использование малой мощности | 5 дБА на каждое сни- |
| richonbsobanne manon monthoeth | жение в 2 раза |
| Удаление траекторий пролета от нормируемых объектов | 7 дБА на удвоение |
| J Amerine TrackTophin inposera of hopimipyembix oubcktob | расстояния |
| Снижение шума в домах (шумозащитное остекление) | до 37 |

Исчерпывающий перечень мер снижения шума приведен в [8] на рисунке 1.8 приведен перечень эксплуатационных процедур снижения шума на местности [8].

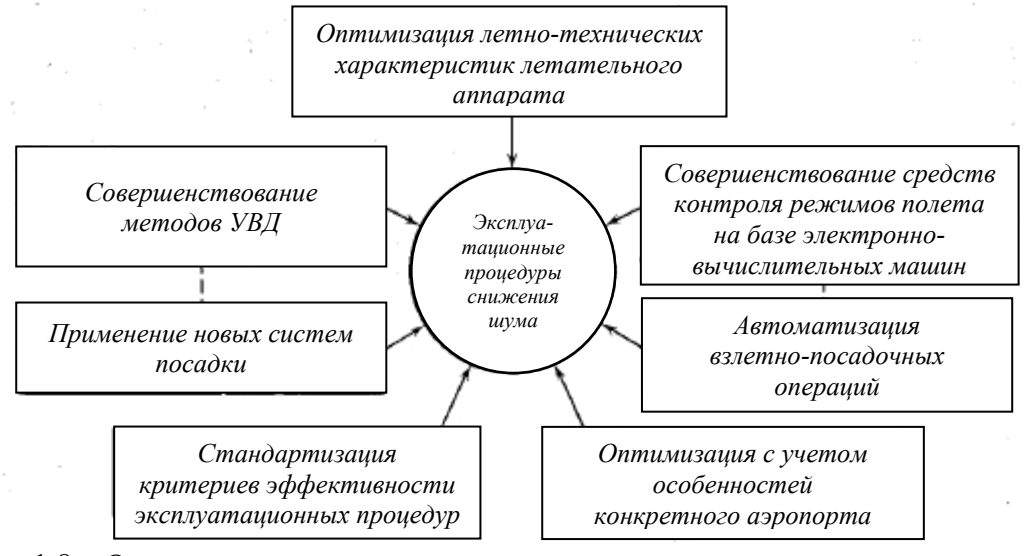


Рисунок 1.8 – Основные пути совершенствования эксплуатационных процедур снижения шума

Для некоторых из этих процедур указаны значения их эффективности. Так шум, создаваемый при посадке при использовании торможения на стандартной глиссаде, может быть снижен на величину от 5 до 15 дБА. Снижение шума за счет дросселирования тяги двигателей на величину от 2-3 до 10-12 дБА. Замена прямолинейных трасс при снижении самолета криволинейными посадочными трассами поможет избежать повышенного воздействия шума на отдельные жилые поселки или районы. Здесь же показаны основные виды сборов в аэропортах, связанные с повышенным шумом (Рисунок 1.9).

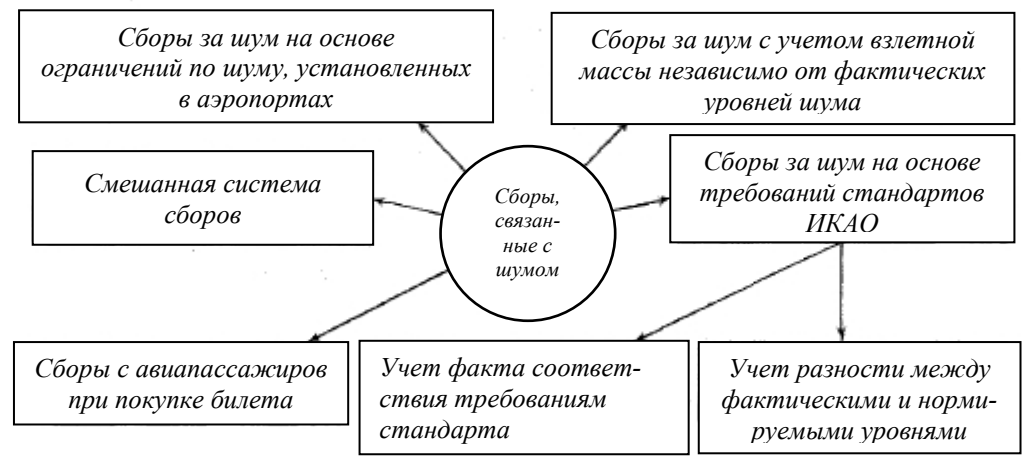


Рисунок 1.9 – Основные виды сборов в аэропортах, связанные с шумом эксплуатируемых самолётов

Большое внимание снижению шума в аэропортах уделено в работах О.А. Картышева [7, 10, 14-28, 72]. Ниже приводится перечень предлагаемых им мер.

Анализируя приведенную литературу, отметим, что некоторые приводимые числовые данные противоречивы. Нами выбраны для изучения такие меры, как эффект шумоглушения при создании звуковой тени экранирующими сооружениями, учет и ликвидация отклонений воздушных судов от стандартных маршрутов взлета и некоторые другие меры, которые относятся к аэропорту «Пулково». Эти меры будут в основном направлены на снижение авиационного шума на население, проживающее вблизи аэропортов.

Дополнительной сложностью при оценке уровней авиационного шума на селитебной территории является отсутствие требований к застройке приаэродромных территорий по фактору шумового воздействия, поэтому в

прошлом застраивались территории, заведомо расположенные в зонах сверхнормативного шумового воздействия.

В России установка шумозащитных экранов вдоль границ аэропортов не практикуется, однако в зарубежных странах это является стандартным мероприятием. Иллюстрации установленных ШЭ представлены на Рисунках 1.10-1.11.



Рисунок 1.10-11-метровый железобетонный шумозащитный экран в форме волны, установленный в аэропорту



Рисунок 1.11 – 11-метровый железобетонный шумозащитный экран в форме волны, установленный в аэропорту

Таким образом, экранирование следует признать перспективной мерой для снижения шума вблизи аэропорта. Этот вопрос должен быть исследован для аэропорта «Пулково».

1.7 Основные задачи исследования

Основываясь на результатах аналитического обзора проблемы, были сформированы следующие задачи исследования:

- 1. Определить параметры шумового загрязнения в районах Санкт-Петербурга, городах и поселках Ленинградской области, подвергающихся действию шума, в особенности, вблизи аэропорта, разработать требование к шумозащите;
- 2. Определить акустическое воздействие, создаваемое различными типами воздушных судов, выделить наиболее шумные;
- 3. Разработать методику мониторинга авиационного шума, учитывающую отклонение воздушных судов от стандартных маршрутов взлета, проанализировать результаты мониторинга с целью определения шумовой нагрузки в точках измерений при изменении трасс полетов воздушных судов на примере аэропорта «Пулково»;
- 4. Экспериментально уточнить закономерности снижения шума от воздушных судов с изменением расстояния, а также при различных режимах полетов;
- 5. Используя теорию, основанную на методе последовательного преобразования звуковых полей и получить формулы расчетов экранирующего эффекта в жилой застройке и на территории аэропорта в течении разбега по ВПП;
- 6. Выполнить теоретические исследования экранирующего эффекта сооружений и экспериментальную проверку полученных теоретических данных ;
 - 7. Разработать общие рекомендации по снижению шума вблизи аэропортов.

ГЛАВА 2. ВЛИЯНИЕ АВИАЦИОННОГО ШУМА НА ЖИЛУЮ ЗАСТРОЙКУ ОТ ИССЛЕДУЕМОГО АЭРОПОРТА «ПУЛКОВО»

2.1. Описание трасс полетов.

Район аэродрома — часть воздушного пространства установленных размеров, предназначенная для организации и выполнения аэродромных полетов.

В районах аэродромов (аэропортов) устанавливаются воздушные коридоры входа и выхода, зоны взлета и посадки, ожидания и другие зоны.

Стандартные маршруты вылета по приборам должны связывать аэропорт или конкретную ВПП аэропорта с установленной основной точкой, в которой можно начинать этап маршрутного полета по установленному маршруту.

Стандартные маршруты прибытия по приборам должны позволять осуществлять переход от этапа полета по маршруту к этапу захода на посадку путем соединения основной точки на маршруте ОВД с точкой вблизи аэродрома, из которой:

можно начать выполнение полета по опубликованной стандартной схеме захода на посадку по приборам, или

можно выполнять заключительную часть полета по опубликованной схеме захода на посадку по приборам, или

можно начинать выполнение визуального захода на посадку на необорудованную ВПП, или

можно входить в аэродромный круг движения.

Каждый стандартный маршрут вылета и прибытия по приборам должен устанавливаться и опубликовываться как единое целое. Любое изменение постоянного характера должно опубликовываться в качестве отдельного маршрута.

Стандартные маршруты вылета и прибытия по приборам должны устанавливаться таким образом, чтобы позволять воздушным судам осуществлять

навигацию по этим маршрутам без радиолокационного наведения. В узловых районах с высокой интенсивностью движения, где преобладают сложные потоки движения с использованием нескольких аэродромов и ВПП, можно применять радиолокационные методы наведения воздушных судов на основную точку на опубликованном стандартном маршруте вылета или прибытия или от нее.

Согласно PANS-OPS (правила для разработки процедур захода на посадку и вылета по приборам) стандартный маршрут вылета по приборам (SID - Standard Instrument Departure) представляет собой схему вылета по приборам, которая, как правило, рассчитывается на максимально возможное число категорий воздушных судов. Схема вылета устанавливается для каждой ВПП, на которой предполагаются вылеты по приборам.

SID заканчивается в первой контрольной точке/местоположении первого средства/в первой точке пути этапа полета по маршруту, который следует за окончанием схемы вылета.

Существуют два основных типа SID: вылеты **по прямой** и вылеты **с разворотом**. Так же существует еще один тип SID - вылеты **в любом направлении**. SID основываются на наведении по линии пути, получаемом:

- a) в пределах **10,8 мили (20 км)** от взлетного конца ВПП (**DER**) при вылетах **по прямой**;
- *b)* в пределах **5,4 мили (10 км)** после выполнения разворотов при вылетах **с разворотом**.

Вылет по прямой.

Вылет по прямой — это вылет, при котором направление начальной линии пути вылета находится в **пределах 15**° относительно направления осевой линии ВПП.

Вылет с разворотом.

В тех случаях, когда на маршруте вылета необходимо выполнить разворот на угол **более 15°**, он называется вылетом с разворотом.

Полет по прямой выполняется до достижения абсолютной/относительной высоты по меньшей мере **394 фут** (120 м). Обычно схемы рассчитываются на развороты в точке, расположенной на расстоянии **600 м** от начала ВПП.

Развороты могут быть определены на абсолютной/относительной высоте, в контрольной точке или в месте расположения средства.

STAR - Standard Terminal Arrival Route - Схема стандартного маршрут прибытия.

Карта STAR содержит данные, которые необходимы для входа в зону ожидания, и данные для подхода ВС к точке начала инструментального захода на посадку.

В общем случае с точки зрения воздушной навигации, полоса, с которой осуществляется взлёт, имеет двухзначный номер (округлённый до десятков магнитный курс полосы). При наличии параллельных полос добавляется постфикс L/C/R (Left/Center/Right). Например, в Шереметьево сейчас всего 6 полос — 06/L/R/C и соответствующие им с обратным курсом 24L/C/R.

В период проведения мониторинга аэропорта Пулково были зафиксированы следующие направления взлета воздушных судов: 28L; 28R; 10L; 10 R (Рисунок 2.1 - 2.4).

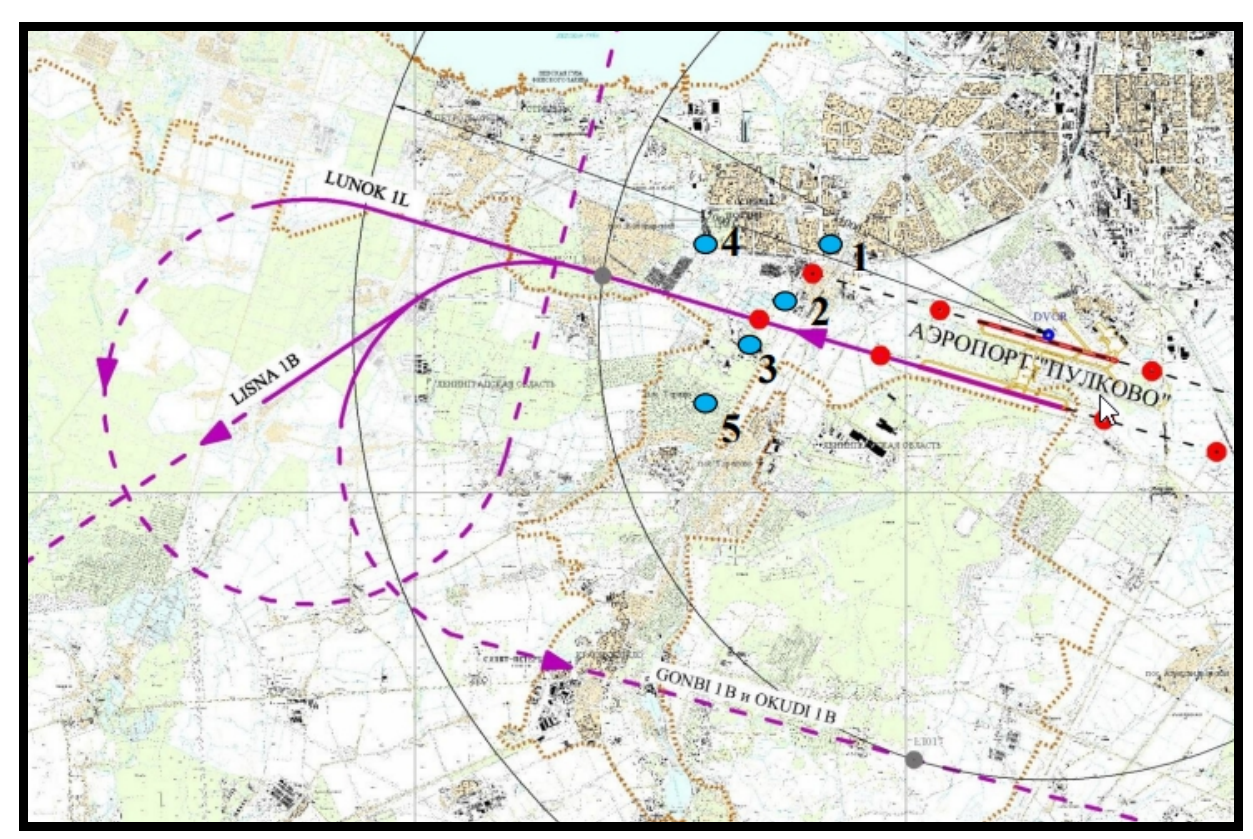


Рисунок 2.1- Схема стандартного маршрута взлёта, курс 28L

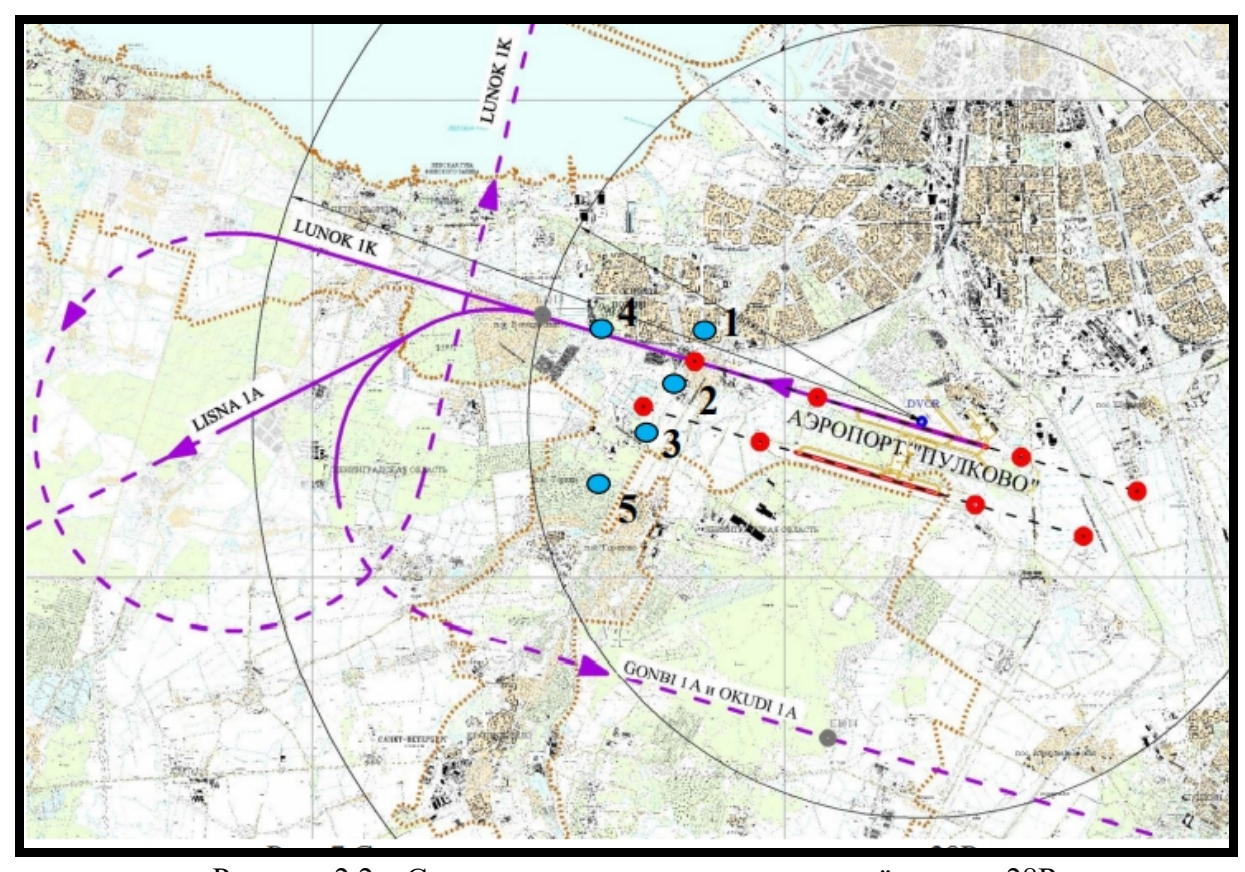


Рисунок 2.2 – Схема стандартного маршрута взлёта, курс 28R

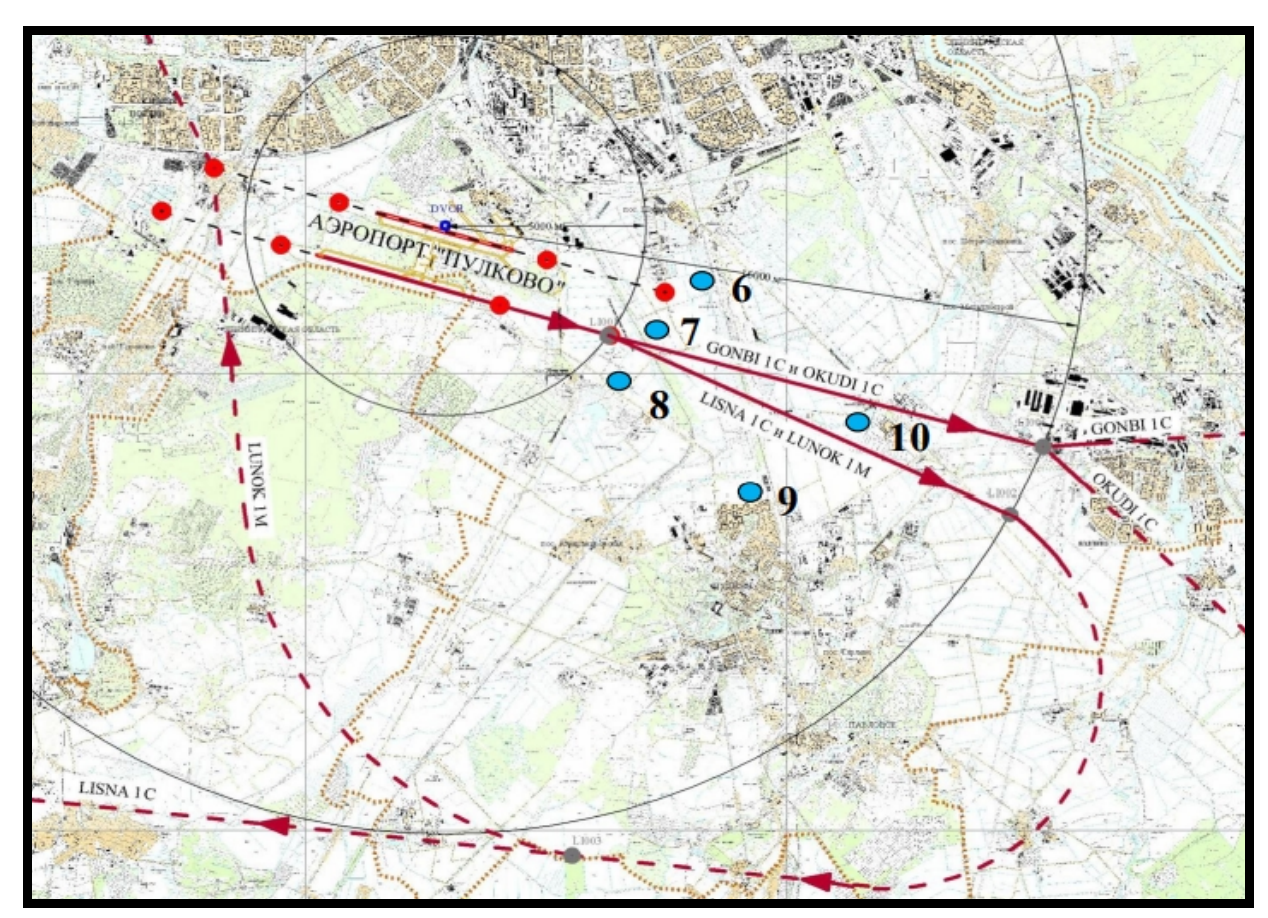


Рисунок 2.3 – Схема стандартного маршрута взлёта, курс 10R

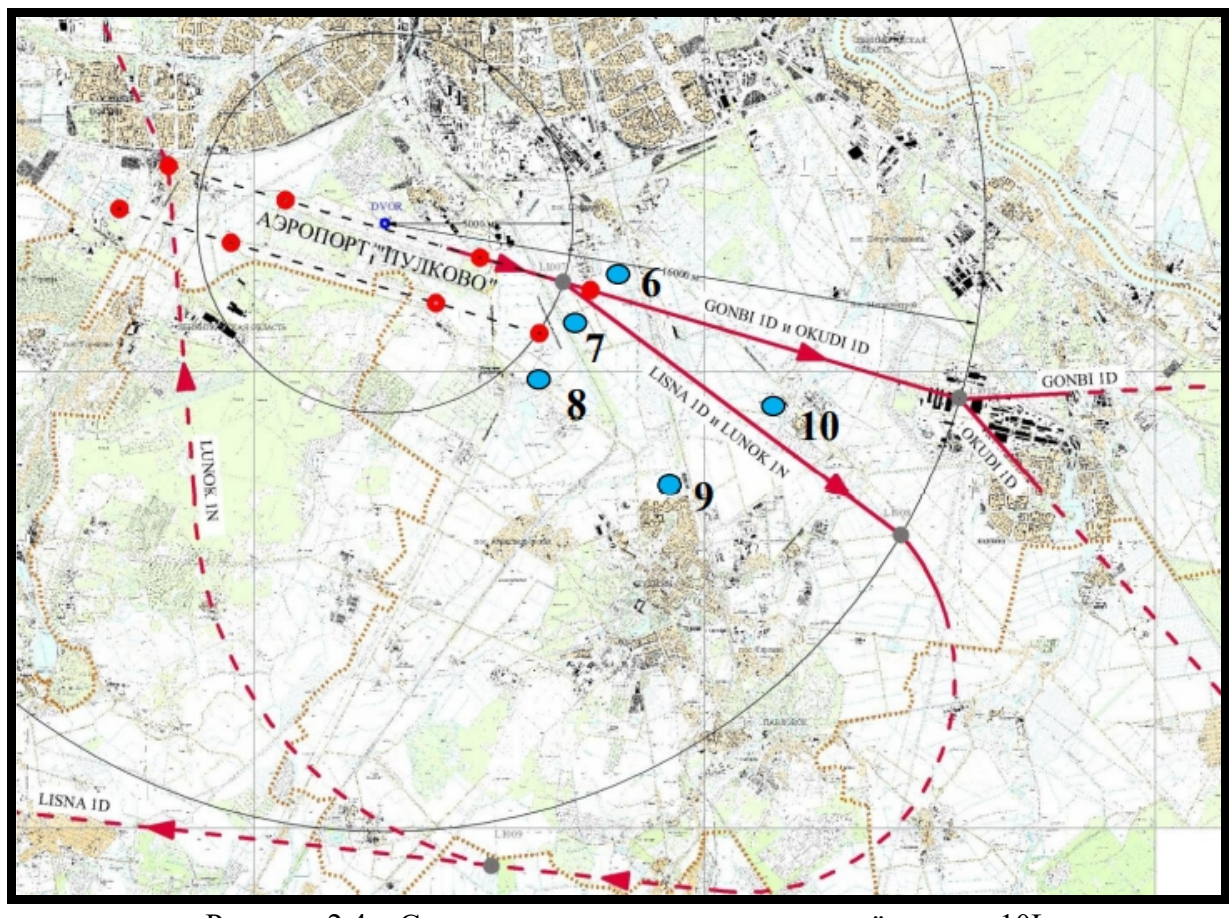


Рисунок 2.4 – Схема стандартного маршрута взлёта, курс 10L

2.2. Методика определения шума в жилой застройке

1. Перед началом проведения мониторинга уровней шума были проанализированы траектории полета воздушных судов (Рисунок 2.5), ближайшие селитебные территории, расположенные вокруг аэропорта, и установили точки измерений авиационного шума. Принцип выбора точек измерений основывался на условии, при котором на ближайших селитебных территориях от ВПП аэропорта $L_{\text{Аэкв}} > 60$ дБА от воздействия авиационного шума.

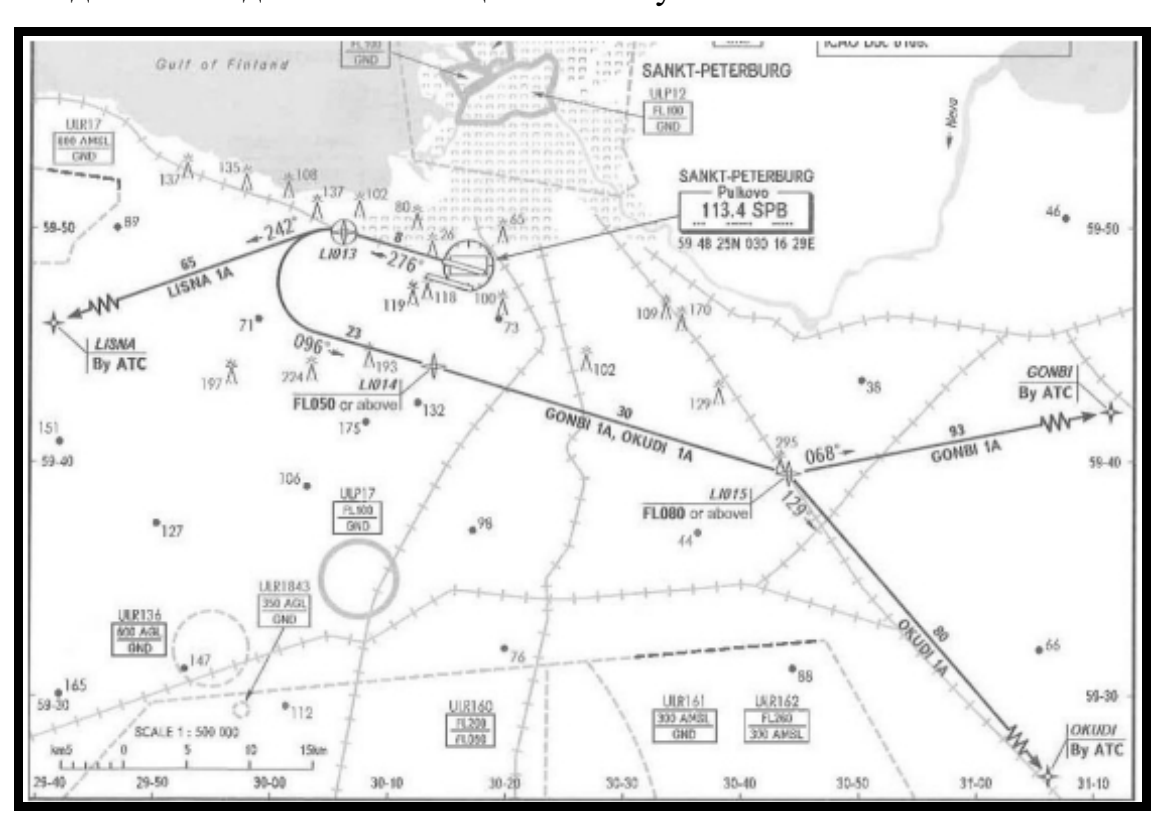


Рисунок 2.5 – Схематические обозначения стандартных трасс полёта воздушных судов.

- 2. В рамках проведения мониторинга шума от аэропорта измерялись эквивалентные и максимальные уровни звука.
- 3. В качестве средств измерений использовались портативные шумомеры-анализаторы спектра 1 класса точности, вспомогательное оборудование (ветрозащита, штативы и пр.).
- 4. Измерения авиационного шума (АШ) проводились при пролете воздушного судна (ВС) в регламентируемые интервалы времени суток. Чтобы получить достоверную оценку эквивалентного или максимального уровня звука,

на интервале, равном продолжительности измерений, должно быть задано минимальное число звуковых событий, в установленный интервал времени с учётом требований ГОСТ 31296.2-2006 [91]. При этом в каждой точке максимальные уровни звукового давления определяют предпочтительно по 20 или более, но не менее пяти, пролётам на наиболее шумных режимах полёта;

- 5. За установленное значение максимального уровня звука $L_{\text{Амакс}}$ конкретного типа ВС для данной точки измерений принимался наибольший корректированный уровень звукового давления на заданном временном интервале.
- 6. За установленное значение $L_{\text{Аэкв}}$ эквивалентного уровня звука для данной точки измерений принималось измеренное значение за период измерений при максимальной интенсивности наземной и летной эксплуатации с обязательным учётом полётов всех BC, оказывавших наибольшее воздействие шума на данную территорию.
- 7. Измерения авиационного шума в точке проводились по каждому режиму эксплуатации ВС (взлёт/посадка). В случае если один из режимов превалировал над другими по значению максимальных уровней звука в точке (взлёт над посадкой или наоборот), то предпочтение в оценке представлялось измерению и представлению результатов для режима с наибольшими уровнями звука.
 - 8. Измерения проводились в теплые и холодные периоды времени года.
- 9. В процессе измерений проводились наблюдения за выполнением установленных схем полёта, различными сочетаниями метеоусловий и других факторов, которые необходимо отразить при анализе и обработке полученных данных.
- 10. В случае невозможности проведения измерений в определённой точке (полёты ВС с другим курсом, отсутствие полётов ВС в данное время на данном маршруте) в соответствии с ГОСТ 31296.2-2006 (п. 10) [91] допускалась экстраполяция измерений с аналогичного участка в другом месте, при условии соблюдения требований ГОСТ 31296.2-2006[91].

- 11. Микрофон шумомера располагался на высоте (1,5±0,1) м над уровнем поверхности. Ось микрофона была ориентирована в сторону ожидаемого максимального излучения шума. Если скорость ветра превышала 1-2 м/с, то при измерениях использовался ветрозащитный экран для микрофона.
- 12. Измерения проводились при следующих атмосферных условиях: атмосферные осадки отсутствуют; температура воздуха от -10 до $+40^{\circ}$ С (при применении средств измерений класса 1 при температурах от -10 до $+50^{\circ}$ С); относительная влажность воздуха от 30 до 90%; скорость ветра на высоте 1,5 м (включая порывы) не более 5 м/с.
- 13. Измерения эквивалентного уровня звука в каждой точке проводились непрерывно в течение не менее 2-х часов (при этом отсекались внезапные источники шума, не являющиеся характерными для данной точки измерений, например, работа строительной техники и др.). Во всех случаях, измерение эквивалентных уровней звука производились во всех выбранных точках измерений одновременно.
- 14. При измерении АШ выделялся временной участок, достаточной продолжительности для того, чтобы включить всю акустическую энергию, относящуюся к пролету ВС. Перед этим проводилось измерение фонового шума в ТИ. Если УЗ отличался от фонового шума менее, чем на 10 дБА, то результаты измерений признавались неудавшимися и повторялись измерения при следующем пролете ВС. Учитывался участок измерений по времени, в котором УЗ отличался от максимального не более, чем на 10 дБА. (Рисунок 2.6)

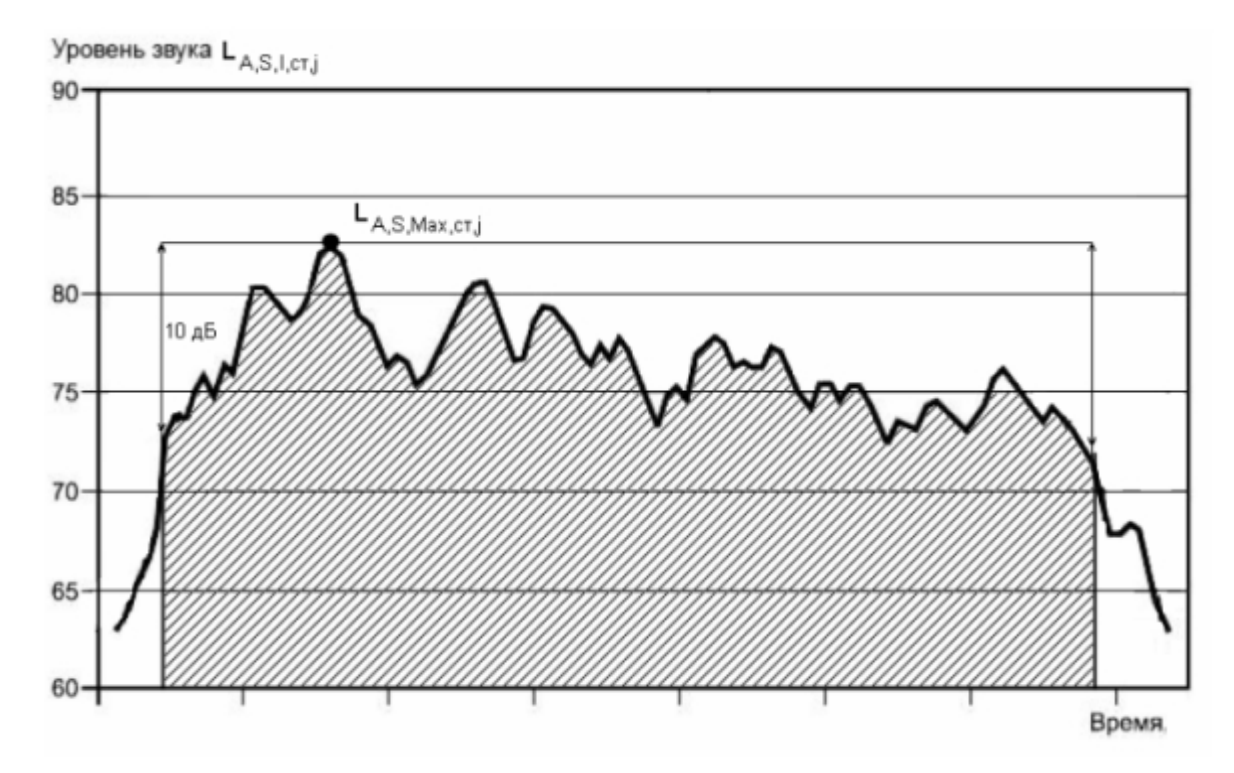


Рисунок 2.6 – Учитывающийся участок измерений уровней звука по времени во время пролета воздушного судна.

- 15. В каждой точке измерения проводились не менее 3 измерений для определения среднего значения эквивалентного уровня звука от воздействия авиационного шума на данную селитебную территорию.
- 16. По результатам нескольких аналогичных измерений эквивалентных уровней звука (максимальных уровней звука), выполненных в одной и той же точке измерения, одним и тем же прибором и по одной и той же методике вычислялось среднее значение L_{Аэкв}, дБА (дБ), измеренных эквивалентных уровней звука (максимальных уровней звука) по формуле [103]:

$$L_{A_{3KB}} = 10 \lg \sum_{i=1}^{n} 10^{0,1*Li} - 10 \lg n$$
 (2.1)

где L_i - значение измеренного и откорректированного уровня звука (уровня звукового давления), полученное для i-го измерения в данной точке измерения, дБА.

i=1, 2, 3,..., n (n - общее количество измерений в данной точке).

2.3. Характеристики и оценка шума в жилой застройке аэропорта «Пулково»

Точки мониторинга аэропорта «Пулково» на территории жилой застройки выбирались исходя от близости к аэропорту «Пулково» и близости к стандартному маршруту взлёта/посадки. Мониторинг осуществлялся для следующих адресов:

- 1. Жилая застройка, прилегающая к границе санитарно-защитной зоны (СЗЗ) аэропорта «Пулково», по ул. Взлётная, д.18 (перед фасадом);
- 2. г. Санкт-Петербург, ул. Партизана Германа, д.28к2;
- 3. г. Санкт-Петербург, МО Горелово, 4-я линия, д.4;
- 4. г. Пушкин, Детскосельский б-р, д.10;
- 5. Жилой дом в пос. Ленсоветовский;
- 6. Координаты точки (59.87006; 29.90653);
- 7. д. Верхняя Колония, д. 35а;
- 8. пос. Стрельна, ул. Нижняя Колония;
- 9. пос. Стрельна, вблизи ж/д станция «Стрельна»
- 10. пос. Новоселье, жилой дом по ул. Полевой;
- 11. Жилой дом в пос. Шушары;
- 12. Жилой дом в пос. Шушары;
- 13. Жилой дом в пос. Ленсоветовский, ЖК «Вариант»;
- 14. г. Колпино, Парк по ул. Красная;
- 15. г. Петергоф, Ропшинское шоссе, д.10;
- 16. д. Ольгино, жилой дом по ул. Полевой;
- 17. г. СПб, ул. Взлетная, д.13;
- 18. г. СПб, ул. Пилотов, д.16к2.

Точки мониторинга аэропорта «Пулково» представлены на рисунках 2.7–2.9.

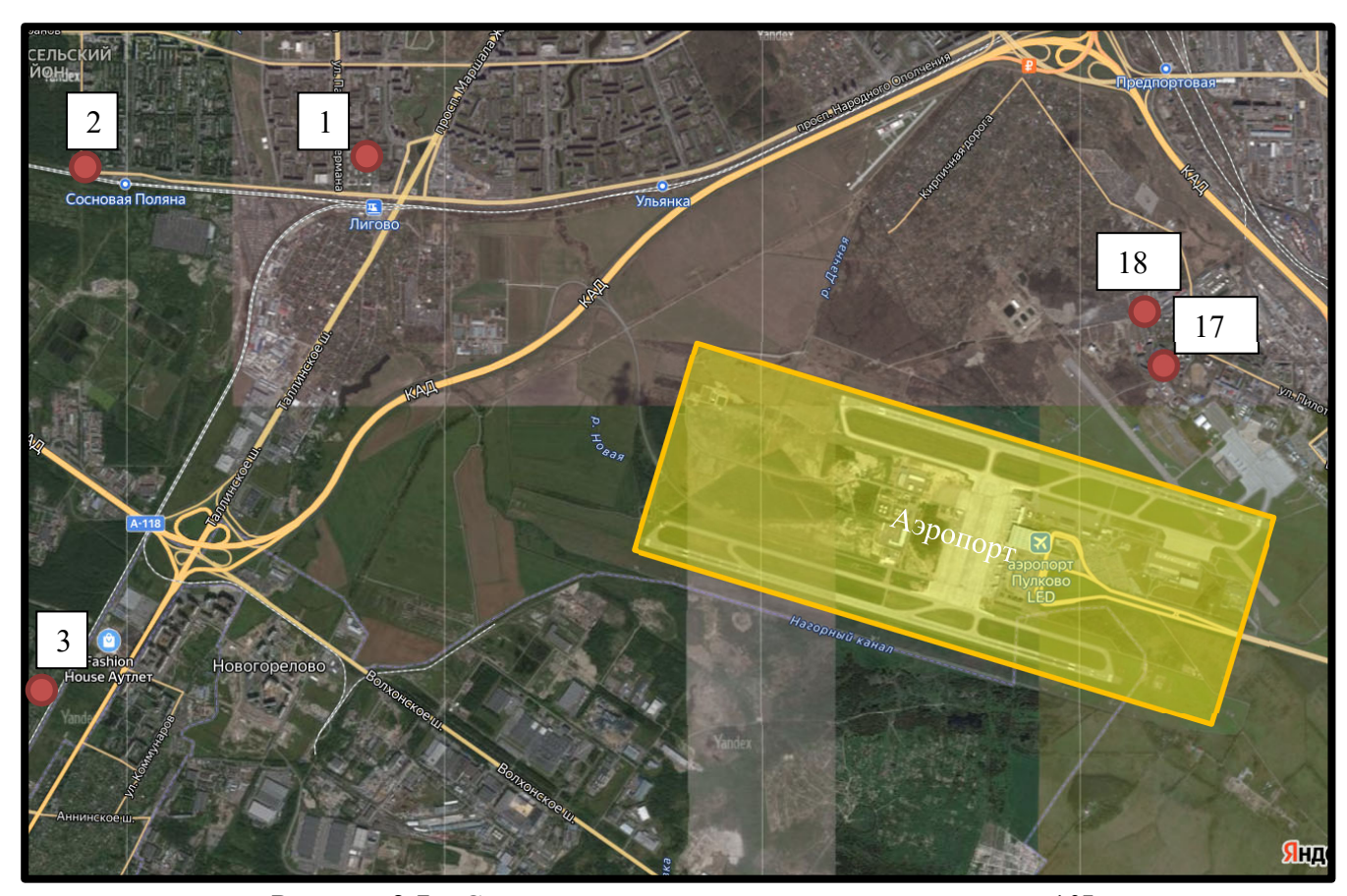


Рисунок 2.7 — Схема стандартного маршрута взлёта, курс 10L

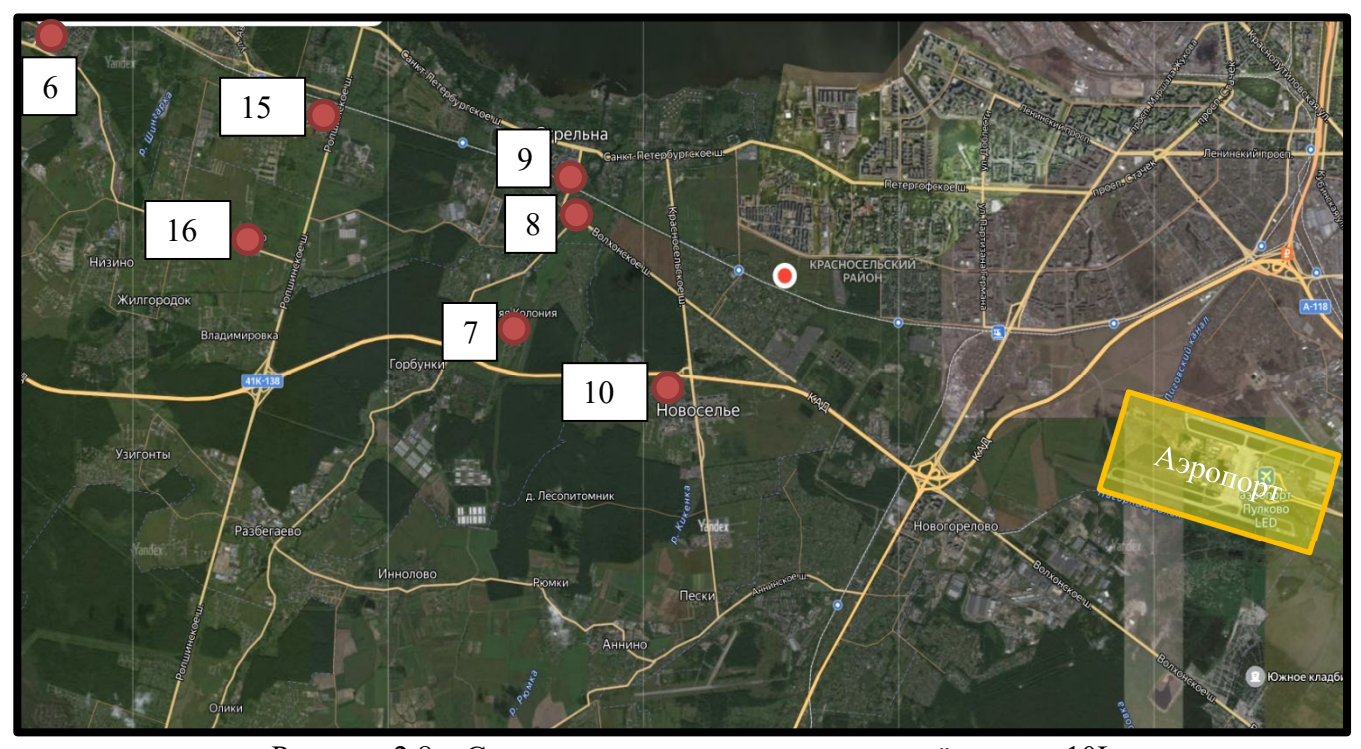


Рисунок 2.8 — Схема стандартного маршрута взлёта, курс 10L

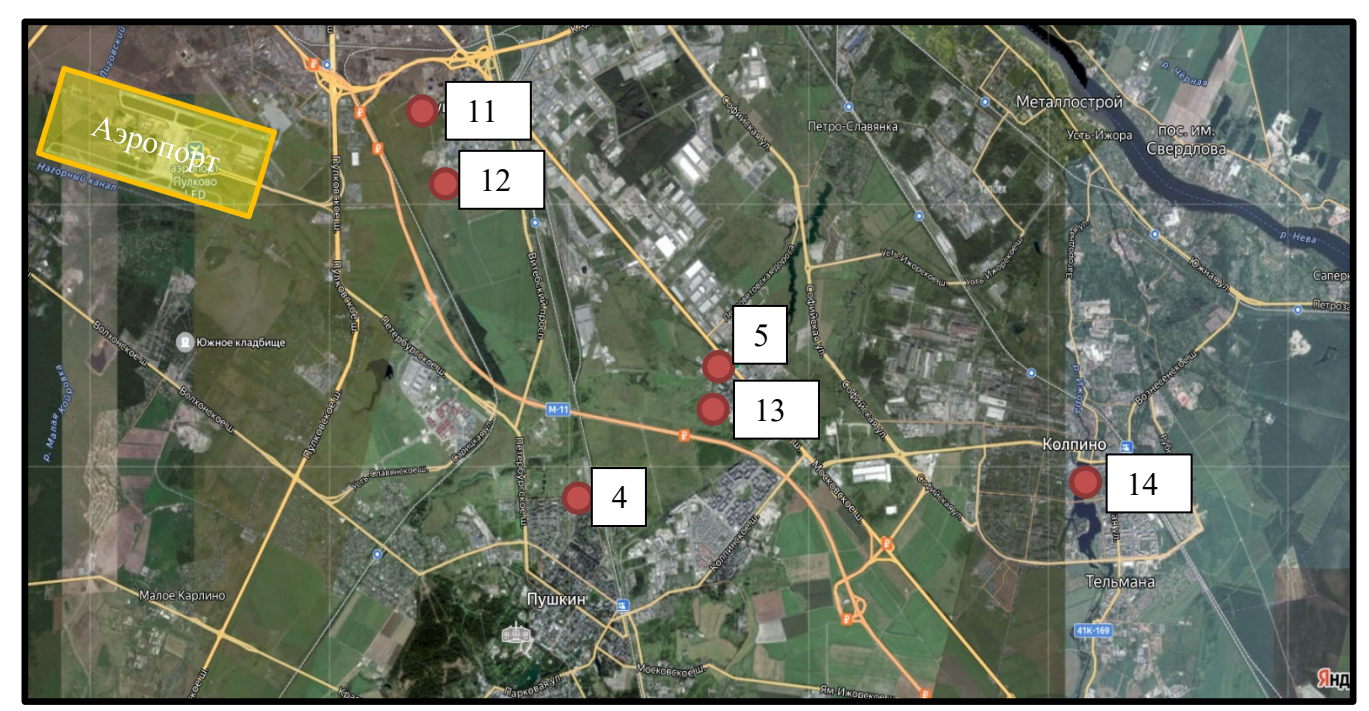


Рисунок 2.9 – Схема стандартного маршрута взлёта, курс 10R

В Приложении 1 представлены карты с точками контроля шума.

Характеристики и оценка шума (в сравнении с допустимыми санитарными нормами согласно СанПиН 1.2.3685-2021 [4]) приведены в таблицах 2.1 и 2.2. В обеих таблицах значения, приведенные под чертой, показывают превышения норм. В таблице 2.1 даны значения акустических характеристик вблизи аэропорта «Пулково». Напомним, чтобы формализовать этот термин нами было принято согласно ГОСТ 22283-2014 [9] характеристика эквивалентного звука на территории жилой застройки в дневное время равным 60 дБА. Согласно СанПиН 1.2.3685-2021 [4] значения максимального УЗ могут быть приняты равными 75 дБА, а для ночного времени: эквивалентный УЗ - 50 дБА, максимальный 65 дБА.

В таблице 2.1 приведены характеристики шума в жилой застройке, где приведенные выше значения превышены, а также указаны адреса жилых застроек, которые находятся на наиболее близком расстоянии от ВПП.

Таблица 2.1 Значения и оценка уровней авиационного шума в жилой застройке вблизи аэропорта «Пулково».

| | | | У3, | дБА | | Значения | превышени 1.2.36 | я УЗ, дБА по 585-21 | СанПиН | Значения п | ревышения УЗ | 3, дБА по ГОСТ | 22283-14 | |
|---|---|-------------------------------------|-------------------------------------|-------------------------------------|------------------------------|-------------------------------------|------------------------------|-------------------------------------|------------------------------|-------------------------------------|-------------------------------------|--------------------------------------|------------------------------------|-------------------------|
| № | Адрес расположения жилой застройки | Де Эквива- лентный УЗ, дБА | ень Макси- мальный УЗ, дБА | Но Эквива- лентный УЗ, дБА | Макси- мальный УЗ, дБА | Де Эквива- лентный УЗ, дБА | Макси- мальный УЗ, дБА | Но Эквива- лентный УЗ, дБА | Макси- мальный УЗ, дБА | До Эквива- лентный УЗ, дБА | ень Макси- мальный УЗ, дБА | Ног Эквива- лентный УЗ, дБА | чь Макси- мальный УЗ, дБА | Расстояние до ВПП, м |
| 1 | Жилая застройка, при- легающая к границе СЗЗ, по ул. Пилотов, д.16к2 (перед фасадом) | 63 | 65-80 | 54 | 70-75 | 8 | до 10 | 9 | 10-15 | 3 | до 5 | 4 | 5-10 | 920 |
| 2 | Жилая застройка, при- легающая к границе СЗЗ, по ул. Пилотов, д.16к2 (перед торцом) | 68 | - | 60 | - | 13 | - | 15 | - | 8 | - | 10 | - | 920 |
| 3 | г. Пушкин, ул. Парти- зана Германа, д.28 | 60 | 60-80 | 53 | 50-80 | 5 | до 10 | 8 | до 10 | - | до 5 | 14 | до 5 | 4080 |
| 4 | г. Санкт-Петербург, пересечение ул. Летчика Пилютова и пр. Народного Ополчения | 61 | 64-86 | 49 | 50-65 | 6 | до 16 | 4 | до 5 | 1 | до 11 | - | - | 5180 |
| 5 | Посёлок Новоселье, ул. Полевая, д. 24 | 62 | 50-70 | 50 | 60-70 | 7 | - | 5 | до 10 | 2 | - | - | до 5 | 8300 |
| 6 | г. Санкт-Петербург, ул. Взлётная, д. 13 | 61 | 65-80 | 58 | 70-75 | 6 | до 10 | 13 | до 10 | 1 | до 5 | 8 | до 5 | 850 |

Здесь же показано сравнение полученных характеристик с действующими санитарными нормами. Отметим, что во всех рассмотренных случаях эквивалентные УЗ или равны, или превышают взятый критерий и лежат в диапазоне 49-60 дБА. Отметим превышение выбранного критерия на 1-8 дБА в дневное время и на 1-14 дБА в ночное время. Максимальные УЗ в дневное и ночное время могут как не превышать выбранного соответственного критерия, так превышать его на 10-11 дБА.

Соответственно превышения санитарных норм составили:

- дневное время от 5-13 дБА эквивалентные УЗ и до 10-16 дБА максимальные УЗ;
- ночное время от 5 до 19 дБА эквивалентные УЗ и до 5-15 дБА максимальные УЗ.

Таким образом, превышение эквивалентных УЗ составило 1,5-2,5 раза в дневное время и в 1,5- почти 4 раза по субъективному ощущению громкости. Это очень серьезные превышения допустимых СН, а, следовательно, проблема снижения шума в жилой застройке, расположенной вблизи аэропорта актуальна.

Точки контроля №1 (Жилая застройка, прилегающая к границе СЗЗ, по ул. Пилотов, д.16к2 (перед торцом)), №2 (Жилая застройка, прилегающая к границе СЗЗ, по ул. Пилотов, д.16к2 (перед торцом)) и №6 (г. Санкт-Петербург, ул. Взлётная, д. 13) находятся на расстоянии от ВПП 850 — 920 м. В этих точках расположены многоэтажные дома, на которые авиационный шум воздействует на этапе разбега ВС по ВПП.

Проанализируем полученные и приведенные в таблице 2.3.1 результаты более подробно. В пунктах 1-2 приведены данные измерений в точках, наиболее близко расположенных к ВПП. Здесь фиксируется в основном шум, который связан с разбегом самолёта по ВПП. Превышения эквивалентных УЗ в дневное время 8 и 13 дБА. Это говорит о том, что при расположении зданий в небольшом расстоянии (до 1-1,5 км) от ВПП требуется рассматривать снижение шума от этой операции отдельно. Отметим также, большую роль экранирующего эффекта для снижения

шума при этой операции. Во-первых, этот дом расположен торцом по отношению к ВПП, поэтому разница эквивалентных УЗ в точках составила 5-6 дБА за счёт экранирующего эффекта. Во-вторых, эквивалентные УЗ перед зданием на расстоянии 920 м от ВПП составили, например, в дневное время 68 дБА. Нетрудно подсчитать, что, принимая снижение шума за счет дивергенции около 15 дБА и звукопоглощения подстилающей поверхности (около 4 дБА), а также учитывая молекулярное затухание звука в воздухе (6 дБА), ожидаемые УЗ в этой точке должны быть выше на 5-8 дБА. Дополнительное снижение шума обусловлено различными между ВПП и домом, которые обеспечивали определенный экранирующий эффект. Это показывает один из эффективных путей снижения шума от летательных аппаратов, движущихся по ВПП, если жилые здания расположены вблизи ВПП.

В заключении обратим внимание, что понятие «вблизи» не всегда связаны с расстоянием до аэропорта. Действительно значения эквивалентного УЗ от 60 дБА и выше (в дневное время) зафиксированы в жилой застройке, расположенной от 850 до 11600 м до ВПП. Очевидно, что это связано с трассами полёта, а увеличение (или уменьшение) фиксируемых УЗ при отклонениях самолётов от заданных трасс требует специального излучения.

В таблице 2.2 даны характеристики и даны те результаты измерений авиационного шума в жилой застройке, которые ниже выбранного критерия (60 дБА). Также в данной таблице приведены все точки контроля шума, которые анализировались на протяжении 8 лет проведения мониторинга авиационного шума и представлены адреса жилых застроек с выявленными превышениями шума при пролете ВС в радиусе 18 км в восточном и западном направлениях от ВПП аэропорта «Пулково».

Таблица 2.2 Характеристики и оценка авиационного шума, измеренного в отдельных точках в жилой застройке

| | | Локация точки | | У3, | дБА | | Описание ИШ | Взлет (В)/ | Учет фона, | Расстояние |
|---|---|--|---------------------|---|----------------------|--|---|-------------|----------------|--------------|
| № | Объект исследования | измерения | | ень | | ОЧЬ | (марка ВС) | Посадка (П) | дБА (+/-) | до ВПП |
| 1 | | - | Экв. | Макс. | Экв. | Макс. | . 1 | ` ′ | | , , |
| 1 | 2 | 3 ТИ №1: г.СПб, ул. Партизана Германа, д.28к2 | 56-63 1-8 | 55-60 ¹ 60-65 ² 70-75 ³ 75-80 ⁴ | 48-60 3-15 | 55-60 ₁ 65-70 ₂ | 8 1 - GALX, GLF5, LJ60; 2 - CRJ2; 3 - A319, A320, A321,CRJ1, AN24, E170, B73W, B73H, B738; 4 - B735, B773 1 - CRJ2, DH8D; | 9 B | 52-55 44-51 | 11 4080 м |
| | г. Пушкин; п. Новоселье; п. Ленсоветовский; п. Шу- шары; территория в непо- средственной близости от | ТИ №2: г.СПб, пересечение ул. летчика Пилютова и пр. Народного Ополчения | <u>56-62</u> 1-7 | 55-60 ¹ 60-65 ² 65-70 ³ 70 -75 ⁴ 75-80 ⁵ | <u>46-58</u> 1-13 | 50-55 ₁ 55-60 ₂ 60-65 ₃ | 2 – A320, A321 1 – GALX, GLF5, LJ60; 2 – AN24, CRJ2; 3 – A320, A321, E170, CRJ1; 4 – A319, A320, A321, B735, B738, B773, B73H, B73W; 5 – A321, B735 1 – DH8D; 2 – A320, CRJ2; 3 – A320 | В | 45-47 | 5180 м |
| 1 | траекториий полетов воздушных судов, совершающих взлет в аэропорту Пулково. | ТИ №3: г.СПб, МО Горелово, 4-я линия, д.4 | <u>56-57</u> 1-2 | 50-55 ¹ 55-60 ² 60-65 ³ 65-70 ⁴ 76-80 ⁵ | <u>46-57</u> 1-12 | 50-55 ₁ 55-60 ₂ 60-65 ₃ | 1 – CRJ2, 2 – A320, A321, E170, B735, B3W; 3 – A319, A320; 4 – A320, B752; 5 – A321 1 – A321, E190, BE40; 2 – A319, A320, B763; 3 – A320 | В | 40-42 37-38 | 4030 м |
| | | ТИ №4: г. Пушкин, Детскосельский б- р, д.10 | 47-55 | 50-55 ¹ 55-60 ² 60-65 ³ | 47-52 2-7 | 45-50 ₁ 50-55 ₂ 55-60 ₃ 60-65 ₄ | 1 – A319, A320, A321, B773, B772, CRJ2; 3 – A319, A320, B73H 1 – FA7X, B73H; 2 – A320, A321; 3 – E170; 4 – A319 | В | 45-46 36-51 | 8800 м |

| | | п | | У3, | дБА | | 0 11111 | D (D)/ | 37 1 | D |
|---|--|---|-------------------|--|----------------------------|--|--|---------------------------|-------------------------|----------------------|
| № | Объект исследования | Локация точки | , , | ень | | очь | Описание ИШ (марка ВС) | Взлет (В)/ Посадка (П) | Учет фона, дБА (+/-) | Расстояние до ВПП |
| | | измерения | Экв. | Макс. | Экв. | Макс. | (марка ВС) | , | | , , |
| 1 | 2 | 3 | 4 | 5 | 6 | 7 | 8 | 9 | 10 | 11 |
| | | ТИ №5: Пос. Лен- советовский | <u>51-56</u> 1 | 50-55 ¹ 55-60 ² 60-65 ³ 65-70 ⁴ 70-75 ⁵ | <u>44-52</u> <u>1-7</u> | 50-55 ₁ 55-60 ₂ 60-65 ₃ | 1 – A320, A321, B73H, CRJ2; 2 – B772, A319; 3 – A319, A320, B773, CRJ2; 4 – A319, A320, A321; 5 – A321, B736 1 – A319, FA7X; 2 – A321; 3 – A320, B73H | В | 51-53 | 10700 м |
| 2 | | ТИ 6: Координаты точки – (59.87006; 29.90653) | 50-56 1 | 50-55 ₁ 60-65 ₂ 65-70 ₃ 70-75 ₄ | <u>50-52</u> <u>5-7</u> | 50-55 ₁ 60-65 ₂ 65-70 ₃ 70-75 ₄ | 1 – A319, A320, A321; 2 – A319, A320; 3 – A319, A321; 4 – A319 | П | 41-44 | 19100 м |
| | г. СПб, г. Пушкин, п. Новоселье, п. Ленсоветовский | ТИ 7-В: д. Верхняя Колония, д. 35а | 51 | 45-50 ¹ 50-55 ² 55-60 ³ 60-65 ⁴ 65-70 ⁵ | <u>50</u> 5 | 60-65 ₁ 65-70 ₂ | 1 – CL60, CRJ2, FA7X; 2 – A319, CL30, GLF6; 3 – A319, A320, AN24, SU95, E145; 4 – A319, A320, A321, B735, E135, B73H, B77W; 5 – B735, B73H 1 – A319, A320, A321, B735; 2 – A319, A333 | В | 41-46 | 11200 м |
| 3 | ский, п. Шушары, д. Верхняя | ТИ 8-В: пос. Стрельна, ул. Ниж- няя Колония | <u>57</u> 2 | 50-55 ¹ 55-60 ² 60-65 ³ 65-70 ⁴ | <u>54</u> | 60-65 ₁ 65-70 ₂ 70-75 ₃ | 1 – A319; 2 – A320, A321, FA7X; 3 – A319, A320, A321, CRJ2, SU95, E145, GLF6; 4 – A319, A320, A321, B738, B735, E135, B73H, CL60, AN24, CL30, B77W 1 – A319, A320, A321; 2 – A319, B735; 3 – A333 | В | 55 49-51 | 11200 м |
| | | ТИ 9-В: пос. Стрельна, ж/д стан- ция «Стрельна» | 60 5 | 55-60 ¹ 60-65 ² 65-70 ³ | <u>51</u> 6 | 55-60 ₁ 60-65 ₂ | 1 – A320, CL60; 2 – A319, A320, A321, CL30, CRJ2, FA7X, SU95, E145, GLF6; | В | 57-58 | 11600 м |

| | | Локация точки | | У3, | дБА | | Описание ИШ | Взлет (В)/ | Учет фона, | Расстояние |
|---|---------------------|--|-------------------|--|---------------------|--|---|-------------|-------------------------|------------|
| № | Объект исследования | измерения | | ень | | ОЧЬ | (марка ВС) | Посадка (П) | учет фона, дБА (+/-) | до ВПП |
| | _ | _ | Экв. | Макс. | Экв. | Макс. | ` - / | | ` ′ | |
| 1 | 2 | 3 | 4 | 5 | 6 | 7 | 8 3 – A319, A320, A321, B738, B735, E135, B73H, AN24, B77W | 9 | 10 | 11 |
| | | | | | | | 1 – A320, A321, B735; 2 – A319, A333 | | 43-45 | |
| | | | | | | | 1 – A319, A320, A321; 2,3 – A319; 4 – A319, B735, A333 | | 38-46 | |
| | | ТИ 10-В: пос. Новоселье, ул. Полевая, д.24 | <u>50-62</u> 7 | 50-55 ¹ 55-60 ² 60-65 ³ 65-70 ⁴ 70-75 ⁵ | <u>50-52</u> 5-7 | 60-65 ₁ 65-70 ₂ | 1 – E135, CRJ2; 2 – A319, A320, B738, E145; 3 – A319, A320, A321, B728, B735, B73H, CL60, AN24, CL30, FA7X, SU95, GLF6; 4 – A320, A321; 5 – A319 1 – A319, A321, B735; | В | 57-59 | 8300 м |
| | | ТИ 11-В: пос. Шу- шары | 55 | 60-65 ¹ 65-70 ² 70-75 ³ | 494 | 50-55 ₁ 55-60 ₂ 60-65 ₃ | 2 – A319, A320, A333 1 – A319, E170, E135, A320, B733, CRJ2, GLEX, CL60, E170; 2 – A333, A319, A320, A321, B772, B736, B735, E190, CL35, B73H, GLEX; 3 – F2TH, A320, B738, B735, 190, B73H 1 – A320; 2 – A320, B735, B738, B736; 3 – A319, A320, A321, B738 | В | 48-51 | 3970 м |
| | | ТИ 12-В: пос. Шу- шары | <u>59</u> 4 | 60-65 ¹ 65-70 ² 70-75 ³ | <u>52</u> 7 | 55-60 ₁ 60-65 ₂ 65-70 ₃ | 1 - E170, E135, A319, B733, CRJ2, CL35, GLEX, CL60; 2 - A333, A319, A320, A321, B772, B736, B738, E190, GLEX; 3 - F2TH, A319, A320, B738, B735, E190 1 - A320, B736; 2 - A319, A320, A321, B735; 3 - A319, A320, A321, B738 | В | 52-53 49-50 | 4100 м |

| | | п | | У3, | дБА | | 0 11111 | D (D)/ | 37 1 | D |
|----|---------------------|--|---------------------|--|--|---|---|---------------------------|-------------------------|-------------------|
| No | Объект исследования | Локация точки измерения | | ень | | очь | Описание ИШ (марка ВС) | Взлет (В)/ Посадка (П) | Учет фона, дБА (+/-) | Расстояние до ВПП |
| | | измерения | Экв. | Макс. | Экв. | Макс. | (марка ВС) | Посадка (П) | ` ' | , , |
| 1 | 2 | 3 | 4 | 5 | 6 | 7 | 8 | 9 | 10 | 11 |
| | | ТИ 13-В: пос. Лен- советовский, ЖК «Вариант» | 52 | 50-55 ¹ 55-60 ² 60-65 ³ 65-70 ⁴ | <u>52</u> 7 | 50-55 ₁ 60-65 ₂ 65-70 ₃ | 1 – CL60, E135, A319, CRJ2; 2 – E170, CL35, GLEX; 3 – A33, F2TH, A319, A320, A31, B772, B736, B733, B738, B735, E190, B73H, GLEX; 4,5 – A320; | В | 47-48 | 10100 м |
| | | | 70-755 | | | | 1 – B736; 2 – A320; 3 – A319, A320, A321, B735, B738 | | 46 | |
| | | ТИ 14-В: г. Кол- пино, Парк по ул. Красная | <u>54-57</u> 1-2 | 50-55 ¹ 55-60 ² 60-65 ³ 65-70 ⁴ 70-75 ⁵ | <u>52</u> 7 | 55-60 ₁ 65-70 ₂ | 1 – A319, A321, E190; 2 – E170, CL60, E135, A319, A320, A321, CRJ2, CL35, GLEX; 3 – A319, A320, B733, CRJ2, B735, B73H, GLEX; 4 – A333, F2TH, A319, A320, A321, B772, B738, E190; 5 – A320, B735 1 – A320, B738; 2 – A319, A320, A321, B735 | В | 51 49-50 | 17900 м |
| | | ТИ 15-П: г. Петер- гоф, Ропшинсоке шоссе, д.10 | 50 | 50-55 ¹ 55-60 ² 60-65 ³ | <u>52</u> 7 | 50-55 ₁ 55-60 ₂ 60-65 ₃ 65-70 ₄ | 1 – A319, B73G; 2 – A319, A320, A321, B73H, B735, B73W, E175; 3 – A319, A320, A321, AT72 1 – A320, B735, AT72; 2 – A319, A320, A321, B738, B736; | В | 46-47 48-49 | 16100 м |
| | | ТИ 16-П: д. Оль- гино, ул. Полевая 50-55 ¹ 55-60 ² 60-65 ³ 65-70 ⁴ | | 48-54 3-9 | 50-55 ₁ 55-60 ₂ 60-65 ₃ | 3 – A319, B733, B73H 1 – A319; 2 – A321, B73W, AT72; 3 – A321, B73H, B735, E175, B73G 1 – A319, B733, B735, AT72; 2 – A320, A321, B738; 3 – A319, B73H, B736 | В | 38-47 43-46 | 17100 м | |

| | | Локация точки | | У3, | дБА | | Описание ИШ | Взлет (В)/ | Учет фона, | Расстояние |
|---------------------|---|--------------------------------------|-----------------|-------------------------|-----------------|----------------|---|---------------|------------|------------|
| $N_{\underline{0}}$ | Объект исследования Локация точки измерения День Ночь Экв. Макс. Экв. Макс. 2 3 4 5 6 7 | (марка ВС) | Посадка (П) | учет фона, дБА (+/-) | до ВПП | | | | | |
| | | измерения | Экв. | Макс. | Экв. | Макс. | (марка ВС) | 110садка (11) | два (17-) | до БПП |
| 1 | 2 | 3 | 4 | 5 | 6 | 7 | 8 | 9 | 10 | 11 |
| 4 | Селитебная территория существующей жилой застройки, прилегающая к границе СЗЗ аэропорта «Пулково» | ТИ17: г. СПб, ул. Взлетная, д.13 | 6 <u>1</u> 7 | 65-80 10 | <u>58</u> 13 | 70-75 10-15 | 1 – A319, A320, E145, CRJ7; 2 – A319, B736, CRJ2, YK18, A320, B735, B738, B73H, E190; 3 – A319, A320, A321, B735, B734 1 – A319, A321; 2 – A320; 3 – A319, A320, B735, CRJ2; 4 – A319, A320, A321, B73H, AT72 | В | 42-43 | 850 м |
| 5 | Селитебная территория су- ществующей жилой за- стройки, прилегающая к границе СЗЗ аэропорта «Пулково» | ТИ18: г. СПб, ул. Пилотов, д.16к2 | 6 <u>3</u> 8 | 65-80 10 | <u>54</u> | 70-75 10-15 | 1 – A319, A320, E145, CRJ7; 2 – A319, B736, CRJ2, YK18, A320, B735, B738, B73H, E190; 3 – A319, A320, A321, B735, B734 1 – A319, A321; 2 – A320; 3 – A319, A320, B735, CRJ2; 4 – A319, A320, A321, B73H, AT72 | В | 42-43 | 920 м |

Отметим зафиксированные небольшие (1-4)дБА) превышения эквивалентных УЗ в дневное время в отдельных жилых массивах, поселках и пр. В то же время, значения превышения для ночного времени суток составляет от 1 до 12 дБА. Шум в ночное время имеет не только более значительное превышение, но эти превышения на величину от 2 до 8 дБА зафиксированы в большинстве исследованных жилых рекреаций. От воздействия авиационного шума пострадали районы г. Санкт-Петербурга и Ленинградской области: территория Лигово, Красносельского р-на (превышения по эквивалентному УЗ до 15 дБА и по максимальному УЗ до 10 дБА в дневное и ночное время суток); исторического района Соснова поляна, Красносельского р-на (превышения по эквивалентному УЗ до 13 дБА и по максимальному УЗ до 10 дБА в дневное и ночное время суток); исторического района Горелова (превышения по эквивалентному УЗ до 12 дБА и по максимальному УЗ до 10 дБА в дневное и ночное время суток); город Пушкин, Пушкинского р-на Санкт-Петербурга (превышения по эквивалентному УЗ до 7 дБА и по максимальному УЗ до 5 дБА ночное время суток); Территория Ленсоветовский, Пушкинский район (превышения по эквивалентному УЗ до 7 дБА и по максимальному УЗ до 5 дБА в дневное и ночное время суток); Петергоф (превышения по эквивалентному УЗ до 7 дБА и по максимальному УЗ до 15 дБА в дневное и ночное время суток); д. Верхняя Колония, Ломоносовского района (превышения по эквивалентному УЗ до 5 дБА и по максимальному УЗ до 10 дБА в ночное время суток); п. Стрельна, Петродворцового района (превышения по эквивалентному УЗ до 9 дБА и по максимальному УЗ до 15 дБА в дневное и ночное Новоселье, Ломоносовский время суток); район (превышения эквивалентному УЗ до 7 дБА и по максимальному УЗ до 10 дБА в дневное и ночное время суток); г. Колпино, Колпинского района г. Санкт-Петербурга (превышения по эквивалентному УЗ до 7 дБА и по максимальному УЗ до 10 дБА в дневное и ночное время суток); д. Ольгино, Ломоносовского района (превышения по эквивалентному УЗ до 9 дБА и по максимальному УЗ до 5 дБА в ночное время суток); территория Авиагородка (превышения по эквивалентному УЗ до 13 дБА и по максимальному УЗ до 15 дБА в дневное и ночное время суток).

Данные по результатам мониторинга в точках контроля представлены в Приложении 2. Контроль авиационного шума осуществлялся с 2012 года, но из-за большого количества данных, в диссертации показаны измерения авиационного шума с 2017 по 2022 года в точках контроля на селитебной территории. За период проведения контроля были зафиксированы 3181 самолет. В таблице 2.3 представлены ежеквартальные данные по количеству самолетов гражданской авиации, зафиксированных за период проведения измерений и процент превышений норм шума за данный период.

Таблица 2.3 Количество самолетов гражданской авиации, зафиксированных за период проведения измерений и процент превышений норм шума за данный период

| Период | Количество самолетов гражданской авиации, шт. | Процент превышений установленных норм шума, % |
|-----------------|---|---|
| 2019 март | 303 | 62 |
| 2019 май | 366 | 67 |
| 2019 июнь | 304 | 77 |
| 2019 декабрь | 215 | 88 |
| 2020 март | 184 | 30 |
| 2020 июнь | 250 | 90 |
| 2020 август | 325 | 39 |
| 2020 декабрь | 117 | 88 |
| 2021 март | 144 | 85 |
| 2021 май | 218 | 89 |
| 2021 сентябрь | 272 | 91 |
| 2021 декабрь | 102 | 75 |
| 2022 апрель-май | 211 | 80 |
| 2022 сентябрь | 170 | 85 |

На Рисунке 2.10 представлен статистический график превышений шума на

селитебных территориях воздушными судами, зафиксированными в период проведения мониторинга.

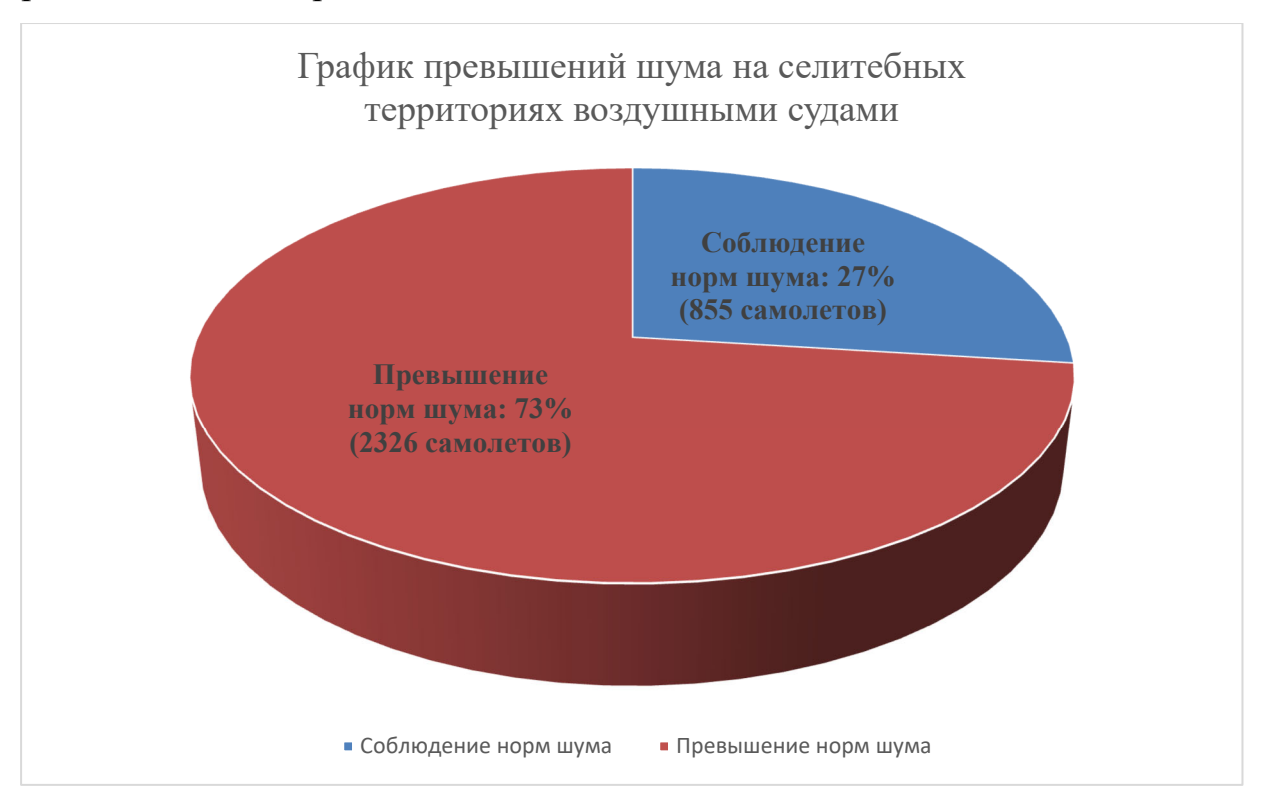


Рисунок 2.10 — статистический график превышений шума на селитебных территориях воздушными судами, зафиксированными в период проведения мониторинга

В точках контроля за рассматриваемый период измерений были превышены 2326 из 3181 (73% из 100% превышений) событий пролетов над селитебными территориями.

Все рассмотренные объекты находятся вблизи от траекторий полётов воздушных судов. Снижение шума в ночное время требует определенного ограничения полётов воздушных судов. Также необходимо изучить влияние траекторий полётов на шум в жилых застройках.

Выводы по главе:

- 1. Для проведения измерений авиационного шума на жилой застройке использовалась стандартная методика, в которой точки измерений выбирались в соответствии с расположением жилой застройки и трасс полётов.
- 2. Для формализации понятия жилой застройки «вблизи аэропортов» автором предложено рассматривать территорию, на которой эквивалентный уровень звука равен 60 дБА.
- 3. Измеренные значения УЗ вблизи аэропорта лежат в диапазоне 60-68 дБА (дневное время) и 49-60 дБА (ночное время); превышения полученных значений над санитарными нормами (согласно СанПиН 1.2.3685-2021) [3]) составили 5-13 дБА для дневного времени суток и 4-15 дБА для ночного времени. Это показывает, что проблема снижения авиационного шума в жилой застройке, расположенной вблизи аэропортов, является актуальной. Отметим, что если снижение шума в ночной период времени суток можно добиться уменьшением числа полётов в ночное время, то одним из способов снижения шума может быть строгая регламентация трасс полётов, но этот вопрос требует дополнительного изучения.
- 4. Значительное воздействие авиационного шума отмечено в районах г. Санкт-Петербурга и Ленинградской области: территория Лигово, Красносельского р-на (превышения по эквивалентному УЗ до 15 дБА и по максимальному УЗ до 10 дБА в дневное и ночное время суток); исторического района Соснова поляна, Красносельского р-на (превышения по эквивалентному УЗ до 13 дБА и по максимальному УЗ до 10 дБА в дневное и ночное время суток); исторического района Горелова (превышения по эквивалентному УЗ до 12 дБА и по максимальному УЗ до 10 дБА в дневное и ночное время суток); город Пушкин, Пушкинского р-на Санкт-Петербурга (превышения по эквивалентному УЗ до 7 дБА и по максимальному УЗ до 5 дБА ночное время суток); Территория Ленсоветовский, Пушкинский район (превышения по эквивалентному УЗ

до 7 дБА и по максимальному УЗ до 5 дБА в дневное и ночное время суток); Петергоф (превышения по эквивалентному УЗ до 7 дБА и по максимальному УЗ до 15 дБА в дневное и ночное время суток); д. Верхняя Колония, Ломоносовского района (превышения по эквивалентному УЗ до 5 дБА и по максимальному УЗ до 10 дБА в ночное время суток); п. Стрельна, Петродворцового района (превышения по эквивалентному УЗ до 9 дБА и по максимальному УЗ до 15 дБА в дневное и ночное время Ломоносовский Новоселье, район (превышения эквивалентному УЗ до 7 дБА и по максимальному УЗ до 10 дБА в дневное ночное время суток); Γ. Колпино, Колпинского района г. Санкт-Петербурга (превышения по эквивалентному УЗ до 7 дБА и по максимальному УЗ до 10 дБА в дневное и ночное время суток); д. Ольгино, Ломоносовского района (превышения по эквивалентному УЗ до 9 дБА и по максимальному УЗ до 5 дБА в ночное время суток); территория Авиагородка (превышения по эквивалентному УЗ до 13 дБА и по максимальному УЗ до 15 дБА в дневное и ночное время суток).

5. В точках контроля за рассматриваемый период измерений автором отмечены превышения шума в 2326 из 3181 событий пролетов над селитебными территориями (73% превышений из 100%).

ГЛАВА 3. ИССЛЕДОВАНИЕ АКУСТИЧЕСКОГО ВОЗДЕЙСТВИЯ АЭРОПОРТОВ

3.1. Акустическое воздействие различных типов воздушных судов

Акустическое воздействие различных типов воздушных судов измерения максимального уровня шума фиксировались по данным шумомера. Результаты мониторинга также отражены в статье [41]. Для анализа был выбран один из периодов проведения измерений в дневное и ночное время.

Список установленных точек измерений и их координаты представлены в таблице 3.1.1.

Таблица 3.1 Координаты точек измерений

| Номер | D | GPS координаты | | | | |
|--------|--|----------------|----------|--|--|--|
| точки | Расположение точки измерения | широта | долгота | | | |
| 1-В/П | д. Верхняя Колония, д. 35а | 59.82514 | 30.01139 | | | |
| 2-В/П | пос. Стрельна, ул. Нижняя Колония | 59.83583 | 30.02239 | | | |
| 3-В/П | пос. Стрельна, ж/д станция «Стрельна» | 59.84718 | 30.03366 | | | |
| 4-В/П | г. Петергоф, Озерковая ул., д. 39 | 59.87006 | 29.90653 | | | |
| 5-В/П | пос. Новоселье, ул. Полевая, д. 24 | 59.81461 | 30.06131 | | | |
| 6-В/П | пос. Шушары | 59.78091 | 30.47613 | | | |
| 7-В/П | пос. Шушары | 59.77055 | 30.47256 | | | |
| 8-В/П | пос. Ленсоветовский, ЖК «Вариант» | 59.75627 | 30.46178 | | | |
| 9-В/П | г. Пушкин, Детскосельский бульвар, д.10 | 59.74949 | 30.41442 | | | |
| 10-В/П | г. Колпино, Парк по ул. Красная | 59.74521 | 30.60063 | | | |

Всего за время измерений был отмечен 31 тип ВС (рисунок 3.1).

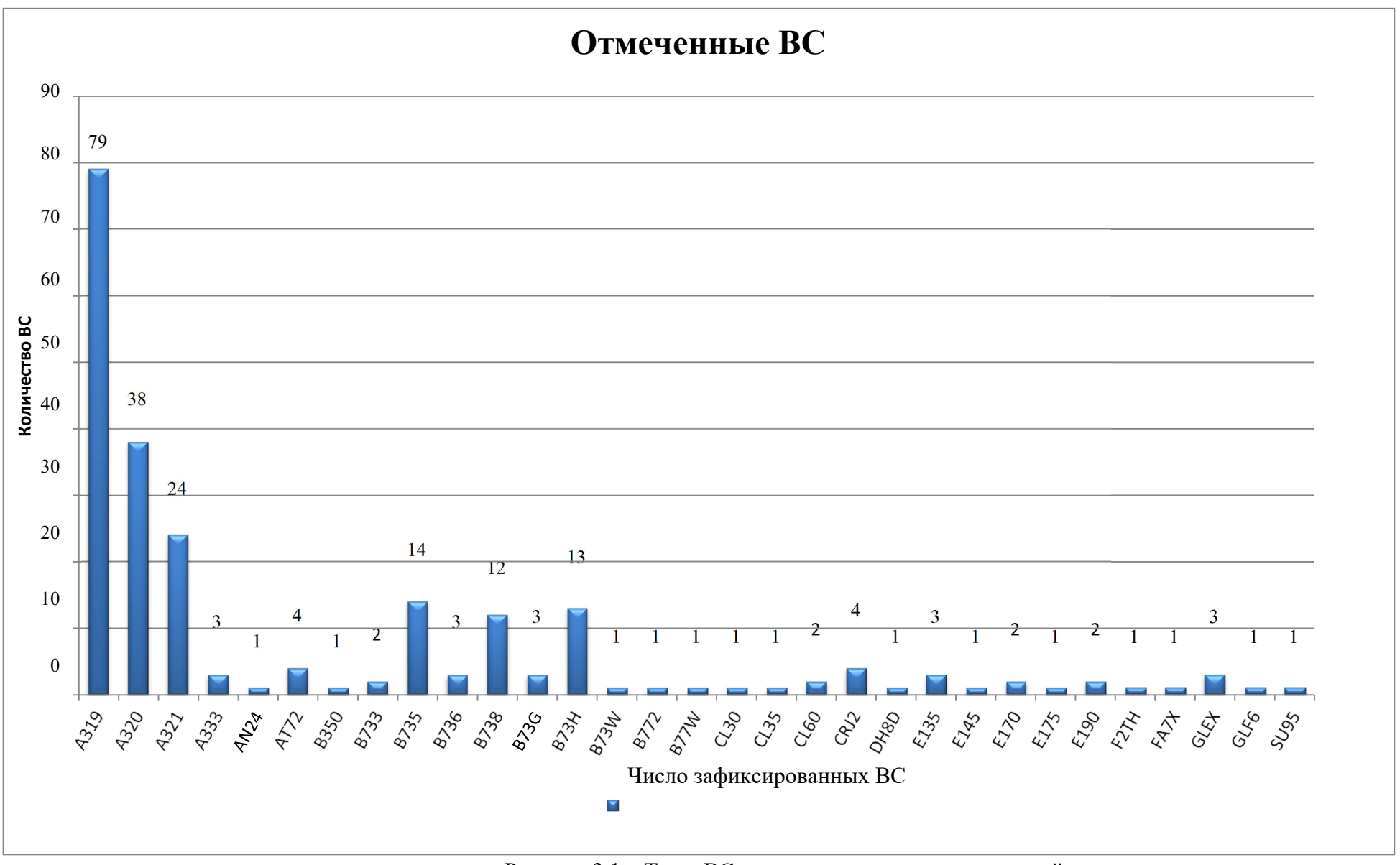


Рисунок 3.1 – Типы ВС, отмеченные за время измерений

Значительная часть типов BC была отмечена при пролете малое количество раз. Исключив типы BC, для которых невозможно провести сравнительный анализ шумового воздействия, гистограмма приобретет следующий вид (рисунок 3.2).

Данное исключение применяется для отображения корректной оценки основных типов ВС. В общем случае, исключению подвергнуты ВС, зафиксированные меньшее количество раз.



Рисунок 3.2 – Типы ВС, наиболее часто отмеченные за время измерений

Итоговая диаграмма позволяет сделать вывод о наиболее используемых на текущий момент типах BC, для которых возможно проводить сравнительный анализ уровней шума: A319 - 79 ЛА, A320 - 38 ЛА, A321 - 24 ЛА, B735 - 14 ЛА, B73H - 13 ЛА, B738 - 12 ЛА.

Превышений по максимальному уровню шума в дневное время почти не было выявлено, большая часть превышений приходится на ночной период времени суток. В таблицах 3.2-3.7 приведены максимальные уровни звука,

зафиксированные в точках контроля на селитебной территории отдельными типами воздушных судов.

Таблица 3.2 Максимальные уровни звука ВС А319

| Тип | | | | | | | Lамаг | се, дБА | | | | |
|------------|------------------------------|-------------------|--------------|--------------|--------------|--------------|--------------|--------------|--------------|--------------|--------------|--------------|
| ВС, п/н | Время события (день/ночь) | Взлет/ посадка | 1 | 2 | 3 | 4 | 5 | 6 | 7 | 8 | 9 | 10 |
| | A319 | | 51-67 дБА | 51-73 дБА | 46-72 дБА | 41-74 дБА | 56-75 дБА | 49-70 дБА | 62-71 дБА | 50-70 дБА | 48-67 дБА | 54-69 дБА |
| 1 | 15:08 (день) | посадка | 59 | 68 | - | - | - | - | - | - | - | - |
| 2 | 16:20 (день) | посадка | 60 | 68 | - | - | - | - | - | - | - | - |
| 3 | 16:48 (день) | посадка | 54 | 66 | 55 | 51 | - | - | - | - | - | ı |
| 4 | 16:53 (день) | посадка | 59 | 67 | - | 44 | - | - | - | - | - | ı |
| 5 | 16:57 (день) | посадка | 60 | 69 | - | - | - | - | - | - | - | ı |
| 6 | 18:02 (день) | посадка | 51 | 51 | 54 | 51 | - | - | - | - | - | ı |
| 7 | 18:20 (день) | посадка | 59 | 67 | - | 41 | - | - | - | - | - | - |
| 8 | 06:15 (ночь) | посадка | 64 | 70 | 46 | 48 | - | - | - | - | - | - |
| 9 | 07:00 (ночь) | посадка | 62 | 69 | 46 | 46 | - | - | - | - | - | - |
| 10 | 05:42 (ночь) | посадка | 67 | 69 | 61 | 64 | - | - | - | - | - | - |
| 11 | 05:53 (ночь) | посадка | 59 | 66 | 47 | 49 | - | - | - | - | - | - |
| 12 | 05:59 (ночь) | посадка | 60 | 67 | 59 | 67 | - | - | - | - | - | - |
| 13 | 06:06 (ночь) | посадка | 60 | 66 | 70 | 55 | - | - | - | - | - | - |
| 14 | 06:12 (ночь) | посадка | 62 | 67 | 72 | 54 | - | - | - | - | - | - |
| 15 | 06:18 (ночь) | посадка | 67 | 70 | 66 | 59 | - | - | - | - | - | - |
| 16 | 06:22 (ночь) | посадка | 61 | 72 | 58 | 74 | - | - | - | - | - | - |
| 17 | 06:25 (ночь) | посадка | 68 | 73 | 63 | 70 | - | - | - | - | - | - |
| 18 | 06:37 (ночь) | посадка | 66 | 68 | 69 | 55 | - | - | - | - | - | - |
| 19 | 06:41 (ночь) | посадка | 62 | 67 | 71 | 57 | - | - | - | - | - | - |
| 20 | 06:57 (ночь) | посадка | 65 | 69 | 70 | 58 | - | - | - | - | - | - |
| 21 | 15:13 (день) | взлет | 61 | 67 | 68 | 60 | 60 | - | - | - | - | - |
| 22 | 16:04 (день) | взлет | 63 | 67 | 66 | 55 | 62 | - | - | - | - | - |
| 23 | 16:16 (день) | взлет | 59 | 64 | 63 | 52 | 62 | - | - | - | - | - |
| 24 | 16:18 (день) | взлет | 62 | 62 | 63 | 63 | 59 | - | - | - | - | - |
| 25 | 16:26 (день) | взлет | 63 | 67 | 68 | 51 | 63 | - | - | - | - | - |
| 26 | 16:28 (день) | взлет | 59 | 63 | 69 | 58 | 63 | - | - | - | - | - |
| 27 | 16:33 (день) | взлет | 65 | 64 | 67 | 63 | 64 | - | - | - | - | - |
| 28 | 16:45 (день) | взлет | 59 | 66 | 65 | 54 | 75 | - | - | - | | - |
| 29 | 16:51 (день) | взлет | 62 | 67 | 66 | 57 | 61 | - | - | - | - | - |
| 30 | 17:03 (день) | взлет | 61 | 69 | 67 | - | - | - | - | - | - | - |

| Тип | D 4 | | | | | | L _{Amar} | се, дБА | | | | |
|------------|------------------------------|-------------------|--------------|--------------|--------------|--------------|-------------------|--------------|--------------|--------------|--------------|--------------|
| ВС, п/н | Время события (день/ночь) | Взлет/ посадка | 1 | 2 | 3 | 4 | 5 | 6 | 7 | 8 | 9 | 10 |
| | A319 | | 51-67 дБА | 51-73 дБА | 46-72 дБА | 41-74 дБА | 56-75 дБА | 49-70 дБА | 62-71 дБА | 50-70 дБА | 48-67 дБА | 54-69 дБА |
| 31 | 17:49 (день) | взлет | 60 | 67 | 67 | 56 | 61 | - | - | - | - | - |
| 32 | 18:02 (день) | взлет | 51 | 56 | 60 | - | 63 | - | - | - | - | - |
| 33 | 18:25 (день) | взлет | 63 | 68 | 68 | 55 | 63 | - | - | - | - | - |
| 34 | 18:42 (день) | взлет | 63 | 67 | 68 | 56 | 56 | - | - | - | - | - |
| 35 | 23:03 (ночь) | взлет | 60 | 62 | 60 | 56 | 60 | - | - | - | - | - |
| 36 | 23:07 (ночь) | взлет | 65 | 66 | 63 | 50 | 65 | - | - | - | - | - |
| 37 | 23:15 (ночь) | взлет | 65 | 63 | 60 | 49 | 65 | - | - | - | - | - |
| 38 | 23:32 (ночь) | взлет | 66 | 65 | 61 | 52 | 66 | - | - | - | - | - |
| 39 | 23:47 (ночь) | взлет | 63 | 66 | 60 | 57 | 64 | - | - | - | - | - |
| 40 | 00:02 (ночь) | взлет | 64 | 67 | 62 | 56 | 63 | - | - | - | - | - |
| 41 42 | 00:14 (ночь) 00:16 (ночь) | взлет | 60 | 61 | 54 65 | 44 45 | 63 69 | - | - | - | - | - |
| 42 | 00:46 (ночь) | взлет взлет | 66 | 67 | 63 | 64 | 65 | - | - | - | - | - |
| 43 | 00:40 (ночь) | взлет | - | - | - | - | - | _ | _ | _ | _ | |
| 45 | 00:58 (ночь) | взлет | 65 | 64 | 65 | 44 | 69 | _ | _ | _ | _ | _ |
| 46 | 15:17 (день) | посадка | - | - | - | - | 65 | 58 | _ | _ | _ | _ |
| 47 | 15:49 (день) | посадка | _ | _ | _ | _ | 57 | 51 | _ | _ | _ | _ |
| 48 | 16:16 (день) | посадка | _ | _ | _ | _ | 63 | 51 | _ | _ | _ | _ |
| 49 | 16:43 (день) | посадка | _ | _ | _ | _ | 56 | 51 | _ | _ | _ | - |
| 50 | 17:04 (день) | посадка | _ | _ | _ | _ | 66 | 49 | _ | _ | _ | _ |
| 51 | 17:43 (день) | посадка | _ | _ | _ | _ | 63 | 54 | _ | _ | _ | _ |
| 52 | 18:26 (день) | посадка | _ | _ | _ | _ | 64 | 51 | _ | _ | _ | _ |
| 53 | 15:34 (день) | взлет | _ | _ | _ | _ | - | 69 | 70 | 62 | 59 | 68 |
| 54 | 15:54 (день) | взлет | _ | _ | _ | _ | _ | 68 | 68 | 61 | 60 | 64 |
| 55 | 16:00 (день) | взлет | _ | _ | _ | _ | _ | 67 | 66 | 63 | 60 | 64 |
| 56 | 16:02 (день) | взлет | _ | _ | _ | _ | _ | 68 | 68 | 65 | 61 | 68 |
| 57 | 16:16 (день) | взлет | _ | _ | _ | _ | _ | 69 | 68 | 63 | 59 | 66 |
| 58 | 16:18 (день) | взлет | _ | - | _ | _ | - | 68 | 67 | 63 | 59 | 62 |
| 59 | 16:22 (день) | взлет | _ | _ | _ | _ | _ | 68 | 68 | 60 | 56 | 66 |
| 60 | 16:30 (день) | взлет | _ | _ | _ | _ | _ | 68 | 67 | 61 | 58 | 58 |
| 61 | 16:45 (день) | взлет | _ | - | _ | _ | _ | 69 | 71 | 61 | 59 | 54 |
| 62 | 16:55 (день) | взлет | _ | _ | _ | _ | _ | 68 | 68 | 63 | 60 | 66 |
| 63 | 17:09 (день) | взлет | _ | - | _ | _ | _ | 69 | 68 | 62 | 58 | 65 |
| 64 | 17:24 (день) | взлет | _ | _ | _ | _ | _ | 65 | 66 | 63 | 59 | 64 |
| 65 | 17:37 (день) | взлет | - | - | - | - | - | 70 | 69 | 64 | 60 | 67 |
| 66 | 18:03 (день) | взлет | _ | _ | _ | _ | _ | 69 | 68 | 61 | 59 | 65 |
| 67 | 18:34 (день) | взлет | _ | _ | _ | _ | _ | 64 | 65 | 50 | 48 | 65 |
| 68 | 18:44 (день) | взлет | _ | _ | _ | _ | _ | 68 | 62 | 70 | 66 | 58 |

| Тип | Время события | Взлет/ | L _{Амакс} , дБА | | | | | | | | | | | |
|------------|---------------|---------|--------------------------|--------------|--------------|--------------|--------------|--------------|--------------|--------------|--------------|--------------|--|--|
| ВС, п/н | (день/ночь) | посадка | 1 | 2 | 3 | 4 | 5 | 6 | 7 | 8 | 9 | 10 | | |
| | A319 | | 51-67 дБА | 51-73 дБА | 46-72 дБА | 41-74 дБА | 56-75 дБА | 49-70 дБА | 62-71 дБА | 50-70 дБА | 48-67 дБА | 54-69 дБА | | |
| 69 | 18:46 (день) | взлет | - | - | - | - | - | 68 | 69 | 60 | 56 | 58 | | |
| 70 | 05:26 (ночь) | взлет | - | - | - | - | ı | 64 | 68 | 70 | 67 | 69 | | |
| 71 | 05:46 (ночь) | взлет | - | - | - | - | 1 | 66 | 66 | 69 | 67 | 68 | | |
| 72 | 06:11 (ночь) | взлет | - | - | - | - | - | 64 | 64 | 68 | 63 | 65 | | |
| 73 | 00:03 (ночь) | посадка | - | - | - | - | 67 | 61 | - | - | - | - | | |
| 74 | 00:12 (ночь) | посадка | - | - | - | - | 64 | 59 | - | - | - | - | | |
| 75 | 00:17 (ночь) | посадка | - | - | - | - | 66 | 60 | - | - | - | - | | |
| 76 | 00:41 (ночь) | посадка | - | - | - | - | 66 | 58 | - | - | - | - | | |
| 77 | 18:02 (день) | взлет | - | - | - | - | - | - | - | - | - | - | | |

Таблица 3.3 Максимальные уровни звука ВС А320

| | | | | | | | L _{Amak} | с, дБА | | | | |
|-------------------|------------------------------|-------------------|--------------|--------------|--------------|--------------|-------------------|--------------|--------------|--------------|--------------|--------------|
| Тип ВС, п/н | Время события (день/ночь) | Взлет/ посадка | 1 | 2 | 3 | 4 | 5 | 6 | 7 | 8 | 9 | 10 |
| | A320 | | 55-66 дБА | 59-70 дБА | 50-70 дБА | 40-62 дБА | 54-70 дБА | 45-73 дБА | 55-71 дБА | 60-71 дБА | 57-69 дБА | 58-70 дБА |
| 1 | 15:18 (день) | посадка | 60 | 68 | - | - | - | - | - | - | - | - |
| 2 | 15:28 (день) | посадка | 55 | 61 | 50 | 40 | - | - | - | - | - | - |
| 3 | 16:29 (день) | посадка | 62 | 67 | - | 48 | - | - | - | - | - | - |
| 4 | 17:16 (день) | посадка | 59 | 67 | - | - | - | - | - | - | - | - |
| 5 | 18:56 (день) | посадка | 60 | 67 | - | 47 | - | - | - | - | - | - |
| 6 | 06:15 (ночь) | посадка | 62 | 67 | - | - | - | - | - | - | - | - |
| 7 | 07:00 (ночь) | посадка | 66 | 70 | 69 | 57 | - | - | - | - | - | - |
| 8 | 15:36 (день) | взлет | 56 | 62 | 65 | - | 60 | - | - | - | - | - |
| 9 | 15:48 (день) | взлет | 64 | 69 | 68 | 62 | 62 | - | - | - | - | - |
| 10 | 16:39 (день) | взлет | 60 | 59 | 58 | - | 64 | - | - | - | - | - |
| 11 | 17:50 (день) | взлет | 63 | 68 | 67 | 54 | 61 | - | - | - | - | - |
| 12 | 18:07 (день) | взлет | 62 | 67 | 70 | 59 | 68 | - | 1 | 1 | 1 | - |
| 13 | 18:14 (день) | взлет | 61 | 69 | 65 | 58 | 61 | - | 1 | 1 | 1 | - |
| 14 | 23:40 (ночь) | взлет | 61 | 64 | 56 | 40 | 67 | - | 1 | 1 | 1 | - |
| 15 | 15:09 (день) | посадка | - | - | - | - | 67 | 53 | - | - | - | - |
| 16 | 15:23 (день) | посадка | - | - | - | - | 67 | 61 | - | - | - | - |
| 17 | 16:32 (день) | посадка | - | - | - | - | 67 | 46 | - | - | - | - |
| 18 | 17:01 (день) | посадка | | - | - | - | 54 | 69 | - | - | - | - |

| | | | | | | | L _{Amak} | с, дБА | | | | |
|-------------------|--|-------------------|---|---|---|---|-------------------|--------|----|----|----|----|
| Тип ВС, п/н | Время события (день/ночь) | Взлет/ посадка | 1 | 2 | 3 | 4 | 5 | 6 | 7 | 8 | 9 | 10 |
| 19 | 17:14 (день) | посадка | - | - | - | - | 59 | 54 | - | - | - | - |
| 20 | 17:48 (день) | посадка | - | - | - | - | 70 | 63 | - | - | - | - |
| 21 | 18:30 (день) | посадка | - | - | - | - | 50 | 45 | - | - | - | - |
| 22 | 23:05 (ночь) | посадка | - | - | - | - | 70 | 68 | - | - | - | - |
| 23 | 00:20 (ночь) | посадка | - | - | - | - | 69 | 61 | - | - | - | - |
| 24 | 16:07 (день) | взлет | - | - | - | - | - | 72 | 71 | 61 | 57 | 70 |
| 25 | 16:20 (день) | взлет | - | 1 | - | ı | - | 67 | 68 | 60 | 57 | 58 |
| 26 | 16:37 (день) | взлет | - | ı | - | ı | - | 66 | 69 | 67 | 65 | 64 |
| 27 | 16:57 (день) | взлет | - | ı | - | ı | - | 65 | 67 | 71 | 62 | 57 |
| 28 | 16:57 (день) взлет 17:51 (день) взлет | | - | 1 | - | 1 | - | 73 | 69 | 63 | 59 | 64 |
| 29 | 17:59 (день) | взлет | - | ı | - | ı | - | 68 | 67 | 63 | 60 | 64 |
| 30 | 18:18 (день) | взлет | - | ı | - | ı | - | 61 | 67 | 66 | 69 | ı |
| 31 | 18:45 (день) | взлет | - | 1 | - | 1 | - | 66 | 70 | 72 | 68 | 66 |
| 32 | 18:49 (день) | взлет | - | 1 | - | 1 | - | - | ı | - | ı | - |
| 33 | 05:17 (ночь) | взлет | - | ı | - | ı | - | 53 | 63 | 60 | 60 | 61 |
| 34 | 05:32 (ночь) | взлет | - | - | - | 1 | - | 53 | 55 | 63 | 67 | - |
| 35 | 06:01 (ночь) | взлет | - | - | - | - | - | 58 | 62 | 69 | 64 | 65 |
| 36 | 06:18 (ночь) | взлет | - | - | - | - | - | 61 | 66 | 68 | 63 | 64 |
| 37 | 06:20 (ночь) | взлет | - | - | - | - | - | 64 | 67 | 69 | 65 | 59 |
| 38 | 06:31 (ночь) | взлет | - | - | - | - | - | - | - | - | - | - |

Таблица 3.4 Максимальные уровни звука ВС А321

| | | | | | | | L _{Amak} | с, дБА | | | | |
|-------------------|------------------------------|-------------------|--------------|--------------|--------------|--------------|-------------------|--------------|--------------|--------------|--------------|--------------|
| Тип ВС, п/н | Время события (день/ночь) | Взлет/ посадка | 1 | 2 | 3 | 4 | 5 | 6 | 7 | 8 | 9 | 10 |
| A321 | | | 55-65 дБА | 57-68 дБА | 52-67 дБА | 42-56 дБА | 54-69 дБА | 47-69 дБА | 64-71 дБА | 60-68 дБА | 57-64 дБА | 55-68 дБА |
| 1 | 16:31 (день) | посадка | 61 | 68 | - | - | - | - | - | - | - | - |
| 2 | 16:58 (день) | посадка | 56 | 57 | 52 | 47 | - | - | - | - | - | - |
| 3 | 17:36 (день) | посадка | 55 | 63 | - | 42 | - | - | - | - | - | 1 |
| 4 | 18:26 (день) | посадка | 62 | 67 | 57 | 40 | - | - | - | - | - | 1 |
| 5 | 05:56 (ночь) | взлет | 60 | 62 | 52 | 50 | - | - | - | - | - | - |
| 6 | 06:30 (ночь) | взлет | 59 | 60 | 54 | 47 | - | - | - | - | - | ı |
| 7 | 15:07 (день) | взлет | 60 | 67 | 67 | 56 | 60 | - | - | - | - | 1 |
| 8 | 15:59 (день) | взлет | 65 | 57 | 60 | 50 | 65 | - | - | - | - | ı |
| 9 | 16:34 (день) | взлет | 65 | 70 | 67 | - | 67 | - | - | - | - | ı |
| 10 | 18:18 (день) | взлет | 65 | 61 | 64 | 52 | 64 | - | - | - | - | - |
| 11 | 23:48 (ночь) | взлет | 60 | 63 | 59 | 45 | 61 | - | - | - | - | - |

| | | | | | | | L _{Амак} | с, дБА | | | | |
|-------------------|------------------------------|-------------------|---|---|---|---|-------------------|--------|----|----|----|----|
| Тип ВС, п/н | Время события (день/ночь) | Взлет/ посадка | 1 | 2 | 3 | 4 | 5 | 6 | 7 | 8 | 9 | 10 |
| 12 | 15:20 (день) | посадка | - | - | - | - | 69 | 64 | 1 | 1 | 1 | ı |
| 13 | 16:24 (день) | посадка | - | - | - | - | 54 | 49 | ı | ı | ı | 1 |
| 14 | 16:38 (день) | посадка | - | - | - | - | 59 | 47 | - | - | | |
| 15 | 17:29 (день) | посадка | - | - | - | - | 64 | 50 | - | - | - | - |
| 16 | 18:39 (день) | посадка | - | - | - | - | 64 | 52 | - | - | - | - |
| 17 | 23:09 (ночь) | посадка | - | - | - | - | 66 | 61 | - | - | - | - |
| 18 | 15:15 (день) | взлет | - | - | - | - | - | 69 | 69 | 62 | 57 | 58 |
| 19 | 15:22 (день) | взлет | - | - | - | - | - | 69 | 71 | 64 | 60 | 68 |
| 20 | 15:25 (день) | взлет | - | - | - | - | - | 65 | 67 | 60 | 56 | 68 |
| 21 | 18:28 (день) | взлет | - | - | - | - | - | 66 | 69 | 62 | 60 | 55 |
| 22 | 06:06 (ночь) | взлет | - | - | - | - | - | 61 | 64 | 68 | 62 | 56 |
| 23 | 06:30 (ночь) | взлет | - | - | - | - | - | 61 | 64 | 67 | 64 | 62 |
| 24 | 06:32 (ночь) | взлет | - | - | - | - | - | 62 | 67 | 68 | 64 | 60 |

Таблица 3.5 Максимальные уровни звука ВС В735

| | | | | | | | L _{Amak} | с, дБА | | | | |
|-------------------|------------------------------|-------------------|--------------|--------------|--------------|--------------|-------------------|--------------|--------------|--------------|--------------|--------------|
| Тип ВС, п/н | Время события (день/ночь) | Взлет/ посадка | 1 | 2 | 3 | 4 | 5 | 6 | 7 | 8 | 9 | 10 |
| B735 | | | 58-69 дБА | 64-71 дБА | 58-68 дБА | 42-65 дБА | 60-69 дБА | 58-73 дБА | 63-73 дБА | 60-68 дБА | 56-65 дБА | 63-73 дБА |
| 1 | 16:01 (день) | посадка | 58 | 64 | - | 42 | - | - | - | - | - | - |
| 2 | 18:09 (день) | посадка | 60 | 65 | - | 46 | • | - | • | - | • | - |
| 3 | 06:55 (ночь) | посадка | 65 | 68 | - | - | - | - | - | - | - | - |
| 4 | 15:11 (день) | взлет | 63 | 69 | 68 | 62 | 61 | - | - | - | - | - |
| 5 | 16:00 (день) | взлет | 65 | 71 | 68 | - | 64 | - | 1 | - | ı | - |
| 6 | 16:09 (день) | взлет | 69 | 66 | 68 | - | 63 | - | - | - | - | - |
| 7 | 23:35 (ночь) | взлет | 63 | 68 | 58 | 65 | 64 | - | - | - | - | - |
| 8 | 15:57 (день) | посадка | - | - | - | - | 69 | 58 | - | - | - | - |
| 9 | 18:07 (день) | посадка | - | - | - | - | 60 | 49 | - | - | - | - |
| 10 | 15:57 (день) | взлет | - | - | - | - | - | 73 | 73 | 60 | 56 | 73 |
| 11 | 15:58 (день) | взлет | - | - | - | - | - | 68 | 70 | 61 | 57 | 63 |
| 12 | 05:51 (ночь) | взлет | - | - | - | - | - | 59 | 63 | 68 | 65 | 65 |
| 13 | 05:54 (ночь) | взлет | - | - | - | - | - | - | ı | - | ı | - |
| 14 | 05:59 (ночь) | взлет | - | - | - | - | - | - | - | - | - | - |

Таблица 3.6 Максимальные уровни звука ВС В73Н

| | | | | | | | L _{Amak} | с, дБА | | | | |
|-------------------|------------------------------|-------------------|--------------|--------------|--------------|--------------|-------------------|--------------|--------------|--------------|--------------|--------------|
| Тип ВС, п/н | Время события (день/ночь) | Взлет/ посадка | 1 | 2 | 3 | 4 | 5 | 6 | 7 | 8 | 9 | 10 |
| В73Н | | | 50-66 дБА | 63-70 дБА | 51-68 дБА | 40-59 дБА | 61-68 дБА | 50-74 дБА | 67-70 дБА | 61-62 дБА | 58-60 дБА | 62-65 дБА |
| 1 | 15:27 (день) | посадка | 56 | 66 | 51 | 41 | - | - | - | - | - | - |
| 2 | 15:45 (день) | посадка | 50 | 66 | - | 40 | - | - | - | • | - | - |
| 3 | 18:47 (день) | посадка | 56 | 64 | - | 51 | - | - | - | - | - | - |
| 4 | 06:06 (ночь) | взлет | 61 | 63 | 54 | 51 | - | - | - | - | - | - |
| 5 | 15:13 (день) | посадка | - | - | - | - | 63 | 50 | - | - | - | - |
| 6 | 15:32 (день) | посадка | - | - | - | - | 67 | 62 | - | - | - | - |
| 7 | 15:45 (день) | посадка | - | - | - | - | 61 | 46 | - | - | - | - |
| 8 | 16:12 (день) | посадка | - | - | - | - | 68 | 45 | - | - | - | - |
| 9 | 17:18 (день) | взлет | - | - | - | - | - | 70 | 68 | 61 | 58 | 62 |
| 10 | 17:27 (день) | взлет | - | - | - | - | - | 74 | 70 | 62 | 60 | 62 |
| 11 | 18:58 (день) | взлет | - | - | - | - | - | 68 | 67 | 61 | 59 | 65 |
| 12 | 15:43 (день) | взлет | 66 | 70 | 67 | 51 | 64 | - | - | - | - | - |
| 13 | 17:20 (день) | взлет | 62 | 67 | 68 | 59 | 65 | - | - | ı | - | - |

Таблица 3.7 Максимальные уровни звука ВС В738

| | | | | | | | L _{Амак} | с, дБА | | | | |
|-------------------|------------------------------|-------------------|--------------|--------------|--------------|--------------|-------------------|--------------|--------------|--------------|--------------|--------------|
| Тип ВС, п/н | Время события (день/ночь) | Взлет/ посадка | 1 | 2 | 3 | 4 | 5 | 6 | 7 | 8 | 9 | 10 |
| B738 | | | 57-63 дБА | 56-70 дБА | 49-69 дБА | 47-62 дБА | 58-61 дБА | 50-72 дБА | 66-72 дБА | 63-70 дБА | 60-65 дБА | 55-65 дБА |
| 1 | 05:05 (ночь) | взлет | - | - | - | - | - | - | - | - | - | - |
| 2 | 05:14 (ночь) | взлет | 57 | 56 | 49 | - | - | - | ı | - | - | - |
| 3 | 06:11 (ночь) | взлет | 60 | 59 | 51 | 47 | - | - | ı | - | - | - |
| 4 | 15:03 (день) | взлет | 60 | 66 | 65 | 58 | 61 | - | - | - | - | - |
| 5 | 15:09 (день) | взлет | 63 | 68 | 67 | 56 | 60 | - | - | - | - | - |
| 6 | 17:39 (день) | взлет | 61 | 70 | 69 | 62 | 59 | - | - | - | - | - |
| 7 | 18:55 (день) | посадка | - | - | - | - | 59 | 51 | - | - | - | - |
| 8 | 00:42 (ночь) | посадка | - | - | - | - | 58 | 50 | - | - | - | - |
| 9 | 15:44 (день) | взлет | - | - | - | - | - | 71 | 70 | 63 | 60 | 55 |
| 10 | 17:14 (день) | взлет | - | - | - | - | - | 72 | 72 | 65 | 61 | 65 |
| 11 | 05:59 (ночь) | взлет | - | - | - | - | - | 60 | 64 | 70 | 65 | 58 |
| 12 | 06:05 (ночь) | взлет | - | - | - | - | - | 59 | 66 | 69 | 65 | 67 |

В таблице 3.8 приведен список наиболее шумных BC, не вошедших в общий анализ при взлете BC.

Таблица 3.8 Наиболее шумные ВС, не вошедшие в общий анализ

| | Марка | Время по | | | L _{Amak} | с в точке, | дБА | |
|-----|-------|------------------|-----|-------------|-------------------|------------|-------------|-------|
| No | ВС | данным | ВП | Точка | Точка | Точка | Точка | Точка |
| 245 | ВС | аэропорта | П | №1-B | №2-В | №3-В | №4-B | №5-B |
| | | | Взл | ет | | | | |
| 1 | E135 | 24/04/2017 15:32 | 28R | 61 | 70 | 69 | 54 | 55 |
| 2 | CL60 | 24/04/2017 16:06 | 28R | 48 | 66 | 56 | 67 | 62 |
| 3 | CL30 | 24/04/2017 16:30 | 28R | 60 | 67 | 63 | 56 | 63 |
| 4 | AN24 | 24/04/2017 16:47 | 28R | 59 | 68 | 69 | - | 63 |
| 5 | B77W | 24/04/2017 16:59 | 28R | 64 | 69 | 69 | - | 61 |
| 6 | CRJ2 | 24/04/2017 17:09 | 28R | 50 | 60 | 61 | - | 51 |
| 7 | FA7X | 24/04/2017 17:12 | 28R | 50 | 59 | 61 | - | 62 |
| 8 | B733 | 28/04/2017 05:19 | 28L | 61 | 50 | 55 | 56 | 56 |
| 9 | SU95 | 24/04/2017 18:16 | 28R | 57 | 61 | 61 | 56 | 64 |
| 10 | E145 | 24/04/2017 18:20 | 28R | 57 | 62 | 62 | 58 | 59 |
| 11 | GLF6 | 24/04/2017 18:29 | 28R | 54 | 61 | 61 | 54 | 61 |
| 12 | A333 | 12/05/2017 00:07 | 28L | 70 | 71 | 65 | 63 | 70 |
| 13 | E175 | 18/04/2017 17:20 | 10R | 56 | 64 | 51 | 53 | 53 |
| 14 | B73G | 18/04/2017 17:51 | 10R | 53 | 64 | 52 | 46 | 46 |
| 15 | AT72 | 18/04/2017 18:50 | 10R | 64 | 56 | 58 | 53 | 53 |
| 16 | B772 | 16/05/2017 15:01 | 10L | 61 | 58 | 69 | - | - |
| 17 | E190 | 16/05/2017 16:40 | 10L | 62 | 59 | 69 | - | - |
| 18 | F2TH | 16/05/2017 18:38 | 10L | 61 | 58 | 66 | - | - |
| 19 | B736 | 21/05/2017 06:42 | 10R | 59 | 62 | - | - | - |
| 20 | B350 | 11/04/2017 16:58 | 28L | 71 | 47 | - | - | - |

На рисунке 3.3 приведены максимальные уровни звука разных типов ВС.

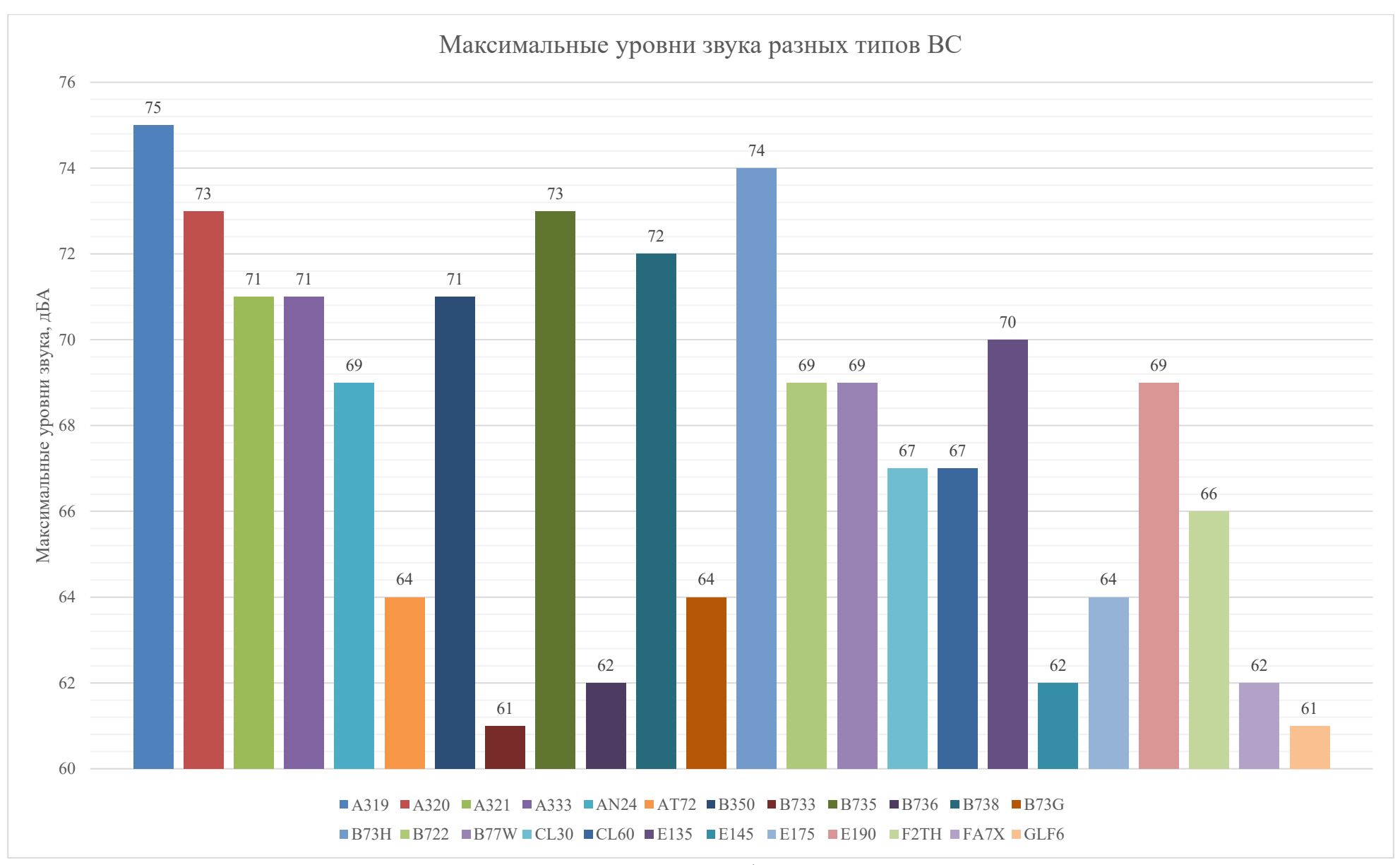


Рисунок 3.3 – Максимальные уровни звука, зафиксированные у разных типов ВС

Исходя из анализа рисунка 3.3, можно сделать вывод, что самыми шумными типами воздушных судов являются самолёты A319, A320, B735 и B73H и статистически оценить, что шум воздушного судна на этапе взлёта значительно выше шума BC на этапе посадки.

Максимальные уровни звука (L_{Амакс}, дБА) ВС А319 в точках контроля за один период измерений были превышены в 54 событиях из 75 пролетов над селитебными территориями в ночной период времени (72% превышений из 100%), а также один раз из 109 пролетов в дневной период времени. Основная часть превышений была зафиксирована в ночной период времени суток самолетами типа А319. Диаграмма распределения событий показана на рисунке 3.4.



Рисунок 3.4 — Максимальные уровни звука, излучаемые самолетами гражданской авиации A319, превышающие нормы шума на селитебной территории за рассматриваемый период

Максимальные уровни звука (L_{Амакс}, дБА) ВС А320 в точках контроля за один период измерений были превышены 39 из 58 (67% из 100% превышений), показаны на рисунке 3.5, событий пролетов над селитебными территориями в ночной период времени суток и 5 из 139 (4% из 100% превышений) в дневной период времени. Основная часть превышений была зафиксирована в ночной период времени самолетами типа А320.



Рисунок 3.5 – Максимальные уровни звука у типа самолета гражданской авиации A320, превышающие нормы шума на селитебной территории за рассматриваемый период

Максимальные уровни звука (L_{Амакс}, дБА) ВС В735 в точках контроля за один период измерений были превышены 10 из 12 (84% из 100% превышений) событий пролетов над селитебными территориями в ночной период времени суток, показаны на рисунке 3.6, а также в 4 событиях из 33 (12% из 100% превышений) в дневной период времени суток. Основная часть превышений была зафиксирована в ночной период времени суток самолетами типа В735.



Рисунок 3.6 – Максимальные уровни звука у типа самолета гражданской авиации B735, превышающие нормы шума на селитебной территории за рассматриваемый период

Максимальные уровни звука ($L_{\text{Амакс}}$, дБА) В73Н в точках контроля за один период измерений были превышены 2 из 4 (50% из 100%

превышений), рисунок 3.7, событий пролетов над селитебными территориями в ночной период времени суток и 1 из 43 (3% из 100% превышений) в дневной период времени суток. Основная часть превышений была зафиксирована в ночной период времени суток самолетами типа В73Н.



Рисунок 3.7 – Максимальные уровни звука у типа самолета гражданской авиации В73H, превышающие нормы шума на селитебной территории за рассматриваемый период

3.2. Влияние траекторий полетов на шум вблизи аэропортов

3.2.1 Общие положения

Выдерживание установленных маршрутов полета является достаточно серьезным фактором, влияющим на акустическую нагрузку на приаэродромной территории. Анализ данных о фактической линии пути при взлете ВС показывает, что существуют отклонения от идеальной линии маршрута вылета – стандартного маршрута взлета. Это может существенно сказаться на акустической обстановке на территории, прилегающей к аэропорту и приводить к расхождению между расчетными и измеренными значениями на ближайшей селитебной территории. Установлено, что местоположение ВС в пространстве напрямую влияет на распространение шума на приаэродромной территории [2, 40, 41]. Альтернативные методы расчета (ИКАО doc. 9911) позволяют более детально оценить траекторию, разделив ее на элементарные участки, начиная от точки взлета, до высоты 3000 м. Типичный профиль набора высоты может включать до 10 характерных участков. Такой детальный подход к расчету шума от ВС позволяет оценить контуры шума с новой, более высокой, точностью. Нередко эти расчеты верны только на бумаге. Тому есть несколько причин: 1) разбег ВС не от торца полосы, а от места стыка рулежной дорожки с ВПП; 2) отклонение от выдерживания таких требований по управлению самолетом, как выпуск шасси, механизации крыла, режима работы двигателя и т.д.; 3) невыполнение требований по малошумным процедурам взлета; 4) невыдерживание стандартных маршрутов взлета и захода на посадку. Чтобы этого избежать, повышение требований к расчетам контуров авиационного шума должно непременно вести к увеличению требований к управлению самолетом и более строгому соблюдению всех элементов взлетно-посадочных процедур. К сожалению, отсутствие в аэропортах РФ контроля данных параметров позволяет экипажам ВС допускать вышеуказанные отклонения. Существующие методики измерений позволяют производить оценку уровней шума на прилегающей селитебной территории, тем самым позволяя оценить только динамику изменений уровней шума. Установить взаимосвязь влияния фактических линий пути ВС с

изменением шума на селитебной территории не представляется возможным. При наличии данных о ВС от клонившихся от стандартных маршрутов вылета и данных о шуме на ближайшей селитебной территории возможно аргументированно установить, что является причиной повышения уровней шума на приаэродромной территории, а также принять меры по его снижению. Для решения данной задачи предложена методика, которая позволяет контролировать отклонение ВС от стандартного маршрута взлета ВС. [2, 40]. Как правило наиболее заинтересованной в данном вопросе службами аэропорта является служба охраны окружающей среды, принимающая многочисленные заявки от жителей близлежащих к аэропорту населенных пунктов. Действующих механизмов и рычагов воздействия на контроль и соблюдение установленных процедур взлета и посадки, как правило, такие службы не имеют. Нередко встречаются ситуации, когда доказать этот факт является проблематичным даже на внутреннем уровне аэропорта. С этой же проблемой сталкиваются специалисты органов исполнительной осуществляющие федеральный государственный санитарно-эпидемиологический надзор.

3.2.2 Методика контроля авиационного шума за соблюдением установленных трасс полета

Цель методики измерений. Для решения проблемы оценки влияния несоответствия установленных процедур полета реальным событиям автором разработана методика измерения авиационного шума, позволяющая без значительного объема исходных данных и привлечения сил органов управления воздушным движением количественно оценить масштабы различий расчетных и реальных значений авиационного шума на местности. Данная методика позволяет установить взаимосвязь влияния фактической линии пути (пролета ВС по определенной траектории) с изменением шума на селитебной территории.

Основные принципы разработанной методики:

- 1. **Выбор объекта исследования.** Проводится анализ территории аэропорта и близрасположенных от него нормируемых объектов: расположение аэропорта относительно городской застройки, как близко расположена селитебная территория, сколько взлетно-посадочных полос и как проходят стандартные маршруты взлета и посадки);
- 2. Анализ траекторий полёта и алгоритм выбора расчётных точек. Алгоритм выбора точек в большей степени основывается на анализе траектории стандартных маршрутов взлета и посадки ВС. Исходя из этого анализа, расставляются точки измерений на селитебной территории, которые находятся в близости от стандартных маршрутов взлета. Количество точек для измерения на селитебной территории выбирается исходя из количества жилых районов и населенных пунктов (села, деревни, поселки или городская черта) и также выбираются точки контроля за отклонениями ВС от стандартных маршрутов взлета и посадки исходя из количества этих взлета/посадки. Лве стандартных маршрутов точки измерений располагаются строго симметрично между одним стандартным маршрутом взлета – это точки контроля для выявления отклонения ВС от стандартного маршрута взлета. Расстояние между ними выбирается исходя из того, чтобы

они (две точки) находились строго симметрично между стандартным маршрутом взлета/посадки, в зависимости от полосы и расстояние между точками контроля определяется экспериментально в зависимости от условий измерений: рельеф местности, расположение радиотехнических средств аэропорта (радары, позволяющие ВС совершать взлет и посадку с помощью автоматических средств находятся в пределах приаэродромной территории и их работа может существенно повлиять на работу средств измерений). В среднем расстояния между точками может быть 1-2 км;

- 3. **Критерий отклонения воздушного судна в точках контроля.** Критерием оценки траектории полетов ВС была разница максимальных уровней звука в 6 дБА, при которой звуковое давление в точках различается в 2 раза. Если разница в максимальных значениях УЗ в двух ТИ при пролете ВС превышает 6 дБА, то фактическая траектория полета ВС отклонилась от установленных процедур взлета, что в последствии можно отследить в точках, расположенных на селитебной территории.
- 4. **Требования к используемым техническим средствам.** В качестве средств измерений должны использоваться портативные шумомеры-анализаторы спектра 1 класса точности.
- 5. Требования к условиям проведения измерений. Измерения должны проводиться вне зоны неблагоприятных условий сочетания температуры и относительной влажности воздуха согласно ГОСТ 22283-2014 [8], атмосферные осадки должны отсутствовать, скорость ветра не превышать 5 м/с, если скорость ветра превышает 1 м/с на микрофон надевается ветрозащита. Рабочий центр микрофона должен располагаться на высоте 1,5 м над уровнем земной поверхности. Ось микрофона ориентирована вверх. Средства измерений установлены на штативы. Между микрофоном и ВС не должно быть препятствий, искажающих звуковое поле. Поверхность земли, в окрестностях точек измерений должна быть покрыта землей, либо прошлогодними травами, либо асфальтом.

- 6. Требования к условиям измерения авиационного шума. Минимальное количество звуковых событий. Измерения авиационного шума (АШ) следует проводить при пролете воздушного судна (ВС) в регламентируемые суток. Чтобы получить интервалы времени достоверную оценку эквивалентного или максимального уровня звука, или уровня воздействия звука, на интервале, равном продолжительности измерений, должно быть задано минимальное число звуковых событий, в установленный интервал времени с учётом требований ГОСТ 31296.2-2006. При этом в каждой точке максимальные уровни звукового давления определять предпочтительно по 20 или более, но не менее пяти, пролётам на наиболее шумных режимах полёта [2, 40]. При измерении АШ следует выделить временной участок, достаточной продолжительности ДЛЯ того, чтобы ВКЛЮЧИТЬ акустическую энергию, относящуюся к пролету ВС. Перед этим проводится измерение фонового шума в ТИ. Если УЗ отличается от фонового шума менее, чем на 10 дБА, то результаты измерений признают неудавшимися и повторяет измерения при следующем пролете ВС. Учитывается участок измерений по времени, в котором УЗ отличается от максимального не более, чем на 10 дБА.
- 7. **Требования к обработке результатов измерений.** После проведения измерений анализируется количество ВС, отклонившихся от стандартных маршрутов взлета (согласно критерию оценки отклонений от стандартных маршрутов движения), и ВС, которые соблюли установленные маршруты. Проводится анализ измеренных данных на селитебной территории и устанавливается взаимосвязь с ВС, отклонившихся от стандартных маршрутов взлета/посадки и ВС, которые соблюли данные маршруты.

3.2.3 Применение методики контроля шума на примере аэропорта «Пулково»

Разработанная методика контроля шума аппробирована путем анализа авиационного шума вблизи аэропорта «Пулково». Аэродром аэропорта «Пулково» имеет две параллельные независимые взлетно-посадочные полосы, систему магистральных, соединительных и вспомогательных рулежных дорожек, пять перронов. Искусственные взлетно-посадочные полосы №1 и №2 предназначены для посадки в соответствии с категорией ИКАО без ограничений по взлетной массе. Аэродром соответствует сертификационным требованиям и пригоден для международных полетов. В территориальном отношении участок аэропорта «Пулково» расположен в Московском административном районе Санкт-Петербурга.

Территория аэропорта общей площадью около 1300 га граничит:

- с севера с производственными, транспортно-логистическими,
 общественно- деловыми и складскими территориями, жилой застройкой
 Авиагородка и садовыми участками;
- с востока с Пулковским шоссе и общественно-деловыми территориями,
 включая подъездные пути к аэровокзальному комплексу Пулково-1;
 - с запада с незастроенной территорией города;
- с юга с землями Ленинградской области; с территорией,
 зарезервированной для развития аэропорта на долгосрочную перспективу; районом города Санкт-Петербурга Погорелово.

Рельеф территории спокойный с абсолютными отметками от 16,0 м до 22,0 м с понижением рельефа от юго-восточной части территории к северной и восточной её частям.

В качестве средств измерений рекомендуется использовать портативные шумомеры-анализаторы спектра 1 класса точности [2, 37]. На примере аэропорта «Пулково» использовались приборы фирмы «ОКТАВА-Электрондизайн» с микрофонами ВМК-205 и ВМК-265, ноутбук с возможностью беспроводного

подключения к сети Интернет, вспомогательное оборудование (ветрозащита, штативы и пр.).

Измерения проводились вне зоны неблагоприятных условий сочетания температуры и относительной влажности воздуха согласно ГОСТ 22283-2014 [8], атмосферные осадки отсутствовали, скорость ветра не превышала 5 м/с, если скорость ветра превышала 1 м/с не микрофон надевалась ветрозащита. Следует уделять особое внимание размещению средств передающих радиотехнических объектов, т.к. радары, позволяющие ВС совершать взлет и посадку с помощью автоматических средств находятся в пределах приаэродромной территории и их работа может существенно повлиять на работу средств измерений.

Рабочий центр микрофона располагался на высоте 1,5 м над уровнем земной поверхности земли. Ось микрофона была ориентирована вверх. Средства измерений были установлены на штативы и соединены с ними посредством резьбового соединения. Между микрофоном и ВС препятствия, искажающих звуковое поле, отсутствовали. Поверхность земли, в окрестностях точек измерений была покрыта землей и прошлогодними травами [2, 40].

Алгоритм выбора расчетных точек в большей степени основывается на анализе траектории стандартных маршрутов взлета и посадки ВС. Исследуемый аэропорт имеет следующие магнитные курсы 097/277. Северная ВПП обозначается как 10L/28R (длина 3400 м), южная — 10R/28L (длина 3780 м). Основными направлениями для взлета используются ОКUDI, LISNA, GONBI. Приведены схематичные обозначения стандартных трасс взлета (рисунок 3.8).

Алгоритм выбора расчетных точек в большей степени основывается на анализе траектории стандартных маршрутов взлета и посадки ВС. Исследуемый аэропорт имеет следующие магнитные курсы 097/277. Северная ВПП обозначается как 10L/28R (длина 3400 м), южная – 10R/28L (длина 3780 м).

Количество точек для измерения выбирается, исходя из количества стандартных маршрутов взлета и посадки ВС. Две точки измерений располагаются строго между одним стандартным маршрутом взлета. Расстояние между ними выбирается исходя из того, чтобы они (две точки) находились строго симметрично

между стандартным маршрутом вылета/посадки, в зависимости от полосы взлета. Расстановка точек измерения на примере аэропорта Пулково была проведена следующим образом (Рисунок 3.9). Три точки №1, №2, №3 были выбраны с целью контроля траектории полетов ВС. Данные точки были распределены в западном направлении от аэропорта Пулково. Для оценки уровней шума на ближайшей селитебной территории выбраны две точки №4 и №5.

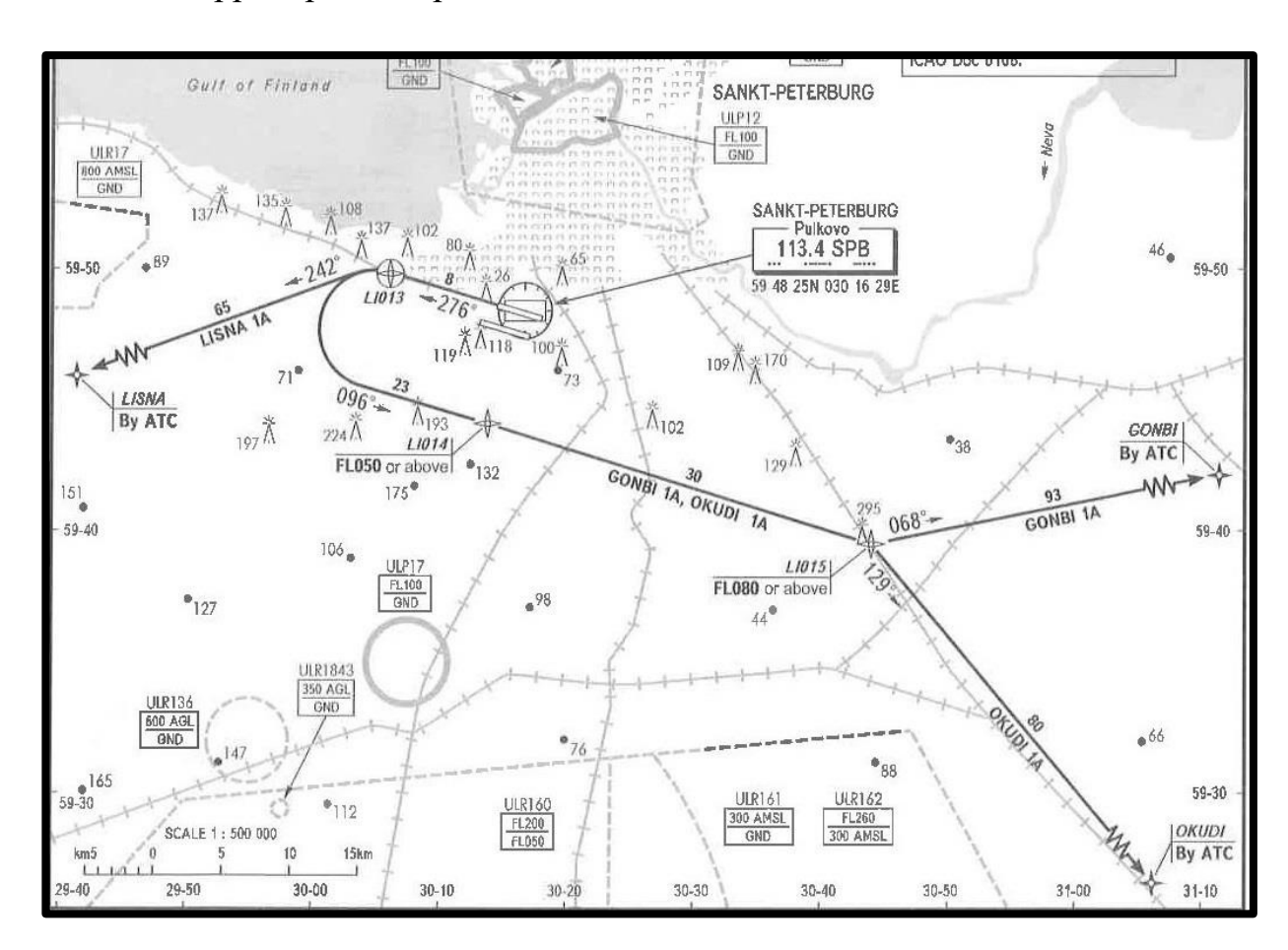


Рисунок 3.8 Схематические обозначения стандартных трасс взлета ВС

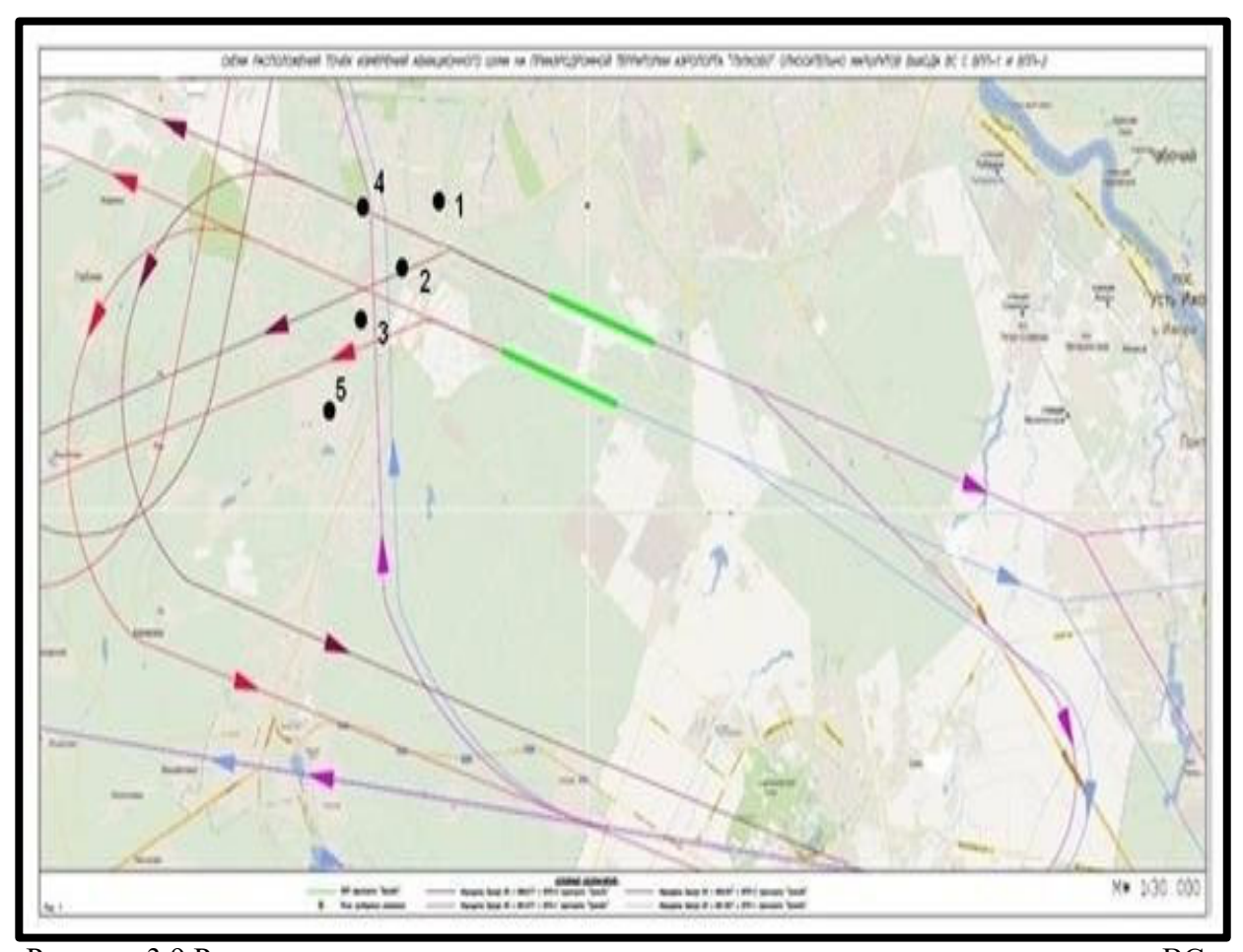


Рисунок 3.9 Расположение точек измерения между стандартным маршрутом взлета ВС на примере аэропорта «Пулково»

При измерении АШ следует выделить временной участок, достаточной продолжительности для того, чтобы включить всю акустическую энергию, относящуюся к пролету ВС. Перед этим проводится измерение фонового шума в ТИ. Если УЗ отличается от фонового шума менее, чем на 10 дБА, то результаты измерений признают неудавшимися и повторяет измерения при следующем пролете ВС. Учитывается участок измерений по времени, в котором УЗ отличается от максимального не более, чем на 10 дБА. (Рисунок 3.10)

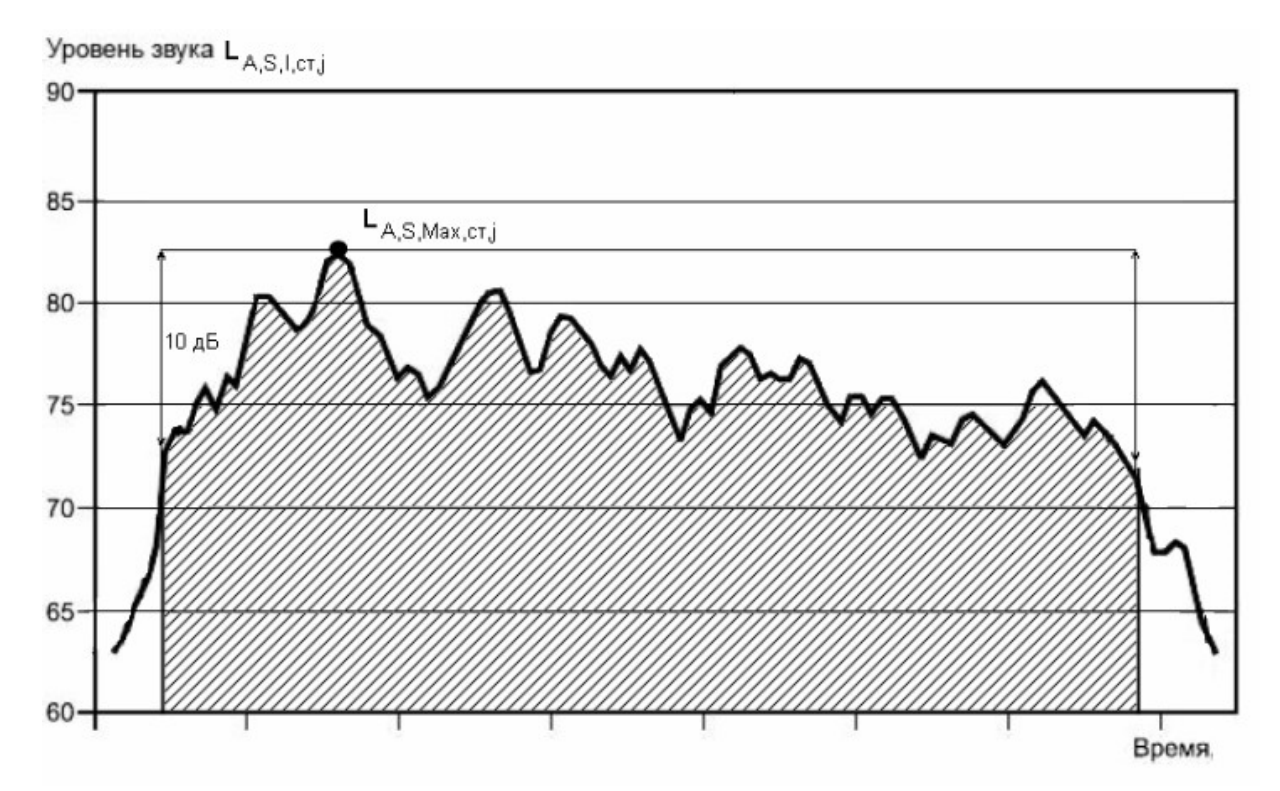


Рисунок 3.10 Учитывающийся участок измерений уровней звука по времени во время пролета BC

Измерения авиационного шума (АШ) следует проводить при пролете воздушного судна (ВС) в регламентируемые интервалы времени суток. Чтобы получить достоверную оценку эквивалентного или максимального уровня звука, или уровня воздействия звука, на интервале, равном продолжительности измерений, должно быть задано минимальное число звуковых событий, в установленный интервал времени с учётом требований ГОСТ 31296.2-2006. При этом в каждой точке максимальные уровни звукового давления определяют предпочтительно по 20 или более, но не менее пяти, пролётам на наиболее шумных режимах полёта [2, 40].

Критерием оценки траектории полетов ВС была разница уровней в 6 дБА, при которой звуковое давление в точках различается в 2 раза. Если разница в максимальных значениях УЗ в двух ТИ при пролете ВС превышает 6 дБА, то фактическая линия пути ВС отклонилась от установленных процедур взлета. Данная методика может быть использована для любых аэропортов и аэродромов, находящихся в непосредственной близости от селитебных территорий.

При проведении мониторинга аэропорта Пулково были сделаны совмещенные схемы траекторий полета ВС за весь период проведения измерения. Схема одного из дней (Рисунок 3.11).

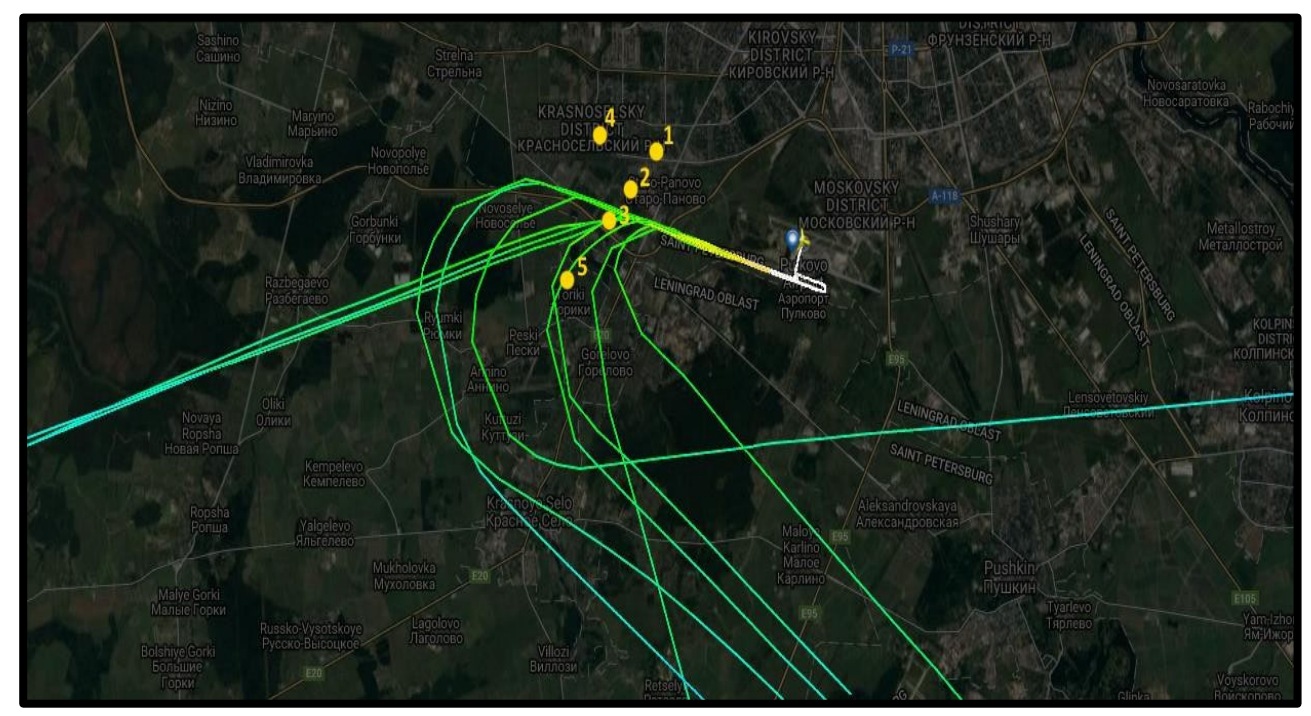


Рисунок 3.11 Совмещенная схема траекторий полета

Согласно разработанным критериям оценки отклонений от стандартных маршрутов движения сделаны следующие выводы:

- при взлете по курсу 28R строго соблюдали стандартные маршруты взлета 77% из 78 отмеченных ВС;
- при взлете по курсу 28L строго соблюдали стандартные маршруты взлета 70% из 24 отмеченных ВС.

Результаты мониторинга были сведены в таблицы, в которых прописывались максимальные уровни звука в момент пролета ВС, время пролета ВС и тип ВС. Т.к. данных получилось очень много и таблицы занимают большой объем, то приводится только часть полученных данных в качестве результатов проведенного мониторинга АШ вблизи аэропорта Пулково. В первой таблице записаны результаты мониторинга для точек контроля №1 и №2 (таблица 3.9).

Таблица 3.9 Результаты мониторинга для точек контроля №1 и №2

| | ТИ 1 | | | | | |
|--------|-----------|--------------------|--------|-----------|--------------------|----------------------|
| Тип ВС | Время со- | L _{Амакс} | Тип ВС | Время со- | L _{Амакс} | Разница |
| | бытия | , | | бытия | , | L _{Амакс} , |
| | | дБ(А) | | | дБ(А) | дБ(А), в |
| | | | | | | точках |
| A320 | - | - | A320 | - | - | |
| 1 | 15:38 | 71 | 1 | 15:38 | 69 | 2 |
| 2 | 16:39 | 64 | 2 | 16:39 | 73 | 9 |
| 3 | 17:22 | 70 | 3 | 17:22 | 69 | 1 |
| 4 | 17:28 | 64 | 4 | 17:28 | 73 | 9 |

В таблице записаны результаты мониторинга для точек, расположенных на селитебной территории №4 и №5 (таблица 3.10).

Таблица 3.10 Результаты мониторинга для точек, расположенных на селитебной территории №4 и №5

| | ТИ 4 | | | ТИ 5 | | |
|--------|-----------|--------------------|--------|-----------|--------------------|----------------------|
| Тип ВС | Время со- | L _{Амакс} | Тип ВС | Время со- | L _{Амакс} | Разница |
| | бытия | , | | бытия | , | L _{Амакс} , |
| | | дБ(А) | | | дБ(А) | дБ(А), в |
| | | | | | | точках |
| A320 | - | - | A320 | - | - | |
| 1 | 15:38 | 66 | 2 | 16:39 | 65 | 1 |
| 2 | 16:39 | 64 | 1 | 15:38 | 71 | 7 |
| 3 | 17:22 | 62 | 4 | 17:28 | 64 | 2 |
| 4 | 17:28 | 64 | 3 | 17:22 | 71 | 7 |

Из полученных данных следует, что отклонившиеся ВС от установленных маршрутов взлета создают большее шумовое воздействие на близлежащие селитебные территории, чем ВС, которые соблюдают данные маршруты. За период мониторинга 8 лет и спектров шума на каждый пролет ВС (зафиксированных за данный период времени более 8-10 тысяч) число отклонившихся ВС достигает до 70 — 80%. Разница в точках контроля на жилых застройках может достигать в среднем до 9 дБА. Аэропорту Пулково рекомендуется обратить внимание на авиакомпании, чьи суда не соблюли установленные стандартные маршруты взлета ВС.

В Приложении 2 представлены данные по мониторингу и контролю ВС, отклонившихся от стандартных маршрутов взлета и посадки за период контроля с 2020 по 2022 года.

На рисунке 3.12 представлен статистический график отклонений воздушными судами от стандартных маршрутов взлета и посадки, зафиксированными в период проведения мониторинга.

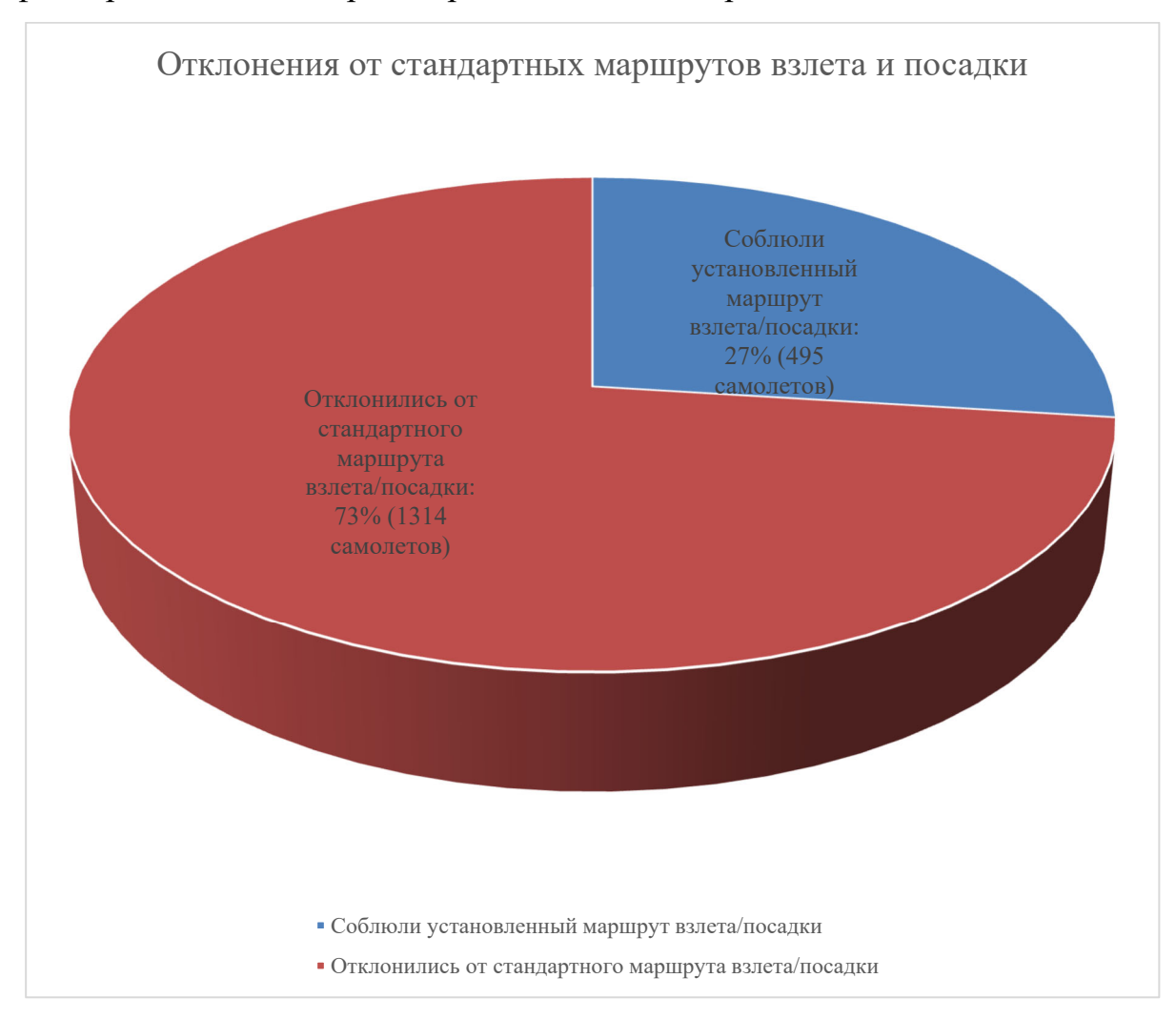


Рисунок 3.12 – Статистический график отклонений воздушными судами от стандартных маршрутов взлета и посадки, зафиксированными в период проведения мониторинга

За данный временной промежуток было зафиксировано 1809 пролетов самолетов гражданской авиации, из них 73% отклонились от установленного стандартного маршрута взлета/посадки, а количество превышений по шуму на селитебной территории составили 78%.

3.3. Влияние основных режимов полета на воздействие шума в точках наблюдения

Для выявления шумовых характеристик BC на различных режимах (этапах) полета было выбрано 6 точек контроля вдоль ВПП и сама ВПП была поделена на условные участки осуществления BC различных режимов взлета и посадки.

Перечень используемого оборудования:

- Шумомеры-анализаторы спектра первого класса точности ОКТАВА-110А и ЭКОФИЗИКА-110А (6 шт.);
- Калибратор акустический АК-1000;
- Дальномер лазерный GLM 80 Professional;
- Метеометр;
- Штатив (6 шт.).

Описание процесса измерений в каждой точке контроля: В процессе установки системы измерения шума, оборудование устанавливается на высоте $(1,2\pm0,1)$ м - $(1,5\pm0,1)$ м на штатив над уровнем поверхности территории и на расстоянии не менее 2 м от зданий, сплошных заборов или других сооружений, препятствующих распространению шума. Устанавливаемая система измерения шума статична, без возможности ее неконтролируемого перемещения. Главная ось измерительного микрофона направлена в сторону основного источника шума (Взлётно-посадочная полоса). Измерялись эквивалентный уровень звука $L_{\text{Амакс}}$ и максимальный уровень звука $L_{\text{Амакс}}$ за время t (1-3 часов) при воздействии авиационного шума в дневной период времени суток.

Взлёт самолета. Большинство современных самолетов способно совершать взлет лишь с разбегом.

На Рисунке 3.13 представлен этапы взлёта на примере аэропорта «Пулково» с точками контроля шума.

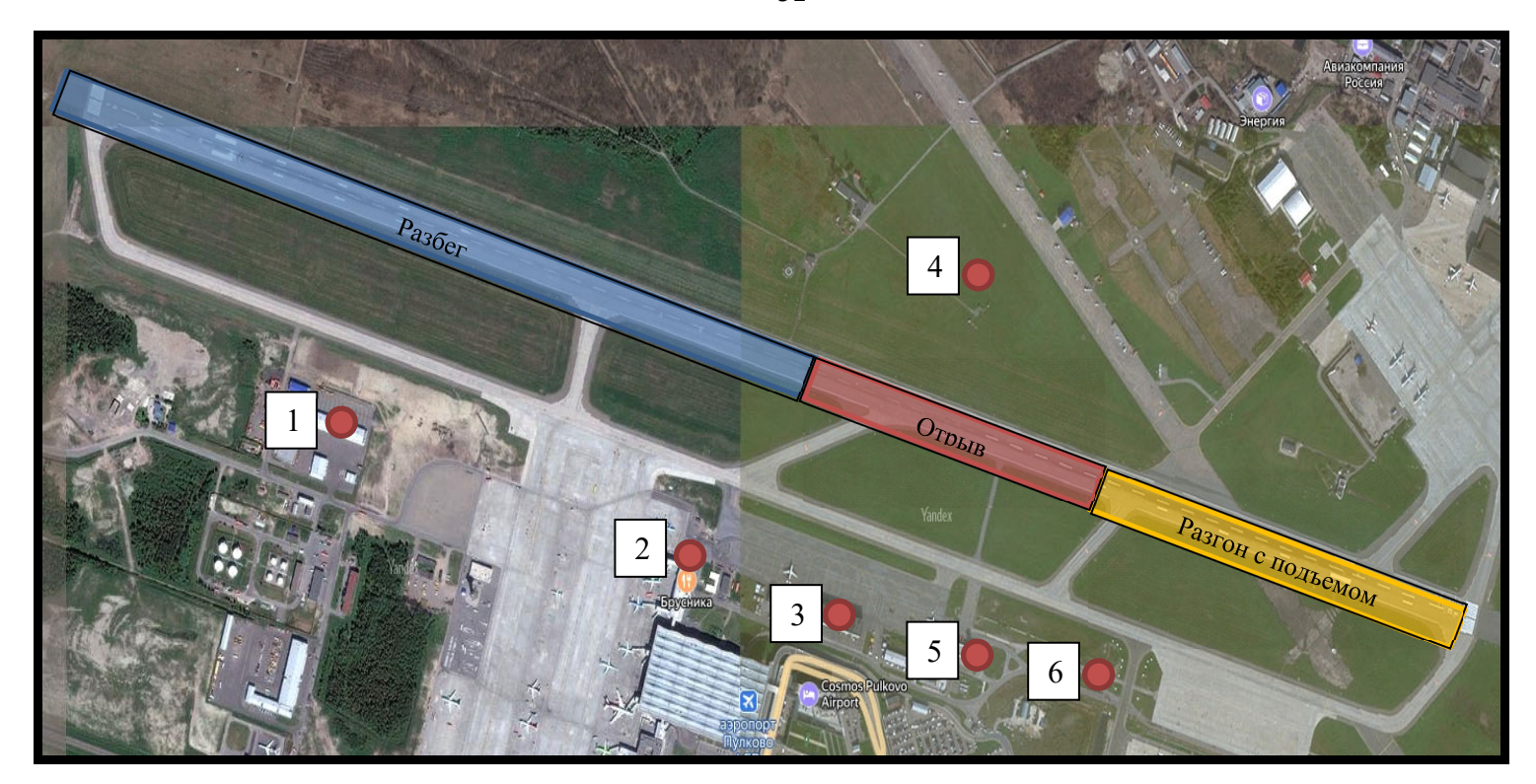


Рисунок 3.13 – Схема измерений уровней шума вдоль ВПП на этапах взлёта ЛА (1,2,3,4,5,6 – точки измерений).

Взлет воздушного судна разделен на три этапа: Разбег, Отрыв и Разгон с подъемом (воздушного участка).

Разбег — это первый этап взлёта воздушного судна, который представляет собой движение летательного аппарата с ускорением по ВПП, нужный для получения скорости, при которой крыло создаст подъемную силу, при помощи которой самолёт сможет оторваться от земли. На данном этапе воздушное судно движется прямолинейно, набирая скорость, до этапа «Отрыва» от ВПП.

Отрыв – момент отделения воздушного судна от ВПП (земли). После отрыва от ВПП, ЛА переходит к этапу «Разгона с подъемом», при котором самолет продолжает разгон скорости и переходит в набор высоты.

В таблице 3.11 представлены результаты измерений шума воздушного судна №1, №2 и №3 на различных этапах взлёта.

Таблица 3.11 измерений шума воздушного судна №1, №2 и №3 на различных этапах взлёта.

| №BC | № Точки изме- рений | ca | Уровни звукового давления, дБ, в октавных поло- сах со среднегеометрическими частотами, Гц ные уровн звука | | | | | | | | | ровни вука/ свива- пент- ные ные ровни вука, | |
|------------|------------------------------|------|--|-----|-----|-----|------|------|------|------|-----|---|---------------------------|
| | | 31,5 | 63 | 125 | 250 | 500 | 1000 | 2000 | 4000 | 8000 | дБА | | |
| | 1 | 72 | 74 | 63 | 73 | 67 | 70 | 69 | 63 | 46 | 75 | 145 м | начало разбега |
| | 2 | 74 | 76 | 79 | 83 | 86 | 78 | 73 | 66 | 58 | 85 | 140 м | |
| | 3 | 74 | 76 | 85 | 84 | 89 | 76 | 70 | 65 | 61 | 87 | 150 м | разбег |
| № 1 | 4 | 74 | 73 | 77 | 88 | 80 | 82 | 80 | 68 | 58 | 86 | 200 м | |
| | 5 | 71 | 75 | 76 | 78 | 80 | 79 | 74 | 60 | 30 | 82 | 120 м | отрыв |
| | 6 | 74 | 74 | 78 | 79 | 80 | 78 | 74 | 60 | 36 | 83 | 120 м | разгон с подъ- емом |
| | 1 | 76 | 70 | 70 | 70 | 71 | 70 | 68 | 51 | 31 | 74 | 145 м | начало разбега |
| | 2 | 76 | 74 | 82 | 83 | 80 | 75 | 72 | 57 | 53 | 81 | 140 м | |
| | 3 | 79 | 75 | 85 | 86 | 83 | 78 | 73 | 59 | 50 | 84 | 150 м | разбег |
| № 2 | 4 | 79 | 73 | 83 | 84 | 83 | 77 | 74 | 62 | 48 | 83 | 200 м | |
| | 5 | 75 | 77 | 75 | 77 | 76 | 75 | 67 | 56 | 45 | 78 | 120 м | отрыв |
| | 6 | 79 | 79 | 77 | 78 | 79 | 74 | 69 | 63 | 56 | 79 | 120 м | разгон с подъ- емом |
| | 1 | 72 | 72 | 66 | 70 | 71 | 72 | 70 | 58 | 22 | 76 | 145 м | начало разбега |
| | 2 | 76 | 75 | 83 | 82 | 81 | 75 | 71 | 52 | 47 | 81 | 140 м | |
| | 3 | 78 | 75 | 85 | 86 | 84 | 76 | 71 | 58 | 46 | 83 | 150 м | разбег |
| №3 | 4 | 77 | 76 | 86 | 85 | 81 | 73 | 69 | 55 | 43 | 82 | 200 м | |
| | 5 | 74 | 74 | 79 | 80 | 76 | 70 | 67 | 54 | 41 | 77 | 120 м | отрыв |
| | 6 | 72 | 69 | 76 | 77 | 77 | 72 | 70 | 52 | 38 | 78 | 120 м | разгон с подъ- емом |

На рисунке 3.14 показано, как меняется УЗ воздушного судна №1 с изменение этапов (режимов) взлёта.

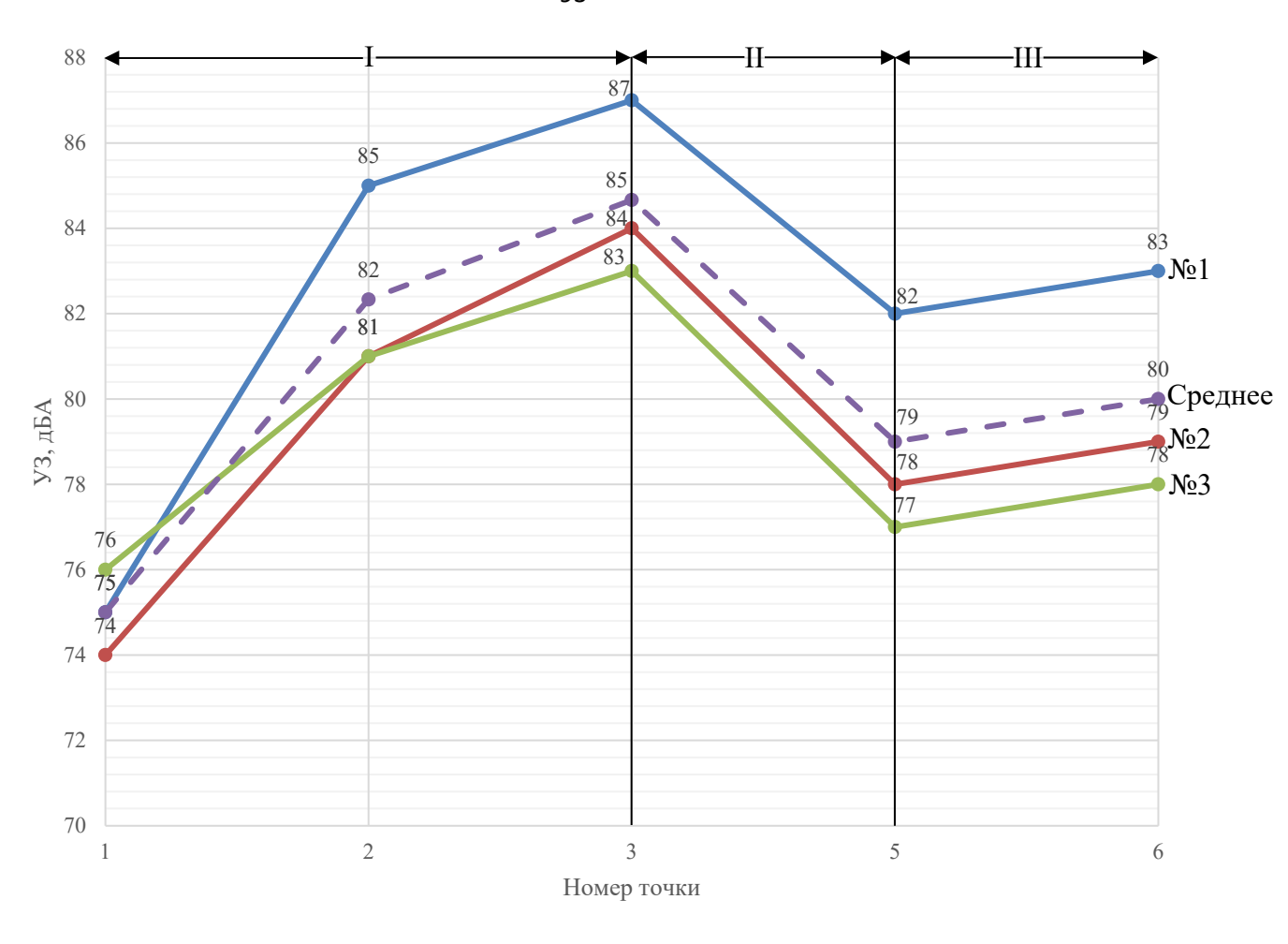


Рисунок 3.14 – График зависимости УЗ воздушных судов №1, №2 и №3 от номера точки измерений (I – разбег, II – отрыв, III – разгон с подъемом).

На графике исключена точка 4, т.к. она находится параллельно точки 3. Обработка «Разбег» полученных результатов показала, на этапе происходит рост шумового воздействия. Данный факт объясняется тем, что ВС увеличивает скорость движения по ВПП с «начала разбега» до «отрыва» с 75 до 85 дБА (на 10 дБА). На этапе II – «Отрыв» виден спад УЗ, который показывает, что шумовое воздействие от ВПП при контакте с ВС было прекращено и при их отделении друг от друга произошло снижение УЗ с 85 дБА до 79 дБА (на 6 дБА). На этапе III – «Разгон с подъемом» виден рост УЗ, обусловленный тем, что самолет продолжает разгон скорости и переходит в набор высоты тем самым увеличивать собственный уровень ШУМОВОГО воздействия продолжая с 79 до 80 дБА (на 1 дБА).

Посадка самолета. Посадка является заканчивающим этапом всего полёта ВС. Она представляет собой замедленное движение самолета с высоты 25 м до полной остановки после пробега по ВПП. Этапы (режимы) посадки ЛА: 1) планирование (снижение), 2) выравнивание, 3) выдерживание, 4) приземление, 5) пробег. На примере аэропорта «Пулково» было проанализировано 3 этапа (режима): выдерживание, приземление, пробег.

Выдерживание производится для уменьшения скорости до посадочной и представляет собой торможение самолета в горизонтальном полете до момента «приземления». «Пробег» самолета является заключительным этапом посадки. После касания земли самолет совершает пробег с торможением по ВПП.

На рисунке 3.15 представлен этапы посадки на примере аэропорта «Пулково» с точками контроля шума.

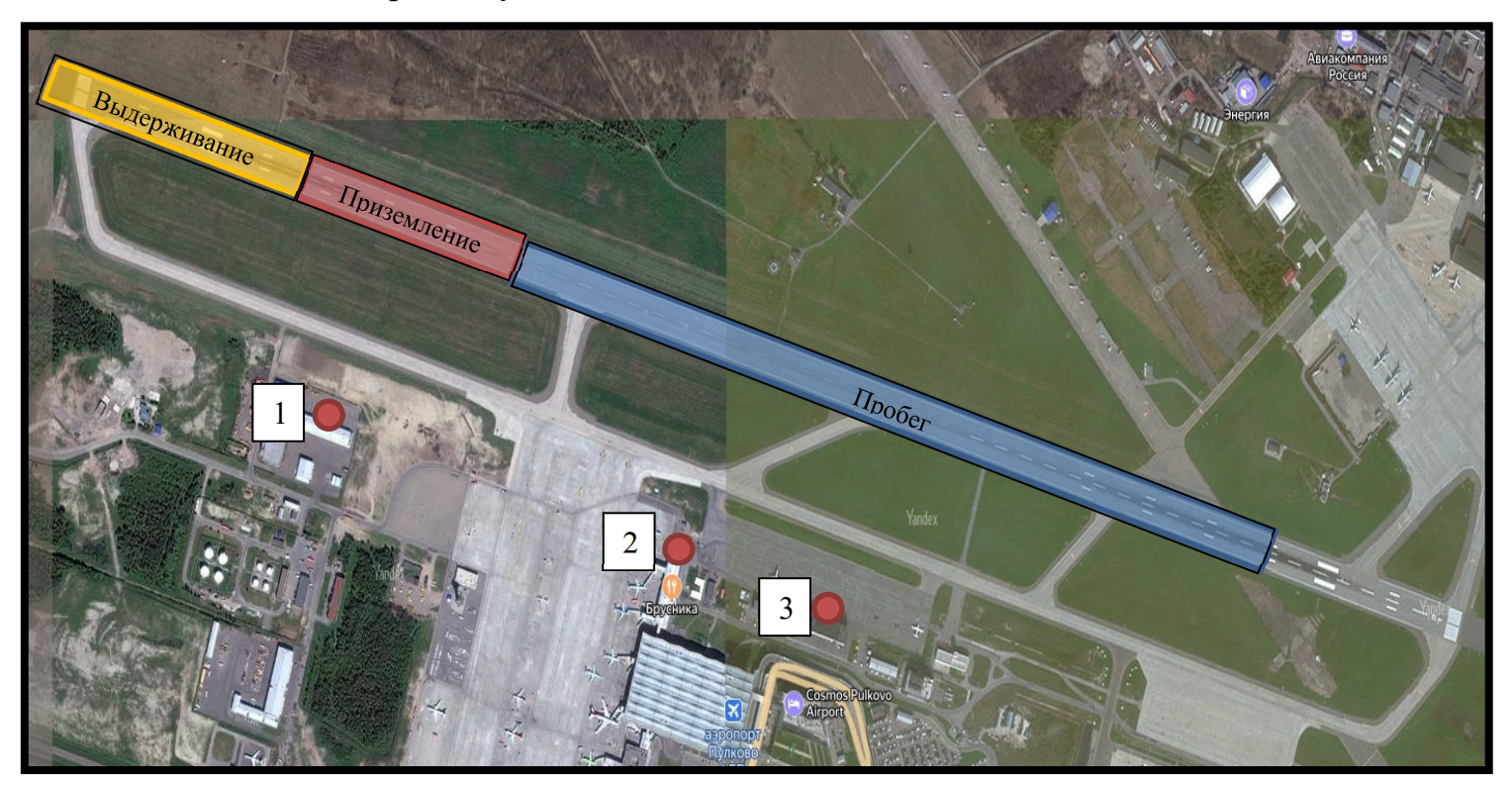


Рисунок 3.15 – Схема измерений уровней шума вдоль ВПП на этапах посадки ЛА (1,2,3 – точки измерений).

В таблице 3.12 представлены результаты измерений шума воздушного судна №4, №5 и №6 на различных этапах посадки.

Таблица 3.12 измерений шума воздушных судов №4, №5 и №6 на различных этапах посадки.

| №BC | № Точки изме- рений | ca | Уровни звукового давления, дБ, в октавных поло- сах со среднегеометрическими частотами, Гц у 31,5 63 125 250 500 1000 2000 4000 8000 | | | | | | | | | Рассто- яние до ВПП | Этап |
|-----|------------------------------|----------|---|----------|----------|----------|----------|----------|----------|----|---------------|---------------------------|------------------------|
| | 1 | 74 | 70 | 68 | 66 | 65 | 63 | 63 | 49 | 46 | дБА 68 | 330 м | Выдер- жива- ние |
| №4 | 1 | 77 | 71 | 69 | 72 | 74 | 74 | 71 | 58 | 54 | 78 | 140 м | При- земле- ние |
| | 2 | 73 | 70 | 67 | 71 | 72 | 73 | 69 | 59 | 52 | 76 | 150 м | Пробол |
| | 3 | 71 | 67 | 65 | 65 | 69 | 69 | 66 | 56 | 49 | 68 | 200 м | Пробег |
| | 1 | 70 | 62 | 56 | 57 | 56 | 59 | 54 | 43 | 37 | 62 | 330 м | Выдер- жива- ние |
| №5 | 1 | 75 | 63 | 57 | 66 | 67 | 59 | 58 | 51 | 44 | 67 | 140 м | При- земле- ние |
| | 2 | 69 | 60 | 55 | 64 | 61 | 59 | 55 | 42 | 35 | 63 | 150 м | |
| | 3 | 67 | 59 | 54 | 60 | 58 | 54 | 52 | 38 | 28 | 60 | 200 м | Пробег |
| | 1 | 80 | 73 | 70 | 69 | 67 | 66 | 62 | 48 | 32 | 69 | 330 м | Выдер- жива- ние |
| №6 | 1 | 82 | 78 | 70 | 70 | 71 | 70 | 68 | 51 | 40 | 74 | 140 м | При- земле- ние |
| | 3 | 80 79 | 76 76 | 69 68 | 68 66 | 66 68 | 65 62 | 61 53 | 52 49 | 42 | 69 67 | 150 м 200 м | Пробег |

На рисунке 3.16 показано, как меняется УЗ воздушного судна №4 с изменение этапов (режимов) посадки.

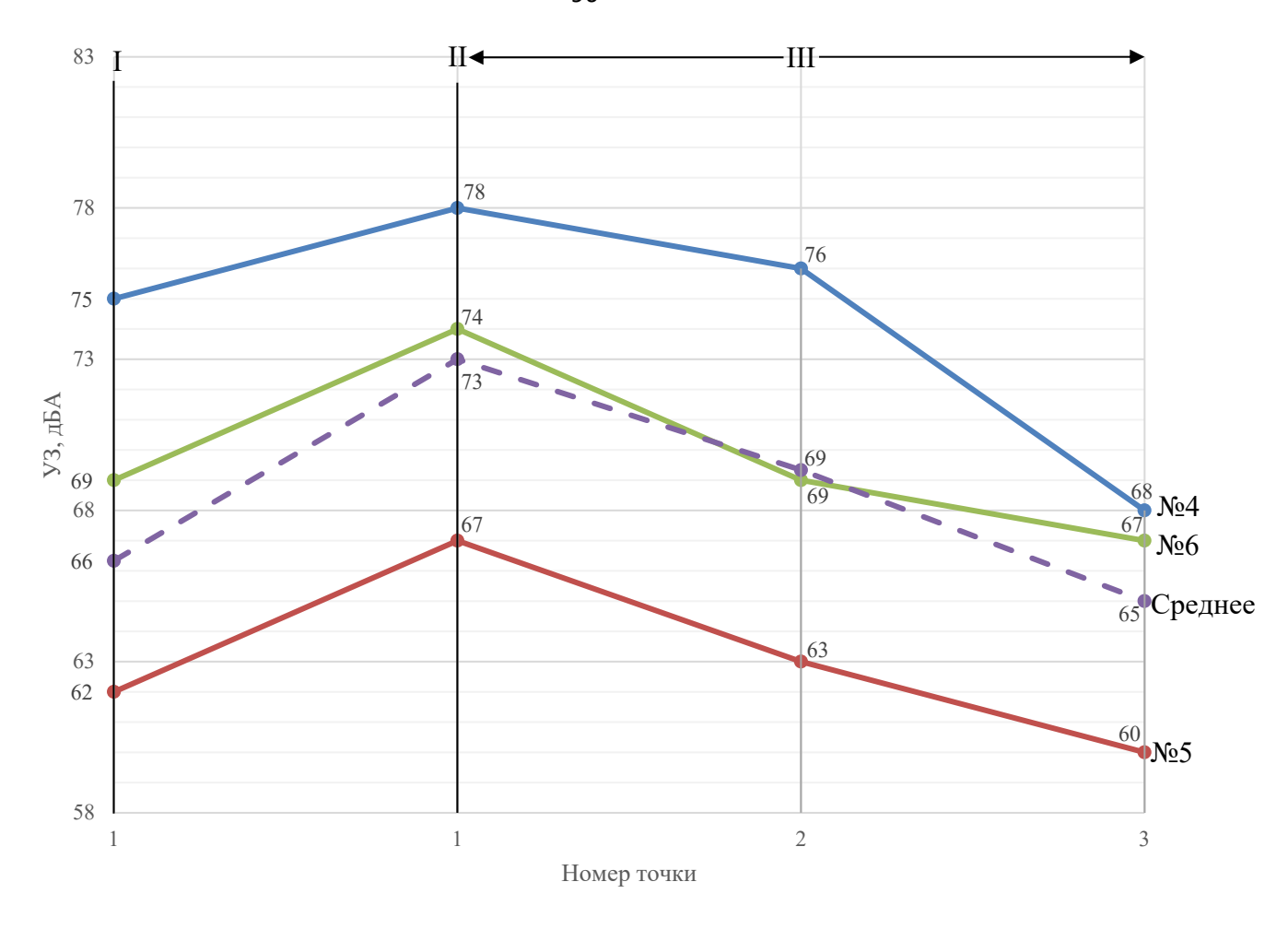


Рисунок 3.16 – График зависимости УЗ воздушного суда №4 от номера точки измерений.

Обработка полученных результатов показала, при переходе с этапа I — «Выдерживание» к этапу II — «Приземление» происходит рост шумового воздействия с 66 до 73 дБА (на 7 дБА), т. к. при контакте ВС с ВПП добавляется шум от торможения шасси и взаимодействия шасси с ВПП. На этапе III — «Пробег» виден спад УЗ с 73 до 65 дБА (на 8 дБА), который обусловлен постепенным снижением скорости ВС вдоль ВПП.

На рисунке 3.17 показаны графики средних значения уровней звуков на различных этапах взлета/посадки.

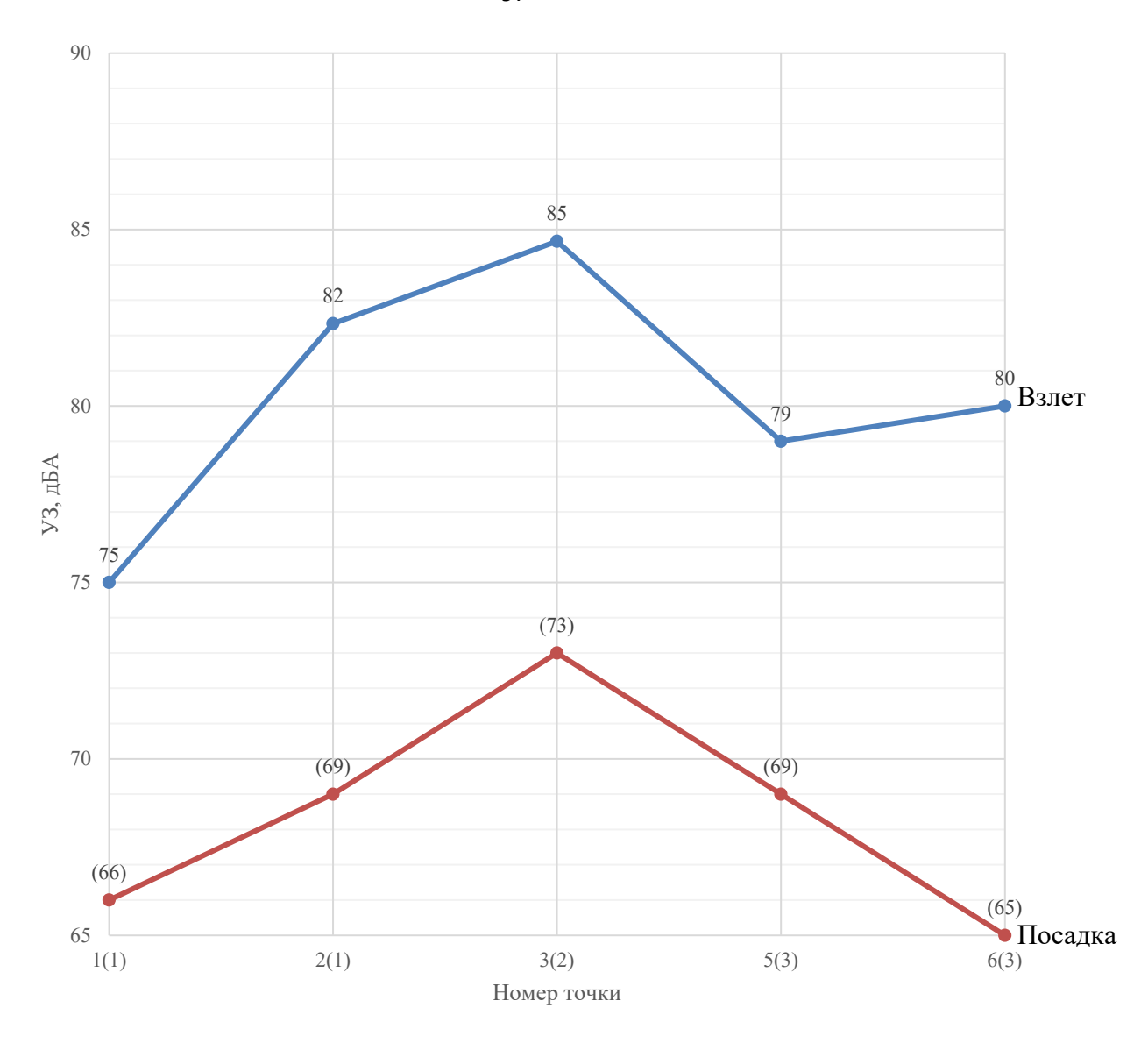


Рисунок 3.17 – Графики средних значения уровней звуков на различных этапах взлета/посадки.

Разница уровней звука этапа «Взлет» над этапом «Посадка» достигает с 9 до 15 дБА. Данная разница обусловлена тем, что при взлете и посадке основным источником шума является силовая установка, которая при взлете максимально усиливается, чтобы позволить судну быстро набрать скорость и взлететь, а при посадке снижается, чтобы замедлить судно и после соприкосновения с ВПП выпустить закрылки, которые резко снижают посадочную скорость и длину пробега, тем самым и снижая со скоростью шумовое воздействие авиационного судна.

3.4. Изменения шума в зависимости от расстояния

3.4.1 Характер снижения авиационного шума с увеличением расстояния до летательного аппарата в пределах приаэродромной территории

Характер снижения авиационного шума с увеличением расстояния до летального аппарата (ЛА) в пределах приаэродромной территории представлен в статье [109] Для получения закономерностей снижения шума при увеличении расстояния от ЛА до точки наблюдения проведены 2 этапа измерений. На первом этапе изучались закономерности снижения эквивалентных и максимальных УЗ в процессе разбега самолёта по ВПП и на этапе взлёта. Измерения в рамках первого этапа проводились в пределах аэропорта вблизи ВПП (на расстояниях менее 1 км от ЛА) и их основной целью было определить характер изменения фронта звуковой волны при разбеге ЛА по ВПП, а также характер изменения шума в ТИ при отрыве ЛА от ВПП.

На втором этапе изучались закономерности и механизм снижения шума на расстояниях более пяти километров от аэропорта с целью определения предела слышимости отдельного ЛА при удалении от аэропорта.

Всего для измерений шума были выбраны 4 точки, расположенные в перпендикулярном к ВПП направлении, ось точек измерения (ТИ) располагалась примерно в середине ВПП. Самая близкая к ВПП точка измерения была расположена на расстоянии 100 м от ВПП, а остальные 3 точки располагались на удвоенных расстояниях каждая (соответственно на 200, 400 и 800 м от ВПП). Всего выполнено восемь серий измерений.

Изучение закономерностей изменения звукового поля вблизи ВПП проводилось по схеме, указанной на рисунке 3.18 и 3.19.

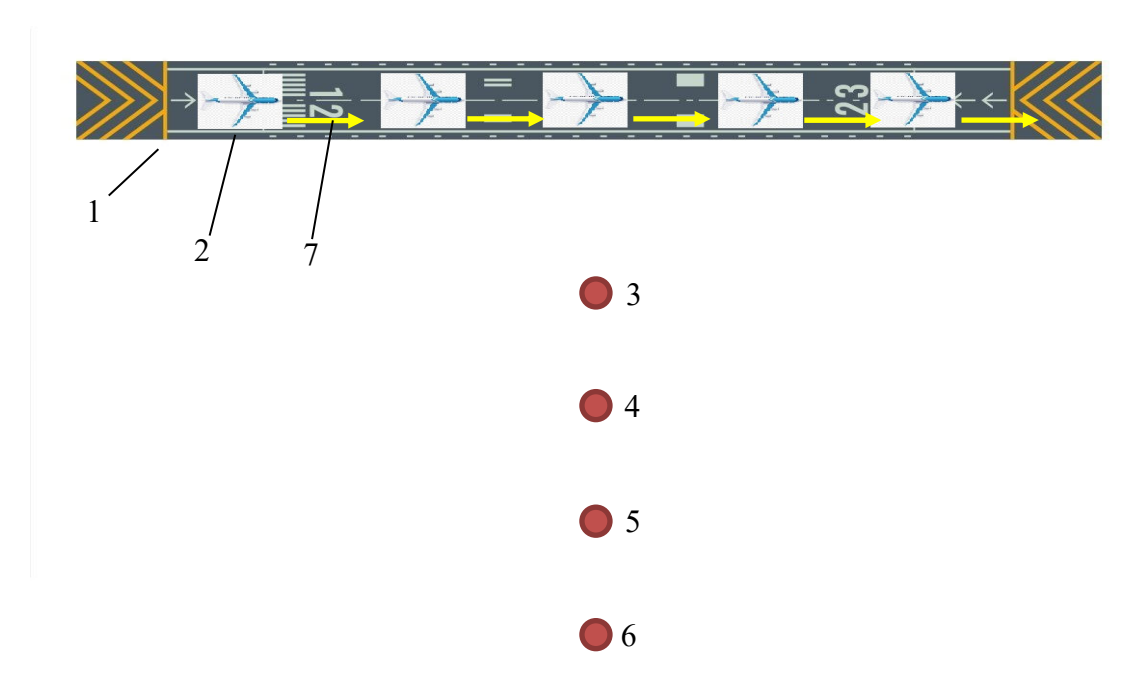


Рисунок 3.18 — Схема измерений эквивалентных и максимальных УЗ при удалении от ВПП: 1- ВПП, 2-ЛА, 3- точка измерений (ТИ 1) на расстоянии 100 м от ВПП, 4- ТИ 2 (200 м), 5- ТИ 3 (400 м), 6- ТИ 4 (800 м), 7- направление движения ЛА.

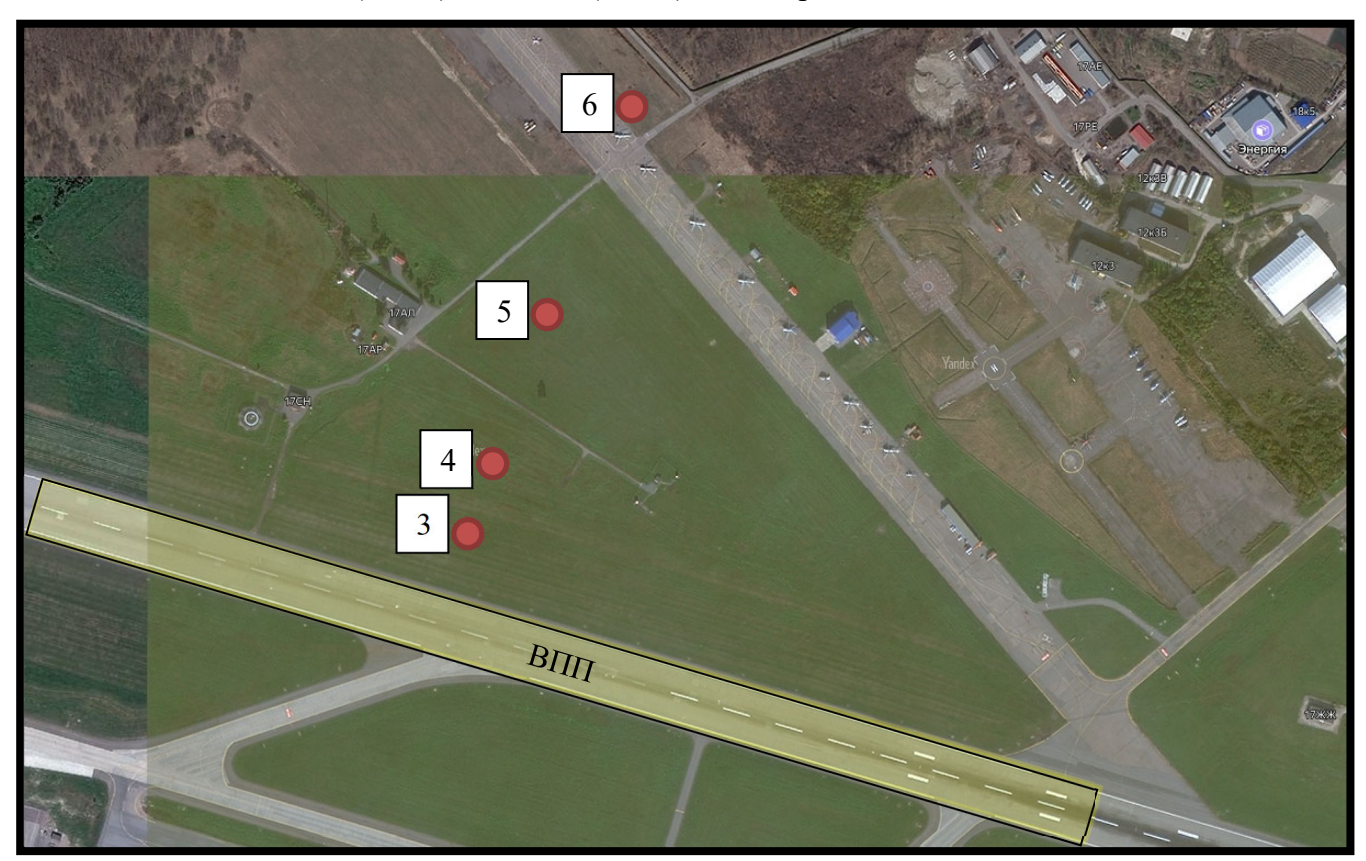


Рисунок 3.19 – Схема измерений уровней шума при удалении от ВПП (3,4,5,6 – точки измерений).

Результаты измерений для восьми ЛА и анализ закономерностей снижения шума с расстоянием от ЛА при разбеге по ВПП и взлете приведены в таблице 3.13.

Обработка полученных результатов показала, что распространение авиационного шума носит сложный характер (рисунок 3.20).

Таблица 3.13. Значения эквивалентных и максимальных УЗ в зависимости от удаления от ВПП

| № испытываемых | р рии | Уровни звука, дБА | | | | | |
|----------------|----------------------|-------------------|--------------|--|--|--|--|
| ЛА | Расстояние от ВПП, м | Эквивалентные | Максимальные | | | | |
| | 100 | 78 | 86 | | | | |
| 1 | 200 | 75 | 83 | | | | |
| 1 | 400 | 70 | 79 | | | | |
| | 800 | 64 | 74 | | | | |
| | 100 | 80 | 88 | | | | |
| 2 | 200 | 77 | 86 | | | | |
| 2 | 400 | 73 | 81 | | | | |
| | 800 | 67 | 76 | | | | |
| | 100 | 75 | 82 | | | | |
| 2 | 200 | 72 | 79 | | | | |
| 3 | 400 | 67 | 74 | | | | |
| | 800 | 60 | 68 | | | | |
| | 100 | 79 | 89 | | | | |
| | 200 | 75 | 86 | | | | |
| 4 | 400 | 70 | 81 | | | | |
| | 800 | 63 | 76 | | | | |
| | 100 | 80 | 88 | | | | |
| _ | 200 | 77 | 84 | | | | |
| 5 | 400 | 72 | 79 | | | | |
| | 800 | 66 | 73 | | | | |
| | 100 | 79 | 87 | | | | |
| | 200 | 75 | 84 | | | | |
| 6 | 400 | 70 | 80 | | | | |
| | 800 | 63 | 73 | | | | |
| | 100 | 78 | 88 | | | | |
| 7 | 200 | 75 | 86 | | | | |
| 7 | 400 | 71 | 82 | | | | |
| | 800 | 66 | 76 | | | | |
| | 100 | 76 | 87 | | | | |
| 0 | 200 | 73 | 84 | | | | |
| 8 | 400 | 69 | 80 | | | | |
| | 800 | 64 | 75 | | | | |

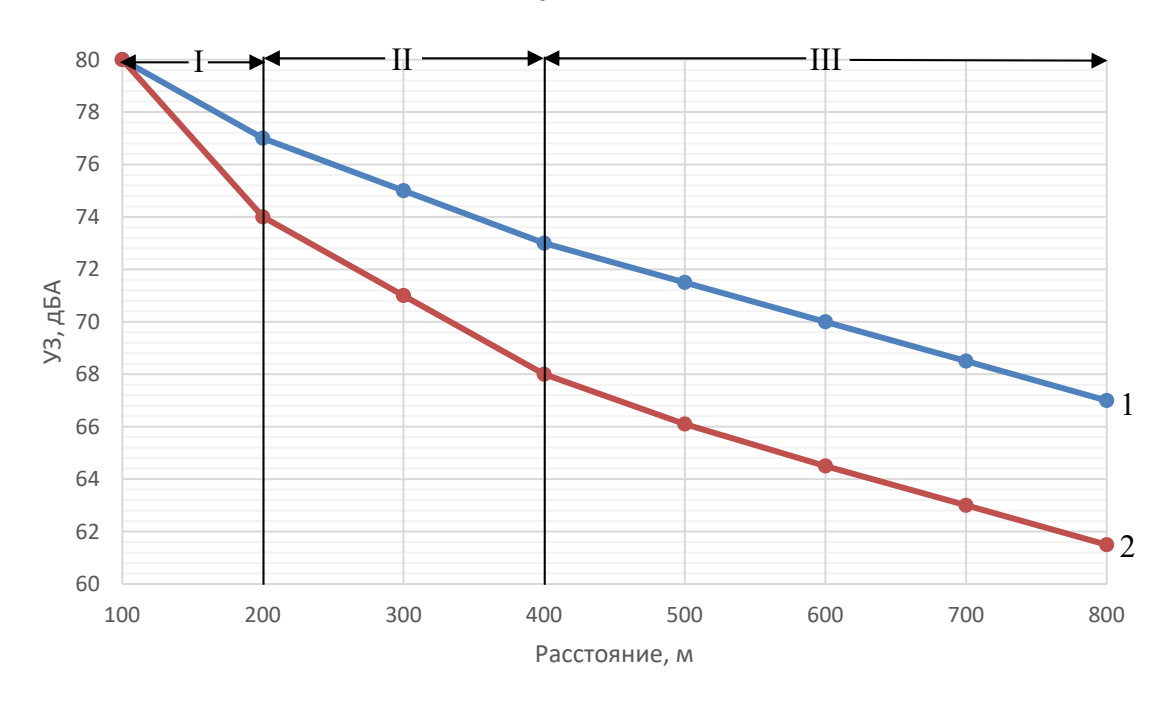


Рисунок 3.20 — Характер снижения УЗ, дБА с увеличением расстояния до ВПП: 1 — эксперимент; 2 — расчет (источник шума ЛА принят точечным излучателем звука); I — участок экспериментальной кривой, где фронт звуковой волны цилиндрический (снижение УЗ на 3 дБА); II — участок экспериментальной кривой, где фронт звуковой волны квазицилиндрический (снижение УЗ на 4 — 5 дБА); III — участок экспериментальной кривой, где фронт звуковой волны сферический (снижение УЗ на 6 — 7 дБА).

Отмечается снижение УЗ на 3 дБА при первом удвоении (от 100 до 200 м), снижение на 4-5 дБА при втором удвоении (от 200 до 400 м) и 6-7 дБА при третьем удвоении (от 400 до 800 м). Таким образом, фронт звуковой волны ИШ меняется от цилиндрического к квазицилиндрическому, а затем к сферическому, и эта закономерность прослеживается как для эквивалентных, так и для максимальных УЗ. Это означает, что при расчётах снижения шума для объектов, расположенных вблизи ВПП, необходимо источник шума (летательный аппарат) в процессе разбега по ВПП принимать линейным источником шума на расстояниях до 500 м.

На основании анализа полученных экспериментальных данных сделан вывод о том, что при разбеге ЛА в процессе шумообразования, кроме самого летательного аппарата, участвует и ВПП, являясь вторичным источником звука. Учитывая высокую скорость разбега ЛА при взлете, фиксируется отражение звука от ВПП значительной длины. Таким образом, фронт звуковой волны формируется сложным излучателем, состоящим из ЛА и ВПП, который близок к цилиндрическому.

3.4.2 Снижение шума с увеличением расстояния до аэропорта

Результаты измерений эквивалентного и максимального УЗ для нескольких аэропортов приведены в таблице 3.14. Исследования были проведены в 20 населённых пунктах, при этом фиксировались марки ЛА, которые осуществляли полёты над каждым населённым пунктом. В таблице 3.3 приведены усреднённые данные по ЛА.

Таблица 3.14 - Результаты измерений уровней звука на прилегающих к аэропортам селитебных территориях

| Населенный пункт | до аэро- | Д | День | | очь | Описание самолетов | | | | |
|--|-----------|------------|-------------|------------|-------|--|--|--|--|--|
| | порта, км | Экв. | Макс. | Экв. | Макс. | | | | | |
| | Моск | ва и Моско | вская облас | ть, Домоде | дово | | | | | |
| Гостиничный комплекс «Орловский», д. Орлово | 15,33 | 49-51 | 68-70 | 45 | 60-62 | Авиатранспорт различ- ных компаний (россий- ских и зарубежных), аэропорта Домодедово | | | | |
| Санкт-Петербург и ленинградская область, Пулково | | | | | | | | | | |
| д. Низино | 2,05 | - | - | 51 | 50-75 | B73H, AT72, A320, DH8D, A319, CL30, E170, B744, B736, CRL2, B752 | | | | |
| Санкт-Петербург, пере- сечение ул. летчика Пилютова и пр. Народ- ного Ополчения | 5,85 | 57-62 | 55-80 | 46-60 | 50-80 | GALX, GLF5, LJ60, AN24, CRJ2, A320, A321, E170, CRJ1, A319, B735, B738, B773, B73H, B73W, DH8D, C56X, B77L, D73G, F900, CL30, T204, B772 | | | | |
| Санкт-Петербург, ул. Краснопутиловская | 6,49 | 51-60 | 69-72 | - | - | Ми-8, Eurocopter AS- 355N | | | | |
| Санкт-Петербург, улица Партизана Гер- мана | 6,72 | 53-63 | 50-80 | 48-60 | 55-80 | CRJ2, A319, A320, A321, E170, B735, B752, B773, B73W, BE40, B763, GALX, GLF5, LJ60; B73H, AN24, F900, E190, CL30, B77L, E145, C25A, YK42, A333, T204, SU95, F100, CL60 | | | | |
| п Шушары | 6,76 | 55-63 | 60-80 | 49-59 | 50-80 | A321, CRJ2; A319, A320, B736, B773, B73H, B772, CRJ2, FA7X; E170, LJ30, B73W, E190, F900, B73H, C56X, F100, C25B, A333, DH8D | | | | |
| Санкт-Петербург, Пе- тербургское шоссе | 7,67 | 54-55 | 50-70 | 49-57 | 65-80 | A320, A321, CRJ2; A319, B736, B773, B74H, B772 | | | | |

| | Расстояние | | У3, | | | | |
|------------------------|------------|-------|--------|-------|---------|--|--|
| Населенный пункт | до аэро- | День | | | очь | Описание самолетов | |
| | порта, км | Экв. | Макс. | Экв. | Макс. | | |
| | | | | | | FAS8X, B73H, B738, | |
| | | | | | | A148, FA7X, YK42 | |
| | | | | | | A321, CRJ2; A319, A320, B736, B773, B73H, | |
| Санкт-Петербург, МО | | | | | | B730, B73, B73H, B772, CRJ2, FA7X; | |
| Горелово, 4-я линия | 8,34 | 49-57 | 45-75 | 49-57 | 45-75 | E170, C56X, DH8D, | |
| Торемово, тилини | | | | | | B777, E190, F900, | |
| | | | | | | GLF5, B77L | |
| | | | | | | CRJ2, A319, A321, B73W, | |
| Санкт-Петербург, га- | | | | | | B735, E170, B752, B773, | |
| ражный комплекс | 9 | 55-63 | 50-80 | 54-59 | 55-80 | BE40, E190, A321, B763, | |
| «Дружба» | | | | | | C56X, B77L, DH8D, | |
| | | | | | | B73G, G150 | |
| | | | | | | E135, CRJ2, A319, A320, B738, E145, B728, | |
| п. Новоселье | 10,65 | 56-62 | 50-75 | 50 | 40-70 | B735, B73H, CL60, | |
| п. повоселье | 10,03 | 30-02 | 30-73 | 50 | 40-70 | AN24, CL30, FA7X, | |
| | | | | | | SU95, GLF6 | |
| | | | | | | CRJ2, B73W, B735, E170; | |
| | | | | | | A319, B773; B752, | |
| | | | 50-75 | | | BE40; E190, A320, | |
| Санкт-Петербург, Вол- | 10,7 | 54-58 | | 55-56 | 55-80 | A321, B763, GALX, | |
| хонское шоссе | 10,7 | | | | 33 00 | GLF5, LJ60, AN4, | |
| | | | | | | DH8D, B77W, C56X, | |
| | | | | | | B73H, B77L; YK42, GLEX, F100, CLF4 | |
| | | | | | | A319, A320, A321, B773, | |
| г. Пушкин | 12,27 | 47-55 | 50-80 | 43-52 | 40-70 | B772, CRJ2; B73H, FA7X, | |
| | 12,27 | ., 00 | | | | E170, B738, B736, B735 | |
| | | | | | | A320, A321, CRJ2; B772, | |
| п. Ленсоветовский | 12,35 | 51-56 | 50-75 | 44-52 | 50-70 | A319, B773, FA7X, | |
| п. Ленеоветовекии | 12,55 | | | | | B73H, LJ30, B77W, | |
| | | | | | | A148, FA7X | |
| | | | | | | A319, A320, A321, FA7X, | |
| | | | | | | CRJ2, SU95, E145, GLF6, B738, B735, | |
| п. Стрельна | 13,84 | 56-61 | 50-70 | 49-54 | 60-75 | E135, B73H, CL60, | |
| | | | | | | AN24, CL30, B77W, | |
| | | | | | | A333, E190. B744, E170 | |
| | | | | | | CL60, CRJ2, FA7X, A319, | |
| | | | | | | CL30, GLF6, A320, | |
| Ленинградская область, | 14,35 | 51-53 | 45-70 | 50 | 60-70 | AN24, SU95, E145, | |
| д. Верхняя Колония | - 1,00 | | 10 / 0 | | | A321, B735, E135, | |
| | | | | | | B73H, B77W, A333, AT72, F900 | |
| | | | | | | A319, A321, B73W, AT72, | |
| | | | | | | B73H, B735, E175, | |
| д. Ольгино | 19,60 | 51 | 50-70 | 48-53 | 50-75 | B73G, E135, CRJ2, | |
| | | | | | | CL30, 195 | |
| | | | | | | A319, A321, E190, E170, | |
| | | | | | | CL60, E135, A320, | |
| г. Колпино | 20,26 | 47-57 | 50-75 | 50-52 | 50-70 | CRJ2, CL35, GLEX, | |
| | , - | | | | | B733, CRJ2, B735, | |
| | | | | | | B73H, A333, F2TH, E190 | |
| | | | | | | A319, A320, A321, E135, | |
| Санкт-Петербург, | 23,18 | 49-56 | 50-70 | 45-52 | 40-72 | B73H, GLF6, B738, | |
| г. Петергоф | ,-0 | , 20 | | | · · · - | CL30, SU95, E145, | |
| | | | • | • | • | . , , , | |

| | Расстояние | | У3, | дБА | | | |
|------------------|------------|------|-------|------|-------|-------------------------|--|
| Населенный пункт | до аэро- | Д | ень | Н | ОЧЬ | Описание самолетов | |
| | порта, км | Экв. | Макс. | Экв. | Макс. | | |
| | | | | | | B735, CL60, E135, | |
| | | | | | | AT72 | |
| | | | | | 45-55 | A319, CRJ2, F73H, B735, | |
| | | | | | | H25B, B735, CRJ2, SU95, | |
| n Vnaannii fan | 25.45 | 49 | 40-70 | 43 | | E190, AN26, PRM1, E170, | |
| п. Красный бор | 25,45 | 49 | 40-70 | 43 | 45-55 | F2TH, A319, GLEX, A321 | |
| | | | | | | B738, A321, A320, E195, | |
| | | | | | | CRJ1, AT72, E135 | |

Сводные данные по результатам измерений на расстоянии от 5 до 25 км от аэропортов представлены на рисунках 3.21 — 3.24. При оценке акустической обстановки на селитебной территории нормирование осуществлялось одновременно по ГОСТ 22283-2014 [7] и СанПиН 1.2.3685-21 [3].

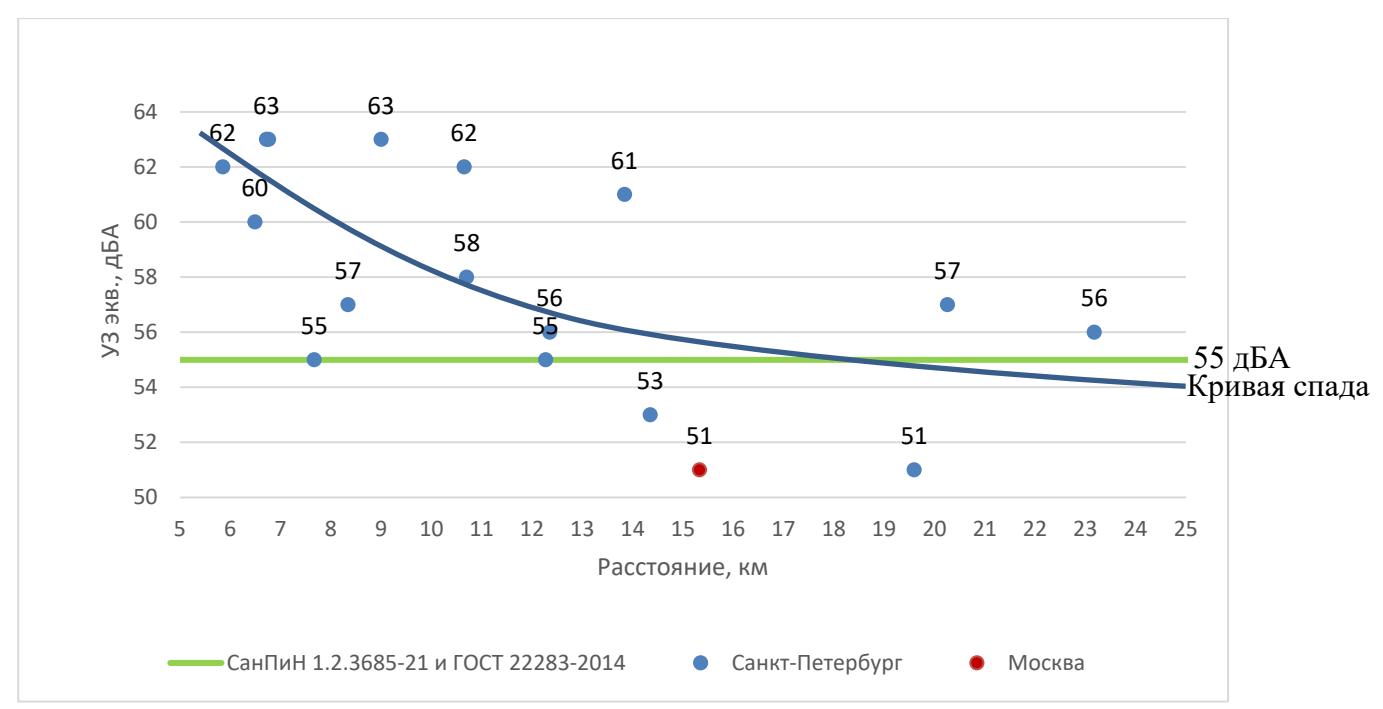


Рисунок 3.21 – Измеренные эквивалентные уровни звука в дневное время суток на различном расстоянии от аэропортов и снижение УЗ с расстоянием

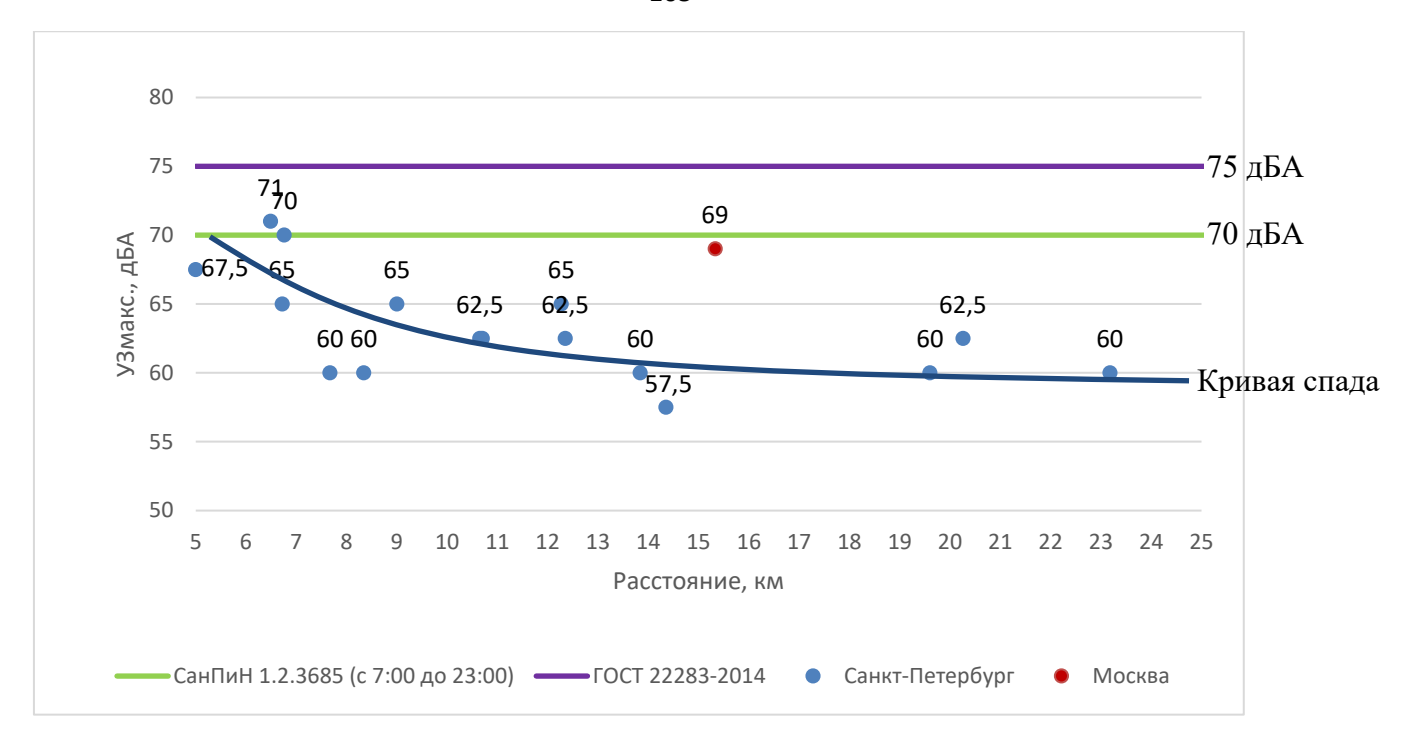


Рисунок 3.22 – Измеренные максимальные уровни звука в дневное время суток на различном расстоянии от аэропортов и снижение УЗ с расстоянием

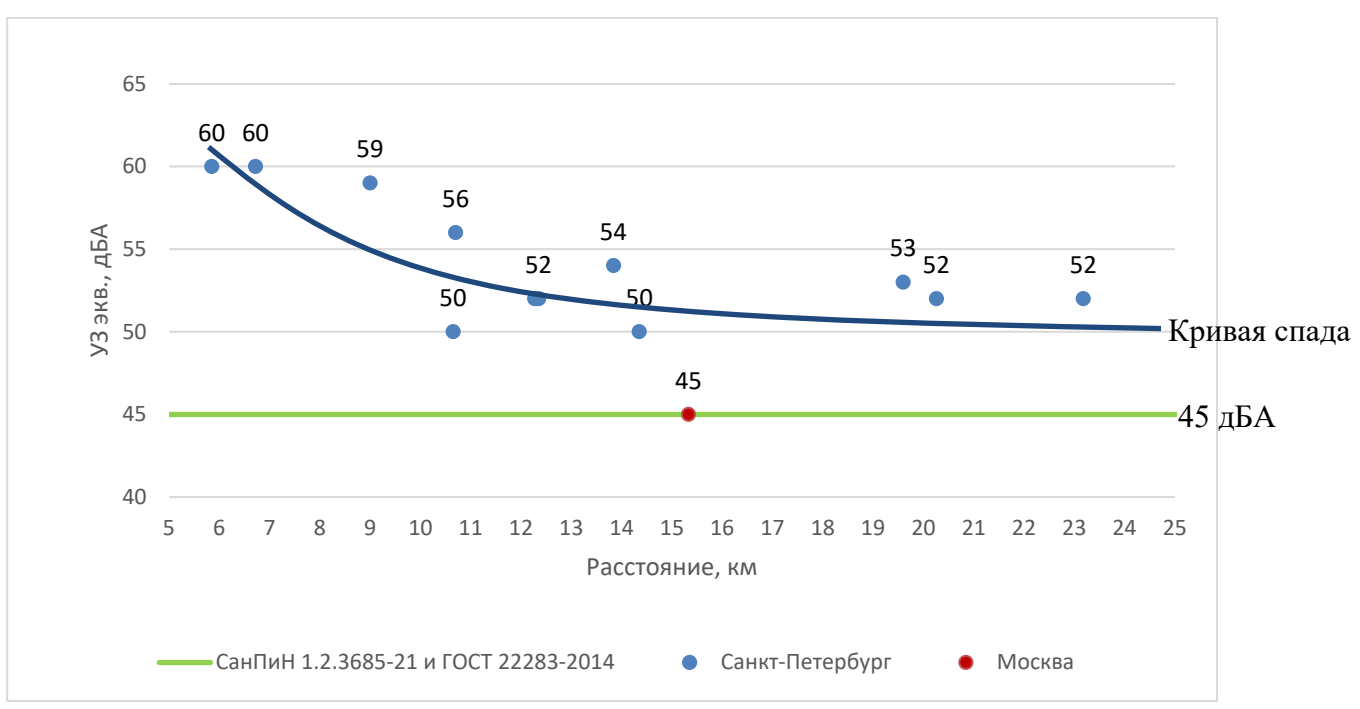


Рисунок 3.23 – Измеренные эквивалентные уровни звука в ночное время суток на различном расстоянии от аэропортов и снижение УЗ с расстоянием

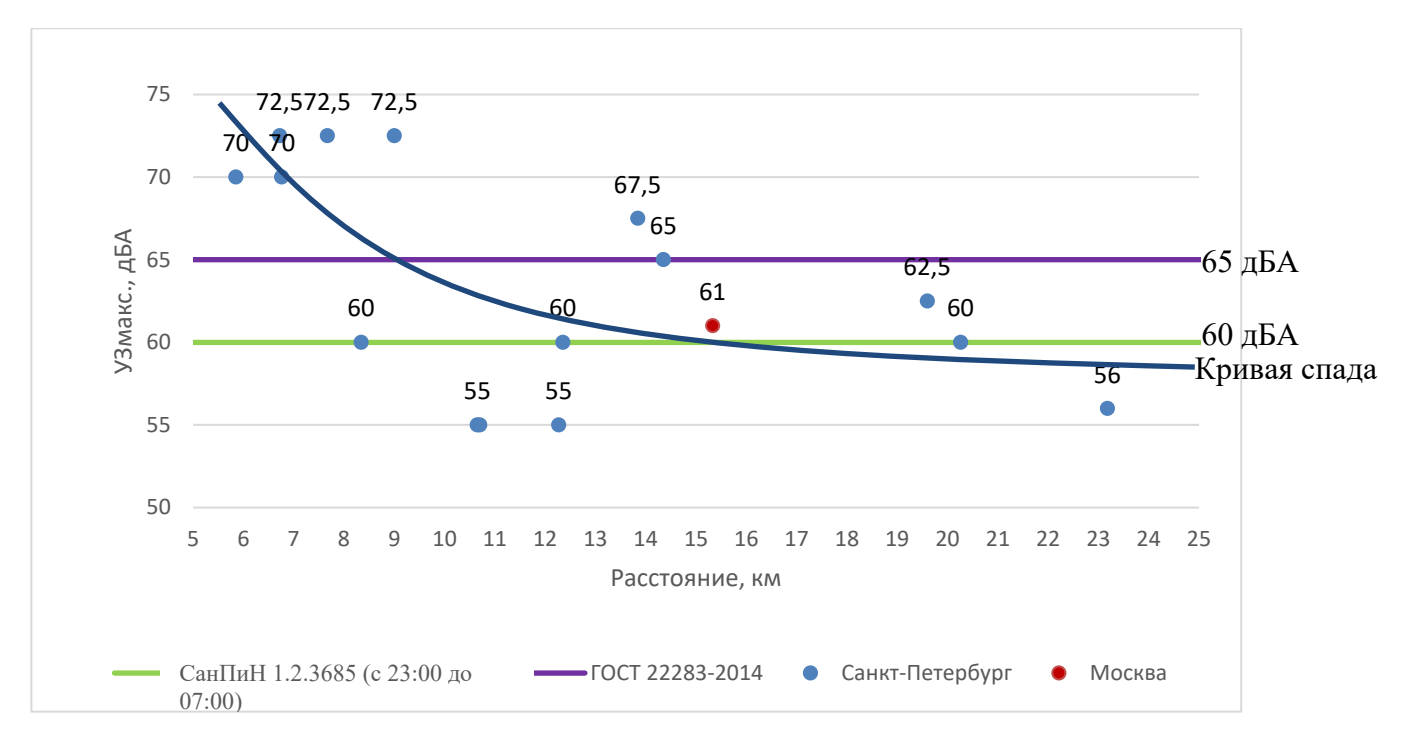


Рисунок 3.24 — Измеренные максимальные уровни звука в ночное время суток на различном расстоянии от аэропортов

Согласно представленным графикам в дневное время суток по эквивалентному уровню звука превышения над нормами по ГОСТ 22283-2014 [9] и СанПиН 1.2.3685-21 [4] на селитебной территории наблюдаются в 94% случаев при измерениях на расстоянии от 5 до 25 км от аэропортов. Максимальные уровни звука в дневное время суток в 95% случаев удовлетворяют требованиям нормативных документов.

В ночное время суток превышения по эквивалентному уровню звука на селитебной территории по ГОСТ 22283 – 2014 [9] и СанПиН 1.2.3685 – 21 [4] наблюдаются в 84% случаев, максимальных уровней звука в 26% и 52% случаев соответственно.

Особый интерес представляет анализ данных, представленных на рисунках 3.15-3.18. Можно предположить, что на заметных расстояниях от аэропорта фронт звуковой волны приближается к плоскому, а процессы уменьшения шума с расстоянием определяются только молекулярным затуханием. Косвенно это подтверждает большой разброс результатов на каждом графике: молекулярное затухание зависит не только от расстояния, но и от температуры,

влажности воздуха, скорости и направления движения воздушных потоков и прочего, что приводило к существенной неопределённости результатов.

Выводы по главе:

- воздействие 1. Акустическое различных воздушных типов судов определялось путем измерения авиационного шума по 10 точкам контроля (жилые застройки, расположенные вблизи аэропорта в западном и направлениях). восточном В ходе проведения измерений были определены типы и акустические характеристики воздушных судов. Исходя из анализа получен вывод, что самыми шумными типами воздушных судов являются самолёты А319, А320, В735 и В73Н:
 - Максимальные уровни звука (L_{Амакс}, дБА) ВС А319 в точках контроля за один период измерений были превышены 54 из 75 (72% из 100% превышений) событий пролетов над селитебными территориями в ночной период времени суток и 1 из 109 в дневной период времени суток. Основная часть превышений была зафиксирована в ночной период времени суток самолетами типа А319;
 - Максимальные уровни звука (L_{Амакс}, дБА) ВС А320 в точках контроля за один период измерений были превышены 39 из 58 (67% из 100% превышений) событий пролетов над селитебными территориями в ночной период времени суток и 5 из 139 (4% из 100% превышений) в дневной период времени суток. Основная часть превышений была зафиксирована в ночной период времени суток самолетами типа А320;
 - Максимальные уровни звука (L_{Амакс}, дБА) ВС В735 в точках контроля за один период измерений были превышены 10 из 12 (84% из 100% превышений) событий пролетов над селитебными территориями в ночной период времени суток и 4 из 33 (12% из 100% превышений) в дневной период времени

- суток. Основная часть превышений была зафиксирована в ночной период времени суток самолетами типа В735;
- Максимальные уровни звука (L_{Амакс}, дБА) В73Н в точках контроля за один период измерений были превышены 2 из 4 (50% из 100% превышений) событий пролетов над селитебными территориями в ночной период времени суток и 1 из 43 (3% из 100% превышений) в дневной период времени суток. Основная часть превышений была зафиксирована в ночной период времени суток самолетами типа В73Н.
- 2. За период контроля авиационного шума с 2020 по 2022 было зафиксировано 1809 пролетов самолетов гражданской авиации, из них 73% отклонились от установленного стандартного маршрута взлета/посадки, а количество превышений по шуму на селитебной территории составили 78%.
- 3. Разработана методика измерения авиационного шума, учитывающая влияние траекторий полетов на шум аэропортов. Данная методика позволяет при наличии данных о ВС, отклонившихся от стандартных маршрутов взлета и данных о шуме на ближайшей селитебной территории аргументированно установить, что является причиной повышения уровней шума на приаэродромной территории. Из полученных данных мониторинга авиационного шума следует, что отклонившиеся ВС от установленных маршрутов взлета давали шумовое воздействие 7-9 дБА больше на близлежащие селитебные территории, чем ВС, которые соблюли данные маршруты.
- 4. При анализе данных о влиянии режимов полета на воздействие шума в точках наблюдения сделаны выводы:
 - Анализ полученных результатов показала, на этапе I «Разбег» происходит рост шумового воздействия. Данный факт объясняется тем, что ВС увеличивает скорость движения по ВПП с «начала разбега» до «отрыва» увеличивается с 75 до 85 дБА (на 10

- дБА). На этапе II «Отрыв» виден спад УЗ, который показывает, что шумовое воздействие от ВПП при контакте с ВС было прекращено и при их отделении друг от друга произошло снижение УЗ с 85 дБА до 79 дБА (на 6 дБА). На этапе III «Разгон с подъемом» виден рост УЗ, обусловленный тем, что самолет продолжает разгон скорости и переходит в набор высоты тем самым продолжая увеличивать собственный уровень шумового воздействия с 79 до 80 дБА (на 1 дБА);
- Анализ на этапах «Посадки» показала, при переходе с этапа I «Выдерживание» к этапу II «Приземление» происходит рост шумового воздействия с 66 до 73 дБА (на 7 дБА), т. к. при контакте ВС с ВПП добавляется шум от торможения шасси и взаимодействия шасси с ВПП. На этапе III «Пробег» виден спад УЗ с 73 до 65 дБА (на 8 дБА), который обусловлен постепенным снижением скорости ВС вдоль ВПП;
- Разница уровней звука этапа «Взлет» над этапом «Посадка» достигает с 9 до 15 дБА. Данная разница обусловлена тем, что при взлете и посадке основным источником шума является силовая установка, которая при взлете максимально усиливается, чтобы позволить судну быстро набрать скорость и взлететь, а при посадке снижается, чтобы замедлить судно и после соприкосновения с ВПП выпустить закрылки, которые резко снижают посадочную скорость и длину пробега, тем самым и снижая со скоростью шумовое воздействие авиационного судна
- 5. С целью анализа закономерностей снижения шума с расстоянием и уточнения природы снижения авиационного шума авторами проведены экспериментальные исследования, в ходе которых было проанализировано снижение шума с увеличением расстояния от ВПП и с увеличением расстояния до аэропорта. При увеличении расстояния от ВПП было выявлено снижение УЗ на 3 дБА при первом удвоении (от 100

до 200 м), снижение на 4-5 дБА при втором удвоении (от 200 до 400 м) и 6-7 дБА при третьем удвоении (от 400 до 800 м). Таким образом, согласно полученным данным сделан вывод о том, что фронт звуковой волны ИШ меняется от цилиндрического к квазицилиндрическому, а затем к сферическому, и эта закономерность прослеживается как для эквивалентных, так и для максимальных УЗ. Это означает, что при расчётах снижения шума для объектов, расположенных вблизи ВПП, необходимо источник шума — ЛА в процессе разбега по ВПП принимать линейным источником шума на расстояниях до 500 м.

6. При увеличении расстояния до аэропорта можно увидеть, что УЗ снижаются приблизительно на 10 –15 дБА при увеличении расстояния от 5 до 25 км, что не вполне подчиняется закону дивергенции для точных источников звука. Сделан вывод, что на заметных расстояниях от аэропорта фронт звуковой волны приближается к плоскому, а процессы уменьшения шума с расстоянием определяются только молекулярным затуханием. Косвенно это подтверждает большой разброс результатов на каждом графике, так как молекулярное затухание зависит не только от расстояния, но и от температуры, влажности воздуха, скорости и направления движения воздушных потоков и прочее, что приводит к существенному разбросу результатов.

ГЛАВА 4. РАЗРАБОТКА МЕТОДА РАСЧЕТА ШУМА С УЧЕТОМ ЭКРА-НИРУЮЩЕГО ЭФФЕКТА СООРУЖЕНИЙ ПРИ РАЗБЕГЕ САМОЛЕТА

4.1. Разработка метода расчета шума на защищаемой территории с учетом экранирующего эффекта сооружений

Шум в жилой застройке, расположенной вблизи аэропортов, заметно превышает допустимые нормы. Нередко эти превышения достигают 10-15 дБА, т.е. в 2-3 раза по субъективному ощущению громкости превышают допустимые значения. На территории аэропортов располагаются офисные и другие здания, в помещениях которых шум также может превышать допустимые значения. Наибольшие превышения шума отмечаются при разбеге самолетов по взлётно-посадочной полосе (ВПП) и взлёте. При этом разница уровней звука (УЗ) при взлёте и посадке может достигать 9-15 дБА.

Одним из эффективных методов снижения шума является использование экранирующего эффекта сооружений на пути распространения звука от ВПП до жилой застройки и других нормируемых объектов [110]. К таким экранирующим сооружениям могут относиться как специально построенные вдоль ВПП акустические экраны, эффективность и конструкции которых описаны в работах [11-15], так и здания различного назначения на территории аэропорта, создающие экранирующий эффект. Надежные методы расчета эффективности экранирующего эффекта сооружениями, расположенными вблизи ВПП, учитывающие особенности генерации и распространения авиационного шума, отсутствуют. Если при выполнении расчетов шума на территориях, прилегающих к ВПП, и в помещениях близрасположенных зданий экранирующий эффект застройки не учитывается, возникает искажение результатов расчетов.

Расчет шума с учетом экранирующего эффекта зданий и сооружений вблизи ВПП при разбеге самолета необходимо выполнять для того, чтобы корректно учесть экранирующий эффект зданий и других сооружений, расположенных на территории аэропорта по пути распространения звука от ВПП до жилой застройки. Расчётная схема показана на рисунке 4.1.

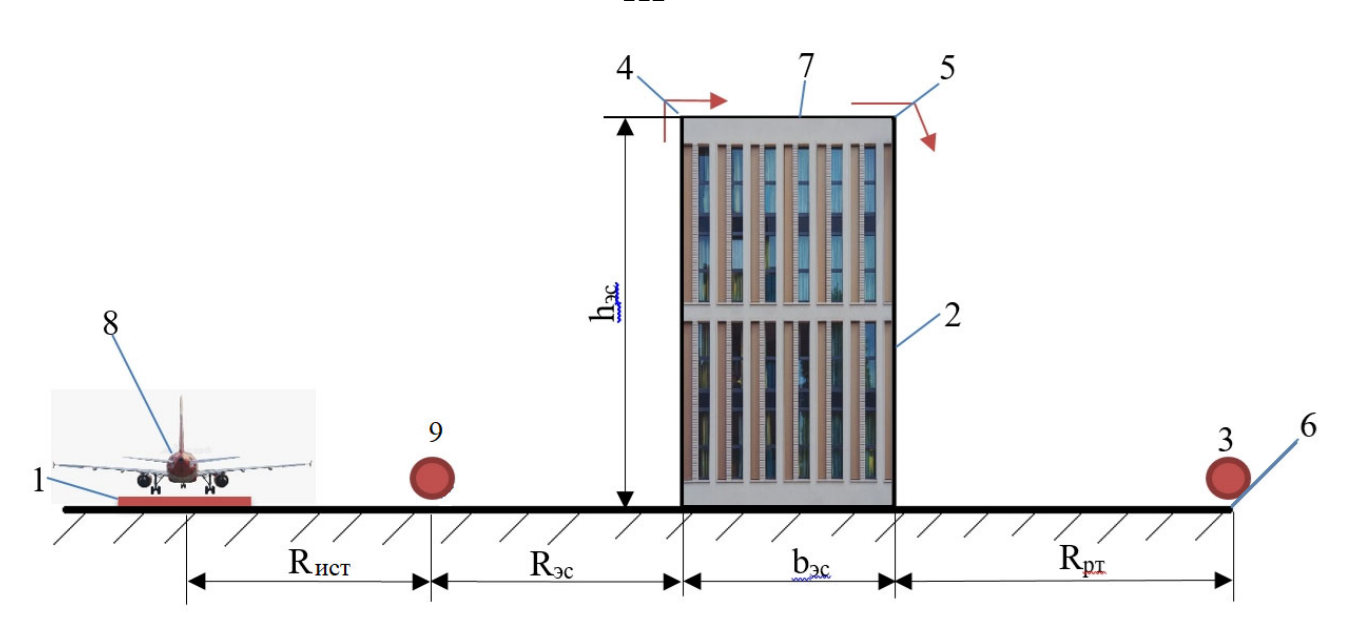


Рисунок 4.1 — Схема расчёта экранирующего сооружения при разбеге самолета по ВПП: 1 — ВПП, 2 —экранирующее сооружение (ЭС), 3 — РТ, расположенная в зоне жилой застройки, 4,5 — левое и правое свободные ребра экранирующего сооружения, соответственно, 6 — опорная поверхность, 7 — верхняя часть экранирующего сооружения, 8 — самолет; 9 — точка измерений (расчета) шума самолета на ВПП; — дифракция звука.

В разработанном автором методе расчетах приняты следующие допущения:

- 1. для расчета использован метод преобразования звуковых полей [52];
- 2. источником шума (ИШ) является не только самолет, но и часть взлётно-посадочной полосы (ВПП), по которой он движется, за счёт отражения звука от поверхности ВПП;
- 3. источник шума аппроксимирован как линейный, фронт звуковой волны которого до определённых расстояний имеет характер цилиндрический или квазицилиндрический;
 - 4. излучение звука происходит в полупространство.

В приложении 1 представлены фотографии с мест проведения измерений.

При выводе формул используем метод последовательного изменения звуковых полей при наличии экранирующего сооружения, предложенный Н.И. Ивановым [21, 56].

Интенсивность звука, падающего в нижнюю часть экранирующего сооружения (ЭС):

$$I_{\text{пад}} = \frac{W_{\text{ист}}}{\pi l_{\text{ист}} R_{\text{эс}}} \arctan \frac{l_{\text{ист}}}{2R_{\text{эс}}}, \tag{4.1}$$

где: W_{ист} – акустическая мощность ИШ, Вт;

 $l_{{ t ext{ iny ICT}}}-$ длина ИШ, равная длине разбега летательного аппарата, м;

 $R_{\text{эс}}$ — расстояние от ВПП до ЭС (принимаем перпендикуляр, опущенный из середины ВПП на ЭС), м.

Звуковая мощность в нижней части экранирующего сооружения в предположении, что звук излучается полосой, равной 1 м.

$$W_{H} = I_{\Pi \alpha \Pi} l_{\beta c} 1, \qquad (4.2)$$

где: l_{3c} – длина экранирующего сооружения, м.

Определяем интенсивность звука на левом свободном ребре экранирующего сооружения. При этом принято допущение о том, что интенсивность звука уменьшается с увеличением высоты (h_{3c}) ЭС [49]. Интенсивность звука на левом свободном ребре экранирующего сооружения:

$$I_{\text{np}} = \frac{W_{\text{H}}(1-\alpha_{\text{9c}})}{\pi l_{\text{9c}} h_{\text{9c}}} \arctan \frac{l_{\text{9c}}}{2h_{\text{9c}}},$$
 (4.3)

где: $\alpha_{\text{эс}}$ – коэффициент звукопоглощения фасада ЭС (обращен к ИШ); $h_{\text{эс}}$ – высота ЭС, м.

Мощность звука, излучаемого этим ребром:

$$W_{np} = I_{np} I_{sc} \lambda \beta_{дифp}$$
, (4.4)

где: λ – длина звуковой волны, м;

 $\beta_{\text{дифр}} - \kappa$ оэффициент дифракции, принимаем $\beta_{\text{дифр}} = 1/\pi$ [49].

Интенсивность звука на правом свободном ребре:

$$I_{\text{np}} = \frac{W_{\text{np}}(1-\alpha_b)}{\pi l_{\text{ac}}b_{\text{ac}}} \arctan \frac{l_{\text{ac}}}{2b_{\text{ac}}}, \qquad (4.5)$$

где: b_{эс} – ширина экранирующего сооружения, м (рисунок 4.2).

 α_b – коэффициент звукопоглощения верхней части ЭС.

Звуковая мощность, излучаемая правым свободным ребром:

$$W_{\rm np} = I_{\rm np} l_{\rm sc} \lambda \beta_{\rm дифp}$$
, (4.6)

Интенсивность звука в РТ:

$$I_{pT} = \frac{W_{\pi p}}{\pi l_{9c} R_{pT}} \operatorname{arctg} \frac{l_{9c}}{2R_{pT}}, \qquad (4.7)$$

где: R_{pr} – расстояние от ЭС до РТ, м (рисунок 4.2).

Подставим (4.1-4.6) в (4.7):

$$I_{pT} = \frac{W_{\mu cT} l_{\beta c} 1 (1 - \alpha_{\beta c}) l_{\beta c} \lambda l_{\beta c} (1 - \alpha_b) \lambda \beta_{\mu \mu \phi p} \beta_{\mu \mu \phi p}}{\pi l_{\mu cT} R_{\beta c} \pi l_{\beta c} h_{\beta c} \pi l_{\beta c} h_{\beta c} \pi l_{\beta c} R_{pT}} \operatorname{arctg} \frac{l_{\beta c}}{2 h_{\beta c}} \operatorname{arctg} \frac{l_{\beta c}}{2 h_{\beta c}} , \qquad (4.8)$$

Сделаем некоторые преобразования, учитывая также принятое допущение $l_{\rm ист} = l_{\rm эc}$, обозначив для удобства сомножители с arctg буквой K, а также подставив в числитель и знаменатель $R_{\rm ист}$.

$$I_{pT} = \frac{W_{\mu cT} 1 (1 - \alpha_{\theta c}) \lambda \lambda \beta_{\mu \mu \phi p} \beta_{\mu \mu \phi p} R_{\mu cT}}{\pi R_{\theta c} \pi h_{\theta c} \pi l_{\theta c} b_{\theta c} \pi R_{pT} R_{\mu cT}} K, \qquad (4.9)$$

где: $R_{\text{ист}}$ – расстояние, на котором были выполнены измерения для получения данных о характеристиках ИШ, м.

Прологарифмируем обе части (4.9), получим значение уровней звукового давления в РТ:

$$\begin{split} L_{p\text{\tiny T}} = & L_{\text{Wuct}} - 10lg \frac{h_{\text{\tiny 3C}}}{\lambda} - 10lg \frac{b_{\text{\tiny 3C}}}{\lambda} + 10lg(1 - \alpha_{\text{\tiny 3C}}) + 10lg(1 - \alpha_{\text{\tiny b}}) + 20lg\beta_{\text{Дифp}} + \\ & 10lg(1 - \alpha_{\text{\tiny 3C}}) - 10lg2\pi R_{\text{\tiny HCT}} - 10lg2\pi^3 - 10lg\frac{R_{\text{\tiny 3C}}R_{\text{\tiny pT}}}{R_{\text{\tiny HCT}}R_0} + 10lgK \;, \end{split} \tag{4.10}$$

где: $L_{\text{Wист}}$ – уровни звуковой мощности ИШ, Вт; $R_0 = 1 \,\, \text{м}.$

Учитывая, что в большинстве случаев приходиться использовать акустические характеристики ИШ, получаемые экспериментально, формулу (4.10) необходимо преобразовать с учётом, что УЗД и УЗ ИШ (L_{ист}) связаны с его акустической мощностью следующей зависимостью:

$$L_{\text{ист}} = L_{\text{Wист}} - 10 \text{lgS}_{\text{ист}}, \, \text{дБ},$$
 (4.11)

где: $S_{\text{ист}}$ — условная площадь окружающая измеряемый ИШ, где точки измерений находятся на расстоянии $R_{\text{ист}}$ от ИШ.

В окончательном виде уровни звукового давления в расчетной точке (РТ) за экранирующим сооружением рассчитываются следующим образом:

$$L_{pT} = L_{\text{ист}} - 10lg \frac{h_{\text{эс}}}{\lambda} + 10lg(1-\alpha_{\text{эc}}) - 10lg \frac{b_{\text{эс}}}{\lambda} + 2\Pi \Pi + 10lg(1-\alpha_{\text{b}}) - 10lg \frac{R_{\text{эс}}R_{pT}}{R_{\text{ист}}R_0} + K_1 + K_2 + K_3 + K_4 - 10lg \frac{\pi^3}{2}, \, \Pi B$$

$$(4.12)$$

где:

 $L_{\text{ист}}$ – уровни звукового давления, измеренные на расстоянии $R_{\text{ист}}$ от ВПП, дБ;

 $l_{\rm sc}$ – длина экранирующего сооружения, м;

 $h_{\text{эс}}$ – высота экранирующего сооружения, м;

 $\alpha_{\text{эс}}$ — коэффициент звукопоглощения фасада экранирующего сооружения, обращенного к ВПП;

 $b_{\rm sc}$ — ширина экранирующего сооружения, м;

 $\alpha_{\rm b}$ – коэффициент звукопоглощения верхней части ЭС шириной $b_{\rm sc}$;

 λ – длина звуковой волны, м;

 $R_0 = 1 \text{ M};$

 Π Д – показатель дифракции верхних «свободных» ребер экранирующего сооружения (ЭС), получаемый экспериментально и равный Π Д = 10lg β _{дифр}, где β _{дифр} – коэффициент дифракции на свободном ребре (коэффициенты дифракции на каждом из ребер приняты одинаковыми);

 K_1 , K_2 , K_3 , K_4 — числовые поправки, дБ, зависящие от отношения l_{3c} к величине одного из следующих факторов — расстояния от ИШ до ЭС (R_{3c}), высоты ЭС (h_{3c}), ширины ЭС (b_{3c}), расстояния от ЭС до РТ (R_{pr}), в частности:

$$K_{1} = 10 \operatorname{lgarctg} \frac{l_{3C}}{2R_{3C}},$$

$$K_{2} = 10 \operatorname{lgarctg} \frac{l_{3C}}{2h_{3C}},$$

$$K_{3} = 10 \operatorname{lgarctg} \frac{l_{3C}}{2b_{3C}},$$

$$K_{4} = 10 \operatorname{lgarctg} \frac{l_{3C}}{2R_{PT}},$$

значения этих выражений можно получить, используя данные таблицы 4.1, подставив вместо D соответствующие численные значения.

Таблица 4.1. Вычисленные значения числовых поправок.

| l ₂₀ /2D* | $\mathrm{arctg}rac{l_{	ext{9c}}}{2D}$ | 10 lgarctg $\frac{l_{3c}}{2D}$, дБ |
|----------------------|--|---------------------------------------|
| 1 | 0,79 | -1,1 |
| 1.5 | 0,98 | -0,1 |
| 2 | 1,11 | 0,4 |
| 3 | 1,25 | 0,9 |
| 4 | 1,33 | 1,2 |
| 10 | 1,47 | 1,7 |

 D^* - значение одного из подставляемых параметров R_{3c} , h_{3c} , b_{3c} , R_{pt}

4.2. Разработка метода расчета шума с учетом экранирующего эффекта у фасада здания на территории аэропорта

Расчет шума с учетом экранирующего эффекта зданий на территории аэропорта выполняется для того, чтобы определить экранирующий эффект здания по отношению к его противоположно расположенному фасаду. Таким образом, прогнозируются ожидаемые УЗД на частично защищенной от шума территории вблизи этого здания и, в дальнейшем, определяется требуемое снижение шума в нормируемых помещениях и требуемая звукоизоляция конструкций здания. Расчетная схема приведена на рисунке 4.2.

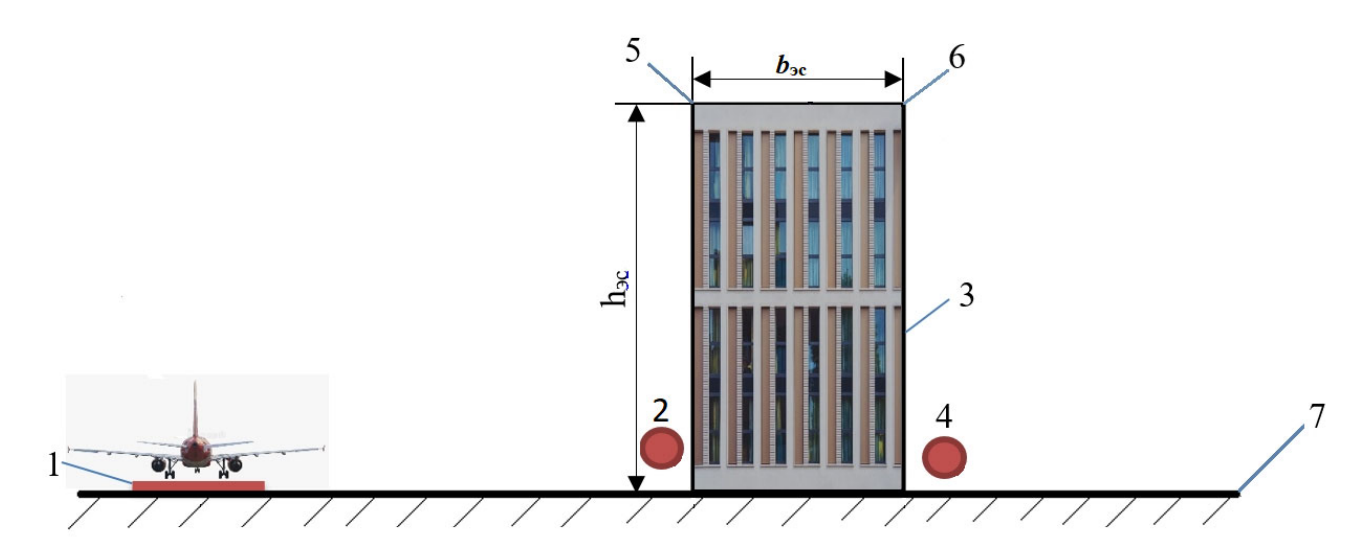


Рисунок 4.2 – Схема расчёта экранирующего эффекта здания: 1 – ВПП, 2 – точка измерений вблизи фасада здания для получения исходных УЗД для расчета, 3 – здание (ЭС), 4 – РТ, 5, 6 – свободные ребра ЭС; 7 – опорная поверхность, 8 – верхняя часть ЭС.

Особенностями расчета по этой схеме, дополнительно к указанным в разделе 1, являются следующие:

- 1. в качестве исходной характеристики взяты значения УЗД, полученные на территории, прилегающей к фасаду здания, обращенному к ВПП;
 - 2. экранирующее сооружение расположено параллельно ВПП;
- 3. расчет экранирующего эффекта выполняется в РТ, расположенной на противоположном фасаде рассматриваемого здания.

Звуковая мощность в нижней части здания (экранирующего сооружения) со стороны ВПП по аналогии с предыдущим (излучение полосы шириной 1 м) запишем в виде:

$$W_{H} = I_{H} 1 l_{3c}$$
, (4.13)

где: I_H — известная по измерениям интенсивность звука в нижней части здания со стороны ВПП, $B\tau/m^2$;

 $l_{\rm sc}$ — длина здания, м.

Интенсивность звука в верхней левой части здания:

$$I_b^{\pi} = \frac{W_{H}(1 - \alpha_{9C})}{\frac{\pi}{2} l_{9C} h_{9C}} \arctan \frac{l_{9C}}{2 h_{9C}}, \qquad (4.14)$$

где: h_{3c} – высота здания, м;

 $lpha_{
m эc}$ — коэффициент звукопоглощения фасада здания.

Мощность звука, излучаемая левым линейным источником:

$$W_h^{\pi} = I_{h \Pi p}^{\pi} l_{\text{эс}} \lambda \beta_{\text{дифр}},$$
 (4.15)

где: λ – длина звуковой волны, м;

β_{дифр} – коэффициент дифракции.

Интенсивность звука в правой части здания:

$$I_b^{\Gamma} = \frac{W_b^{\pi}(1-\alpha_b)}{\pi l_{3c}b_{3c}} \operatorname{arctg} \frac{l_{3c}}{2b_{3c}},$$
 (4.16)

где: b_{3c} – ширина здания, м;

 $\alpha_{\rm эc}$ — коэффициент звукопоглощения верхней части здания.

Мощность звука, излучаемого правым линейным источником:

$$W_b^{\Pi} = I_{b \Pi p}^{\Pi} l_{\text{эс}} \lambda \beta_{\text{дифр}},$$
 (4.17)

Интенсивность звука в РТ:

$$I_{\rm pr} = \frac{W_b^{\rm II}}{\frac{\pi}{2} l_{\rm 9c} h_{\rm 9c}} \arctan \frac{l_{\rm 9c}}{2 h_{\rm 9c}} ,$$
 (4.18)

Подставим (4.13) - (4.16) в (4.17):

$$I_{pT} = \frac{I_{H}1l_{9c}1l_{9c}(1-\alpha_{9c})\lambda l_{9c}\beta_{\mu\phi}\lambda l_{9c}\beta_{\mu\phi}(1-\alpha_{b})}{\frac{\pi}{2}l_{9c}h_{9c}\pi l_{9c}b_{9c}\frac{\pi}{2}l_{9c}h_{9c}} \operatorname{arctg} \frac{l_{9c}}{2h_{9c}} \operatorname{arctg} \frac{l_{9c}}{2h_{9c}} * \operatorname{arctg} \frac{l_{9c}}{2h_{9c}},$$

$$*\operatorname{arctg} \frac{l_{9c}}{2h_{9c}},$$

$$(4.19)$$

В качестве итога уровни звукового давления в расчетной точке:

$$L_{\text{рт}} = L_{\text{H}} - 101g \frac{h_{\text{эс}}}{\lambda} - 101g \frac{b_{\text{эс}}}{\lambda} + 101g(1-\alpha_{\text{эс}}) + 101g(1-\alpha_{\text{b}}) + 2\Pi \Pi + K_1 + K_2$$
$$-101g \frac{\pi^3}{4}, \text{дБ}, \qquad (4.20)$$

где: $L_{\mbox{\tiny H}}$ – уровни звукового давления на фасаде здания со стороны ВПП, дБ, получаемые экспериментально;

 K_1 , K_2 – числовые поправки, дБ, зависящие от отношения длины ЭС (l_{3c}) к одному из следующих факторов - высота ЭС (h_{3c}), ширина ЭС (b_{3c}), дБ, описанные в формуле (4.12).

4.3 Теоретические исследования экранирующего эффекта сооружений

Анализируя полученные формулы (4.12) и (4.20), отметим, что основными конструктивными факторами, влияющими на снижение шума в РТ при фиксированной длине, являются высота (h_{3c}) и ширина (b_{3c}) экранирующего сооружения.

Выполним расчеты зависимости УЗД и УЗ при изменении параметров высоты в пределах от 0,5 до 40 м и ширины в пределах от 1 до 10 м. Вычисленные значения снижения УЗД и УЗ при изменении h приведены в таблице 4.2, а также показаны на рисунках 4.3 и 4.4.

Таблица 4.2 Вычисленные значения $10\lg \frac{h_{9c}}{\lambda}$

| Выбранные значения h, | | ислені олосах | Снижение эквивалентных | | | | | | | | | |
|--------------------------|-----|------------------|---------------------------|------|------|------|------|------|-----------------------|--|--|--|
| M | 63 | 125 | 250 | 500 | 1000 | 2000 | 4000 | 8000 | уровней звука, дБА | | | |
| 5 | 0,3 | 2,7 | 5,7 | 8,7 | 11,7 | 14,7 | 17,7 | 20,7 | 12 | | | |
| 8 | 1,7 | 4,7 | 7,7 | 10,7 | 13,7 | 16,7 | 19,7 | 22,7 | 14 | | | |
| 12 | 3,4 | 6,5 | 9,5 | 12,5 | 15,5 | 18,5 | 21,5 | 24,6 | 16 | | | |
| 20 | 5,7 | 8,7 | 11,7 | 14,7 | 17,7 | 20,7 | 23,7 | 26,7 | 18 | | | |
| 30 | 7,5 | 10,5 | 13,5 | 16,5 | 19,5 | 22,5 | 25,5 | 28,5 | 20 | | | |
| 40 | 8,7 | 11,7 | 14,7 | 17,7 | 20,7 | 23,7 | 26,7 | 29,7 | 21 | | | |

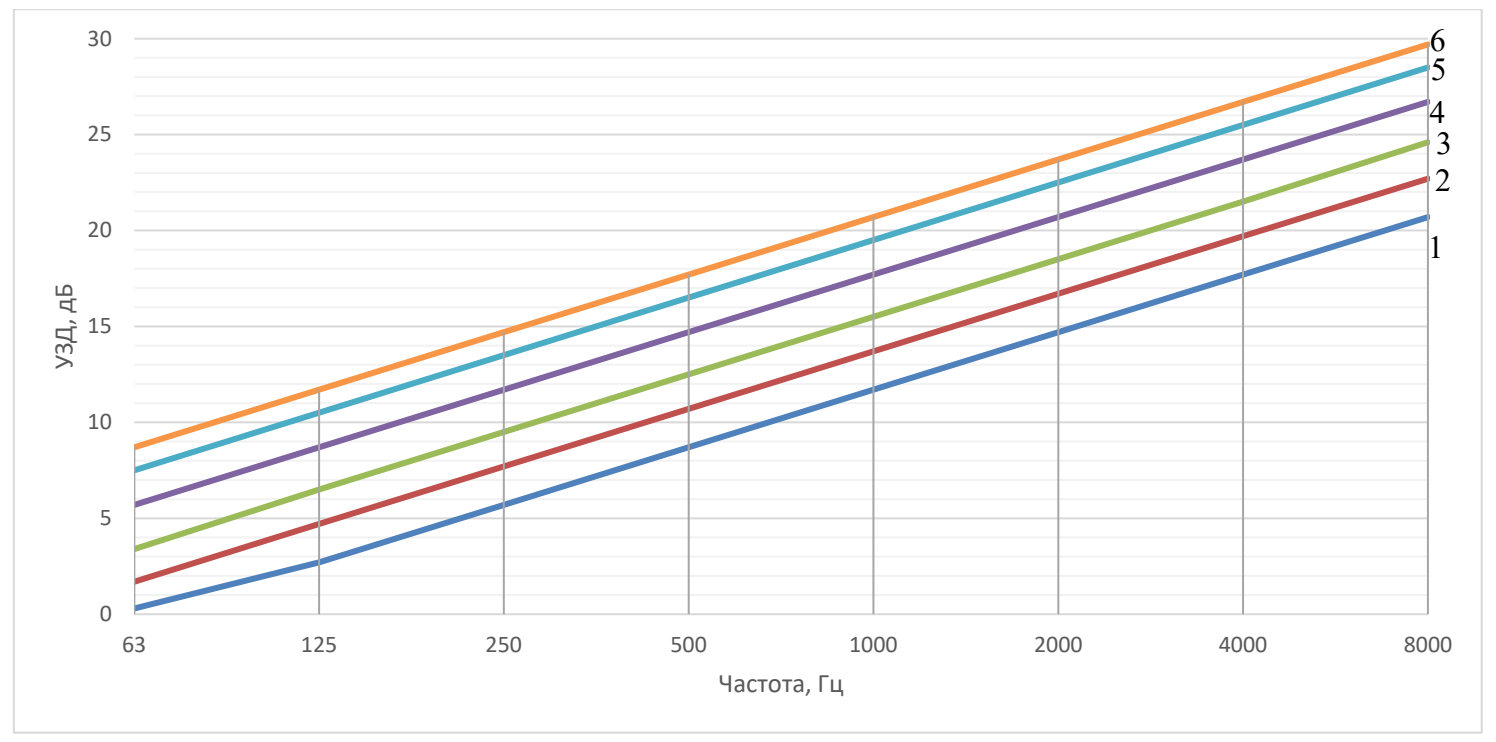


Рисунок 4.3 — Вычисленные значения УЗД, дБ, при увеличении высоты экранирующего сооружения: 1-5 м, 2-8 м, 3-12 м, 4-20 м, 5-30 м, 6-40 м.

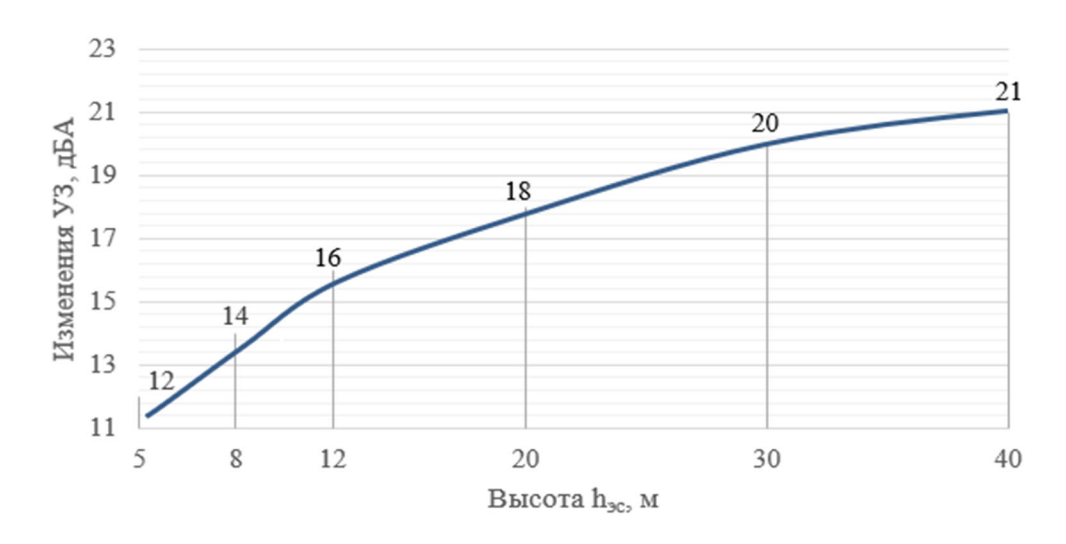


Рисунок 4.4 – Зависимость снижения УЗ, дБА, от высоты экранирующего сооружения.

Характер изменения УЗД с ростом частоты состоит в увеличении эффекта экранирования на 3 дБ на октаву. Увеличение условной эффективности ЭС при увеличении высоты экранирующего сооружения ($h_{\rm эc}$): от 1 до 21 дБ на частоте 63 Гц, от 9 до 30 дБ на частоте 8000 Гц (Рисунок 4.5 и Таблица 4.1). Анализируя изменение эффективности в уровнях звука, получены значения от 12 дБА до 21 дБА с ростом

высоты от 5 м до 40 м, полученная зависимость подобна гиперболе (Рис. 4). Вычисленные значения изменения УЗ и УЗД при увеличении $b_{\rm эc}$ приведены в таблице 4.2, влияние ширины экранирующего сооружения на эффективность показано на рисунке 5.

Вычисленные значения снижения УЗ при увеличении b приведены в таблице 4.3, а также показаны на рисунке 4.5.

Таблица 4.3 Вычисленные значения $10\lg \frac{b_{3c}}{\lambda}$

| | Выч | ислені | Снижение | | | | | | |
|---------------|------|--------|---------------|------|------|------|------|------|-----------------------|
| Выбранные | п | олосах | эквивалентных | | | | | | |
| значения b, м | 63 | 125 | 250 | 500 | 1000 | 2000 | 4000 | 8000 | уровней звука, дБА |
| 4 | -1,3 | 1,7 | 4,7 | 7,7 | 10,7 | 13,7 | 16,7 | 19,7 | 11 |
| 8 | 1,7 | 4,7 | 7,7 | 10,7 | 14,7 | 16,7 | 19,7 | 22,7 | 14 |
| 12 | 3,4 | 6,5 | 9,5 | 12,5 | 15,5 | 18,5 | 21,5 | 24,6 | 16 |
| 20 | 5,7 | 8,7 | 11,7 | 14,7 | 17,7 | 20,7 | 23,7 | 26,7 | 18 |

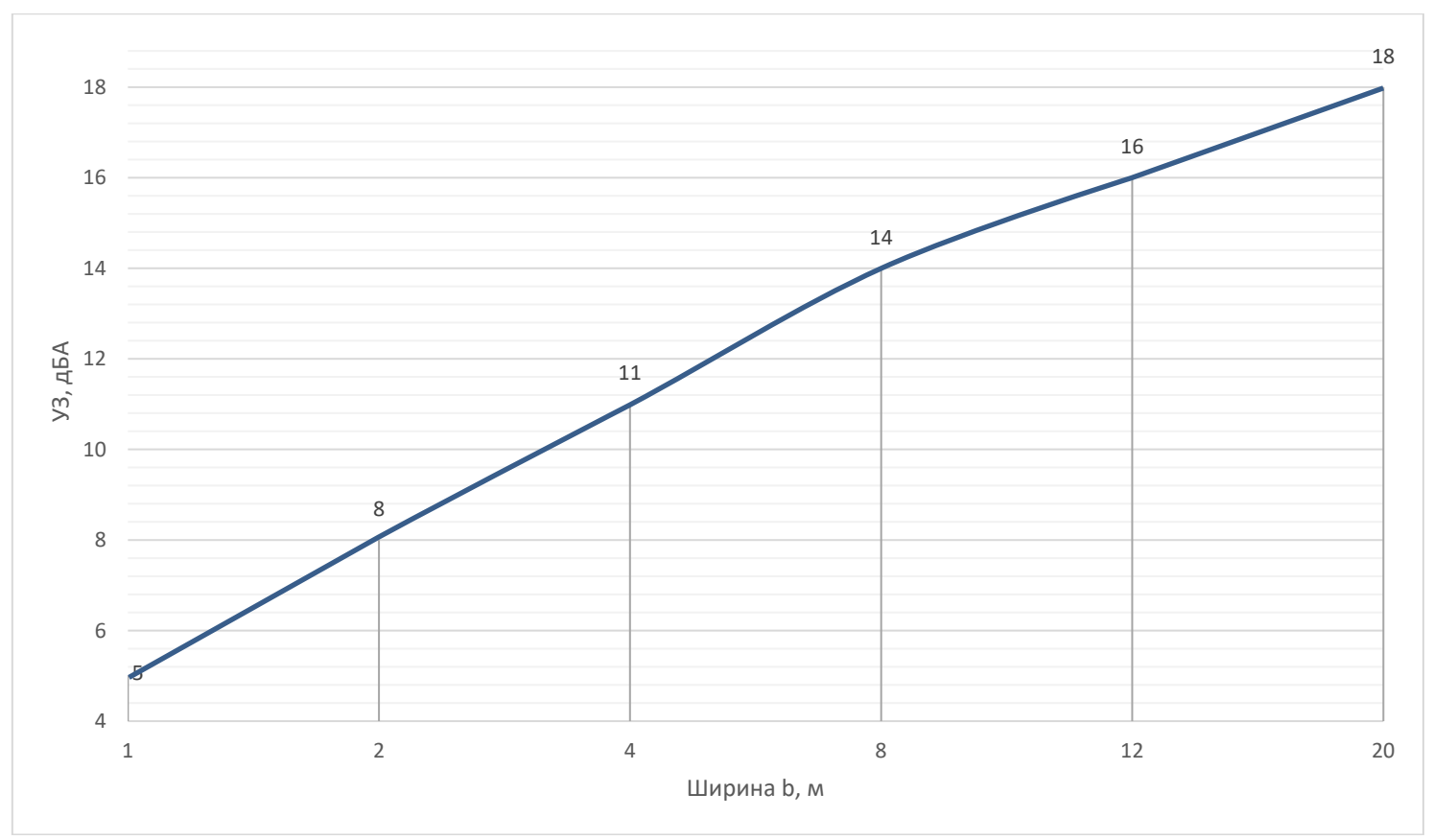


Рисунок 4.5 – Зависимость снижения УЗ от ширины экранирующего сооружения.

Анализ характера изменения эффективности снижения шума с увеличением ширины экранирующего сооружения (ЭС), показывает, что при изменении ширины ЭС от 1 м до 20 м увеличение условной эффективности составляет 5-18 дБА (Рис. 5), зависимость нелинейная, кривая имеет вид гиперболы.

Таким образом, получены общие закономерности увеличения экранирующего эффекта ЭС с увеличением основных конструктивных параметров. Отмечается рост эффективности на 3 дБ с увеличением частоты на октаву, а также нелинейное увеличение эффективности в дБА.

4.4 Экспериментальные исследования экранирующего эффекта зданий в аэропорту «Пулково»

Для определения экранирующего эффекта зданий были выполнены натурные измерения авиационного шума в аэропорту «Пулково». Для анализа фактического экранирующего эффекта сооружениями были выбраны три здания, расположенные вблизи ВПП фасадами параллельно ВПП. Точки измерений показаны на рисунке 4.6. Усредненные данные измерений УЗД и эквивалентных УЗ приведены в таблице 4.4.

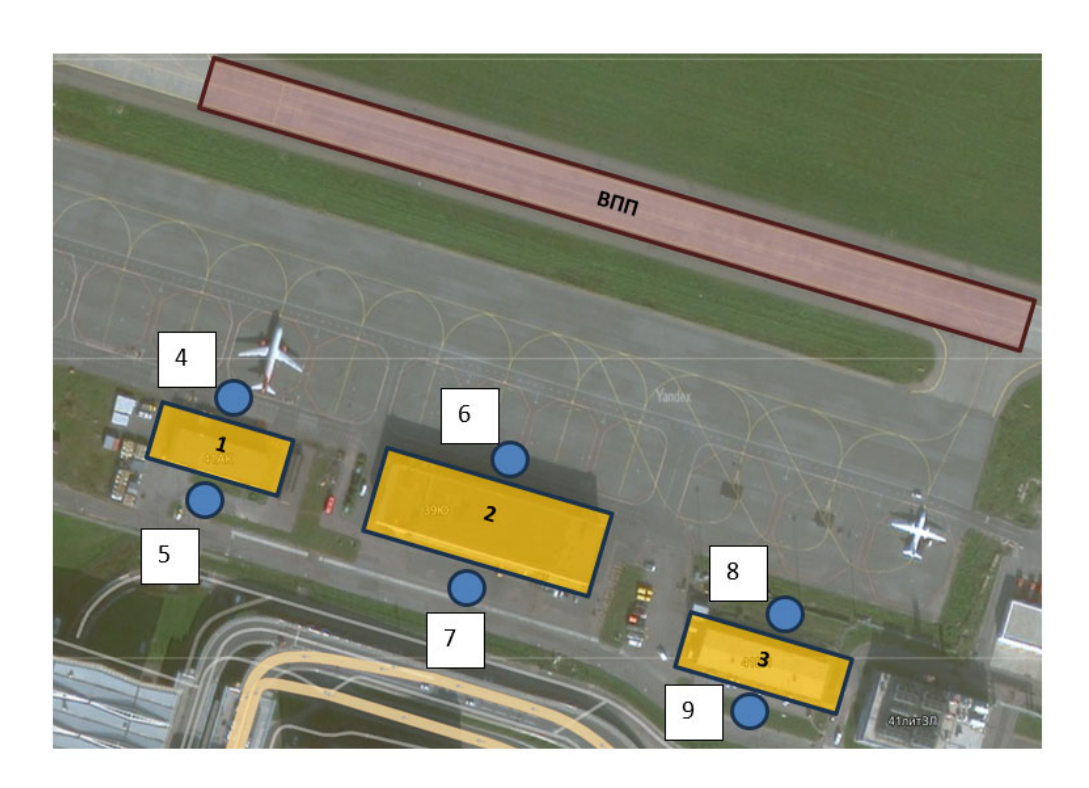


Рисунок 4.6 — Расположение точек измерения шума для анализа экранирующего эффекта зданий в аэропорту «Пулково»: 1-3 — номера зданий; 4, 6, 8 — точки измерения по стороны ВПП; 5, 7, 9 — точки измерения на противоположном фасаде зданий

Таблица 4.4 Данные измерений шума у фасадов зданий, расположенных вдоль ВПП

| № зда- ния | № точки измерений | cne | | в ок | тавн | ового ных по ическ Гц | Эквивалентные УЗ, дБА | | | |
|---------------|----------------------|-----|-----|------|------|--------------------------------|--------------------------|------|----|----|
| | 63 | 125 | 250 | 500 | 1000 | 2000 | 4000 | 8000 | | |
| 1 | 4 | 70 | 68 | 70 | 70 | 69 | 70 | 55 | 45 | 75 |
| 1 | 5 | 67 | 61 | 59 | 55 | 52 | 47 | 34 | 28 | 57 |
| 2 | 6 | 74 | 84 | 85 | 86 | 77 | 73 | 60 | 50 | 85 |
| 2 | 7 | 66 | 71 | 69 | 57 | 59 | 46 | 35 | 27 | 60 |
| 3 | 8 | 75 | 78 | 80 | 78 | 77 | 73 | 65 | 52 | 83 |
| 3 | 9 | 69 | 67 | 65 | 61 | 57 | 50 | 41 | 30 | 63 |

Результаты измерений в точке у фасада здания №2, расположенной за зданием в зоне «глубокой акустической тени», и расчетов в ней по формуле (4.20) и по формулам ГОСТ 31295.2-2005 представлены в таблице 4.5. Сравнение данных, представленных в таблице 4.5, показывает, что результаты расчета по формуле (4.20) обеспечивают большую сходимость с экспериментальными данными по сравнению с результатами расчета по ГОСТ 31295.2-2005, то есть являются более точными.

Таблица 4.5 Данные измерений и расчетов вточке у фасада здания №2, расположенной в зоне «глубокой акустической тени» здания

| Измерения/ расчеты | ср | Урог еднег | вни з в ок еоме | | Эквивалентные УЗ, дБА | | | | |
|--|----|---------------|-----------------------|-----|-----------------------------|------|------|------|-----|
| | 63 | 125 | 250 | 500 | 1000 | 2000 | 4000 | 8000 | два |
| Результаты измерений в точке 2 | 66 | 71 | 69 | 63 | 59 | 46 | 35 | 27 | 60 |
| Результаты расчета шума в точке 2 в соответствии ГОСТ 31295.2-2005 | 58 | 70 | 67 | 65 | 55 | 49 | 29 | 21 | 64 |
| Результаты расчета шума в точке 2 в соответствии с формулой (4.20) | 64 | 69 | 69 | 65 | 59 | 47 | 33 | 25 | 59 |

Измерения уровней звукового давления (УЗД) и эквивалентных уровней звука (УЗ) проводились при разгоне по ВПП воздушных судов. Значения экранирующего эффекта зданий, полученные на основании результатов экспериментальных исследований, как разность измеренных УЗД и УЗ у фасадов зданий, вдоль ВПП и вдоль противоположных фасадов, приведены в таблице 4.6 и на рисунке 4.7.

Таблица 4.6 Результаты экспериментальных исследований экранирующих свойств зданий

| № здания | | Разность уровней звуковых давлений, дБ, в октавных полосах со среднегеометрическими частотами, Гц | | | | | | Разность эквивалентных УЗ, дБА | |
|----------|----|---|-----|-----|------|------|------|-----------------------------------|----|
| | 63 | 125 | 250 | 500 | 1000 | 2000 | 4000 | 8000 | |
| 1 | 6 | 7 | 11 | 15 | 17 | 23 | 21 | 21 | 18 |
| 2 | 8 | 13 | 16 | 19 | 22 | 27 | 25 | 23 | 25 |
| 3 | 3 | 11 | 15 | 17 | 20 | 23 | 24 | 22 | 20 |

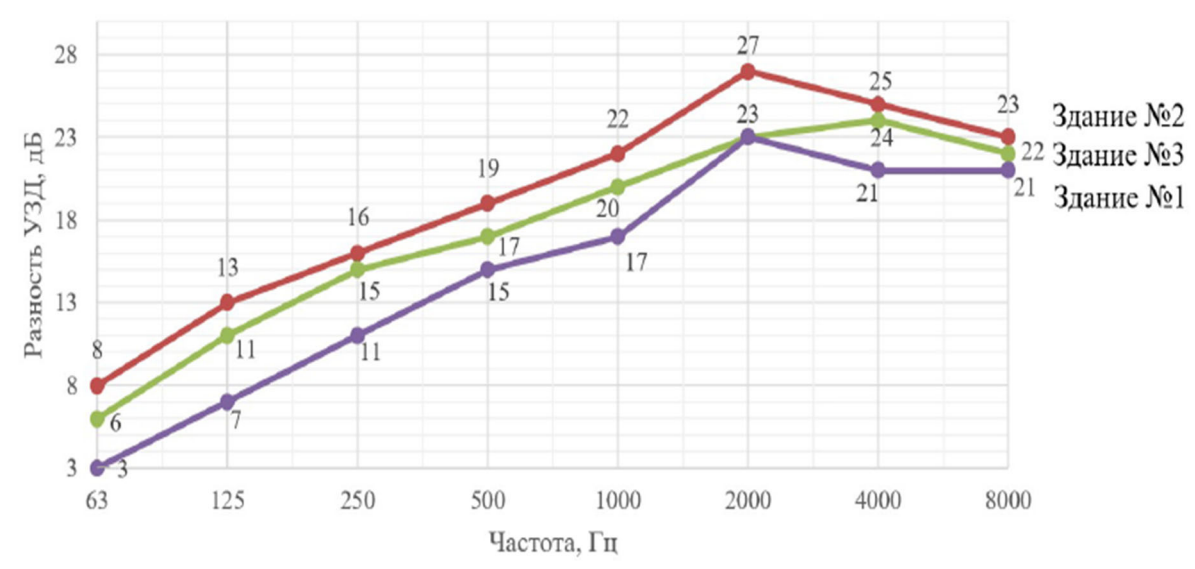


Рисунок 4.7 – Экспериментальные результаты экранирующего эффекта зданий, расположенных вдоль ВПП

Анализ данных, приведенных в таблице 4.6 и на рисунке 4.7, показал, что на фасадах зданий, противоположных ВПП, отмечается заметное снижение шума в результате экранирующего эффекта, в частности, в зависимости от размеров здания, снижение УЗ в измерительных точках составило 18-25 дБА.

Проанализировав характер изменения спектральных составляющих, можно отметить снижение УЗД от 3-8 дБ до 18-27 дБ в диапазоне частот 63-2000 Гц с ростом эффективности экранирования 3-4 дБ на октаву. На более высоких частотах заметно некоторое снижение эффективности экранирующих сооружений, что может быть объяснено влиянием боковой дифракции за счет ограниченности длины зданий (огибанием звуком боковых поверхностей экранирующих зданий).

Выполнены расчеты экранирующего эффекта зданий, сравнение которых с данными измерений показало удовлетворительную сходимость.

Заметные величины экранирующего эффекта, полученные расчётами и экспериментами, позволяют рекомендовать эту меру для снижения авиационного шума.

Выводы по главе:

- 1. Аэропорты являются одними из самых заметных источников транспортного шума. Наибольшее воздействие авиационного шума отмечается в близрасположенной жилой застройке и в служебных зданиях на территории аэропортов при разбеге самолетов по взлетно-посадочной полосе (ВПП). В качестве одной из мер снижения авиационного шума для защиты нормируемых объектов вблизи ВПП предложено использовать экранирующий эффект зданий, находящихся на территории аэропортов на пути распространения звука от ВПП до ближайших нормируемых объектов, а также специальные сооружения, размещенные вдоль ВПП (например, акустические экраны).
- 2. Для расчета прогнозируемых уровней шума с учетом экранирующего эффекта, создаваемого зданиями и сооружениями, автором предложены формулы, для вывода которых использовалось допущение о линейном характере источника шума, фронт звуковой волны которого до определенных расстояний имеет характер цилиндрический или квазицилиндрический. Получены зависимости шума в расчетной точке от геометрических размеров ЭС, показателя дифракции на свободных ребрах,

расстояния от ВПП до ЭС и от ЭС до РТ, а также звукопоглощающих свойств поверхностей ЭС. В ходе выполненных теоретических исследований установлены следующие закономерности: в частотном диапазоне наблюдается рост эффективности экранирующего сооружения 3 дБ/октаву, кривая увеличения эффективности в дБА с ростом высоты или ширины ЭС имеет вид гиперболы.

3. Выполненные в натурных условиях эксперименты подтвердили наличие заметного экранирующего эффекта. При рассмотрении экранирующего эффекта здания (например, когда измеряются УЗД и УЗ на двух противоположных фасадах) отмечено снижение УЗД от 7 до 27 дБ в диапазоне частот 125-2000 Гц, а УЗ - от 18 до 25 дБА. Сравнение данных расчета для этого примера с данными эксперимента показало, что отклонения УЗ не превышают ±3 дБА, т.е. предложенный метод расчета дает удовлетворительные результаты.

ГЛАВА 5. РЕКОМЕНДАЦИИ ПО СНИЖЕНИЮ АВИАЦИОННОГО ШУМА

5.1. Общие рекомендации по снижению авиационного шума

На основании выполненных исследований разработаны рекомендации по снижению авиационного шума вблизи аэропортов, представленные на рисунке 5.1.

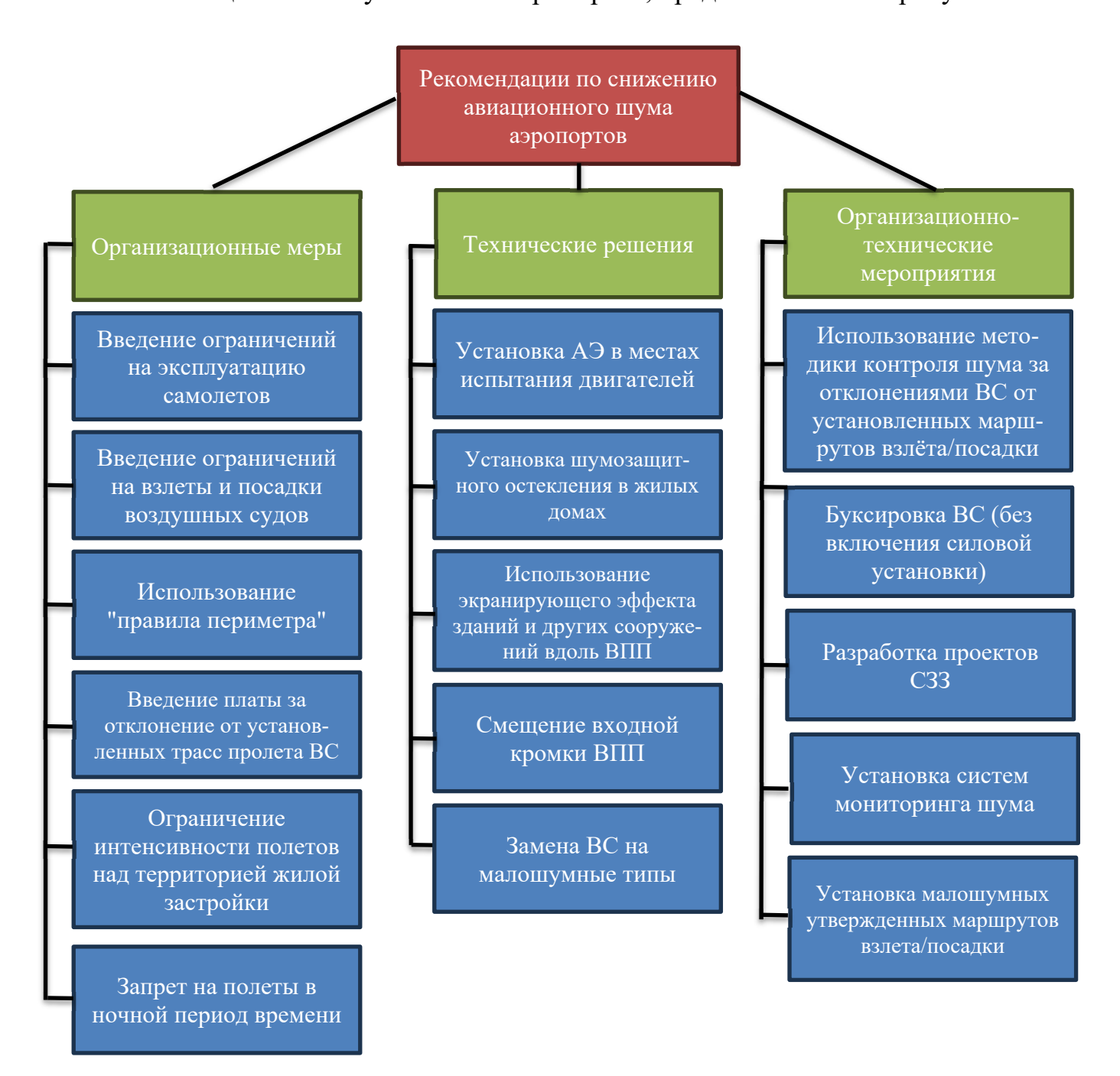


Рисунок 5.1 – Рекомендации по снижению авиационного шума вблизи аэропортов

Ведение ограничений на эксплуатацию самолетов. Разработанные в ряде стран меры контроля по использованию воздушного пространства снижают воздействие шума, генерируемого воздушными судами, путем ограничения их эксплуатации в определенное (как правило, в ночное) время суток. Практическая реализация этих мер сводиться, как правило, к ограничению времени, в течение которого в аэропорту разрешены полеты ВС.

Ограничения на взлеты и посадки воздушных судов. Процедуры, показанные на рисунке 5.2, направленные на уменьшение шума, существенно влияют на выбор режима полета самолета при выполнении взлетов (вылетов) или посадок (прилетов). Например, набор высоты с минимальной скороподъемностью целесообразно использовать при наличии земельных участков, чувствительных к воздействию шума, на малом расстоянии от аэропортов. Также в зависимости от процедуры взлета закрылки убираются частично или полностью и уменьшается тяга до определенного фиксированного значения. В этом и состоит второй этап взлета, его важным элементом является уменьшение тяги на взлете за счет дросселирования двигателей.

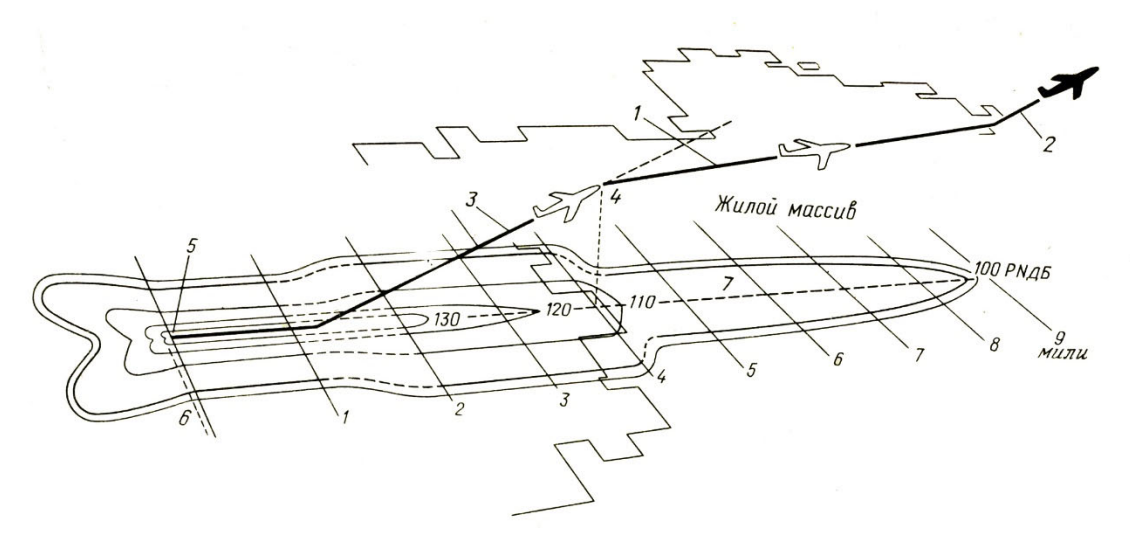


Рисунок 5.2 — Схема профиля вылета, используемого для уменьшения воздействия шума: 1 — пониженная тяга для минимализации воздействия шума; 2 — установившийся набор высоты крейсерского полета; 3 — высокое значение тяги для обеспечения максимального подъема при взлете; 4 — дросселирование двигателей; 5 — начло ВПП; 6 — боковое удаление от оси ВПП 1 миля (расстояния вдоль оси ВПП также показаны в милях [1852 м]); 7 — контуры равных уровней шума на земной поверхности.

Использование «правила периметра». «Правилом периметра» пользуются для ограничения дальности полетов, осуществляемых при вылете из конкретного аэропорта. Дальность полета может влиять на уровень шума, создаваемого различными путями. Во-первых, она может определять пропускную способность конкретного аэропорта. В общем случае меньшее число операций приводит к уменьшению воздействия шума, что следует из интегрально-временной оценки. При ограничениях полета максимальная взлетная масса воздушного судна меньше, поскольку она определятся в основном запасами потребного топлива. Меньшая взлетная масса позволяет реализовать большую подъемную силу, что, в свою очередь, приводит к уменьшению размеров контура шума, создаваемого ВС на земной поверхности.

Выделение маршрутов с минимальными уровнями шума. В целях уменьшения раздражающего действия шума необходимо увязывать выбранные маршруты пролета с расположением ВС в пространстве относительно земной поверхности или территории, используемой для жилого строительства. Зачастую в международной практике маршруты взлета и посадки ВС выбирают исходя из географического рельефа прилегающей территории. Распространена практика взлета вдоль рек или других незаселенных природных территорий. Так же целесообразно распределение нагрузки по всем направлениям, т.к. загрузка любой трассы, даже находящейся на правильно скорректированном курсе, может привести к значительному ухудшению акустической обстановки.

Ограничение интенсивности полетов. Подобные ограничения устанавливают предельное число операций ВС в аэропорту, которые могут быть осуществлены в пределах определенного периода. К таким ограничениям относиться регламентация числа взлетов и посадок транспортных самолетов, разрешенных в данном аэропорту в течение суток.

Смещение входной кромки ВПП. Существует определенная географическая точка, расположенная вдоль ВПП, которая определяет ее пороговое значение при посадке прилетающего воздушного судна или расчетную точку взлета вылетающего воздушного судна. В некоторых аэропортах эту точку смещают таким образом, что реализуемая траектория снижения на посадку или взлета воздушного судна располагается выше земной поверхности. С увеличением этой высоты сокращаются размеры контура шума, что в свою очередь, приводит к уменьшению количества людей, подверженных его воздействию. Это позволяет более рационально использовать земельные участки в окрестностях аэропорта. Пример схемы смещения входной кромки представлен на рисунке 5.3.

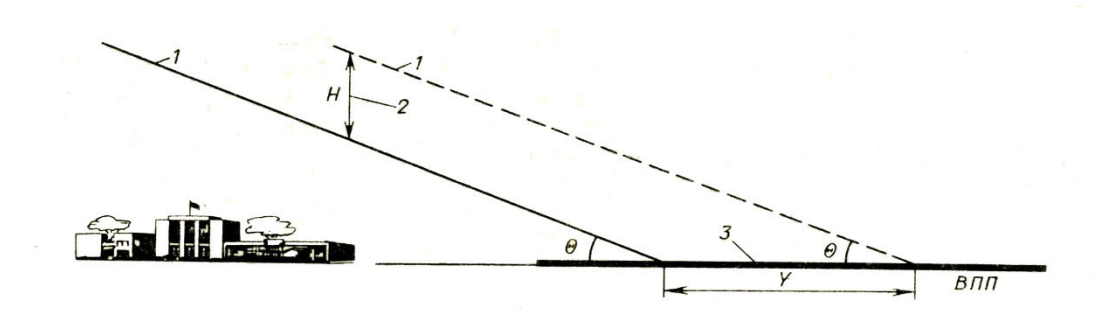


Рисунок 5.3 — Влияние смещения входной кромки ВПП на высоту полета по глиссаде: 1 — глиссада; 2 — увеличение высоты H, где $H=Y*tg(\theta)$; 3 — смещенная входная кромка ВПП

Установка АЭ в местах испытания двигателей. Для снижения шума самолетов АЭ устанавливаются или вдоль взлетно-посадочной полосы, или в местах, где осуществляются технологические операции с включенными двигателями. Так АЭ, устанавливаемые вдоль ВПП на расстоянии не ближе 200 м., могут быть высотой от 11 до 17 м. В местах, где производиться испытание двигателей, минимальное расстояние от самолета до АЭ должно быть 6 м., а высота АЭ находиться в диапазоне 10-20 м. Эти АЭ обеспечивают снижение УЗ на 10-15 дБА. Иногда вместо АЭ в аэропортах строят земляные валы.

Буксировка ВС. Буксировка ВС с целью уменьшения воздействия шума не является широко применяемой процедурой, хотя этот прием обычно используется в процессе работ по текущему содержанию и ремонту авиационных двигателей. Самолеты буксируются к выделенной стоянке для проведения наземных гонок двигателей при всех отключенных до проведения испытания системах, что позволяет также сократить расходы на топливо и снизить акустическое воздействие.

Введение платы за отклонение от установленных трасс пролета ВС. В основе данного метода лежит принцип, по которому эксплуатанты ВС выплачивают в виде отдельных сборов сумму, пропорциональную шуму, который генерируется ВС. Эксплуатанты более шумных ВС выплачивают сборы в больших размерах, в то время как для ВС сравнительно малошумных типов ставки сборов за посадку уменьшаются.

Разработка проектов СЗЗ. Для оценки акустической ситуации и определения приаэродромной территории необходима разработка проектов санитарно-защитных зон (СЗЗ). Оценка акустического воздействия в рамках проектов СЗЗ разрабатывается по методикам расчета шума. Рекомендуется использовать разработанные автором методы расчета для более точного учета экранирующего эффекта зданий и сооружений, расположенных между ВПП и нормируемыми объектами. В результате расчетов создается карта шума, на которой указаны уровни равного значения как для каждой трассы пролета ВС, так и для стационарных источников шума аэропорта и внешних служб.

По рассчитанным картам шума делается ряд выводов и решений:

- производится оценка влияния каждой трассы пролета на приаэродромную территорию;
- принимается решение о распределении ВС по направлениям;

- принимается решение о расселении (при необходимости) жителей, проживающих в неблагоприятной с акустической точки зрения зоне;
- принимается решение о проведении шумозащитных мероприятий;
- принимается решение о местах строительства новых жилых зданий и общественных объектов.

Установка шумозащитного остекления в близлежащих жилых массивах.

Звукоизоляционные качества наружных ограждений определяются звуковой изоляцией оконных заполнений, которая ниже звукоизолирующей способности глухой части стены. Шумозащитные окна подразделяются на категории в зависимости от реализуемой звукоизоляции, R_A , характеризующей снижение шума воздушных судов конкретным оконным заполнением. Звукоизоляция определяется свойствами применяемых стекол и размером воздушного промежутка между стеклами. Увеличение размера воздушного промежутка с 57 мм до 90 мм при толщине стекол 3 мм приводит к повышению звукоизоляции на 2 дБА. Небольшие воздушные промежутки до 40 мм почти не дают положительного эффекта, точно так же, как и увеличение воздушного промежутка свыше 300 мм. ЭТОМ следует учитывать, что тройное остекление может звукоизоляцию окна в случае, если воздушный промежуток разделяется пополам, смещение же среднего стекла к одному из крайних дает максимальный акустический эффект. Большое значение для эффективного снижения шума оконным заполнением имеет обеспечение герметичности притворов. Применение прокладок повышает звукоизоляцию на 4 дБА. В двойных окнах целесообразно звукопоглощающей облицовки, располагаемой по контуру в пространстве между переплетами. При реализации шумозащитного остекления важно обеспечить хорошие условия вентиляции помещений.

5.2. Снижение шума установлением правильной траекторией полета

На основании обширных экспериментальных исследований и анализа полученных результатов, автором разработана и апробирована методика контроля шума, позволяющая установить отклонения ВС от установленных маршрутов взлёта/посадки и создаваемые при этом повышенные уровни шума на территории жилой застройки вблизи аэропортов (далее методика контроля шума). Шумозащитные мероприятия, разрабатываемые на основании данных, получаемых в результате применения методики контроля шума, обеспечивают снижение эквивалентных УЗ от 7 до 9 дБА. Однако, активное использование методики контроля шума требует проведения серьезных организационно-технических мероприятий. На данный момент методика контроля шума, разработанная автором, внедрена в аэропорту «Пулково».

Алгоритм использования методики следующий. При наличии данных о воздушном судне (ВС), отклонившемся от стандартного маршрута взлета, и данных о шуме на ближайшей селитебной территории, возможно аргументированно установить, что является причиной повышения уровней шума. Разработанная автором методика (описана на примере аэропорта Пулково в разделе 3) позволяет убедиться в правильности расположения установленных маршрутов взлета или рекомендовать их изменение. Если ВС, отклонившиеся от установленного маршрута взлета, вносит меньший шумовой вклад, чем ВС, которое соблюдает установленный маршрут, то рекомендуется пересмотреть установленный маршрут взлета. Если воздушные суда, отклонившиеся от установленных маршрутов взлета, вносят больший шумовой вклад, чем воздушные суда, которые соблюдают эти маршруты, то аэропорту рекомендуется обратить внимание на авиакомпании, которые не соблюдают установленные маршруты взлёта/посадки. Данные, полученные при проведении мониторинга аэропорта Пулково, показали, что разработанная автором методика полностью работоспособна, о чем получен акт внедрения, представленный в Приложении В.

Для снижения шума, создаваемого ВС, при несоблюдении стандартных маршрутов взлёта/посадки, рекомендуется организовать постоянный мониторинг авиационного шума вблизи аэропортов. На примере аэропорта «Пулково» предложены следующие рекомендации по мониторингу шума.

Точки мониторинга. Для определения расположения точек постоянного мониторинга авиационного шума рекомендуется использовать данные о реальных траекториях взлёта и прибытия ВС, зафиксированные при помощи сервиса flightradar24.com. Точки, рекомендованные автором для проведения мониторинга авиационного шума вблизи аэропорта «Пулково», приведены в таблице 5.1.

Таблица 5.1 – Точки проведения мониторинга шума аэропорта «Пулково»

| | _ | | | | | | | | | |
|--------------------------|------------------------------|--|--|--|--|--|--|--|--|--|
| № точки мони- торинга | Координаты точек мониторинга | Место расположения | | | | | | | | |
| | Взлёт (10L/10R) | | | | | | | | | |
| 1 | 59.7477, 30.40975 | Санкт-Петербург, Пушкин, Буферный парк | | | | | | | | |
| 2 | 59.74373, 30.46268 | Санкт-Петербург, посёлок Шушары, Пушкинский район, территория Славянка, Избор- ская улица, 4к2 | | | | | | | | |
| 3 | 59.76085, 30.46191 | Санкт-Петербург, посёлок Шушары Пушкинский район | | | | | | | | |
| 4 | 59.80499, 30.36511 | Санкт-Петербург, посёлок Шушары Пушкинский район | | | | | | | | |
| 5 | 59.78908, 30.50921 | Санкт-Петербург, посёлок Петро-Славянка, Колпинский район | | | | | | | | |
| 6 | 59.74675, 30.57172 | Санкт-Петербург, 1-й квартал, Колпино | | | | | | | | |
| 7 | 59.74527, 30.60069 | Санкт-Петербург, Никольский сквер Колпино | | | | | | | | |
| | Па | осадка (10L/10R) | | | | | | | | |
| 1 | 59.82689, 30.17869 | Санкт-Петербург, улица Партизана Германа, 30к2 | | | | | | | | |
| 2 | 59.82703, 30.12966 | Санкт-Петербург, парк Сосновая Поляна | | | | | | | | |
| 3 | 59.8451, 30.1049 | Санкт-Петербург, улица Генерала Кравченко | | | | | | | | |
| 4 | 59.82821, 30.08563 | Санкт-Петербург, территория Сергиево | | | | | | | | |
| 5 | 59.81007, 30.05931 | Ленинградская область, Ломоносовский район, Аннинское городское поселение, городской посёлок Новоселье | | | | | | | | |
| 6 | 59.85157, 30.02183 | Санкт-Петербург, Петродворцовый район, территория Жилой Городок посёлок Стрельна | | | | | | | | |
| 7 | 59.82513, 30.01096 | Ленинградская область, Ломоносовский район, Гор- бунковское сельское поселение | | | | | | | | |
| | | Взлёт (28L/28R) | | | | | | | | |
| 1 | 59.82689, 30.17869 | Санкт-Петербург, улица Партизана Германа, 30к2 | | | | | | | | |

| № точки мони- | Координаты точек | Маста разго домоуууд |
|---------------|---|--|
| торинга | мониторинга | Место расположения |
| 2 | 59.82946, 30.1308 | Санкт-Петербург, парк Сосновая Поляна |
| 3 | 59.83651, 30.09639 | Санкт-Петербург, территория Сергиево |
| 4 | 59.82821, 30.08563 | Санкт-Петербург, территория Сергиево |
| | | Ленинградская область, Ломоносовский район, Ан- |
| 5 | 59.81007, 30.05931 | нинское городское поселение, городской посёлок |
| | | Новоселье |
| 6 | 59.85157, 30.02183 | Санкт-Петербург, Петродворцовый район, террито- |
| 0 | 37.63137, 30.02163 | рия Жилой Городок посёлок Стрельна |
| 7 | 59.82513, 30.01096 | Ленинградская область, Ломоносовский район, Гор- |
| , | 37.02313, 30.01070 | бунковское сельское поселение |
| | Па | рсадка (28L/28R) |
| 1 | 59.7477, 30.40975 | Санкт-Петербург, Пушкин, Буферный парк |
| | | Санкт-Петербург, посёлок Шушары, |
| 2 | 59.74373, 30.46268 | Пушкинский район, территория Славянка, |
| | | Изборская улица, 4к2 |
| 3 | 59.76085, 30.46191 | Санкт-Петербург, посёлок Шушары |
| 3 | <i>39.70003</i> , <i>30.</i> 4 01 <i>9</i> 1 | Пушкинский район |
| 4 | 59.80499, 30.36511 | Санкт-Петербург, посёлок Шушары |
| 4 | 33.60433, 30.30311 | Пушкинский район |
| 5 | 59.78908, 30.50921 | Санкт-Петербург, посёлок Петро-Славянка, |
| J | 37.10300, 30.30321 | Колпинский район |
| 6 | 59.74675, 30.57172 | Санкт-Петербург, 1-й квартал, Колпино |
| 7 | 59.74527, 30.60069 | Санкт-Петербург, Никольский сквер |
| 1 | 33.1 4 321, 30.00003 | Колпино |

В период времени проведения мониторинга авиационного шума вблизи аэропорта Пулково, при высокой интенсивности взлётно-посадочных операций, проводились наблюдения за фактическими проекциями траекторий движения воздушных судов, прибывающих в аэропорт и вылетающих из него. Наблюдение велось с использованием сервиса flightradar24.com. На основании анализа указанных данных зарегистрированы отклонения фактических траекторий движения ВС.

Схема с точками мониторинга и траекториями полета ВС приведена на рисун- ${\rm kax}\ 5.4-5.7.$



Рисунок 5.4 – Схема точек мониторинга с траекториями полёта ВС «Взлёт по направлениям(10R/10L)».

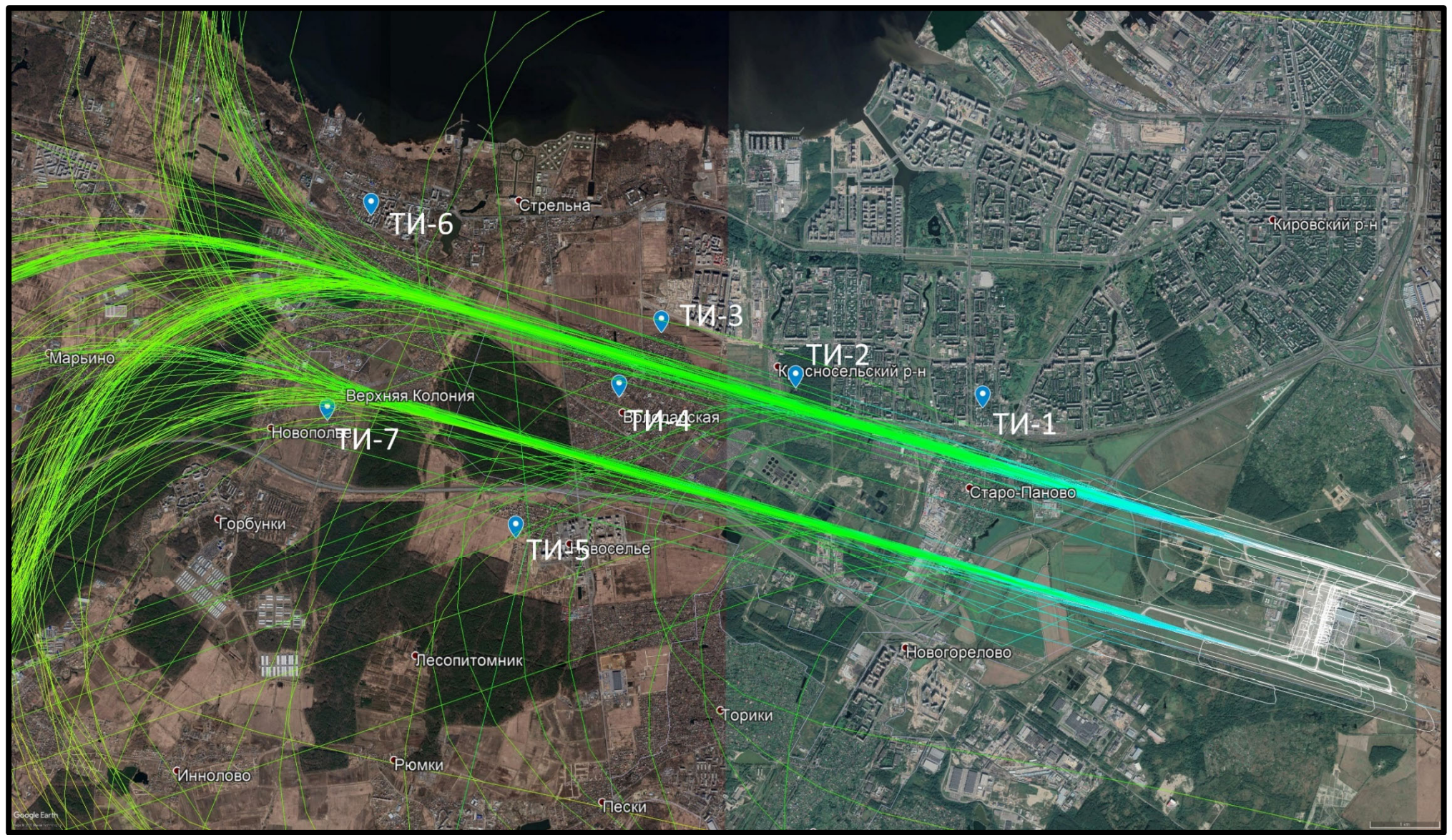


Рисунок 5.5 – Схема точек мониторинга с траекториями полёта BC «Взлёт по направлениям (28R/28L)».



Рисунок 5.6 – Схема точек мониторинга с траекториями полёта BC «Посадка по направлениям(10R/10L)».

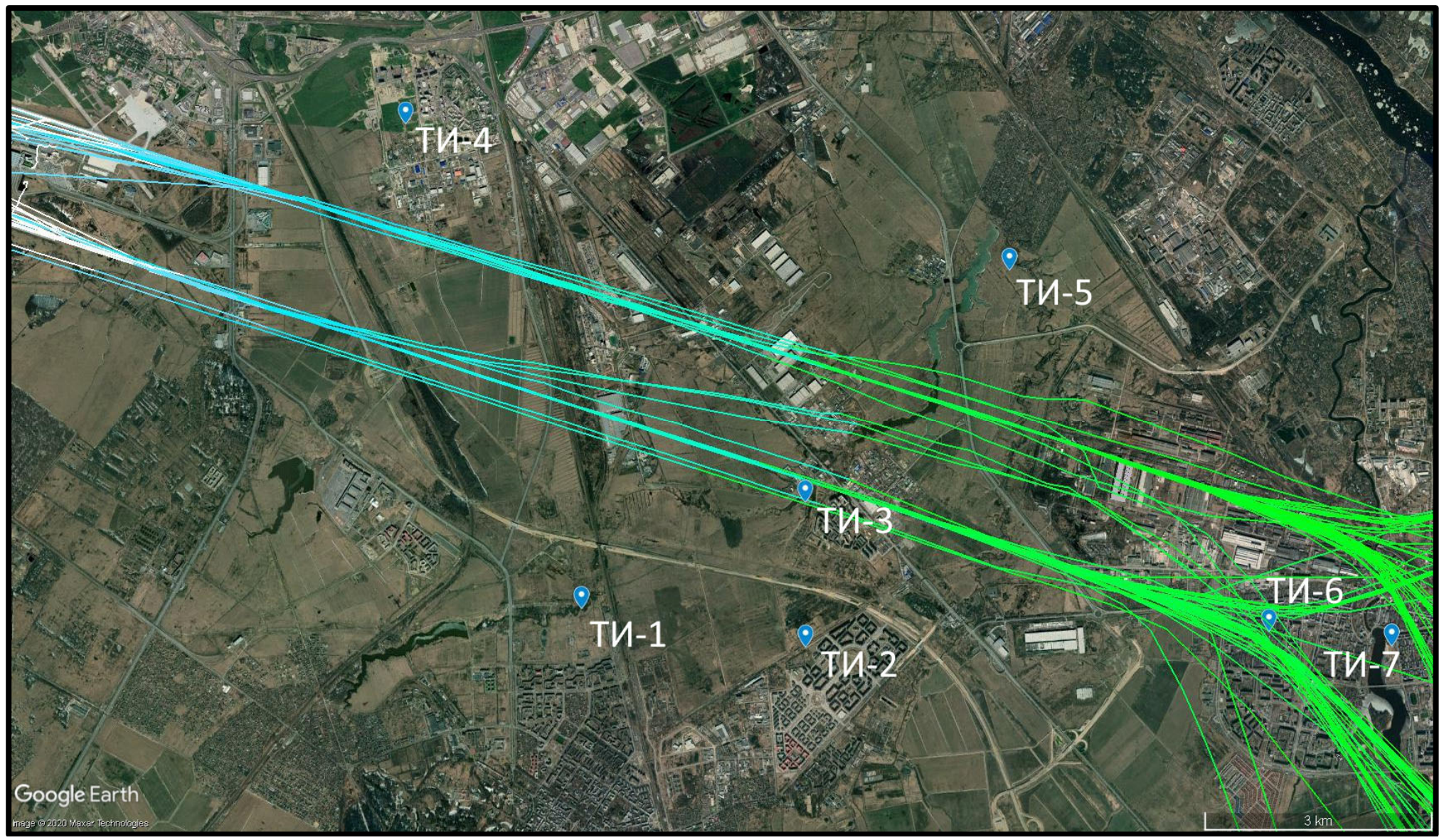


Рисунок 5.7 – Схема точек мониторинга с траекториями полёта ВС «Посадка по направлениям (28R/28L)».

Рекомендации для программы мониторинга при использовании аккредитованной испытательной лаборатории. Рекомендации по программе мониторинга при использовании сил аккредитованной испытательной лаборатории представлены в Таблице 5.2.

Таблица 5.2 – Рекомендации по программе мониторинга

| Периодичность контроля | Не менее 1 раза в 6 месяцев для каждой из точек мониторинга в дневное время суток; Не менее 1 раза в 6 месяцев для каждой из точек мониторинга в ночное время суток |
|--|--|
| Контролируемые параметры | Эквивалентный уровень звука (L _{Аэкв}); Максимальный уровень звука (L _{Амакс}) |
| Методы измерения | ГОСТ 22283-2014. Шум авиационный. Допустимые уровни шума на территории жилой застройки и методы его измерения; ГОСТ 31296.2-2006. Шум. Описание, измерение и оценка шума на местности. Часть 2. Определение уровней звукового давления (с Поправкой). (п.6.4); ГОСТ 23337-2014. Шум. Методы измерения шума на селитебной территории и в помещениях жилых и общественных зданий (с Поправкой) или МИ ПКФ 12-006 «Однократные прямые измерения уровней звука, звукового давления и ускорения приборами серий ОКТАВА и ЭКОФИЗИКА. Методика выполнения измерений». |
| Оценка соответствия уровней звука требованиям нормативной документации | СанПиН 1.2.3685-21 «Гигиенические нормативы и требования к обеспечению безопасности и (или) безвредности для человека факторов среды обитания»; ГОСТ 22283-2014. Шум авиационный. Допустимые уровни шума на территории жилой застройки и методы его измерения. |

Требования к испытательной лаборатории. Испытательная лаборатория должна быть аккредитована Федеральной службой по аккредитации (Росаккредитация) на соответствие [105]. В область аккредитации испытательной лаборатории должны входить нормативные документы, представленные в пункте «Методы измерения» таблицы 5.2.

Для акустических измерений следует применять шумомеры или комбинированные измерительные системы, предназначенные для определения

максимальных и эквивалентных уровней звука и соответствующие классам точности 0; 1 или 2. [3, 40]

Лаборатория должна иметь измерительные приборы, используемые для проведения шумового мониторинга, с действующими сертификатами поверки и обладать программными комплексами, позволяющими проводить обработку полученных результатов измерений.

Требования к специалистам испытательной лаборатории. Персонал лаборатории должен соответствовать требованиям п. 6.2 [105].

Также, в соответствии с приказом Минэкономразвития России от 30.05.2014 № 326, установлены требования к работникам лаборатории, непосредственно выполняющим работы по исследованиям (испытаниям) и измерениям в области аккредитации, указанной в заявлении об аккредитации или в реестре аккредитованных лиц, в том числе, о наличии высшего образования, либо среднего профессионального образования или дополнительного профессионального образования по профилю, соответствующему области аккредитации.

В случае наличия у работника высшего или среднего профессионального образования, профиль которого не соответствует области аккредитации, указанным работником может быть получено дополнительное профессиональное образование по профилю, соответствующему области аккредитации, в порядке, установленном законодательством Российской Федерации об образовании.

Стоит отметить, что согласно пункту 20 «Критериев аккредитации» установлено требование о наличии у работников, участвующих в выполнении работ по исследованиям (испытаниям) и измерениям, навыков и профессиональных знаний, необходимых для выполнения работ по исследованиям (испытаниям) и измерениям в области аккредитации, указанной в заявлении об аккредитации или в реестре аккредитованных лиц.

Полная оценка соответствия при аккредитации лаборатории включает подтверждение компетентности работников в порядке, установленном Федеральным законом от 28.12.2013 № 412-ФЗ «Об аккредитации в национальной

системе аккредитации»[106], при представлении экспертной группе всех документов, подтверждающих образование и опыт работы конкретного работника.

Количество сотрудников лаборатории должно соответствовать минимальному количеству точек, рекомендуемых для параллельного проведения шумового мониторинга (не менее 3-х). Соответственно, количество сотрудников испытательной лаборатории должно быть не менее 3-х человек.

Рекомендации по программе мониторинга при использовании стационарных и мобильных станций мониторинга. Измерения допустимо производить, как с использованием сил специалистов аккредитованной испытательной лаборатории, так и с использованием стационарных и мобильных станций мониторинга.

Рекомендации по программе мониторинга при использовании стационарных и мобильных станций мониторинга представлены в Таблице 5.3.

Таблица 5.3 – Рекомендации по программе мониторинга

| - | |
|-----------------|---|
| Периодичность | Постоянный |
| контроля | TIOCIOMINIBIN |
| | Эквивалентный уровень звукового давления осредненный для дневного |
| | времени суток (07:00-23:00) (Lаэкв.д.); |
| | Эквивалентный уровень звукового давления осредненный для ночного |
| | времени суток (23:00-07:00) (Lаэкв.н.); |
| TC | 1 / / / |
| Контролируе- | Максимальный уровень звукового давления в течении 1% времени |
| мые параметры | измерений для дневного времени суток (LAмакс.д.1%) (п.3.5 [9]);* |
| | Максимальный уровень звукового давления в течении 1% времени |
| | измерений для ночного времени суток (LAмакс.д.1%) (п.3.5 [9]);* |
| | Максимальный уровень звука по коррекции Slow для каждого часа |
| | (LAS _{Make})** |
| | ГОСТ 22283-2014. Шум авиационный. Допустимые уровни шума на |
| | |
| | территории жилой застройки и методы его измерения; |
| | ГОСТ 31296.2-2006. Шум. Описание, измерение и оценка шума на |
| | местности. Часть 2. Определение уровней звукового давления |
| Измерения с | (с Поправкой). (п.6.4); |
| учётом требова- | ГОСТ 23337-2014. Шум. Методы измерения шума на селитебной |
| ний | территории и в помещениях жилых и общественных зданий |
| | (с Поправкой) или |
| | МИ ПКФ 12-006 «Однократные прямые измерения уровней звука, |
| | |
| | звукового давления и ускорения приборами серий ОКТАВА и |
| | ЭКОФИЗИКА. Методика выполнения измерений». |

Оценка соответствия уровней звука требованиям нормативной документации

СанПиН 1.2.3685-21 «Гигиенические нормативы и требования к обеспечению безопасности и (или) безвредности для человека факторов среды обитания»;

ГОСТ 22283-2014. Шум авиационный. Допустимые уровни шума на территории жилой застройки и методы его измерения.

Отчёт от станции мониторинга должен содержать параметры, указанные в пункте «Контролируемые параметры» из таблицы 5.3. Частота получения отчёта и его форма утверждается пользователем станции мониторинга непосредственно с производителем и поставщиком оборудования.

Технические требования для станции мониторинга. Измерительное оборудование, используемое в станции мониторинга, должно иметь регистрацию в государственном реестре средств измерения. Для измерений следует применять шумомеры или комбинированные измерительные системы, предназначенные для определения максимальных и эквивалентных уровней звука и соответствующие классам точности 0; 1 или 2 [3,9,40].

Рекомендуемые технические параметры станции мониторинга авиационного шума приведены в таблица 5.4.

Таблица 5.4 – Рекомендуемые технические параметры станции мониторинга

| Наименование параметра | Рекомендуемый технический |
|--|--|
| | параметр |
| Источник электропитания | питание от РоЕ или сети 220 В |
| Диапазон рабочих температур | от - 25 до +55 С |
| Меры защиты от внешних воздействий окружающей среды и животного мира | Комплект ветрозащиты и птицезащита. Конструкция измерителей и погодозащищённого корпуса для обеспечения работы в сложных метеоусловиях, включая влаго- и пыле- защиты, самоподогрева и других техниче- ских решений. |

^{*-} данный параметр рекомендуется для исключения пиковых фоновых шумовых воздействий;

^{**-} данный параметр рекомендуется для оценки максимального воздействия для каждого часа.

| Наименование параметра | Рекомендуемый технический |
|---|---|
| | параметр |
| Количество одновременно подключаемых микрофонов | Троированный канал, т.е. в одной КТ независимо проводят измерения 3 микрофона и более. |
| Продолжительность измерений | Возможность непрерывных измерений до 3 месяцев |
| Периоды сервисного обслуживания | Шумомеры имеют межповерочный интервал 1 год. В зависимости от места установки следует предусмотреть регламентное обслуживание пунктов контроля шума раз в 2-4 недели. Регламент состоит из проверки калибровки шумомера акустическим калибратором и смене ветрозащит для просушки (при необходимости, например при обледеневании из-за ледяных дождей). |
| Измеряемые параметры шума | Эквивалентный уровень звукового давления осредненный для времени суток (Lаэкв); Максимальный уровень звукового давления в течении 1% времени измерений для времени суток (Lамакс.1%) (п.3.5 [9]); Максимальный уровень звука по коррекции Slow (Lasmakc) |
| Диапазоны измерений уровней шума | Диапазон измерений уровня звука дБА: 39-139 дБ с микр. 50 мВ/Па Диапазон измерений уровней звукового давления в 1/3-октавах: 31-139 дБ с микр. 50 мВ/Па |
| Итоговые выходные параметры шума | Возможность выбора под требования заказчика |
| Способы передачи и отображения измеренных данных | Измеряемые данные должны храниться и быть просмотрены (как архив, так и в |
| Места хранения измеренных данных | режиме реального времени) на удалённом сервере. Пользователь должен иметь возможность скачивать архив измеренных данных. |
| Формат сохраняемых данных | Текстовый формат |
| Способы оповещения о наличии превышений измеряемых параметров над предельно-допустимыми | Автоматическое уведомление по e-mail по настраиваемым параметрам. |

В Приложении 3 представлена информация о нескольких вариантах станций мониторинга. Для использования рекомендуются станции Октафон-110М от компании «Октава Электрондизайн», зарекомендовавшие себя в ходе эксплуатации

на различных объектах. Перечень оборудования и программных комплексов для обеспечения работы одного пункта шумового мониторинга на примере станции Октафон-110 М представлен в таблице 5.5.

Таблица 5.5 – Перечень оборудования станции Октафон-110М

| П | |
|---|--|
| Прибор | Описание |
| | Измерительное оборудование |
| | Обеспечивает измерение уровней звука и уровней звукового |
| | давления в октавных |
| | и третьоктавных полосах частот по первому классу согласно |
| Цифровой преобразова- | ГОСТ 17187-2010 (МЭК 61672) |
| тель (шумомер) | и ГОСТ Р 8.714-2010 (МЭК 61260). |
| ОКТАФОН-110A-DIN | Шумомер обеспечивает измерения с нормированной точностью в |
| (от 1 до 3 шт.) | диапазоне температур |
| | окружающей среды от -10°C до +40°C и сохраняет работоспособность после воздействия |
| | , , |
| 7 | температур до -30° и +50°C |
| Защитное устройство EPS-ETH-04 (по кол-ву | Комплект погодозащитный для цифрового преобразователя |
| ОКТАФОН-110A-DIN) | OKTAФOH-110A-DIN |
| WS009-F Ветрозащита | |
| для всепогодных | _ |
| микрофонов | _ |
| мирофенев | Коммутационное устройство предназначено для подачи питания |
| Коммутационное | на цифровые преобразователи ОКТАФОН-110A-DIN (от 1 до 4 |
| устройство | одновременно) по линии Ethernet, а также для коммутации этих |
| РОW-ЕТН-05 (1 шт.) | цифровых преобразователей с сетью интернет либо с внешним |
| | компьютером. |
| | Комплект для монтажа |
| Устройство для | |
| монтажа комплекта | |
| мониторинга шума на | |
| мачту (держатель | - |
| кронштейнов и защиты | |
| от птиц) | |
| Штатив для установки | |
| комплекта | |
| Октафон-110М с | - |
| помощью устройства | |
| для монтажа ЕТН | |
| | Комплект для обеспечения работы |

| Прибор | Описание | | | | | |
|--|---|--|--|--|--|--|
| Экотерминал. Блок Экофизика-D в автономном исполнении, двумя комплектами аккумуляторов с зарядным устройством, набор измерительно- программных модулей "Цифровые измерители DIN" | Индикаторный блок Экотерминал используется для автономной работы цифрового преобразователя ОКТАФОН-110A-DIN в качестве шумомера, а также для проверки калибровки и работоспособности шумомеров | | | | | |
| АК-1000 Акустический калибратор 1 класса* | Воспроизводимый уровень 94 дБ и 114 дБ, 1кГц | | | | | |
| | Обеспечение удалённого доступа | | | | | |
| Программное обеспечение ETH2DIN_UTIL* | Программное обеспечение ETH2DIN_UTIL используется для настройки трансляторов интерфейса устройства EPS-ETH-04 (непосредственно в процессе измерений данное программное обеспечение не участвует). Программное обеспечение устанавливается на внешнем или на индустриальном компьютере, который подключается к компонентам пункта контроля шума через коммутатор Ethernet устройства POW-ETH-05. | | | | | |
| Удаленный сервер результатов измерений* | Удаленный сервер monit.octava.info позволяет хранить результаты измерений, передаваемые через интернет, и предоставлять зарегистрированным абонентам доступ к этим данным | | | | | |
| Индустриальный компьютер | Индустриальный компьютер коммутируется с цифровыми преобразователями ОКТАФОН-110A-DIN через коммутатор Ethernet устройства POW-ETH-05 и обеспечивает автономную работу пункта контроля шума при отсутствии доступа в интернет. | | | | | |

Примечание: все пункты таблицы, не отмеченные символом «*» требуют установки на каждую из станций мониторинга.

Для обеспечения работы от пользователя требуется:

- Точка доступа в интернет и (или) в локальную сеть,
- Сеть электропитания 220 В АС;
- Коммутационные кабели (витая пара UTP-5e) и места укладки;
- Боксы (шкафы) с системой поддержания условий для размещения блоков PoE-ETH-05.

5.3. Определение экранирующего эффекта зданий

Для определения экранирующего эффекта зданий были выполнены измерения авиационного шума в аэропорту «Пулково». Для испытаний были выбраны 4 здания, расположенных фасадами параллельно ВПП (3) и перпендикулярно (1) вблизи ВПП.

Усредненные данные измерений УЗД и эквивалентных УЗ приведены в таблице 5.6.

Таблица 5.6 – Данные измерений шума у фасадов зданий, расположенных вдоль ВПП

| № здания | № точки измерений | Уровни звукового давления, УЗД, дБ в октавных полосах со среднегеометрическими частотами Гц | | | | | | | | Эквивалентные УЗ, дБА |
|----------|----------------------|---|-----|-----|-----|------|------|------|------|--------------------------|
| | - | 63 | 125 | 250 | 500 | 1000 | 2000 | 4000 | 8000 | |
| 1 | 10 | 75 | 75 | 76 | 77 | 80 | 70 | 54 | 45 | 81 |
| 1 | 9 | 69 | 67 | 66 | 63 | 55 | 52 | 44 | 36 | 60 |
| 2 | 8 | 74 | 84 | 85 | 86 | 77 | 73 | 60 | 50 | 85 |
| 2 | 7 | 66 | 71 | 69 | 57 | 59 | 46 | 35 | 27 | 60 |
| 2 | 16 | 75 | 78 | 80 | 78 | 77 | 73 | 65 | 52 | 83 |
| 3 | 15 | 69 | 67 | 65 | 61 | 57 | 50 | 41 | 30 | 63 |
| 4 | 12 | 70 | 68 | 70 | 70 | 69 | 70 | 55 | 45 | 75 |
| 4 | 11 | 67 | 61 | 59 | 55 | 52 | 47 | 34 | 28 | 57 |

Измерения проводили при разгоне по ВПП не менее, чем по четырем воздушным судам. Значение экранирующего эффекта зданий, как разность результатов измерения шума у фасадов зданий, расположенных вдоль ВПП, приведены в таблице 5.7. Схема расположения зданий и точек измерений показана на Рисунке 5.9.

Таблица 5.7 – Экранирующие свойства зданий, расположенных вдоль ВПП

| № здания | Разность уровней звуковых давлений, УЗД, дБ, в октавных полосах со среднегеометрическими частотами Гц | | | | | | | Разность эквивалентных УЗ, дБА | |
|----------|---|-----|-----|-----|------|------|------|-----------------------------------|----|
| | 63 | 125 | 250 | 500 | 1000 | 2000 | 4000 | 8000 | |
| 1 | 6 | 8 | 10 | 14 | 15 | 18 | 10 | 9 | 21 |
| 2 | 8 | 13 | 16 | 19 | 22 | 27 | 25 | 23 | 25 |
| 3 | 6 | 11 | 15 | 17 | 20 | 23 | 24 | 22 | 20 |
| 4 | 3 | 7 | 11 | 15 | 17 | 23 | 21 | 21 | 18 |

Графики разности измерений шума у фасадов зданий, расположенных вдоль ВПП представлены на рисунке 5.8.

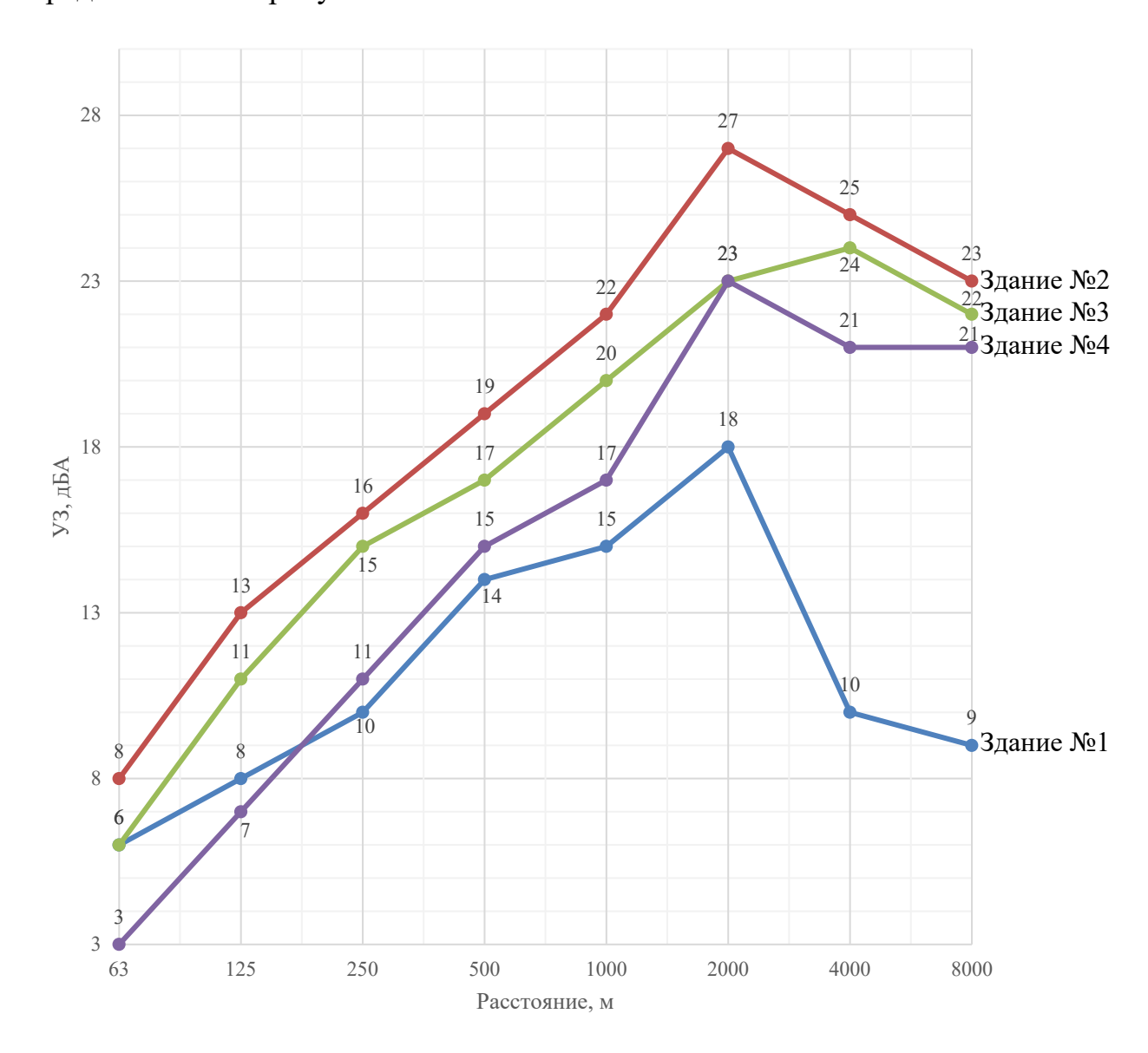


Рисунок 5.8 — Результаты экранирования шума зданиями, расположенными вдоль ВПП аэропорта «Пулково»

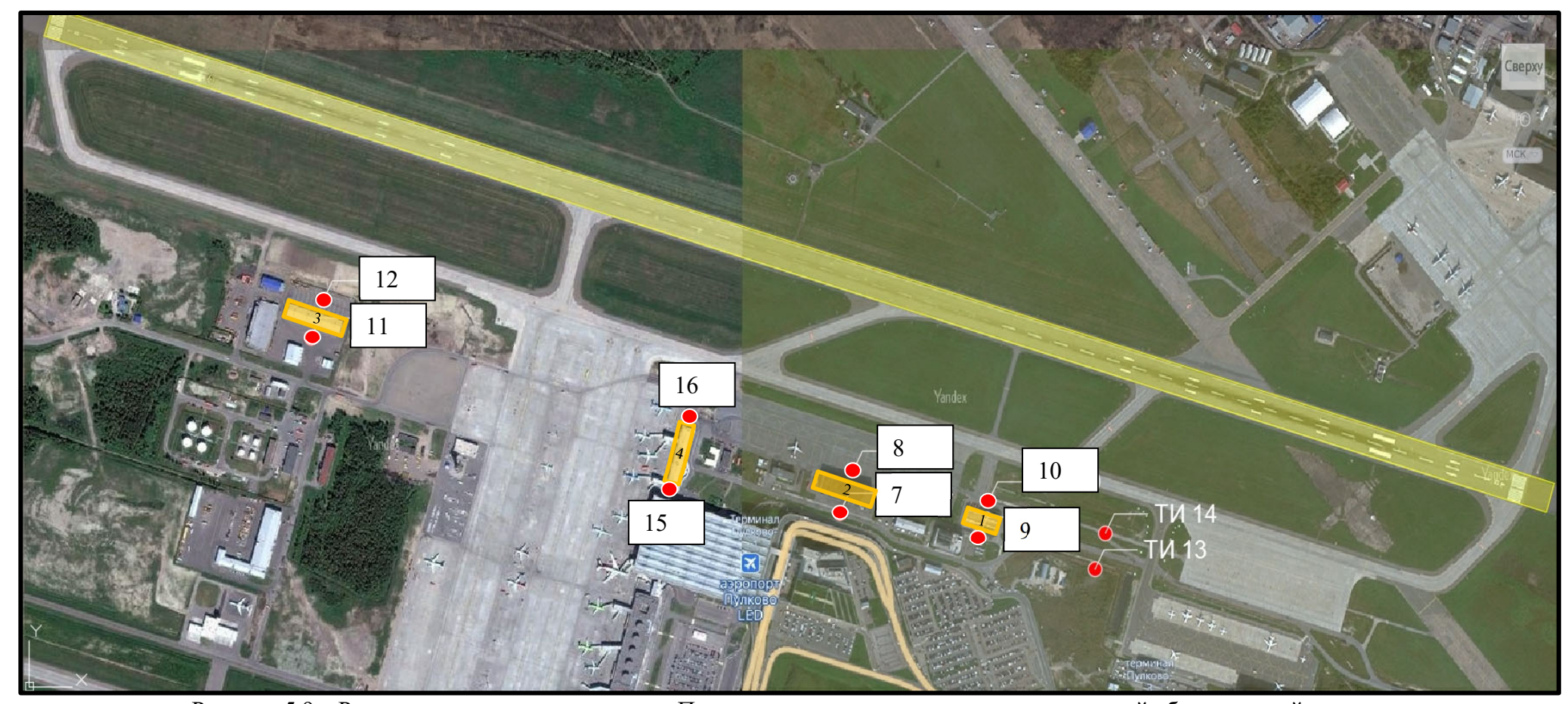


Рисунок 5.9 – Расположение части аэропорта «Пулково» с нанесенными точками измерений вблизи зданий:

- 1. Здание между точками 9 и 10: длина -70 м, ширина -25 м, высота -6 м;
- 2. Здание между точками 7 и 8: длина -65 м, ширина -20 м, высота -6 м;
- 3. Здание между точками 11 и 12: длина -128 м, ширина -29 м, высота -6 м;
- 4. Здание между точками 15 и 16: длина -128 м, ширина -24 м, высота -18 м.

Анализ данных, приведенных в таблицах 5.6-5.7 показал, что на фасадах зданий, противоположных ВПП, отмечается заметное снижение шума в результате их экранирующего эффекта. Так в зависимости от размеров здания, снижение УЗ в измерительных точках может достигать от 18 до 25 дБА. Анализируя характер снижения спектральных составляющих, отмечается снижение УЗД от 3–8 дБ до 18-27 дБ в диапазоне частот 63-2000 Гц с ростом эффективности 2-5 дБ/на октаву, на более высоких частотах отмечено некоторое снижение эффективности экранирующих сооружений, что может быть объяснено влиянием боковой дифракции.

При сравнении экспериментальных данных об экранирующем эффекте зданий со значениями, полученными расчетным методом по формуле 4.20 (для здания №1 УЗ составило 22 дБА; для здания №2 УЗ составило 28 дБА; для здания №2 УЗ составило 27 дБА), отмечена удовлетворительная сходимость.

Заметные величины экранирующего эффекта, полученные экспериментами, позволяют рекомендовать эту меру для снижения авиационного шума.

Выводы по главе:

1. По результатам выполненных исследований автором разработаны рекомендации по снижению шума в аэропорту и вблизи аэропорта, (введение включающие организационные меры ограничений эксплуатацию самолетов, введение ограничений на взлеты и посадки воздушных судов, использование «правила периметра», введение платы за пролета BC, отклонение установленных трасс ограничение интенсивности полетов, смещение входной кромки ВПП, запрет полетов в ночной период времени), технические решения (установка АЭ в местах испытаний двигателей, установка шумозащитного остекления в жилых домах, использование экранирующего эффекта зданий и других сооружений вдоль ВПП) и организационно-технические мероприятия

- (использование методики контроля шума за отклонениями ВС от установленных маршрутов взлёта/посадки, буксировка ВС (без включения силовой установки), разработка проектов СЗЗ, применение систем мониторинга шума, разработка и внедрение малошумных стандартных маршрутов взлета/посадки;
- 2. Разработана методика контроля шума по обеспечению малошумных трасс пролета: на примере аэропорта «Пулково» описаны требования к выбору точек мониторинга шума, требования к программам мониторинга, требования к акустической аппаратуре и персоналу и другие детали методики; показано, что выполнение предложенных рекомендаций обеспечивает снижение акустической нагрузки в близрасположенной к аэропорту жилой застройке на 7-9 дБА.
- 3. Ha определен основании исследований экспериментальных экранирующий эффект зданий, который в зависимости от расположения и 25 18 дБА, составил OT ДО получена размеров сооружения, результатов расчета удовлетворительная сходимость И экспериментальных данных.

выводы и рекомендации

- 1. При экспериментальных исследованиях авиационного шума вблизи аэропорта «Пулково» эквивалентные УЗ в жилой застройке вблизи аэропорта составили 60-68 дБА в дневное время и 49-60 дБА в ночное время. Превышения полученных значений над санитарными нормами составили 5-13 дБА для дневного времени и 4-15 дБА для ночного времени, что подтверждает актуальность проблемы снижения авиационного шума в жилой застройке вблизи аэропортов. В точках контроля за рассматриваемый период измерений уровни шума были превышены в 2326 событий из 3181 пролетов над селитебными территориями (73% превышений из 100%);
- 2. Для формализации понятия жилой застройки «вблизи аэропортов» автором предложено рассматривать территорию, на которой эквивалентный уровень звука равен 60 дБА.
- 3. Акустическое воздействие различных типов воздушных судов определялось путем измерения авиационного шума по 10 точкам контроля (жилые застройки, расположенные вблизи аэропорта «Пулково» в западном и восточном направлениях). В ходе проведения замеров были определены типы и акустические характеристики воздушных судов. Исходя из анализа получен вывод, что самыми шумными типами воздушных судов являются самолёты А319, А320, В735 и В73Н.
- 4. Установлено, что наибольший шум зарегистрирован при разбеге самолетов по ВПП, где в процессе шумообразования, кроме ВС, участвует ВПП, представляемая набором точечных, мнимых ИШ. При увеличении скорости разбега, а также мощности двигателей ВС, шум возрастает примерно на 10 дБА, а УЗ в контрольных точках возрастает до 85 дБА, при посадке УЗ в контрольных точках на 10-15 дБА ниже, чем при взлете, изменяясь примерно с 73 до 66 дБА при режиме приземления. Один из

- путей снижения шума при разбеге по ВПП экранирование зданиями и сооружениями.
- 5. Проанализирован характер снижения уровней звука в момент разбега воздушных судов по взлетно-посадочной полосе с удвоением расстояния от ВПП в пределах 100–800 м. Установлено, что уменьшение УЗ при увеличении расстояния от ВПП в границах аэропортов определяется в основном дивергенцией звука, которая носит сложный характер. Установлено снижение УЗ на 3 дБА (характерное для цилиндрической звуковой волны) при удвоении расстояния от ВС до точки измерения (ТИ) от 100 до 200 м; снижение УЗ на 4-5 дБА при удвоении расстояния с 200 до 400 м (квазицилиндрический фронт звуковой волны); снижение УЗ на 6-7 дБА при увеличении расстояния от ВПП до ТИ с 400 до 800 м (характерное для сферической звуковой волны). При увеличении расстояния от аэропорта от 15 до 25 км зафиксировано снижение УЗ приблизительно на 15 дБА, это предполагает, что на больших расстояниях сферическая звуковая волна переходит в плоскую, а снижение УЗ определяется в основном молекулярным затуханием звука в воздухе.
- 6. Разработана методика измерений авиационного шума, учитывающая влияние траекторий полетов на шум аэропорта. Данная методика позволяет при наличии данных о ВС, отклонившихся от стандартных маршрутов взлета, и данных о шуме на ближайшей селитебной территории, аргументированно установить, что является причиной повышения уровней шума на приаэродромной территории. Из полученных данных мониторинга авиационного шума следует, что отклонившиеся ВС от установленных маршрутов взлета увеличивали шумовое воздействие на 7-9 дБА;
- 7. При выводе формул, учитывающих экранирующий эффект сооружений, были приняты допущения, основным из которых является аппроксимация источника шума (СГА в момент разбега по ВПП), линейным источником, фронт звуковой волны которого цилиндрический или

квазицилиндрический. Вывод формул был выполнен методом последовательного преобразования звуковых полей;

В полученных формулах учтены: пространственный угол излучения, расстояние от воздушного судна (ВС) до экранирующего сооружения (ЭС) и от ЭС до РТ, ширина, высота, и показатель дифракции ЭС, а также звукопоглощающие свойства его фасада.

- 8. Выполненными теоретическими исследованиями установлено: характер изменения спектра шума за ЭС имеет закономерность увеличения эффективности по закону 3 дБ на каждую октавную полосу частот. Закономерность увеличения эффективности ЭС (дБА) по высоте или ширине имеет нелинейный характер, а вид параболы и с увеличением одного из рассматриваемых параметров эффективность снижается. Так получено, что увеличение эффективности на 3 дБА достигается только при удвоении рассматриваемого параметра (например, ширины с 5 до 10 м или высоты с 20 до 40 м), при небольших увеличениях рассматриваемых параметров, например, ширины с 10 до 15 м или высоты с 20 до 25 м отмечается, что эффективность не превышающая 1 дБА;
- 9. По результатам выполненных исследований автором разработаны рекомендации по снижению шума в аэропорту и вблизи аэропорта, включающие организационные меры (введение ограничений эксплуатацию самолетов, введение ограничений на взлеты и посадки воздушных судов, использование «правила периметра», введение платы за отклонение установленных трасс пролета BC, интенсивности полетов, смещение входной кромки ВПП, запрет полетов в ночной период времени), технические решения (установка АЭ в местах испытаний двигателей, установка шумозащитного остекления в жилых использование экранирующего эффекта зданий и других сооружений вдоль ВПП) и организационно-технические мероприятия (использование методики контроля шума за отклонениями ВС от установленных маршрутов взлёта/посадки, буксировка

- включения силовой установки), разработка проектов СЗЗ, применение систем мониторинга шума, разработка и внедрение малошумных стандартных маршрутов взлета/посадки;
- 10. Разработана методика контроля шума по обеспечению малошумных трасс пролета: на примере аэропорта «Пулково» описаны требования к выбору точек мониторинга шума, требования к программам мониторинга, требования к акустической аппаратуре и персоналу и другие детали методики; показано, что выполнение предложенных рекомендаций обеспечивает снижение акустической нагрузки в близрасположенной к аэропорту жилой застройке на 7-9 дБА.
- 11. Ha основании экспериментальных исследований определен экранирующий эффект зданий, который в зависимости от расположения и 18 25 до дБА, сооружения, составил otполучена удовлетворительная сходимость результатов расчета И экспериментальных данных.

СПИСОК ЛИТЕРАТУРЫ

- 1. Ракитин, И.А. Обоснование мероприятий снижения акустической нагрузки на население Санкт-Петербурга на основе результатов социально-гигиенического мониторинга / Ракитин И.А., Мельцер А.В., Ерастова Н.В., Башкетова Н.С., Сухорыба Н.П., Боровков Н.В., Шутович А.А.// Статья в сборнике трудов ІІІ научно-практической конференции с международным участием, «Защита населения от повышенного шумового воздействия». СПб, 22-24 марта 2011 г. с. 23-28.
- 2. Иванов, Н.И. Проблема шума железнодорожного транспорта и пути ее решения / Н.И. Иванов, Д.А. Куклин // Защита от повышенного шума и вибрации: Сборник докладов III Всероссийской научно-практической конференции с международным участием, Санкт-Петербург, 2011 года / Под редакцией Н.И. Иванова Санкт-Петербург: Общество с ограниченной ответственностью "Айсинг", 2011. с. 12 22.
- 3. Фиев, К.П. Методика измерения авиационного шума, учитывающая влияние отклонения воздушных судов от стандартных маршрутов взлёта / К.П. Фиев, В.В. Светлов// статья в сборнике трудов третьей всероссийской конференции молодых ученых и специалистов «Акустика среды обитания». 2018. ACO-2018. Москва. с. 234 240.
- 4. СанПиН 1.2.3685-21. Санитарно-эпидемиологические правила и нормативы. Гигиенические нормативы и требования к обеспечению безопасности и (или) безвредности для человека факторов среды обитания. Санитарные правила и нормы: утверждены Постановлением Главного государственного санитарного врача РФ от 28.01.21 № 2: введены в действие 01.03.21. Текст: электронный. URL: https://docs.cntd.ru/document/516587187 (дата обращения: 27.06.2024).
- 5. СанПиН 2.1.3684-21. Санитарно-эпидемиологические правила и нормативы. Санитарно-эпидемиологические требования к содержанию территорий городских и сельских поселений, к водным объектам, питьевой воде и питьевому водоснаб-

жению, атмосферному воздуху, почвам, жилым помещениям, эксплуатации производственных, общественных помещений, организации и проведению санитарнопротивоэпидемических (профилактических) мероприятий. Санитарные правила и нормы: утверждены Постановлением Главного государственного санитарного врача РФ от 28.01.21 № 3: введены в действие 01.03.21. — Текст: электронный. — URL: https://docs.cntd.ru/document/573536177 (дата обращения: 25.06.2024).

- 6. Крийт, В.Е. Отечественный и международный опыт гигиенического нормирования авиационного шума (обзор литературы) / В.Е. Крийт, К.Б. Фридман, Ю.Н. Сладкова, О.В. Волочкова, Е.Б. Кузнецова // Гигиена и санитария. − Т. 99, №6. − 2020 − с.538-243.
- 7. Картышев, О.А. Нормирование авиационного шума для целей ограничения жилой застройки/ О.А. Картышев // В кн.: Тезисы докладов пятой открытой всероссийской (XVII научно-технической) конференции по аэроакустике. М.: Центральный аэрогидродинамический институт им. профессора Н.Е. Жуковского (Жуковский). 2017. с. 284.
- 8. Смирнов, В. В. Значение гигиенического и технического нормирования авиационного шума для населения, проживающего вблизи аэропортов / В. В. Смирнов // Здоровье основа человеческого потенциала: проблемы и пути их решения. 2020. Т. 15, № 1. С. 439-446. EDN UIZFXS.
- 9. ГОСТ 22283-2014 Шум авиационный. Допустимые уровни шума на территории жилой застройки и методы его измерения: издание официальное. Москва: Стандартинформ, 2015. с. 16.
- 10. Картышев, О.А. Построение зон воздействия авиационного шума вблизи аэропортов / О.А. Картышев // Научный Вестник МГТУ ГА. 2010. № 160. с. 148-158.
- 11. СанПиН 2.2.1/2.1.1.1200-03. Санитарно-защитные зоны и санитарная классификация предприятий, сооружений и иных объектов. Новая редакция. Санитарные правила и нормы: утверждены Постановлением Главного государственного санитарного врача РФ от 25.09.07: введены в действие 25.09.07. —

- Текст: электронный. URL: https://docs.cntd.ru/document/574118121 (дата обращения: 27.06.2024).
- 12. Охрана окружающей среды. Приложение 16 к Конвенции о международной гражданской авиации. Том 1. Авиационный шум. Изд. 5-е, ИКАО. 2010 г. с. 258.
 - 13. Noise in Europe 2014 / EEA Report No 10, 2014. 68 p.
- 14. Картышев, О.А. Проекты санитарно-защитных зон аэропортов, аэродромов, вертодромов и посадочных площадок как основа оценки соответствия их деятельности экологическим требованиям / О.А. Картышев, Н.И. Николайкин // Научный вестник Московского государственного технического университета гражданской авиации. − 2017. Т. 20. № 4. с. 146-155.
- Картышев, О.А. Новые методические подходы к установлению размеров санитарно-защитной зоны и санитарных разрывов аэропортов гражданской авиации / О.А. Картышев // Гигиена и санитария. 2013. Т. 92. № 1. с. 89-92.
- 16. Картышев, О.А. Опыт снижения авиационного шума вблизи аэропортов. В сборнике: Защита населения от повышенного шумового воздействия / О.А. Картышев // Сборник докладов III Всероссийской научно-практической конференции с международным участием, Санкт-Петербург, 22–24 марта 2011 года / Под редакцией Н.И. Иванова. Санкт-Петербург: ИННОВА, 2011. с. 133-136.
- 17. Картышев, О.А. Внедрение автоматических систем контроля авиационного шума в аэропортах гражданской авиации// О.А. Картышев / Научный вестник МГТУ ША. №123. 2007. с. 125-135.
- 18. Картышев, О.А. Расчетно-экспериментальный метод построения контуров авиационного шума при осуществлении зонирования окрестности аэропортов / О.А. Картышев // Научный вестник МГТУ ГА. 2012. № 175. с. 30-35.
- 19. Картышев, О.А. Оценка и регулирование шумового режима реконструируемого жилого района г. Сходня Московской области / Ю.И. Захаров, В.Ю. Захаров, О.А. Картышев // Сборник научных трудов ГВУЗ ПГАСА. 2006. №38. с.205-212.
- 20. Картышев, О.А. Критерии оценки авиационного шума для зонирования приаэродромной территории аэропортов и обоснования защитных мероприятий /

- О.А. Картышев, Н.И. Николайкин // Научный Вестник МГТУ ГА. 2017. Том 20. № 03. с. 30-40.
- 21. Картышев, М.О. Оценка качества проживания населения вблизи существующих и реконструируемых аэродромов / М.О. Картышев, О.А. Картышев // Научный вестник ГосНИИ ГА. 2019. № 28. с.114-123.
- 22. Картышев, О.А. Социальные и санитарно-гигиенические аспекты шума окружающей среды и их значимость для экологического нормирования / А.И. Запорожец, О.А. Картышев // Научный вестник МГТУ ГА. 2010. № 160. с. 132-140.
- 23. Картышев, О.А. Работы по установлению границ зон ограничения жилой застройки вблизи аэропортов по неблагоприятному фактору «авиационный шум» / О.А. Картышев // Научный вестник МГТУ ГА. 2010. №160. с. 141-147.
- 24. Картышев, О.А. Предложения по оценке ущерба здоровью человека от воздействия авиационного шума / О.А. Картышев, Н.К. Кирюшкина, М.А. Пинигин // Научный вестник ГосНИИ ГА. -2020. -№ 31. -c. 54-65.
- 25. Захаров, Ю.И. Имитационное моделирование процесса образования и распространения звука авиационного источника / Ю.И. Захаров, В.Ю. Захаров, О.А. Картышев // Научный вестник ГосНИИ ГА. 2019. № 27. с. 35-47.
- 26. Картышев, О.А. Современные проблемы установления и использования седьмой подзоны приаэродромной территории. / О.А. Картышев, М.А. Пинигин // В книге: Современные проблемы оценки, прогноза и управления экологическими рисками здоровью населения и окружающей среды, пути их рационального решения. Материалы III Международного форума Научного совета Российской Федерации по экологии человека и гигиене окружающей среды 2018. с. 165-170.
- 27. Картышев, О.А. Учет наземных передвижных и воздушных источников шума при установлении режима использования приаэродромной территории. В сборнике: Защита населения от повышенного шумового воздействия / О.А. Картышев // Сборник докладов III Всероссийской научно-практической конференции с международным участием, Санкт-Петербург, 22–24 марта 2011 года / Под редакцией Н.И. Иванова. Санкт-Петербург: ИННОВА. 2011. с. 484-487.

- 28. Картышев, О.А. Анализ и обобщение практики в области регламентации и выбора мест расположения пунктов контроля авиационного шума вблизи аэропортов / О.А. Картышев // Семинар ЦАГИ «Авиационная акустика». М. 2006.
- 29. ГОСТ Р ИСО 1996-1-2019 Акустика. Описание, измерение и оценка шума на местности. Часть 1. Основные величины и процедуры оценки. Москва: Стандартинформ, 2019. 46 с.
- 30. Иванов, Н.И. Защита от шума и вибрации: учебное пособие по направлению "Техносферная безопасность" / Н. И. Иванов, А. Е. Шашурин. Санкт-Петербург: Печатный цех, 2019. 282 с.
- 31. Авиационная акустика. Шум на местности дозвуковых пассажирских самолетов (часть 1). / Под ред. А.Г. Мунина. // -М.: Машиностроение. 1986. 246 с.
- 32. Иванов, Н.И. Проблема защиты населения от повышенного шума / Н.И. Иванов, М.В. Буторина, Н.Н. Минина // ВЕСТНИК МГСУ. 2011. №3-1. с. 135-145.
- 33. Лайтхилл, М. Дж. О звуке, генерируемом аэродинамическим путем І. Общая теория / М. Дж. Лайтхилл // R. Soc. Lond. А. Королевское общество. Т. 211, № 1107. 1952. с. 564-587.
- 34. Лайтхилл, М. Дж. О звуке, генерируемом аэродинамическим путем. II. Турбулентность как источник звука / М. Дж. Лайтхилл // В сборнике Proc. R. Soc. Lond. A. Королевское общество. Т. 222, № 1148. 1954. с. 1-32.
- 35. Машков, П.А. Прогнозирование и снижение шума на местности легких винтовых самолетов: диссертация на соискание ученой степени кандидата технических наук / Машков Петр Александрович, 2023 143 с.
- 36. Мхитаряна, А.М. Снижение шума самолетов с реактивными двигателями / под ред. А.М. Мхитаряна // М. Машиностроение. 1975. 262 с.
- 37. Авиационные правила. Часть 36. Сертификация воздушных судов по шуму на местности / межгосударственный авиационный комитет. 2003. 119 с.
 - 38. Liasjo, К.Н. Снижение шума в аэропортах: эффективность

инструментальных процедур в качестве основы для борьбы с авиационным шумом. / Liasjo K.H., Holen K.// Airport noise managent. How efficient are instrument procedures as tool for noise abatement. – The 1999 International Corgress on Noise Control Engineering. Proc. of «Inter-noise 99». – USA. – 1999.

- 39. Шашурин, А. Е. Проблемы современной инженерной акустики / А. Е. Шашурин, С. С. Борцова, В. К. Васильева // Защита от повышенного шума и вибрации: Сборник трудов Всероссийской научно-практической конференции с международным участием, Санкт-Петербург, 23–25 марта 2021 года / Под редакцией Н.И. Иванова. Санкт-Петербург: Институт акустических конструкций, 2021. с. 11-15.
- 40. Фиев, К.П. Методика измерений уровней АШ с целью оценки его влияния на приаэродромную территорию при отклонении фактической линии пути от установленных процедур взлета // В.В. Светлов и К.П. Фиев/ Защита от повышенного шума и вибрации: Сборник докладов VI Всероссийской научно-практической конференции с международным участием, Санкт-Петербург, 2016 года / под редакцией Н.И. Иванова. Санкт-Петербург: Общество с ограниченной ответственностью "Айсинг", 2016. с. 357 360.
- 41. Фиев, К.П. Мониторинг авиационного шума и выявление типов воздушных судов, оказывающих воздействие на селитебную территорию, вблизи аэропорта / К.П. Фиев // Noise Theory and Practice. 2021. Т. 7 №2. с. 139-150.
- 42. Иванов, Н.И. Контроль и снижение шума аэропорта «Пулково». В сборнике: Защита населения от повышенного шумового воздействия// Н.И. Иванов, М.В. Буторина, А.Е. Шашурин / Защита населения от повышенного шумового воздействия: Сборник докладов III Всероссийской научно-практической конференции с международным участием, Санкт-Петербург, 22–24 марта 2011 года / Под редакцией Н.И. Иванова. Санкт-Петербург: ИННОВА, 2011. с. 568-579.
- 43. Буторина, М.В. Классификация аэропортов по уровням шума и разработка шумозащитных мероприятий / М.В. Буторина // Noise Theory and Practice. 2020. Т. 6. № 2 (20). с. 49-62.

- 44. Буторина, М. В. Разработка научных и методических основ картирования шума транспорта на территории городской застройки: специальность 01.04.06 175 "Акустика": диссертация на соискание ученой степени доктора технических наук / Буторина Марина Вадимовна, 2021. 431 с.
- 45. Руководство по рекомендуемому методу расчета контуров шума вокруг аэропортов: Doc 9911 / Международная организация гражданской авиации. Монреаль: 2008. 131 с.
- 46. Осипов, Г.Л. Защита от шума в градостроительстве/ Г.Л. Осипов, В.Е. Коробков, А.А. Климухин и др.; Под ред. Г.Л. Осипова. Москва: Стройиздат, 1993. 96 с.
- 47. Медведева, Я. В. Транспортные шумы, их негативное воздействие на человека / Я. В. Медведева, А. В. Морина, О. В. Медведева // Новая экономика новое общество. 2010. № 5. с. 185-191.
- 48. Скучик, Е. Основы акустики. Том 2 / Е. Скучик // Издательство «Мир» 1976. 544 с.
- 49. Тюрина, Н.В. Решение проблемы снижения шума на селитебных территориях и рабочих местах в помещениях акустическими экранами: диссертация докт. техн. наук: 01.04.06 / Тюрина Наталья Васильевна. Санкт-Петербург, 2014. 330 с.
- 50. Светлов, В.В. Оценка и снижение шума стационарных источников в жилой застройке В.В. Светлов: диссертация на соискание ученой степени кандидата географических наук / Светлов Валерий Валериевич. 2011. 219 с.
- 51. Шашурин, А.Е. Шумозащитные экраны с надстройкой на свободном ребре// А.Е. Шашурин, Н.В. Тюрина, В.А. Корнилов / Сборник докладов V Всероссийской научно-практической конференции с международным участием. / Под редакцией Н.И. Иванова. Санкт-Петербург: ИННОВА, 2015. с. 580-583.
- 52. Иванов, Н.И. Использование метода преобразования звуковых полей для расчёта эффективности шумозащитных конструкций / Н.И. Иванов, Н.В. Тюрина, А.Е. Шашурин, П.С. Курченко // Noise Theory and Practice. 2020. Т. 6. № 4 (22). с. 128-134.

- 53. Тюрина, Н.В. Новые методики расчета эффективности акустических экранов / Н.В. Тюрина, В.П. Бобровских // Защита от повышенного шума и вибрации: Сборник докладов V Всероссийской научно-практической конференции с международным участием, Санкт-Петербург, 18–20 марта 2015 года / под редакцией Н.И. Иванова. Санкт-Петербург: Общество с ограниченной ответственностью "Айсинг", 2015. с. 323-325.
- 54. Шашурин, А. Е. Научное обоснование и применение новых технических и технологических решений для снижения акустического загрязнения основными типами шумозащитных экранов: специальность 01.04.06 "Акустика": диссертация на соискание ученой степени доктора технических наук / Шашурин Александр Евгеньевич, 2018. 420 с.
- 55. Шашурин, А. Е. Новые технические и технологические решения для снижения экранами / А. Е. акустического загрязнения шумозащитными Министерство образования И науки Российской Федерации, Балтийский государственный технический университет «Военмех». – Санкт-Петербург: Балтийский государственный технический университет "Военмех", 2018. – 134 с. – ISBN 978-5-907054-27-1.
- 56. Иванов, Н.И. Снижение шума стационарных источников в жилой застройке технологическими шумозащитными экранами// Н.И. Иванов, В.В. Светлов, А.Е. Шашурин / Безопасность жизнедеятельности. 2018. с. № 6 (210). 16-22.
- 57. Шашурин, А.Е. Определение эффективной высоты и акустических характеристик шумозащитного экрана// А.Е. Шашурин / Noise Theory and Practice. 2018. Т. 4. № 2 (12). с. 5-10.
- 58. Квитка, В.Е. Нормирование и снижение шума самолетов и вертолетов / В.Е. Квитка // Киев: Вища школа. 1980. с. 208.
- 59. Квитка, В.Е. Гражданская авиация и охрана окружающей среды / В.Е. Квитка // Киев: Вища школа. 1984. с. 136 с.
- 60. Ененкова, В.Г. Защита окружающей среды при авиатранспортных процессах / В.Г. Ененкова // 2 изд.-М.: Транспорт. 1986. 198 с.

- 61. Блинчевский, М.Я. Расчеты и измерения характеристик шума, создаваемого в дальнем звуковом поле реактивными самолетами / М.Я. Блинчевский, Е.В. Власов, Л.В. Горшкова и др.; Под ред. Л. И. Соркина. Москва: Машиностроение. 1968. 99 с.
- 62. Никифоров, А.С. Основы виброакустики: учебное пособие / А.С. Никифоров, Н.И. Иванов. // СПб: Политехника, 2000. 485 с.
- 63. Осипов, Г.Л. Градостроительные меры борьбы с шумом / Г.Л. Осипов, Б.Г. Прутков, И.А. Шишкин, И.Л. Карагодина. //Москва: Стройиздат, 1975. 215 с.
- 64. Kartyshev, Oleg A. Using Ecoflight building software suite for predictive assessment and development of compensation measures to mitigate impacts of aircraft noise in areas near airports / Oleg A. Kartyshev, Michael O. Kartyshev // ICAO Environmental Report. 2016. Pp. 56-59.
- 65. Захаров, Ю.И. Учет системы источников шума и объектов шумозащиты при формировании концепции устойчивого развития городов // Ю.И. Захаров, П.Н. Саньков, Н.А. Ткач / Издательство «Основа». 2011. с.215-220.
- 66. Лесничий, И.В. Анализ существующей в России нормативно-правовой базы по уровню звукового удара на местности сверхзвуковых самолетов // И.В. Лесничий, В.И. Самойлов, Д.А. Кипчарский, И.В. Никитин, А.И. Фролков / Научный вестник ГосНИИ ГА. № 22. 2018. с. 39-48.
- 67. The Aircraft Noise and Performance (ANP) Database : An international data resource for aircraft noise modellers: сайт. 2020. URL: http://www.air craftnoise-model.org.
- 68. Осипов, Г.Л. Звукоизоляция и звукопоглощение / Г.Л. Осипов и др. // М.: ООО "Издательство АСТ" 2004.-451 с.
- 69. Fiev, K. Calculation of the noise contours of a civil aviation airport // K. Fiev, A. Shashurin, M. Butorina, N. Ivanov / AKUSTIKA. Paper No.325/2021. 2021. Paper No.325/2021. p. 33-37.
- 70. Картышев, М.О. Решение по синхронизации результатов измерения шума и параметрических данных из задачи регистратора полетных данных для расчета контуров авиационных шумов / М.О. Картышев // Защита от повышенного шума и

- вибрации: Сборник докладов V Всероссийской научно-практической конференции с международным участием, Санкт-Петербург, 18–20 марта 2015 года / под редакцией Н.И. Иванова. Санкт-Петербург: Общество с ограниченной ответственностью "Айсинг", 2015. с. 654-655.
- 71. Буторина, М.В. Составление карт шума территории г. Санкт-Петербурга / М.В. Буторина // Известия Самарского научного центра РАН. Самара, 2007.
- 72. Картышев, О.А. Установление внешних границ седьмой подзоны и зоны запрещения строительства нормируемых объектов приаэродромной территории / О.А. Картышев, М. О. Картышев, Ардашев И. О. // Научный вестник ГосНИИ ГА. 2022. № 39. с. 122-134.
- 73. Буторина, М.В. Контроль и снижение шума аэропорта «Пулково» / М.В. Буторина, Н.И. Иванов, А.Е. Шашурин // Защита населения от повышенного шумового воздействия: Сборник докладов III Всероссийской научно-практической конференции с международным участием / Под ред. Н.И. Иванова. Санкт-Петербург, 2011. с. 568-579.
- 74. ГОСТ 17228-2014 Самолеты пассажирские и транспортные. Допустимые уровни шума, создаваемого на местности: издание официальное. Москва: Стандартинформ, 2014. с. 10.
- 75. Николайкина, Н. Е. Промышленная экология: Инженерная защита биосферы от воздействия воздушного транспорта / Н. Е. Николайкина, Н. И. Николайкин, А. М. Матягина. ISBN 5-94628-225-5. Москва: Академкнига, 2006. 239 с.
- 76. Butorina, M. Noise zoning of the city using noise mapping / M. Butorina, A. Shabarova, D. Kuklin // Proceedings of 2020 IEEE Conference of Russian Young Researchers in Electrical and Electronic Engineering (2020 ElConRus) / St.Petersburg, Russia, January 2020.
- 77. Николайкин, Н.И. Уменьшение экологических последствий от воздействия авиационных происшествий / Н.И. Николайкин, Е.Ю. Старков // Научный Вестник МГТУ ГА. № 225. 2016. с. 129-136.

- 78. Старков, Е.Ю. О возможности снижения экологического воздействия при авиационном происшествии / Старков Е.Ю., Николайкин Н.И. // XXI век: итоги прошлого и проблемы настоящего: плюс. Выпуск 02 (30). 2016. с. 13–19.
- 79. Комплексное воздействие факторов окружающей среды и образа жизни на здоровье населения: диагностика, коррекция, профилактика / Материалы пленума Научного совета Российской Федерации по экологии человека и гигиене окружающей среды 11–12 декабря 2014 г. // Под ред. акад. РАН Ю.А. Рахманина. М.: Таус-Пресс. 2014. 500 с.
- 80. Замтфорт, Б.С. Использование эксплуатационных процедур пилотирования при взлете и посадке самолета для снижения уровня шума, создаваемого самолетом на местности / Б.С. Замтфорт, Ю.В. Медведев // Известия Самарского научного центра Российской академии наук. − 2012. − т. 14. − № 6. − с. 309-310.
- 81. Maekawa, Z. Environmental and Architectural Acoustics / Z. Maekawa, J. Rindel, P. Lord. New York: Spon Press, 2011. 360 p. ISBN 13:978-0-415-44900-7.
- 82. ГОСТ Р ИСО 1996-1-2019 Шум. Описание, измерение и оценка шума на местности. Часть 1. Основные величины и процедуры оценки: издание официальное. Москва: Стандартинформ, 2019. с. 46.
- 83. Чу В. Т. Необходимость и пути снижения шума агрегатов самолета / В.Т.Чу, В.И. Рябков // Открытые информационные и компьютерные интегрированные технологии. 2012. № 57 с. 46-54.
- 84. Seishi M. Researches on Low Noise Pavement in Japan / M. Seishi // J. Acoust. Soc. Jpn., (E). 1999. 20 (1). p. 19-27.
- 85. Директива Парламента и Совета Европы 2002/49/ЕС от 25.06.02 г. относительно приемлемости шума для населения, создаваемого различными источниками, включая шум наземного и воздушного транспорта. //Directive 2002/49/ЕС of the Europan Parlament and the Council of 25 June 2002 relating to the assessment and management of environmental noise. Official Journal of the European Communities, L189 18.07.2002.
- 86. Заявление Европейской Конференции ГА (ЕКГА) о политике в области охраны окружающей среды, опубликованного от имени 33 государств Европы в

- виде документа 31-й сессии Ассамблеи ИКАО// рабочий документ A31-WP/69 – 1995.
- 87. Kato Y. Nihon onkyo gakkaishi = Исследование транспортных шумов / Kato Y., Ohtsuki R., Yamaguchi S. // J. Acoust. Soc. Jap. 2001. 57, № 3. p. 184-191.
- 88. Рекомендации по установлению зон ограничения жилой застройки в окрестностях аэропортов гражданской авиации из условий шума / НИИ строит. физики. Москва: Стройиздат, 1987. 32 с.
- 89. Российская Федерация. Законы. Об охране окружающей среды: Федеральный закон № 7-ФЗ: [принят Государственной Думой 14 января 2002 года: одобрен Советом Федерации 21 февраля 2002 года] Москва: Проспект; Санкт-Петербург: Кодекс, 2002. 133 с.
- 90. Российская Федерация. Законы. О санитарно-эпидемиологическом благополучии населения: Федеральный закон № 52-ФЗ: [принят Государственной Думой 12 марта 1999 года: одобрен Советом Федерации 17 марта 1999 года] Москва: Проспект; Санкт-Петербург: Кодекс, 2017. 158 с.
- 91. ГОСТ 31296.2-2006 (ИСО 1996-2:2007). Шум. Описание, измерение и оценка шума на местности. Часть 2. Определение уровней звукового давления (с Поправкой): издание официальное. Москва: Стандартинформ, 2008. с. 41.
- 92. Российская Федерация. Законы. Воздушный кодекс Российской Федерации [принят Государственной Думой 24 марта 1997 года: одобрен Советом Федерации 01 апреля 1997 года] Москва: Проспект; Санкт-Петербург: Кодекс, 1997. 1383 с.
- 93. Иванов, Н. И. Расчет акустической эффективности экранов для снижения шума в жилой застройке / Н. И. Иванов, Н. Г. Семенов, Н. В. Тюрина // Защита от 180 повышенного шума и вибрации : Сборник докладов Всероссийской научно практической конференции с международным участием, Санкт-Петербург, 26–28 марта 2013 года / Под редакцией Н.И. Иванова. Санкт-Петербург: Балтийский государственный технический университет "Военмех", 2013. С. 366-371.
- 94. О состоянии и проблемах организации государственного санитарно-эпидемиологического надзора за санитарно-защитными зонами

- аэропортовых комплексов на территории РФ: Решении коллегии Федеральной службы по надзору в сфере защиты прав потребителей и благополучия человека. URL: https://ecoflight.ru/, раздел «Нормативные документы» 21 июня 2013 г.
- 95. ICAO Doc 10069 Доклад десятого совещания Комитета по охране окружающей среды от воздействия авиации. Приложение A. 2016. CAEP/10 c. 68-69.
- 96. Руководство по проектированию аэропортов. Использование земельных участков и контроль над окружающей средой. Монреаль: ИКАО, Doc. 9184 AN/902/2. изд.3-е. 2005. Ч.2.
- 97. Баскакова, А. Г. Оценка риска для здоровья населения от воздействия транспортного шума / А. Г. Баскакова, С. А. Куролап // Актуальные вопросы современной науки: Сборник статей по материалам XIII международной научно практической конференции. В 3-х частях, Томск, 19 июня 2018 года. Том Часть 3. Томск: Общество с ограниченной ответственностью Дендра, 2018. С. 189-193.
- 98. Васильев, А. В. Акустическая экология города: учебное пособие для студентов высших учебных заведений, обучающихся по направлению 280200 "Защита окружающей среды" (специальность 28020265 "Инженерная защита окружающей среды") / А. В. Васильев; Федеральное агентство по образованию, 171 Тольяттинский государственный университет. Тольятти: Тольяттинский государственный университет. Тольятти: Тольяттинский государственный университет. ISBN 5-8259-0334-8.
- 99. Карагодина, И. Л. Борьба с шумом в городах / И. Л. Карагодина, Г. Л. Осипов, И. А. Шишкин. Москва: Медицина, 1972. 159 с.
- 100. Рекомендации по установлению зон ограничения жилой застройки в окрестностях аэропортов гражданской авиации из условий шума. НИИСФ Госстроя СССР. М.: Стройиздат, 1987. 21 с.
- 101. Российская Федерация. Постановление Правительства РФ N 138: [Постановление Правительства РФ от 12 марта 1999 года: одобрен Советом Федерации 01 ноября 2010 года] Москва: Собрание законодательства Российской Федерации, N 14, 05.04.2010. 1649 с.

- 102. Федеральные правила использования воздушного пространства Российской Федерации, утверждены Постановлением Правительства РФ от 11.03.2010 N 138, с изменениями согласно постановлению Правительства от 29 марта 2024 года № 393.
- 103. СП 51.13330.2011. Защита от шума: издание официальное. Минрегион России. М.: ОАО "ЦПП", 2010. с. 51.
- 104. Российская Федерация. Законы. О санитарно-эпидемиологическом благополучии населения: Федеральный закон № 52-ФЗ: [принят Государственной Думой 12 марта 1999 года: одобрен Советом Федерации 17 марта 1999 года] Москва: Проспект; Санкт-Петербург: Кодекс, 2017. 158 с.
- 105. ГОСТ ISO/IEC 17025-2019. Общие требования к компетентности испытательных и калибровочных лабораторий: издание официальное. Москва: Стандартинформ, 2019. 35 с.
- 106. Российская Федерация. Законы. Об аккредитации в национальной системе аккредитации Федеральный закон № 412-ФЗ: [принят Государственной Думой 12 марта 1999 года: одобрен Советом Федерации 23 декабря 2013 года] Москва: Проспект; Санкт-Петербург: Кодекс, 2013. 46 с.
- 107. Asensio, C. Airport noise insulation programs: The spanish case / Asensio C., Pavon I., Recuero M., Ausejo M. // Noise & Vibration Worldwide. 2012. 43(February 2012):8-15. p. 8-15.
- 108. Буторина, М. В. Учет погрешностей при построении карт шума / М.В. Буторина, А.В. Осетров, В.В. Светлов, К.П. Фиев // Noise Theory and Practice. 2020. Т. 6, №4. с. 81-89;
- 109. Фиев, К. П. Характер снижения авиационного шума с увеличением расстояния от летательного аппарата / К.П. Фиев, Н.И. Иванов, Н.В. Тюрина // Noise Theory and Practice. 2024. Т. 10 №2. с. 88-100;
- 110. Фиев, К.П. Расчет и исследование экранирующего эффекта сооружений при разбеге самолетов гражданской авиации / К.П. Фиев, М.В. Буторина, Н.В. Тюрина // Noise Theory and Practice. 2024. Т. 10, №3. с. 96-108;

- 111. ГОСТ 17229-2014. Самолеты пассажирские и транспортные. Метод определения уровней шума, создаваемого на местности: издание официальное. Москва: Стандартинформ, 2014. 38 с.
- 112. ГОСТ 17228-2014. Самолеты пассажирские и транспортные. Допустимые уровни шума, создаваемые на местности: издание официальное. Москва: Стандартинформ, 2014. 10 с.

ПРИЛОЖЕНИЕ А. Фотографии с мест проведения измерений



Рисунок А.1. – Фотография с измерений шума в аэропорту «Пулково» №1



Рисунок А.2. – Фотография с измерений шума в аэропорту «Пулково» №2



Рисунок А.3. – Фотография с измерений шума в аэропорту «Пулково» №3



Рисунок А.4. — Фотография с измерений шума в аэропорту «Пулково» N24

ПРИЛОЖЕНИЕ Б. Результаты проведения мониторинга

Таблица Б.1 — Результаты проведения мониторинга в точке №1 (пос. Старопаново, ул. Совхозная, д. 11).

| | Время собы- | D / | $oldsymbol{L_{A}_{MAKC}}$ | Нормат | гивные з | начения | , д Б (A) |
|--------|--------------|------------|---------------------------|--------|----------|---------|-------------------------|
| Тип ВС | ТИЯ | Взлет/ | • | Сан | ПиН | ГО | CT |
| | (день/ночь) | посадка | дБ(А) | День | Ночь | День | Ночь |
| | | 24.02.2019 | 23:00-0 | 1:00 | | | |
| AN-148 | | | 69-72 | | | | |
| 1 | 23:47 (ночь) | взлет | 72 | - | 60 | - | 75 |
| 2 | 00:42 (ночь) | взлет | 69 | - | 60 | - | 75 |
| 3 | 00:52 (ночь) | взлет | 70 | - | 60 | | 75 |
| CRJ2 | | | 65 | | | | |
| 1 | 23:05 (ночь) | взлет | 65 | - | 60 | - | 75 |
| | | 25.02.2019 | 05:00-0 | 7:00 | | | |
| A319 | | | 69 | | | | |
| 1 | 05:25 (ночь) | взлет | 69 | - | 60 | - | 75 |
| A320 | | | 75 | | | | |
| 1 | 05:53 (ночь) | взлет | 75 | - | 60 | - | 75 |
| A321 | | | 71 | | | | |
| 1 | 06:19 (ночь) | взлет | 71 | - | 60 | - | 75 |
| | | 02.03.2019 | 15:00-1 | 9:00 | | | |
| A319 | | | 66-78 | | | | |
| 1 | 15:01 (день) | посадка | 71 | 70 | - | 85 | - |
| 2 | 15:13 (день) | посадка | 72 | 70 | - | 85 | - |
| 3 | 15:35 (день) | посадка | 74 | 70 | - | 85 | - |
| 4 | 15:52 (день) | посадка | 66 | 70 | - | 85 | - |
| 5 | 15:59 (день) | посадка | 70 | 70 | - | 85 | - |
| 6 | 16:04 (день) | посадка | 74 | 70 | - | 85 | - |
| 7 | 16:17 (день) | посадка | 71 | 70 | - | 85 | - |
| 8 | 16:37 (день) | посадка | 77 | 70 | - | 85 | - |
| 9 | 16:40 (день) | посадка | 76 | 70 | - | 85 | - |
| 10 | 16:50 (день) | посадка | 78 | 70 | - | 85 | - |
| 11 | 17:29 (день) | посадка | 69 | 70 | - | 85 | - |
| 12 | 18:34 (день) | посадка | 74 | 70 | - | 85 | - |
| 13 | 18:46 (день) | посадка | 67 | 70 | - | 85 | - |
| 14 | 18:47 (день) | посадка | 73 | 70 | - | 85 | - |
| A320 | | | 67-77 | | | | |
| 1 | 15:04 (день) | посадка | 77 | 70 | - | 85 | - |
| 2 | 15:32 (день) | посадка | 73 | 70 | - | 85 | - |
| 3 | 15:48 (день) | посадка | 74 | 70 | - | 85 | - |
| 4 | 16:23 (день) | посадка | 74 | 70 | - | 85 | - |

| | Время собы- | D / | L_{A макс | Нормативные значения, дБ(А) | | | | |
|--------|--------------|------------|----------------|-----------------------------|------|------|------|--|
| Тип ВС | ТИЯ | Взлет/ | Amarc | Сан | ПиН | ГОСТ | | |
| | (день/ночь) | посадка | д Б (A) | День | Ночь | День | Ночь | |
| 5 | 16:29 (день) | посадка | 74 | 70 | - | 85 | - | |
| 6 | 16:45 (день) | посадка | 76 | 70 | - | 85 | - | |
| 7 | 16:59 (день) | посадка | 75 | 70 | - | 85 | - | |
| 8 | 17:03 (день) | посадка | 72 | 70 | - | 85 | - | |
| 9 | 17:06 (день) | посадка | 69 | 70 | - | 85 | - | |
| 10 | 18:06 (день) | посадка | 76 | 70 | - | 85 | - | |
| 11 | 18:42 (день) | посадка | 67 | 70 | - | 85 | - | |
| B735 | | | 59-71 | | | | | |
| 1 | 18:26 (день) | посадка | 59 | 70 | - | 85 | - | |
| 2 | 18:28 (день) | посадка | 71 | 70 | - | 85 | - | |
| 3 | 18:31 (день) | посадка | 70 | 70 | - | 85 | - | |
| AN-148 | | | 66-76 | | | | | |
| 1 | 15:26 (день) | посадка | 69 | 70 | - | 85 | - | |
| 2 | 16:07 (день) | посадка | 76 | 70 | - | 85 | - | |
| 3 | 16:11 (день) | посадка | 66 | 70 | - | 85 | - | |
| CRJ2 | | | 64 | | | | | |
| 1 | 17:49 (день) | посадка | 64 | 70 | - | 85 | - | |
| | | 14.03.2019 | 15:00-1 | 9:00 | | | | |
| A319 | | | 70-79 | | | | | |
| 1 | 15:44 (день) | взлет | 79 | 70 | - | 85 | - | |
| 2 | 15:47 (день) | взлет | 70 | 70 | - | 85 | - | |
| 3 | 15:52 (день) | взлет | 72 | 70 | - | 85 | - | |
| 4 | 16:15 (день) | взлет | 74 | 70 | - | 85 | - | |
| 5 | 17:21 (день) | взлет | 71 | 70 | - | 85 | - | |
| 6 | 17:32 (день) | взлет | 73 | 70 | - | 85 | - | |
| 7 | 17:36 (день) | взлет | 76 | 70 | - | 85 | - | |
| 8 | 17:41 (день) | взлет | 78 | 70 | - | 85 | - | |
| 9 | 17:43 (день) | взлет | 77 | 70 | - | 85 | - | |
| 10 | 18:05 (день) | взлет | 72 | 70 | - | 85 | - | |
| A320 | | | 69-77 | | | | | |
| 1 | 16:33 (день) | взлет | 77 | 70 | - | 85 | - | |
| 2 | 16:42 (день) | взлет | 74 | 70 | - | 85 | - | |
| 3 | 18:12 (день) | взлет | 73 | 70 | - | 85 | - | |
| 4 | 18:27 (день) | взлет | 77 | 70 | - | 85 | - | |
| 5 | 18:32 (день) | взлет | 69 | 70 | - | 85 | - | |
| A321 | | | 73-78 | | | | | |
| 1 | 15:29 (день) | взлет | 73 | 70 | - | 85 | - | |
| 2 | 18:39 (день) | взлет | 78 | 70 | - | 85 | - | |
| B735 | | | 70-75 | | | | | |

| | Время собы- | D / | $oldsymbol{L_{A	ext{Makc}}}$ | Нормат | гивные з | начения | , д Б (А) |
|--------|--------------|--------------|------------------------------|------------------------|----------|---------|------------------|
| Тип ВС | ТИЯ | Взлет/ | , | Сан | ПиН | ГО | CT |
| | (день/ночь) | посадка | дБ(А) | День | Ночь | День | Ночь |
| 1 | 15:38 (день) | взлет | 70 | 70 | - | 85 | _ |
| 2 | 16:24 (день) | взлет | 75 | 70 | - | 85 | - |
| 3 | 18:37 (день) | взлет | 70 | 70 | - | 85 | - |
| B738 | , , , | | 79 | | | | |
| 1 | 18:35 (день) | взлет | 79 | 70 | - | 85 | - |
| AN-148 | | | 69-75 | | | | |
| 1 | 15:53 (день) | взлет | 69 | 70 | - | 85 | - |
| 2 | 17:25 (день) | взлет | 75 | 70 | - | 85 | - |
| CRJ2 | | | 65 | | | | |
| 1 | 15:05 (день) | взлет | 65 | 70 | - | 85 | - |
| | | 06.05.2019 | 05.00-0 | 7.00 | | | |
| B738 | | | 76 | | | | |
| 1 | 6:18 (ночь) | посадка | 76 | - | 60 | 1 | 75 |
| AN-148 | | | 67-68 | | | | |
| 1 | 6:24 (ночь) | посадка | 68 | - | 60 | - | 75 |
| 2 | 6:35 (ночь) | посадка | 67 | - | 60 | - | 75 |
| | | 06.05.2019 | 15.00-1 | 9.00 | | | |
| A319 | | | 66-69 | | | | |
| 1 | 15:25 (день) | взлет | 69 | 70 | - | 85 | - |
| 2 | 15:39 (день) | взлет | 66 | 70 | - | 85 | - |
| 3 | 15:54 (день) | взлет | 69 | 70 | - | 85 | - |
| 4 | 17:22 (день) | взлет | 67 | 70 | - | 85 | - |
| 5 | 18:23 (день) | взлет | 67 | 70 | - | 85 | - |
| A320 | | | 68-72 | | | | |
| 1 | 16:27 (день) | взлет | 72 | 70 | - | 85 | - |
| 2 | 16:30 (день) | взлет | 71 | 70 | - | 85 | - |
| 3 | 16:43 (день) | взлет | 71 | 70 | - | 85 | - |
| 4 | 17:44 (день) | взлет | 68 | 70 | - | 85 | - |
| 5 | 17:47 (день) | взлет | 69 | 70 | - | 85 | - |
| A321 | | | 67-74 | | | | |
| 1 | 16:58 (день) | взлет | 74 | 70 | - | 85 | - |
| 2 | 18:39 (день) | взлет | 67 | 70 | - | 85 | - |
| B738 | V - / | | 67-74 | | | | |
| 1 | 16:11 (день) | взлет | 74 | 70 | - | 85 | - |
| 2 | 16:41 (день) | взлет | 67 | 70 | - | 85 | - |
| AN-148 | , | | 65-69 | | | | |
| 1 | 16:32 (день) | взлет | 69 | 70 | - | 85 | - |
| 2 | 16:49 (день) | взлет | 65 | 70 | _ | 85 | - |
| 3 | 17:30 (день) | взлет | 69 | 70 | - | 85 | - |
| | 14.0 | 5.2019-15.05 | 5.2019 23 | $3.00-0\overline{1.0}$ | 0 | | |

| | Время собы- | Взлет/ | $oldsymbol{L_{A	ext{Makc}}}$ | Нормативные значения, дБ(А) | | | | | |
|--------|--------------|------------|------------------------------|-----------------------------|------|------|------|--|--|
| Тип ВС | ТИЯ | | AMARC | Сан | ПиН | ГО | CT | | |
| | (день/ночь) | посадка | д Б (A) | День | Ночь | День | Ночь | | |
| A321 | | | 76 | , , | | , , | | | |
| 1 | 23:03 (ночь) | взлет | 76 | - | 60 | - | 75 | | |
| AN-148 | , , | | 75-77 | | | | | | |
| 1 | 23:35 (ночь) | взлет | 77 | - | 60 | - | 75 | | |
| 2 | 0:24 (ночь) | взлет | 76 | - | 60 | - | 75 | | |
| 3 | 0:38 (ночь) | взлет | 75 | - | 60 | - | 75 | | |
| | | 16.05.2019 | 15.00-1 | 9.00 | | | | | |
| A319 | | | 63-73 | | | | | | |
| 1 | 15:29 (день) | взлет | 73 | 70 | - | 85 | - | | |
| 2 | 16:09 (день) | взлет | 71 | 70 | _ | 85 | | | |
| 3 | 16:48 (день) | взлет | 63 | 70 | _ | 85 | _ | | |
| 4 | 17:20 (день) | взлет | 64 | 70 | - | 85 | - | | |
| 5 | 17:35 (день) | взлет | 68 | 70 | - | 85 | - | | |
| 6 | 17:48 (день) | взлет | 64 | 70 | - | 85 | - | | |
| 7 | 18:04 (день) | взлет | 63 | 70 | - | 85 | - | | |
| A320 | | | 63-74 | | | | | | |
| 1 | 15:15 (день) | взлет | 74 | 70 | - | 85 | - | | |
| 2 | 15:34 (день) | взлет | 60 | 70 | - | 85 | - | | |
| 3 | 16:34 (день) | взлет | 65 | 70 | - | 85 | - | | |
| 4 | 16:37 (день) | взлет | 67 | 70 | - | 85 | - | | |
| 5 | 17:38 (день) | взлет | 65 | 70 | - | 85 | - | | |
| 6 | 18:24 (день) | взлет | 63 | 70 | - | 85 | - | | |
| A321 | | | 67-70 | | | | | | |
| 1 | 16:20 (день) | взлет | 67 | 70 | - | 85 | - | | |
| 2 | 17:07 (день) | взлет | 70 | 70 | - | 85 | - | | |
| 3 | 17:44 (день) | взлет | 70 | 70 | - | 85 | - | | |
| 4 | 18:43 (день) | взлет | 67 | 70 | - | 85 | - | | |
| B735 | | | 69 | | | | | | |
| 1 | 16:02 (день) | взлет | 69 | 70 | - | 85 | - | | |
| B738 | | | 64-70 | | | | | | |
| 1 | 16:12 (день) | взлет | 64 | 70 | - | 85 | - | | |
| 2 | 16:51 (день) | взлет | 70 | 70 | - | 85 | - | | |
| 3 | 17:03 (день) | взлет | 69 | 70 | - | 85 | - | | |
| AN-148 | | | 68-73 | | | | | | |
| 1 | 16:05 (день) | взлет | 70 | 70 | - | 85 | _ | | |
| 2 | 16:22 (день) | взлет | 70 | 70 | - | 85 | - | | |
| 3 | 16:38 (день) | взлет | 68 | 70 | - | 85 | - | | |
| 4 | 17:33 (день) | взлет | 73 | 70 | - | 85 | - | | |
| CRJ2 | | | 61-64 | | | | | | |

| | Время собы- | Do = 0=/ | L_{A макс | Нормат | гивные з | начения | , д Б (A) |
|--------|--------------|----------|-------------|--------|----------|---------|----------------------------------|
| Тип ВС | ТИЯ | D3JIC1/ | , | СанПиН | | ГОСТ | |
| | (день/ночь) | посадка | дБ(А) | День | Ночь | День | Ночь |
| 1 | 15:24 (день) | взлет | 61 | 70 | - | 85 | - |
| 2 | 16:00 (день) | взлет | 62 | 70 | - | 85 | - |
| 3 | 17:00 (день) | взлет | 64 | 70 | - | 85 | - |
| 4 | 17:05 (день) | взлет | 62 | 70 | - | 85 | - |
| 5 | 18:27 (день) | взлет | 64 | 70 | - | 85 | - |

Таблица Б.2 — Результаты проведения мониторинга в точке №2 (пос. Новоселье, Красносельское шоссе, д. 12).

| | Время собы- | D / | $oldsymbol{L_{A	ext{Makc}}}$ | Нормативные значения, дБ(А) | | | |
|------------------------|--------------|---------|------------------------------|-----------------------------|------|------|------|
| Тип ВС | тия | Взлет/ | Amake , | СанПиН | | ГОСТ | |
| | (день/ночь) | посадка | дБ(А) | День | Ночь | День | Ночь |
| 24.02.2019 23:00-01:00 | | | | | | | |
| AN-148 | | | 61-65 | | | | |
| 1 | 23:47 (ночь) | взлет | 61 | - | 60 | ı | 75 |
| 2 | 00:42 (ночь) | взлет | 61 | - | 60 | - | 75 |
| 3 | 00:52 (ночь) | взлет | 65 | - | 60 | - | 75 |
| CRJ2 | | | 58 | | | | |
| 1 | 23:05 (ночь) | взлет | 58 | | 60 | | 75 |
| 25.02.2019 05:00-07:00 | | | | | | | |
| A319 | | | 64 | | | | |
| 1 | 05:25 (ночь) | взлет | 64 | - | 60 | - | 75 |
| A320 | | | 61 | | | | |
| 1 | 05:53 (ночь) | взлет | 61 | - | 60 | - | 75 |
| A321 | | | 62 | | | | |
| 1 | 06:19 (ночь) | взлет | 62 | - | 60 | - | 75 |
| 02.03.2019 15:00-19:00 | | | | | | | |
| A319 | | | 53-68 | | | | |
| 1 | 15:01 (день) | посадка | 57 | 70 | - | 85 | - |
| 2 | 15:13 (день) | посадка | 56 | 70 | - | 85 | - |
| 3 | 15:35 (день) | посадка | 56 | 70 | - | 85 | - |
| 4 | 15:52 (день) | посадка | 58 | 70 | - | 85 | - |
| 5 | 15:59 (день) | посадка | 58 | 70 | - | 85 | - |
| 6 | 16:04 (день) | посадка | 53 | 70 | - | 85 | - |
| 7 | 16:17 (день) | посадка | 57 | 70 | - | 85 | - |
| 8 | 16:37 (день) | посадка | 54 | 70 | - | 85 | - |
| 9 | 16:40 (день) | посадка | 57 | 70 | - | 85 | - |
| 10 | 16:50 (день) | посадка | 54 | 70 | - | 85 | - |
| 11 | 17:29 (день) | посадка | 68 | 70 | - | 85 | - |

| | Время собы- | D / | L_{A макс | Нормат | гивные з | значения | ı, дБ(A) |
|--------|--------------|------------|----------------|--------|----------|----------|----------|
| Тип ВС | ТИЯ | Взлет/ | AMARC | Сан | ПиН | ГО | CT |
| | (день/ночь) | посадка | д Б (A) | День | Ночь | День | Ночь |
| 12 | 18:34 (день) | посадка | 58 | 70 | - | 85 | - |
| 13 | 18:46 (день) | посадка | 58 | 70 | - | 85 | - |
| 14 | 18:47 (день) | посадка | 59 | 70 | - | 85 | _ |
| A320 | | | 56-62 | | | | |
| 1 | 15:04 (день) | посадка | 59 | 70 | - | 85 | - |
| 2 | 15:32 (день) | посадка | 62 | 70 | - | 85 | - |
| 3 | 15:48 (день) | посадка | 56 | 70 | - | 85 | - |
| 4 | 16:23 (день) | посадка | 56 | 70 | - | 85 | - |
| 5 | 16:29 (день) | посадка | 58 | 70 | - | 85 | - |
| 6 | 16:45 (день) | посадка | 57 | 70 | - | 85 | - |
| 7 | 16:59 (день) | посадка | 56 | 70 | - | 85 | - |
| 8 | 17:03 (день) | посадка | 59 | 70 | - | 85 | - |
| 9 | 17:06 (день) | посадка | 56 | 70 | - | 85 | - |
| 10 | 18:06 (день) | посадка | 59 | 70 | - | 85 | - |
| 11 | 18:42 (день) | посадка | 56 | 70 | - | 85 | - |
| B735 | | | 56-60 | | | | |
| 1 | 18:26 (день) | посадка | 60 | 70 | - | 85 | - |
| 2 | 18:28 (день) | посадка | 59 | 70 | - | 85 | - |
| 3 | 18:31 (день) | посадка | 56 | 70 | - | 85 | - |
| AN-148 | | | 59-61 | | | | |
| 1 | 15:26 (день) | посадка | 59 | 70 | - | 85 | - |
| 2 | 16:07 (день) | посадка | 61 | 70 | - | 85 | - |
| 3 | 16:11 (день) | посадка | 60 | 70 | - | 85 | - |
| CRJ2 | | | 71 | | | | |
| 1 | 17:49 (день) | посадка | 71 | 70 | - | 85 | - |
| | | 14.03.2019 | | 9:00 | | | |
| A319 | | | 62-70 | | | | |
| 1 | 15:44 (день) | взлет | 70 | 70 | - | 85 | - |
| 2 | 15:47 (день) | взлет | 65 | 70 | - | 85 | - |
| 3 | 15:52 (день) | взлет | 64 | 70 | - | 85 | - |
| 4 | 16:15 (день) | взлет | 63 | 70 | - | 85 | - |
| 5 | 17:21 (день) | взлет | 62 | 70 | - | 85 | - |
| 6 | 17:32 (день) | взлет | 67 | 70 | - | 85 | - |
| 7 | 17:36 (день) | взлет | 65 | 70 | - | 85 | - |
| 8 | 17:41 (день) | взлет | 64 | 70 | - | 85 | - |
| 9 | 17:43 (день) | взлет | 67 | 70 | - | 85 | - |
| 10 | 18:05 (день) | взлет | 62 | 70 | - | 85 | - |
| A320 | | | 62-68 | | | | |
| 1 | 16:33 (день) | взлет | 62 | 70 | - | 85 | - |

| | Время собы- | D===/ | L_{A макс | Нормат | гивные з | значения | , д Б (А) |
|--------|--------------|------------|-------------|--------|------------|----------|------------------|
| Тип ВС | ТИЯ | Взлет/ | , | Сан | ПиН | ГО | CT |
| | (день/ночь) | посадка | дБ(А) | День | Ночь | День | Ночь |
| 2 | 16:42 (день) | взлет | 63 | 70 | - | 85 | - |
| 3 | 18:12 (день) | взлет | 64 | 70 | - | 85 | - |
| 4 | 18:27 (день) | взлет | 68 | 70 | - | 85 | - |
| 5 | 18:32 (день) | взлет | 68 | 70 | - | 85 | - |
| A321 | | | 64 | | | | |
| 1 | 15:29 (день) | взлет | 64 | 70 | - , | 85 | - |
| 2 | 18:39 (день) | взлет | 64 | 70 | - | 85 | - |
| B735 | | | 62-64 | | | | |
| 1 | 15:38 (день) | взлет | 64 | 70 | - | 85 | - |
| 2 | 16:24 (день) | взлет | 63 | 70 | - | 85 | - |
| 3 | 18:37 (день) | взлет | 62 | 70 | - | 85 | - |
| B738 | | | 68 | | | | |
| 1 | 18:35 (день) | взлет | 68 | 70 | - | 85 | - |
| AN-148 | | | 60 | | | | |
| 1 | 15:53 (день) | взлет | 60 | 70 | - | 85 | - |
| 2 | 17:25 (день) | взлет | 60 | 70 | - | 85 | - |
| CRJ2 | | | 58 | | | | |
| 1 | 15:05 (день) | взлет | 58 | 70 | - | 85 | - |
| | | 06.05.2017 | | 7.00 | | | |
| B738 | | | 60 | | | | |
| 1 | 6:18 (ночь) | посадка | 60 | - | 60 | - | 75 |
| AN-148 | | | 59-62 | | | | |
| 1 | 6:24 (ночь) | посадка | 59 | - | 60 | - | 75 |
| 2 | 6:35 (ночь) | посадка | 62 | - | 60 | - | 75 |
| | Γ | 06.05.2019 | | 9.00 | | | 1 |
| A319 | | | 61-66 | | | | |
| 1 | 15:25 (день) | взлет | 62 | 70 | - | 85 | - |
| 2 | 15:39 (день) | взлет | 63 | 70 | - | 85 | - |
| 3 | 15:54 (день) | взлет | 66 | 70 | - | 85 | - |
| 4 | 17:22 (день) | взлет | 65 | 70 | - | 85 | - |
| 5 | 18:23 (день) | взлет | 61 | 70 | - | 85 | - |
| A320 | 1607 | | 60-68 | | | 0.5 | |
| 1 | 16:27 (день) | взлет | 63 | 70 | - | 85 | - |
| 2 | 16:30 (день) | взлет | 68 | 70 | - | 85 | - |
| 3 | 16:43 (день) | взлет | 63 | 70 | - | 85 | - |
| 4 | 17:44 (день) | взлет | 60 | 70 | - | 85 | - |
| 5 | 17:47 (день) | взлет | 61 | 70 | - | 85 | - |
| A321 | 16.50 (| | 64-68 | 70 | | 0.7 | |
| 1 | 16:58 (день) | взлет | 68 | 70 | - | 85 | - |

| | Время собы- | D / | L_{A макс | Нормат | гивные з | начения | , д Б (А) |
|--------|--------------|----------------------|-------------|-----------|----------|---------|------------------|
| Тип ВС | тия | Взлет/ | 71Make | Сан | ПиН | ГО | CT |
| | (день/ночь) | посадка | дБ(А) | День | Ночь | День | Ночь |
| 2 | 18:39 (день) | взлет | 64 | 70 | - | 85 | - |
| B738 | | | 67 | | | | |
| 1 | 16:11 (день) | взлет | 67 | 70 | - | 85 | - |
| 2 | 16:41 (день) | взлет | 67 | 70 | - | 85 | - |
| AN-148 | | | 60-66 | | | | |
| 1 | 16:32 (день) | взлет | 60 | 70 | - | 85 | - |
| 2 | 16:49 (день) | взлет | 60 | 70 | - | 85 | - |
| 3 | 17:30 (день) | взлет | 66 | 70 | - | 85 | - |
| | 14.0 | 5.2019-15.0 5 | 5.2019 23 | 3.00-01.0 | 0 | | |
| A321 | | | 69 | | | | |
| 1 | 23:03 (ночь) | взлет | 69 | - | 60 | - | 75 |
| AN-148 | | | 65-68 | | | | |
| 1 | 23:35 (ночь) | взлет | 68 | - | 60 | - | 75 |
| 2 | 0:24 (ночь) | взлет | 67 | - | 60 | - | 75 |
| 3 | 0:38 (ночь) | взлет | 65 | - | 60 | - | 75 |
| | | 16.05.2019 | 15.00-1 | 9.00 | | | |
| A319 | | | 65-70 | | | | |
| 1 | 15:29 (день) | взлет | 67 | 70 | - | 85 | - |
| 2 | 16:09 (день) | взлет | 67 | 70 | - | 85 | - |
| 3 | 16:48 (день) | взлет | 67 | 70 | - | 85 | - |
| 4 | 17:20 (день) | взлет | 70 | 70 | - | 85 | - |
| 5 | 17:35 (день) | взлет | 66 | 70 | - | 85 | - |
| 6 | 17:48 (день) | взлет | 65 | 70 | - | 85 | - |
| 7 | 18:04 (день) | взлет | 66 | 70 | - | 85 | - |
| A320 | | | 60-70 | | | | |
| 1 | 15:15 (день) | взлет | 70 | 70 | _ | 85 | - |
| 2 | 15:34 (день) | взлет | 61 | 70 | - | 85 | _ |
| 3 | 16:34 (день) | взлет | 60 | 70 | | 85 | |
| 4 | 16:37 (день) | взлет | 64 | 70 | - | 85 | _ |
| 5 | 17:38 (день) | взлет | 67 | 70 | - | 85 | - |
| 6 | 18:24 (день) | взлет | 64 | 70 | - | 85 | - |
| A321 | | | 63-72 | | | | |
| 1 | 16:20 (день) | взлет | 63 | 70 | - | 85 | - |
| 2 | 17:07 (день) | взлет | 66 | 70 | _ | 85 | _ |
| 3 | 17:44 (день) | взлет | 68 | 70 | _ | 85 | _ |
| 4 | 18:43 (день) | взлет | 72 | 70 | - | 85 | _ |
| B735 | | | 71 | | | | |
| 1 | 16:02 (день) | взлет | 71 | 70 | - | 85 | - |
| B738 | | | 61-68 | | | | |

| | Время собы- | D/ | L_{A макс | Нормат | гивные з | начения | , д Б (A) |
|--------|--------------|---------|-------------|--------|----------|---------|----------------------------------|
| Тип ВС | ТИЯ | Взлет/ | , | Сан | ПиН | ГО | CT |
| | (день/ночь) | посадка | дБ(А) | День | Ночь | День | Ночь |
| 1 | 16:12 (день) | взлет | 66 | 70 | - | 85 | - |
| 2 | 16:51 (день) | взлет | 61 | 70 | - | 85 | - |
| 3 | 17:03 (день) | взлет | 68 | 70 | - | 85 | - |
| AN-148 | | | 64-70 | | | | |
| 1 | 16:05 (день) | взлет | 70 | 70 | - | 85 | - |
| 2 | 16:22 (день) | взлет | 70 | 70 | - | 85 | - |
| 3 | 16:38 (день) | взлет | 68 | 70 | - | 85 | - |
| 4 | 17:33 (день) | взлет | 64 | 70 | - | 85 | - |
| CRJ2 | | | 59-65 | | | | |
| 1 | 15:24 (день) | взлет | 59 | 70 | - | 85 | - |
| 2 | 16:00 (день) | взлет | 65 | 70 | - | 85 | - |
| 3 | 17:00 (день) | взлет | 60 | 70 | - | 85 | - |
| 4 | 17:05 (день) | взлет | 63 | 70 | - | 85 | - |
| 5 | 18:27 (день) | взлет | 62 | 70 | - | 85 | |

Таблица Б.3 — Результаты проведения мониторинга в точке №3 (пос. Горелово, ул. Коммунаров, д. 182).

| | Время собы- | D / | L_{A макс | Нормат | гивные з | начения | , д Б (A) | | | |
|--------|------------------------|------------|-------------|--------|----------|---------|----------------------------------|--|--|--|
| Тип ВС | тия | Взлет/ | , | Сан | ПиН | ГО | CT | | | |
| | (день/ночь) | посадка | дБ(А) | День | Ночь | День | Ночь | | | |
| | | 24.02.2017 | 23:00-0 | 1:00 | | | | | | |
| AN-148 | | | 59-69 | | | | | | | |
| 1 | 23:47 (ночь) | взлет | 69 | - | 60 | - | 75 | | | |
| 2 | 00:42 (ночь) | взлет | 59 | - | 60 | ı | 75 | | | |
| 3 | 00:52 (ночь) | взлет | 65 | - | 60 | - | 75 | | | |
| CRJ2 | | | 61 | | | | | | | |
| 1 | 23:05 (ночь) | взлет | 61 | - | 60 | - | 75 | | | |
| | 25.02.2019 05:00-07:00 | | | | | | | | | |
| A319 | | | 64 | | | | | | | |
| 1 | 05:25 (ночь) | взлет | 64 | - | 60 | - | 75 | | | |
| A320 | | | 65 | | | | | | | |
| 1 | 05:53 (ночь) | взлет | 65 | - | 60 | ı | 75 | | | |
| A321 | | | 60 | | | | | | | |
| 1 | 06:19 (ночь) | взлет | 60 | - | 60 | - | 75 | | | |
| | 02.03.2019 15:00-19:00 | | | | | | | | | |
| A319 | | | 52-67 | | | | | | | |
| 1 | 15:01 (день) | посадка | 52 | 70 | - | 85 | - | | | |
| 2 | 15:13 (день) | посадка | 67 | 70 | _ | 85 | - | | | |

| | Время собы- | D / | $oldsymbol{L_{A	ext{Makc}}}$ | Нормат | гивные з | начения | н, д Б (А) |
|--------|--------------|------------|------------------------------|--------|----------|---------|-------------------|
| Тип ВС | ТИЯ | Взлет/ | , | Сан | ПиН | ГО | CT |
| | (день/ночь) | посадка | дБ(А) | День | Ночь | День | Ночь |
| 3 | 15:35 (день) | посадка | 65 | 70 | - | 85 | - |
| 4 | 15:52 (день) | посадка | 55 | 70 | - | 85 | - |
| 5 | 15:59 (день) | посадка | 64 | 70 | - | 85 | - |
| 6 | 16:04 (день) | посадка | 62 | 70 | - | 85 | - |
| 7 | 16:17 (день) | посадка | 61 | 70 | - | 85 | - |
| 8 | 16:37 (день) | посадка | 54 | 70 | - | 85 | - |
| 9 | 16:40 (день) | посадка | 52 | 70 | - | 85 | - |
| 10 | 16:50 (день) | посадка | 60 | 70 | - | 85 | - |
| 11 | 17:29 (день) | посадка | 64 | 70 | - | 85 | - |
| 12 | 18:34 (день) | посадка | 60 | 70 | - | 85 | -, |
| 13 | 18:46 (день) | посадка | 55 | 70 | - | 85 | - |
| 14 | 18:47 (день) | посадка | 60 | 70 | - | 85 | - |
| A320 | | | 55-65 | | | | |
| 1 | 15:04 (день) | посадка | 62 | 70 | - | 85 | - |
| 2 | 15:32 (день) | посадка | 61 | 70 | - | 85 | - |
| 3 | 15:48 (день) | посадка | 56 | 70 | - | 85 | - |
| 4 | 16:23 (день) | посадка | 64 | 70 | - | 85 | - |
| 5 | 16:29 (день) | посадка | 65 | 70 | - | 85 | - |
| 6 | 16:45 (день) | посадка | 57 | 70 | - | 85 | - |
| 7 | 16:59 (день) | посадка | 59 | 70 | - | 85 | - |
| 8 | 17:03 (день) | посадка | 57 | 70 | - | 85 | - |
| 9 | 17:06 (день) | посадка | 56 | 70 | - | 85 | - |
| 10 | 18:06 (день) | посадка | 58 | 70 | - | 85 | - |
| 11 | 18:42 (день) | посадка | 55 | 70 | - | 85 | - |
| B735 | | | 59-65 | | | | |
| 1 | 18:26 (день) | посадка | 59 | 70 | - | 85 | - |
| 2 | 18:28 (день) | посадка | 62 | 70 | - | 85 | - |
| 3 | 18:31 (день) | посадка | 65 | 70 | - | 85 | - |
| AN-148 | | | 60-68 | | | | |
| 1 | 15:26 (день) | посадка | 63 | 70 | - | 85 | - |
| 2 | 16:07 (день) | посадка | 68 | 70 | - | 85 | - |
| 3 | 16:11 (день) | посадка | 60 | 70 | - | 85 | - |
| CRJ2 | | | 59 | | | | |
| 1 | 17:49 (день) | посадка | 59 | 70 | - | 85 | - |
| | • | 14.03.2019 | 15:00-1 | 9:00 | | | |
| A319 | | | 58-70 | | | | |
| 1 | 15:44 (день) | взлет | 65 | 70 | - | 85 | _ |
| 2 | 15:47 (день) | взлет | 63 | 70 | - | 85 | - |
| 3 | 15:52 (день) | взлет | 67 | 70 | - | 85 | - . |

| | Время собы- | D / | $oldsymbol{L_{A	ext{Makc}}}$ | Нормат | гивные з | вначения | ı, д Б (А) |
|--------|--------------|------------|------------------------------|--------|----------|----------|-------------------|
| Тип ВС | ТИЯ | Взлет/ | , | | ПиН | | CT |
| | (день/ночь) | посадка | дБ(А) | День | Ночь | День | Ночь |
| 4 | 16:15 (день) | взлет | 65 | 70 | - | 85 | - |
| 5 | 17:21 (день) | взлет | 59 | 70 | - | 85 | - |
| 6 | 17:32 (день) | взлет | 62 | 70 | - | 85 | - |
| 7 | 17:36 (день) | взлет | 58 | 70 | - | 85 | - |
| 8 | 17:41 (день) | взлет | 63 | 70 | - | 85 | - |
| 9 | 17:43 (день) | взлет | 59 | 70 | - | 85 | - |
| 10 | 18:05 (день) | взлет | 70 | 70 | - | 85 | - |
| A320 | | | 60-77 | | | | |
| 1 | 16:33 (день) | взлет | 60 | 70 | - | 85 | - |
| 2 | 16:42 (день) | взлет | 65 | 70 | - | 85 | - |
| 3 | 18:12 (день) | взлет | 77 | 70 | - | 85 | - |
| 4 | 18:27 (день) | взлет | 64 | 70 | - | 85 | - |
| 5 | 18:32 (день) | взлет | 62 | 70 | - | 85 | - |
| A321 | | | 69-74 | | | | |
| 1 | 15:29 (день) | взлет | 74 | 70 | - | 85 | - |
| 2 | 18:39 (день) | взлет | 69 | 70 | - | 85 | - |
| B735 | | | 59-66 | | | | |
| 1 | 15:38 (день) | взлет | 59 | 70 | - | 85 | - |
| 2 | 16:24 (день) | взлет | 64 | 70 | - | 85 | - |
| 3 | 18:37 (день) | взлет | 66 | 70 | - | 85 | - |
| B738 | | | 71 | | | | |
| 1 | 18:35 (день) | взлет | 71 | 70 | - | 85 | - |
| AN-148 | | | 57-63 | | | | |
| 1 | 15:53 (день) | взлет | 57 | 70 | - | 85 | - |
| 2 | 17:25 (день) | взлет | 63 | 70 | - | 85 | - |
| CRJ2 | | | 60 | - | | _ | |
| 1 | 15:05 (день) | взлет | 60 | 70 | - | 85 | - |
| | | 06.05.2019 | | 7.00 | | | |
| B738 | (10/ | | 55 | | | | |
| 1 | 6:18 (ночь) | посадка | 55 | - | 60 | - | 75 |
| AN-148 | (04/ | | 60-62 | | 60 | | 7.7 |
| 1 | 6:24 (ночь) | посадка | 60 | - | 60 | - | 75 |
| 2 | 6:35 (ночь) | посадка | 62 | - | 60 | - | 75 |
| 4210 | | 06.05.2019 | | y.UU | | | |
| A319 | 15.05 (| | 61-69 | 70 | | 0.5 | |
| | 15:25 (день) | взлет | 69 | 70 | - | 85 | - |
| 2 | 15:39 (день) | взлет | 67 | 70 | - | 85 | - |
| 3 | 15:54 (день) | взлет | 61 | 70 | - | 85 | - |
| 4 | 17:22 (день) | взлет | 67 | 70 | - | 85 | - |

| | Время собы- | D / | $oldsymbol{L_{A	ext{Makc}}}$ | Нормат | гивные з | начения | ı, д Б (А) |
|--------|--------------|--------------|------------------------------|-----------|----------|----------|-------------------|
| Тип ВС | ТИЯ | Взлет/ | , | Сан | ПиН | ГО | CT |
| | (день/ночь) | посадка | дБ(А) | День | Ночь | День | Ночь |
| 5 | 18:23 (день) | взлет | 62 | 70 | - | 85 | - |
| A320 | V | | 60-71 | | | | |
| 1 | 16:27 (день) | взлет | 69 | 70 | - | 85 | - |
| 2 | 16:30 (день) | взлет | 60 | 70 | - | 85 | - |
| 3 | 16:43 (день) | взлет | 67 | 70 | - | 85 | - |
| 4 | 17:44 (день) | взлет | 71 | 70 | - | 85 | - |
| 5 | 17:47 (день) | взлет | 67 | 70 | - | 85 | - |
| A321 | | | 61-67 | | | | |
| 1 | 16:58 (день) | взлет | 61 | 70 | - | 85 | - |
| 2 | 18:39 (день) | взлет | 67 | 70 | - | 85 | - |
| B738 | | | 60-65 | | | | |
| 1 | 16:11 (день) | взлет | 65 | 70 | - | 85 | - |
| 2 | 16:41 (день) | взлет | 60 | 70 | - | 85 | - |
| AN-148 | | | 59-72 | | | | |
| 1 | 16:32 (день) | взлет | 72 | 70 | - | 85 | - |
| 2 | 16:49 (день) | взлет | 69 | 70 | - | 85 | - |
| 3 | 17:30 (день) | взлет | 59 | 70 | - | 85 | - |
| | 14.0 | 5.2019-15.05 | 5.2019 23 | 3.00-01.0 | 0 | | _ |
| A321 | | | 68 | | | | |
| 1 | 23:03 (ночь) | взлет | 68 | - | 60 | - | 75 |
| AN-148 | | | 58-66 | | | | |
| 1 | 23:35 (ночь) | взлет | 66 | - | 60 | - | 75 |
| 2 | 0:24 (ночь) | взлет | 64 | - | 60 | - | 75 |
| 3 | 0:38 (ночь) | взлет | 58 | - | 60 | - | 75 |
| | | 16.05.2019 | 15.00-1 | 9.00 | | . | 1 |
| A319 | | | 54-64 | | | | |
| 1 | 15:29 (день) | взлет | 60 | 70 | - | 85 | - |
| 2 | 16:09 (день) | взлет | 64 | 70 | - | 85 | - |
| 3 | 16:48 (день) | взлет | 62 | 70 | - | 85 | - |
| 4 | 17:20 (день) | взлет | 61 | 70 | - | 85 | - |
| 5 | 17:35 (день) | взлет | 63 | 70 | - | 85 | - |
| 6 | 17:48 (день) | взлет | 64 | 70 | - | 85 | - |
| 7 | 18:04 (день) | взлет | 54 | 70 | - | 85 | - |
| A320 | | | 60-68 | | | | |
| 1 | 15:15 (день) | взлет | 68 | 70 | - | 85 | - |
| 2 | 15:34 (день) | взлет | 66 | 70 | - | 85 | - |
| 3 | 16:34 (день) | взлет | 63 | 70 | - | 85 | - |
| 4 | 16:37 (день) | взлет | 60 | 70 | - | 85 | - |
| 5 | 17:38 (день) | взлет | 63 | 70 | - | 85 | - |

| | Время собы- | D / | $L_{A	ext{Makc}}$ | Нормат | гивные з | вначения | н, дБ(А) |
|--------|--------------|---------|-------------------|--------|----------|----------|-----------------|
| Тип ВС | ТИЯ | Взлет/ | , | Сан | ПиН | ГО | CT |
| | (день/ночь) | посадка | дБ(А) | День | Ночь | День | Ночь |
| 6 | 18:24 (день) | взлет | 60 | 70 | - | 85 | - |
| A321 | | | 60-64 | | | | |
| 1 | 16:20 (день) | взлет | 64 | 70 | - | 85 | - |
| 2 | 17:07 (день) | взлет | 63 | 70 | - | 85 | - |
| 3 | 17:44 (день) | взлет | 60 | 70 | - | 85 | - |
| 4 | 18:43 (день) | взлет | 64 | 70 | - | 85 | - |
| B735 | | | 58 | | | | |
| 1 | 16:02 (день) | взлет | 58 | 70 | - | 85 | - |
| B738 | | | 58-65 | | | | |
| 1 | 16:12 (день) | взлет | 65 | 70 | - | 85 | - |
| 2 | 16:51 (день) | взлет | 58 | 70 | - | 85 | - |
| 3 | 17:03 (день) | взлет | 64 | 70 | - | 85 | - |
| AN-148 | | | 61-66 | | | | |
| 1 | 16:05 (день) | взлет | 63 | 70 | - | 85 | - |
| 2 | 16:22 (день) | взлет | 61 | 70 | - | 85 | - |
| 3 | 16:38 (день) | взлет | 66 | 70 | - | 85 | - |
| 4 | 17:33 (день) | взлет | 63 | 70 | - | 85 | - |
| CRJ2 | | | 57-60 | | | | |
| 1 | 15:24 (день) | взлет | 57 | 70 | - | 85 | - |
| 2 | 16:00 (день) | взлет | 59 | 70 | - | 85 | - |
| 3 | 17:00 (день) | взлет | 57 | 70 | - | 85 | - |
| 4 | 17:05 (день) | взлет | 59 | 70 | - | 85 | - |
| 5 | 18:27 (день) | взлет | 60 | 70 | - | 85 | - |

Таблица Б.4 – Результаты проведения мониторинга в точке №4 (пос. Ленсоветовский, д. 15, лит. A).

| | Время собы- | Взлет/ | $\boldsymbol{L_{A}}_{	ext{Makc}}$ | Нормат | гивные з | начения | т, дБ(А) | | |
|------------------------|--------------|---------|-----------------------------------|--------|----------|---------|-----------------|--|--|
| Тип ВС | тия | | , | Сан | ПиН | ГО | CT | | |
| | (день/ночь) | посадка | дБ(А) | День | Ночь | День | Ночь | | |
| 04.03.2019 15:00-19:00 | | | | | | | | | |
| A319 | | | 51-60 | | | | | | |
| 1 | 15:17 (день) | посадка | 57 | 70 | ı | 85 | - | | |
| 2 | 16:01 (день) | посадка | 51 | 70 | ı | 85 | - | | |
| 3 | 16:13 (день) | посадка | 55 | 70 | ı | 85 | - | | |
| 4 | 16:16 (день) | посадка | 55 | 70 | ı | 85 | - | | |
| 5 | 16:19 (день) | посадка | 60 | 70 | - | 85 | - | | |
| 6 | 16:24 (день) | посадка | 57 | 70 | - | 85 | - | | |
| 7 | 16:26 (день) | посадка | 59 | 70 | - | 85 | - | | |

| | Время собы- | D / | $oldsymbol{L_{A	ext{Makc}}}$ | Нормат | гивные з | значения | н, д Б (А) |
|--------|--------------|------------|------------------------------|--------|----------|----------|-------------------|
| Тип ВС | тия | Взлет/ | , | | ПиН | ı | CT |
| | (день/ночь) | посадка | дБ(А) | День | Ночь | День | Ночь |
| 8 | 16:42 (день) | посадка | 57 | 70 | - | 85 | - |
| 9 | 16:49 (день) | посадка | 54 | 70 | - | 85 | - |
| 10 | 17:44 (день) | посадка | 57 | 70 | - | 85 | - |
| 11 | 17:52 (день) | посадка | 60 | 70 | - | 85 | - |
| A320 | | | 50-66 | | | | |
| 1 | 15:57 (день) | посадка | 64 | 70 | - | 85 | - |
| 2 | 16:21 (день) | посадка | 66 | 70 | - | 85 | - |
| 3 | 16:44 (день) | посадка | 52 | 70 | - | 85 | - |
| 4 | 17:05 (день) | посадка | 50 | 70 | - | 85 | - |
| 5 | 17:38 (день) | посадка | 60 | 70 | - | 85 | - |
| 6 | 17:59 (день) | посадка | 62 | 70 | - | 85 | - |
| 7 | 18:08 (день) | посадка | 59 | 70 | - | 85 | - |
| 8 | 18:41 (день) | посадка | 60 | 70 | - | 85 | - |
| 9 | 18:49 (день) | посадка | 55 | 70 | - | 85 | - |
| A321 | | | 53-59 | | | | |
| 1 | 15:25 (день) | посадка | 59 | 70 | - | 85 | - |
| 2 | 17:07 (день) | посадка | 56 | 70 | - | 85 | - |
| 3 | 18:19 (день) | посадка | 53 | 70 | - | 85 | - |
| AN-148 | | | 57-60 | | | | |
| 1 | 15:31 (день) | посадка | 60 | 70 | - | 85 | - |
| 2 | 16:10 (день) | посадка | 57 | 70 | - | 85 | - |
| 3 | 18:52 (день) | посадка | 57 | 70 | - | 85 | - |
| B735 | | | 62 | | | | |
| 1 | 19:00 (день) | посадка | 62 | 70 | - | 85 | - |
| CRJ2 | | | 61 | | | | |
| 1 | 16:47 (день) | посадка | 61 | 70 | - | 85 | - |
| | | 06.03.2019 | 23:00-0 | 1:00 | | | _ |
| A320 | | | 63 | | | | |
| 1 | 23:33 (ночь) | взлет | 63 | - | 60 | - | 75 |
| AN-148 | | | 57-64 | | | | |
| 1 | 23:59 (ночь) | взлет | 59 | _ | 60 | - | 75 |
| 2 | 00:47 (ночь) | взлет | 57 | - | 60 | - | 75 |
| 3 | 00:56 (ночь) | взлет | 64 | - | 60 | - | 75 |
| | | 13.03.2019 | | 9:00 | | | |
| A319 | | | 58-63 | | | | |
| 1 | 15:53 (день) | посадка | 60 | 70 | - | 85 | - |
| 2 | 16:33 (день) | посадка | 63 | 70 | - | 85 | - |
| 3 | 16:56 (день) | посадка | 58 | 70 | - | 85 | - |
| A320 | | | 57-62 | | | | |

| | Время собы- | D / | $oldsymbol{L_{A	ext{Makc}}}$ | Нормат | гивные з | значения | , д Б (А) |
|--------|--------------|------------|------------------------------|--------|----------|----------|------------------|
| Тип ВС | ТИЯ | Взлет/ | AMarc | Сан | ПиН | ГО | CT |
| | (день/ночь) | посадка | д Б (A) | День | Ночь | День | Ночь |
| 1 | 15:13 (день) | посадка | 62 | 70 | - | 85 | - |
| 2 | 15:35 (день) | посадка | 58 | 70 | - | 85 | - |
| 3 | 17:15 (день) | посадка | 57 | 70 | - | 85 | - |
| 4 | 17:18 (день) | посадка | 61 | 70 | - | 85 | - |
| 5 | 18:44 (день) | посадка | 59 | 70 | - | 85 | - |
| A321 | | | 55-60 | | | | |
| 1 | 17:10 (день) | посадка | 58 | 70 | - | 85 | - |
| 2 | 17:12 (день) | посадка | 55 | 70 | - | 85 | - |
| 3 | 18:30 (день) | посадка | 60 | 70 | - | 85 | - |
| AN-148 | | | 51-67 | | | | |
| 1 | 15:48 (день) | посадка | 61 | 70 | - | 85 | - |
| 2 | 16:19 (день) | посадка | 51 | 70 | - | 85 | - |
| 3 | 18:00 (день) | посадка | 64 | 70 | - | 85 | - |
| 4 | 18:36 (день) | посадка | 67 | 70 | - | 85 | - |
| B735 | | | 54-68 | | | | |
| 1 | 16:34 (день) | посадка | 57 | 70 | - | 85 | - |
| 2 | 17:06 (день) | посадка | 68 | 70 | - | 85 | - |
| 3 | 18:28 (день) | посадка | 54 | 70 | - | 85 | - |
| 4 | 19:00 (день) | посадка | 60 | 70 | - | 85 | - |
| B738 | | | 67 | | | | |
| 1 | 18:11 (день) | посадка | 67 | 70 | - | 85 | - |
| CRJ2 | | | 52 | | | | |
| 1 | 15:11 (день) | посадка | 52 | 70 | - | 85 | - |
| | | 14.03.2019 | 05:00-0 | 7:00 | | | |
| A321 | | | 59 | | | | |
| 1 | 06:04 (ночь) | посадка | 59 | - | 60 | - | 75 |
| AN-148 | | | 47-49 | | | | |
| 1 | 06:15 (ночь) | посадка | 47 | - | 60 | - | 75 |
| 2 | 06:30 (ночь) | посадка | 49 | - | 60 | - | 75 |
| | | 08.05.2019 | 05:00-0 | 7:00 | | | |
| A319 | | | 63 | | | | |
| 1 | 05:27 (ночь) | взлет | 63 | - | 60 | - | 75 |
| A320 | | | 66 | | | | |
| 1 | 05:55 (ночь) | взлет | 64 | _ | 60 | | 75 |
| A321 | | | 61-64 | | | | |
| 1 | 05:03 (ночь) | взлет | 62 | _ | 60 | - | 75 |
| 2 | 05:41 (ночь) | взлет | 61 | | 60 | | 75 |
| 3 | 06:11 (ночь) | взлет | 64 | _ | 60 | | 75 |
| B735 | | | 58 | | | | |

| | Время собы- | D / | $oldsymbol{L_{A	ext{Makc}}}$ | Нормат | гивные з | начения | , д Б (A) |
|--------|--------------|------------|------------------------------|--------|----------|---------|----------------------------------|
| Тип ВС | тия | Взлет/ | 9 | Сан | ПиН | ГО | CT |
| | (день/ночь) | посадка | дБ(А) | День | Ночь | День | Ночь |
| 1 | 06:20 (ночь) | взлет | 58 | - | 60 | - | 75 |
| | | 15.05.2019 | 15:00-1 | 9:00 | | | |
| A319 | | | 60-76 | | | | |
| 1 | 15:48 (день) | взлет | 76 | 70 | - | 85 | - |
| 2 | 17:23 (день) | взлет | 60 | 70 | - | 85 | - |
| A320 | | | 61-73 | | | | |
| 1 | 15:12 (день) | взлет | 61 | 70 | - | 85 | - |
| 2 | 16:17 (день) | взлет | 73 | 70 | - | 85 | - |
| 3 | 16:27 (день) | взлет | 62 | 70 | - | 85 | - |
| 4 | 16:49 (день) | взлет | 68 | 70 | - | 85 | - |
| 5 | 17:39 (день) | взлет | 70 | 70 | - | 85 | - |
| A321 | | | 66-72 | | | | |
| 1 | 15:00 (день) | взлет | 66 | 70 | - | 85 | - |
| 2 | 15:17 (день) | взлет | 69 | 70 | - | 85 | - |
| 3 | 16:12 (день) | взлет | 70 | 70 | - | 85 | - |
| 4 | 17:02 (день) | взлет | 72 | 70 | - | 85 | - |
| 5 | 17:34 (день) | взлет | 72 | 70 | - | 85 | - |
| B735 | | | 75 | | | | |
| 1 | 16:02 (день) | взлет | 75 | 70 | - | 85 | - |
| B738 | | | 67-72 | | | | |
| 1 | 16:32 (день) | взлет | 67 | 70 | - | 85 | - |
| 2 | 16:37 (день) | взлет | 72 | 70 | - | 85 | - |
| AN-148 | | | 68-76 | | | | |
| 1 | 16:19 (день) | взлет | 76 | 70 | - | 85 | - |
| 2 | 16:35 (день) | взлет | 68 | 70 | - | 85 | - |
| 3 | 17:25 (день) | взлет | 69 | 70 | - | 85 | - |
| | 1 | 15.05.2019 | 23:00-0 | 1:00 | 1 | | |
| A319 | | | 64 | | | | |
| 1 | 23:00 (ночь) | посадка | 64 | - | 60 | - | 75 |
| A321 | | | 66 | | | | |
| 1 | 23:12 (ночь) | посадка | 66 | - | 60 | - | 75 |
| CRJ2 | | | 58 | | | | |
| 1 | 23:03 (ночь) | посадка | 58 | - | 60 | - | 75 |
| A320 | | | 62 | | | | |
| 1 | 23:52 (ночь) | посадка | 62 | - | 60 | - | 75 |
| AN-148 | | | 67-70 | | | | |
| 1 | 23:48 (ночь) | взлет | 67 | - | 60 | - | 75 |
| 2 | 00:34 (ночь) | взлет | 68 | - | 60 | _ | 75 |
| 3 | 00:39 (ночь) | взлет | 70 | - | 60 | - | 75 |

| | Время собы- | D/ | L_{A макс | Нормат | гивные з | начения | н, д Б (А) |
|--------|--------------|------------|-------------|--------|----------|---------|-------------------|
| Тип ВС | ТИЯ | Взлет/ | , | Сан | ПиН | ГО | СТ |
| | (день/ночь) | посадка | дБ(А) | День | Ночь | День | Ночь |
| | | 17.05.2019 | 15:00-1 | 9:00 | • | • | - |
| A319 | | | 65-71 | | | | |
| 1 | 15:23 (день) | взлет | 69 | 70 | - | 85 | - |
| 2 | 18:01 (день) | взлет | 71 | 70 | - | 85 | - |
| 3 | 18:13 (день) | взлет | 68 | 70 | - | 85 | - |
| 4 | 18:23 (день) | взлет | 65 | 70 | - | 85 | - |
| A320 | | | 59-69 | | | | |
| 1 | 15:10 (день) | взлет | 64 | 70 | - | 85 | - |
| 2 | 15:20 (день) | взлет | 63 | 70 | - | 85 | - |
| 3 | 17:30 (день) | взлет | 64 | 70 | - | 85 | - |
| 4 | 17:38 (день) | взлет | 69 | 70 | - | 85 | - |
| 5 | 17:47 (день) | взлет | 67 | 70 | - | 85 | - |
| 6 | 18:35 (день) | взлет | 59 | 70 | - | 85 | - |
| 7 | 19:00 (день) | взлет | 63 | 70 | - | 85 | - |
| A321 | | | 59-75 | | | | |
| 1 | 15:40 (день) | взлет | 75 | 70 | - | 85 | - |
| 2 | 16:41 (день) | взлет | 59 | 70 | - | 85 | - |
| 3 | 18:21 (день) | взлет | 68 | 70 | - | 85 | - |
| 4 | 18:33 (день) | взлет | 66 | 70 | - | 85 | - |
| 5 | 18:47 (день) | взлет | 63 | 70 | - | 85 | - |
| B738 | | | 65 | | | | |
| 1 | 16:04 (день) | взлет | 65 | 70 | - | 85 | - |
| B735 | | | 71 | | | | |
| 1 | 16:07 (день) | взлет | 71 | 70 | - | 85 | - |
| AN-148 | | | 61-64 | | | | |
| 1 | 16:38 (день) | взлет | 64 | 70 | - | 85 | - |
| 2 | 17:56 (день) | взлет | 63 | 70 | | 85 | |
| 3 | 18:27 (день) | взлет | 61 | 70 | - | 85 | _ |
| CRJ2 | | | 69-70 | | | | |
| 1 | 15:47 (день) | взлет | 69 | 70 | - | 85 | _ |
| 2 | 18:08 (день) | взлет | 70 | 70 | _ | 85 | _ |

Таблица Б.5 – Результаты проведения мониторинга в точке №5 (г. Пушкин, Детскосельский бульвар, д. 9).

| | Время собы- | В ажеж/ | $L_{A_{ m MAKC}}$ | Нормативные значения, дБ(А) | | | | |
|----------|-------------|-------------------|-------------------|-----------------------------|------|------|------|--|
| Тип ВС | ТИЯ | Взлет/ посадка | , | Сан | ПиН | ГО | CT | |
| (день/но | (день/ночь) | | дБ(А) | День | Ночь | День | Ночь | |
| | | 04.03.2019 | 15:00-1 | 9:00 | - | • | | |
| A319 | | | 48-59 | | | | | |

| | Время собы- | D / | L_{A макс | Нормат | гивные з | значения | , д Б (А) |
|--------|--------------|------------|----------------|--------|----------|----------|------------------|
| Тип ВС | ТИЯ | Взлет/ | Amarc | Сан | ПиН | ГО | CT |
| | (день/ночь) | посадка | д Б (A) | День | Ночь | День | Ночь |
| 1 | 15:17 (день) | посадка | 52 | 70 | - | 85 | - |
| 2 | 16:01 (день) | посадка | 48 | 70 | - | 85 | - |
| 3 | 16:13 (день) | посадка | 51 | 70 | - | 85 | - |
| 4 | 16:16 (день) | посадка | 51 | 70 | - | 85 | - |
| 5 | 16:19 (день) | посадка | 53 | 70 | - | 85 | - |
| 6 | 16:24 (день) | посадка | 52 | 70 | - | 85 | - |
| 7 | 16:26 (день) | посадка | 54 | 70 | - | 85 | - |
| 8 | 16:42 (день) | посадка | 53 | 70 | - | 85 | - |
| 9 | 16:49 (день) | посадка | 56 | 70 | - | 85 | - |
| 10 | 17:44 (день) | посадка | 58 | 70 | - | 85 | - |
| 11 | 17:52 (день) | посадка | 59 | 70 | - | 85 | - |
| A320 | | | 48-59 | | | | |
| 1 | 15:57 (день) | посадка | 48 | 70 | - | 85 | - |
| 2 | 16:21 (день) | посадка | 49 | 70 | - | 85 | - |
| 3 | 16:44 (день) | посадка | 55 | 70 | - | 85 | - |
| 4 | 17:05 (день) | посадка | 60 | 70 | - | 85 | - |
| 5 | 17:38 (день) | посадка | 59 | 70 | - | 85 | - |
| 6 | 17:59 (день) | посадка | 56 | 70 | - | 85 | - |
| 7 | 18:08 (день) | посадка | 54 | 70 | - | 85 | - |
| 8 | 18:41 (день) | посадка | 56 | 70 | - | 85 | - |
| 9 | 18:49 (день) | посадка | 50 | 70 | - | 85 | - |
| A321 | | | 50-57 | | | | |
| 1 | 15:25 (день) | посадка | 50 | 70 | - | 85 | - |
| 2 | 17:07 (день) | посадка | 54 | 70 | - | 85 | - |
| 3 | 18:19 (день) | посадка | 57 | 70 | - | 85 | - |
| AN-148 | | | 50-52 | | | | |
| 1 | 15:31 (день) | посадка | 50 | 70 | - | 85 | - |
| 2 | 16:10 (день) | посадка | 52 | 70 | - | 85 | - |
| 3 | 18:52 (день) | посадка | 51 | 70 | - | 85 | - |
| B735 | | | 54 | | | | |
| 1 | 19:00 (день) | посадка | 54 | 70 | - | 85 | - |
| CRJ2 | | | 52 | | | | |
| 1 | 16:47 (день) | посадка | 52 | 70 | - | 85 | - |
| | | 06.03.2019 | 23:00-0 | 1:00 | | _ | _ |
| A320 | | | 57 | | | | |
| 1 | 23:33 (ночь) | взлет | 57 | - | 60 | - | 75 |
| AN-148 | | | 57-64 | | | | |
| 1 | 23:59 (ночь) | взлет | 59 | - | 60 | - | 75 |
| 2 | 00:47 (ночь) | взлет | 57 | - | 60 | - | 75 |

| | Время собы- | Валот/ | L_{A макс | Нормат | гивные з | начения | н, дБ(А) |
|--------|--------------|------------|-------------|--------|----------|---------|-----------------|
| Тип ВС | ТИЯ | Взлет/ | , | Сан | ПиН | ГО | CT |
| | (день/ночь) | посадка | дБ(А) | День | Ночь | День | Ночь |
| 3 | 00:56 (ночь) | взлет | 64 | - | 60 | - | 75 |
| | | 13.03.2019 | 15:00-1 | 9:00 | | | |
| A319 | | | 52-54 | | | | |
| 1 | 15:53 (день) | посадка | 52 | 70 | - | 85 | - |
| 2 | 16:33 (день) | посадка | 53 | 70 | - | 85 | - |
| 3 | 16:56 (день) | посадка | 54 | 70 | - | 85 | - |
| A320 | | | 48-55 | | | | |
| 1 | 15:13 (день) | посадка | 51 | 70 | - | 85 | - |
| 2 | 15:35 (день) | посадка | 55 | 70 | - | 85 | - |
| 3 | 17:15 (день) | посадка | 48 | 70 | - | 85 | - |
| 4 | 17:18 (день) | посадка | 53 | 70 | - | 85 | - |
| 5 | 18:44 (день) | посадка | 53 | 70 | - | 85 | - |
| A321 | | | 50-55 | | | | |
| 1 | 17:10 (день) | посадка | 54 | 70 | - | 85 | - |
| 2 | 17:12 (день) | посадка | 50 | 70 | - | 85 | - |
| 3 | 18:30 (день) | посадка | 55 | 70 | - | 85 | - |
| AN-148 | | | 50-61 | | | | |
| 1 | 15:48 (день) | посадка | 57 | 70 | - | 85 | - |
| 2 | 16:19 (день) | посадка | 52 | 70 | - | 85 | - |
| 3 | 18:00 (день) | посадка | 61 | 70 | - | 85 | - |
| 4 | 18:36 (день) | посадка | 50 | 70 | - | 85 | - |
| B735 | | | 47-56 | | | | |
| 1 | 16:34 (день) | посадка | 55 | 70 | - | 85 | - |
| 2 | 17:06 (день) | посадка | 56 | 70 | - | 85 | - |
| 3 | 18:28 (день) | посадка | 47 | 70 | - | 85 | - |
| 4 | 19:00 (день) | посадка | 51 | 70 | - | 85 | - |
| B738 | | | 59 | | | | |
| 1 | 18:11 (день) | посадка | 59 | 70 | - | 85 | - |
| CRJ2 | | | 49 | | | | |
| 1 | 15:11 (день) | посадка | 49 | 70 | - | 85 | - |
| | | 14.03.2019 | 05:00-0 | 7:00 | - | - | • |
| A321 | | | 53 | | | | |
| 1 | 06:04 (ночь) | посадка | 53 | - | 60 | - | 75 |
| AN-148 | | | 52-51 | | | | |
| 1 | 06:15 (ночь) | посадка | 52 | _ | 60 | - | 75 |
| 2 | 06:30 (ночь) | посадка | 51 | _ | 60 | _ | 75 |
| | | 08.05.2019 | 05:00-0 | 7:00 | - | - | • |
| A319 | | | 52 | | | | |
| 1 | 05:27 (ночь) | взлет | 52 | _ | 60 | _ | 75 |

| | Время собы- | D / | $\boldsymbol{L_{A}}_{Makc}$ | Нормат | гивные з | значения | ı, д Б (А) | |
|--------|--------------|------------|-----------------------------|-----------|----------|----------|-------------------|--|
| Тип ВС | ТИЯ | Взлет/ | -Amarc | | ПиН | | CT | |
| | (день/ночь) | посадка | дБ(А) | День | Ночь | День | Ночь | |
| A320 | | | 53 | | | , . | | |
| 1 | 05:55 (ночь) | взлет | 53 | - | 60 | - | 75 | |
| A321 | , , | | 51-54 | | | | | |
| 1 | 05:03 (ночь) | взлет | 54 | - | 60 | - | 75 | |
| 2 | 05:41 (ночь) | взлет | 51 | - | 60 | - | 75 | |
| 3 | 06:11 (ночь) | взлет | 41 | - | 60 | - | 75 | |
| B735 | | | 56 | | | | | |
| 1 | 06:20 (ночь) | взлет | 56 | - | 60 | - | 75 | |
| | | 15.05.2019 | 15:00-1 | :00-19:00 | | | | |
| A319 | | | 52-58 | | | | | |
| 1 | 15:48 (день) | взлет | 58 | 70 | - | 85 | - | |
| 2 | 17:23 (день) | взлет | 52 | 70 | - | 85 | - | |
| A320 | | | 52-59 | | | | | |
| 1 | 15:12 (день) | взлет | 52 | 70 | - | 85 | - | |
| 2 | 16:17 (день) | взлет | 57 | 70 | - | 85 | - | |
| 3 | 16:27 (день) | взлет | 59 | 70 | - | 85 | - | |
| 4 | 16:49 (день) | взлет | 59 | 70 | - | 85 | - | |
| 5 | 17:39 (день) | взлет | 56 | 70 | - | 85 | - | |
| A321 | | | 51-60 | | | | | |
| 1 | 15:00 (день) | взлет | 51 | 70 | - | 85 | - | |
| 2 | 15:17 (день) | взлет | 55 | 70 | - | 85 | - | |
| 3 | 16:12 (день) | взлет | 59 | 70 | - | 85 | - | |
| 4 | 17:02 (день) | взлет | 51 | 70 | - | 85 | - | |
| 5 | 17:34 (день) | взлет | 60 | 70 | - | 85 | - | |
| B735 | | | 57 | | | | | |
| 1 | 16:02 (день) | взлет | 57 | 70 | - | 85 | - | |
| B738 | | | 55 | | | | | |
| 1 | 16:32 (день) | взлет | 55 | 70 | - | 85 | - | |
| 2 | 16:37 (день) | взлет | 55 | 70 | - | 85 | - | |
| AN-148 | | | 54-59 | | | | | |
| 1 | 16:19 (день) | взлет | 54 | 70 | - | 85 | - | |
| 2 | 16:35 (день) | взлет | 54 | 70 | - | 85 | - | |
| 3 | 17:25 (день) | взлет | 59 | 70 | - | 85 | - | |
| | | 15.05.2019 | | 1:00 | | | 1 | |
| A319 | | | 48 | | | | | |
| 1 | 23:00 (ночь) | посадка | 48 | - | 60 | - | 75 | |
| A321 | | | 48 | | | | | |
| 1 | 23:12 (ночь) | посадка | 48 | - | 60 | - | 75 | |
| CRJ2 | | | 47 | | | | | |

| | Время собы- | D / | L_{A макс | Нормат | гивные з | вначения | , д Б (А) |
|--------|--------------|------------|-------------|--------|----------|----------|------------------|
| Тип ВС | тия | Взлет/ | , | Сан | ПиН | ГО | CT |
| | (день/ночь) | посадка | дБ(А) | День | Ночь | День | Ночь |
| 1 | 23:03 (ночь) | посадка | 47 | - | 60 | - | 75 |
| A320 | | | 57 | | | | |
| 1 | 23:52 (ночь) | посадка | 57 | - | 60 | - | 75 |
| AN-148 | | | 53-57 | | | | |
| 1 | 23:48 (ночь) | взлет | 53 | - | 60 | - | 75 |
| 2 | 00:34 (ночь) | взлет | 57 | - | 60 | - | 75 |
| 3 | 00:39 (ночь) | взлет | 54 | - | 60 | - | 75 |
| | | 17.05.2019 | 15:00-1 | 9:00 | | | |
| A319 | | | 52-58 | | | | |
| 1 | 15:23 (день) | взлет | 56 | 70 | - | 85 | - |
| 2 | 18:01 (день) | взлет | 57 | 70 | - | 85 | - |
| 3 | 18:13 (день) | взлет | 58 | 70 | - | 85 | - |
| 4 | 18:23 (день) | взлет | 52 | 70 | - | 85 | - |
| A320 | | | 51-57 | | | | |
| 1 | 15:10 (день) | взлет | 51 | 70 | - | 85 | - |
| 2 | 15:20 (день) | взлет | 55 | 70 | - | 85 | - |
| 3 | 17:30 (день) | взлет | 56 | 70 | - | 85 | - |
| 4 | 17:38 (день) | взлет | 57 | 70 | - | 85 | - |
| 5 | 17:47 (день) | взлет | 53 | 70 | - | 85 | - |
| 6 | 18:35 (день) | взлет | 52 | 70 | - | 85 | - |
| 7 | 19:00 (день) | взлет | 52 | 70 | - | 85 | - |
| A321 | | | 50-55 | | | | |
| 1 | 15:40 (день) | взлет | 50 | 70 | - | 85 | - |
| 2 | 16:41 (день) | взлет | 53 | 70 | - | 85 | - |
| 3 | 18:21 (день) | взлет | 55 | 70 | - | 85 | - |
| 4 | 18:33 (день) | взлет | 54 | 70 | - | 85 | - |
| 5 | 18:47 (день) | взлет | 53 | 70 | - | 85 | - |
| B738 | | | 57 | | | | |
| 1 | 16:04 (день) | взлет | 57 | 70 | - | 85 | - |
| B735 | | | 57 | | | | |
| 1 | 16:07 (день) | взлет | 57 | 70 | - | 85 | - |
| AN-148 | | | 50-54 | | | | |
| 1 | 16:38 (день) | взлет | 54 | 70 | - | 85 | - |
| 2 | 17:56 (день) | взлет | 51 | 70 | - | 85 | - |
| 3 | 18:27 (день) | взлет | 50 | 70 | - | 85 | - |
| CRJ2 | | | 49-57 | | | | |
| 1 | 15:47 (день) | взлет | 57 | 70 | - | 85 | - |
| 2 | 18:08 (день) | взлет | 49 | 70 | - | 85 | - |

Таблица Б.6 – Результаты проведения мониторинга в точке №6 (д. Верхняя Колония).

| | Время собы- | D / | $oldsymbol{L_{A	ext{Makc}}}$ | Нормат | гивные з | начения | , д Б (А) | | |
|------------------------|--------------|------------|------------------------------|--------|----------|---------|-------------------------|--|--|
| Тип ВС | ТИЯ | Взлет/ | , , | Сан | ПиН | ГО | CT | | |
| | (день/ночь) | посадка | дБ(А) | День | Ночь | День | Ночь | | |
| | | 24.02.2019 | 23:00-0 | 1:00 | | | | | |
| AN-148 | | | 56-58 | | | | | | |
| 1 | 23:47 (ночь) | взлет | 56 | - | 60 | - | 75 | | |
| 2 | 00:42 (ночь) | взлет | 58 | - | 60 | - | 75 | | |
| 3 | 00:52 (ночь) | взлет | 56 | ı | 60 | ı | 75 | | |
| CRJ2 | | | 53 | | | | | | |
| 1 | 23:05 (ночь) | взлет | 53 | ı | 60 | ı | 75 | | |
| | | 25.02.2019 | 05:00-0 | 7:00 | | | | | |
| A319 | | | 54 | | | | | | |
| 1 | 05:25 (ночь) | взлет | 54 | ı | 60 | ı | 75 | | |
| A320 | | | 56 | | | | | | |
| 1 | 05:53 (ночь) | взлет | 56 | - | 60 | - | 75 | | |
| A321 | | | 58 | | | | | | |
| 1 | 06:19 (ночь) | взлет | 58 | - | 60 | - | 75 | | |
| 02.03.2019 15:00-19:00 | | | | | | | | | |
| A319 | | | 59-67 | | | | | | |
| 1 | 15:01 (день) | посадка | 66 | 70 | - | 85 | - | | |
| 2 | 15:13 (день) | посадка | 67 | 70 | - | 85 | - | | |
| 3 | 15:35 (день) | посадка | 61 | 70 | - | 85 | - | | |
| 4 | 15:52 (день) | посадка | 65 | 70 | - | 85 | - | | |
| 5 | 15:59 (день) | посадка | 59 | 70 | - | 85 | - | | |
| 6 | 16:04 (день) | посадка | 62 | 70 | - | 85 | - | | |
| 7 | 16:17 (день) | посадка | 65 | 70 | - | 85 | - | | |
| 8 | 16:37 (день) | посадка | 67 | 70 | | 85 | | | |
| 9 | 16:40 (день) | посадка | 63 | 70 | _ | 85 | - | | |
| 10 | 16:50 (день) | посадка | 64 | 70 | - | 85 | - | | |
| 11 | 17:29 (день) | посадка | 59 | 70 | - | 85 | - | | |
| 12 | 18:34 (день) | посадка | 64 | 70 | - | 85 | - | | |
| 13 | 18:46 (день) | посадка | 63 | 70 | - | 85 | - | | |
| 14 | 18:47 (день) | посадка | 65 | 70 | - | 85 | | | |
| A320 | | | 61-68 | | | | | | |
| 1 | 15:04 (день) | посадка | 64 | 70 | - | 85 | - | | |
| 2 | 15:32 (день) | посадка | 62 | 70 | - | 85 | - | | |
| 3 | 15:48 (день) | посадка | 68 | 70 | - | 85 | - | | |
| 4 | 16:23 (день) | посадка | 61 | 70 | - | 85 | - | | |
| 5 | 16:29 (день) | посадка | 62 | 70 | - | 85 | - | | |

| | Время собы- | D / | $oldsymbol{L_{A	ext{Makc}}}$ | Нормат | гивные з | начения | і, дБ(А) |
|--------|--------------|------------|------------------------------|--------|----------|---------|-----------------|
| Тип ВС | ТИЯ | Взлет/ | , | Сан | ПиН | ГО | CT |
| | (день/ночь) | посадка | дБ(А) | День | Ночь | День | Ночь |
| 6 | 16:45 (день) | посадка | 63 | 70 | - | 85 | - |
| 7 | 16:59 (день) | посадка | 61 | 70 | - | 85 | - |
| 8 | 17:03 (день) | посадка | 63 | 70 | - | 85 | - |
| 9 | 17:06 (день) | посадка | 64 | 70 | - | 85 | - |
| 10 | 18:06 (день) | посадка | 61 | 70 | - | 85 | - |
| 11 | 18:42 (день) | посадка | 61 | 70 | - | 85 | - |
| B735 | | | 60-67 | | | | |
| 1 | 18:26 (день) | посадка | 60 | 70 | - | 85 | - |
| 2 | 18:28 (день) | посадка | 65 | 70 | - | 85 | - |
| 3 | 18:31 (день) | посадка | 67 | 70 | - | 85 | - |
| AN-148 | | | 61-63 | | | | |
| 1 | 15:26 (день) | посадка | 61 | 70 | - | 85 | - |
| 2 | 16:07 (день) | посадка | 62 | 70 | - | 85 | - |
| 3 | 16:11 (день) | посадка | 63 | 70 | - | 85 | - |
| CRJ2 | | | 58 | | | | |
| 1 | 17:49 (день) | посадка | 58 | 70 | - | 85 | - |
| | | 14.03.2019 | 15:00-1 | 9:00 | | | |
| A319 | | | 57-63 | | | | |
| 1 | 15:44 (день) | взлет | 59 | 70 | - | 85 | - |
| 2 | 15:47 (день) | взлет | 58 | 70 | - | 85 | - |
| 3 | 15:52 (день) | взлет | 58 | 70 | - | 85 | - |
| 4 | 16:15 (день) | взлет | 59 | 70 | - | 85 | - |
| 5 | 17:21 (день) | взлет | 63 | 70 | - | 85 | - |
| 6 | 17:32 (день) | взлет | 57 | 70 | - | 85 | - |
| 7 | 17:36 (день) | взлет | 59 | 70 | - | 85 | - |
| 8 | 17:41 (день) | взлет | 60 | 70 | - | 85 | - |
| 9 | 17:43 (день) | взлет | 61 | 70 | - | 85 | - |
| 10 | 18:05 (день) | взлет | 57 | 70 | - | 85 | - |
| A320 | | | 57-60 | | | | |
| 1 | 16:33 (день) | взлет | 60 | 70 | - | 85 | - |
| 2 | 16:42 (день) | взлет | 58 | 70 | - | 85 | - |
| 3 | 18:12 (день) | взлет | 57 | 70 | - | 85 | - |
| 4 | 18:27 (день) | взлет | 59 | 70 | - | 85 | - |
| 5 | 18:32 (день) | взлет | 57 | 70 | - | 85 | - |
| A321 | | | 58-60 | | | | |
| 1 | 15:29 (день) | взлет | 60 | 70 | - | 85 | - |
| 2 | 18:39 (день) | взлет | 58 | 70 | - | 85 | - |
| B735 | | | 56-59 | | | | |
| 1 | 15:38 (день) | взлет | 59 | 70 | - | 85 | - |

| | Время собы- | D / | L_{A макс | Нормат | гивные з | начения | ı, д Б (А) |
|--------|---|--------------|-------------|--------------------------|----------|---------|-------------------|
| Тип ВС | ТИЯ | Взлет/ | • | Сан | ПиН | ГО | CT |
| | (день/ночь) | посадка | дБ(А) | День | Ночь | День | Ночь |
| 2 | 16:24 (день) | взлет | 57 | 70 | - | 85 | - |
| 3 | 18:37 (день) | взлет | 56 | 70 | - | 85 | - |
| B738 | , in the second | | 61 | | | | |
| 1 | 18:35 (день) | взлет | 61 | 70 | - | 85 | - |
| AN-148 | | | 56-57 | | | | |
| 1 | 15:53 (день) | взлет | 56 | 70 | - | 85 | - |
| 2 | 17:25 (день) | взлет | 57 | 70 | - | 85 | - |
| CRJ2 | | | 57 | | | | |
| 1 | 15:05 (день) | взлет | 57 | 70 | - | 85 | - |
| | | 06.05.2019 | 05.00-0 | 7.00 | | | |
| B738 | | | 62 | | | | |
| 1 | 6:18 (ночь) | посадка | 62 | - | 60 | - | 75 |
| AN-148 | | | 61 | | | | |
| 1 | 6:24 (ночь) | посадка | 61 | - | 60 | - | 75 |
| 2 | 6:35 (ночь) | посадка | 61 | - | 60 | - | 75 |
| | | 06.05.2019 | 15.00-1 | 9.00 | | | |
| A319 | | | 53-61 | | | | |
| 1 | 15:25 (день) | взлет | 58 | 70 | - | 85 | - |
| 2 | 15:39 (день) | взлет | 61 | 70 | - | 85 | - |
| 3 | 15:54 (день) | взлет | 53 | 70 | - | 85 | - |
| 4 | 17:22 (день) | взлет | 58 | 70 | - | 85 | - |
| 5 | 18:23 (день) | взлет | 53 | 70 | - | 85 | - |
| A320 | | | 54-59 | | | | |
| 1 | 16:27 (день) | взлет | 59 | 70 | - | 85 | - |
| 2 | 16:30 (день) | взлет | 58 | 70 | - | 85 | - |
| 3 | 16:43 (день) | взлет | 54 | 70 | - | 85 | - |
| 4 | 17:44 (день) | взлет | 58 | 70 | - | 85 | - |
| 5 | 17:47 (день) | взлет | 55 | 70 | - | 85 | - |
| A321 | , , | | 57-58 | | | | |
| 1 | 16:58 (день) | взлет | 57 | 70 | - | 85 | - |
| 2 | 18:39 (день) | взлет | 58 | 70 | - | 85 | - |
| B738 | , , | | 57 | | | | |
| 1 | 16:11 (день) | взлет | 57 | 70 | - | 85 | - |
| 2 | 16:41 (день) | взлет | 57 | 70 | - | 85 | |
| AN-148 | | | 55-61 | | | | |
| 1 | 16:32 (день) | взлет | 61 | 70 | _ | 85 | _ |
| 2 | 16:49 (день) | взлет | 59 | 70 | - | 85 | _ |
| 3 | 17:30 (день) | взлет | 55 | 70 | - | 85 | - |
| | 14.0 | 5.2019-15.05 | 5.2019 23 | $3.00 - 0\overline{1.0}$ | 0 | | |
| A321 | | | 54 | | | | |

| | Время собы- | D/ | L_{A макс | Нормат | гивные з | начения | т, дБ(А) |
|--------|--------------|------------|-------------|--------|----------|---------|-----------------|
| Тип ВС | ТИЯ | Взлет/ | , | Сан | ПиН | ГО | CT |
| | (день/ночь) | посадка | дБ(А) | День | Ночь | День | Ночь |
| 1 | 23:03 (ночь) | взлет | 54 | - | 60 | - | 75 |
| AN-148 | | | 57-66 | | | | |
| 1 | 23:35 (ночь) | взлет | 58 | - | 60 | - | 75 |
| 2 | 0:24 (ночь) | взлет | 66 | - | 60 | - | 75 |
| 3 | 0:38 (ночь) | взлет | 57 | - | 60 | - | 75 |
| | | 16.05.2017 | 15.00-1 | 9.00 | | | |
| A319 | | | 57-62 | | | | |
| 1 | 15:29 (день) | взлет | 59 | 70 | - | 85 | - |
| 2 | 16:09 (день) | взлет | 59 | 70 | - | 85 | - |
| 3 | 16:48 (день) | взлет | 59 | 70 | - | 85 | - |
| 4 | 17:20 (день) | взлет | 62 | 70 | - | 85 | - |
| 5 | 17:35 (день) | взлет | 58 | 70 | - | 85 | - |
| 6 | 17:48 (день) | взлет | 57 | 70 | - | 85 | - |
| 7 | 18:04 (день) | взлет | 58 | 70 | - | 85 | - |
| A320 | | | 49-62 | | | | |
| 1 | 15:15 (день) | взлет | 62 | 70 | - | 85 | - |
| 2 | 15:34 (день) | взлет | 49 | 70 | - | 85 | - |
| 3 | 16:34 (день) | взлет | 52 | 70 | - | 85 | - |
| 4 | 16:37 (день) | взлет | 56 | 70 | - | 85 | - |
| 5 | 17:38 (день) | взлет | 59 | 70 | - | 85 | - |
| 6 | 18:24 (день) | взлет | 56 | 70 | - | 85 | - |
| A321 | | | 50-63 | | | | |
| 1 | 16:20 (день) | взлет | 50 | 70 | - | 85 | - |
| 2 | 17:07 (день) | взлет | 58 | 70 | - | 85 | - |
| 3 | 17:44 (день) | взлет | 60 | 70 | - | 85 | - |
| 4 | 18:43 (день) | взлет | 63 | 70 | - | 85 | - |
| B735 | | | 62 | | | | |
| 1 | 16:02 (день) | взлет | 62 | 70 | - | 85 | - |
| B738 | | | 54-60 | | | | |
| 1 | 16:12 (день) | взлет | 58 | 70 | - | 85 | - |
| 2 | 16:51 (день) | взлет | 54 | 70 | - | 85 | - |
| 3 | 17:03 (день) | взлет | 60 | 70 | - | 85 | - |
| AN-148 | | | 56-62 | | | | |
| 1 | 16:05 (день) | взлет | 62 | 70 | - | 85 | - |
| 2 | 16:22 (день) | взлет | 62 | 70 | - | 85 | - |
| 3 | 16:38 (день) | взлет | 60 | 70 | - | 85 | - |
| 4 | 17:33 (день) | взлет | 56 | 70 | - | 85 | - |
| CRJ2 | 15.01 | | 52-57 | | | ~ ~ | |
| 1 | 15:24 (день) | взлет | 52 | 70 | - | 85 | _ |

| | Время собы- | Взлет/ | $L_{A_{ m Makc}}$ | Нормат | гивные з | начения | , д Б (A) |
|--------|--------------|---------|-------------------|--------|----------|---------|----------------------------------|
| Тип ВС | ТИЯ | | , | СанПиН | | ГОСТ | |
| | (день/ночь) | посадка | дБ(А) | День | Ночь | День | Ночь |
| 2 | 16:00 (день) | взлет | 57 | 70 | ı | 85 | - |
| 3 | 17:00 (день) | взлет | 53 | 70 | ı | 85 | - |
| 4 | 17:05 (день) | взлет | 55 | 70 | ı | 85 | - |
| 5 | 18:27 (день) | взлет | 55 | 70 | - | 85 | - |

Таблица Б.7 — Результаты проведения мониторинга в точке №7 (г. Санкт-Петербург, пересечение ул. летчика Пилютова и пр. Народного ополчения).

| | Время собы- | D/ | L_{A макс | Нормат | гивные з | начения | , д Б (A) |
|--------|--------------|------------|-------------|--------|----------|---------|-------------------------|
| Тип ВС | ТИЯ | Взлет/ | , | Сан | ПиН | ГО | CT |
| | (день/ночь) | посадка | дБ(А) | День | Ночь | День | Ночь |
| | | 24.02.2019 | 23:00-0 | 1:00 | | | |
| AN-148 | | | 64-67 | | | | |
| 1 | 23:47 (ночь) | взлет | 67 | - | 60 | - | 75 |
| 2 | 00:42 (ночь) | взлет | 65 | - | 60 | - | 75 |
| 3 | 00:52 (ночь) | взлет | 64 | - | 60 | ı | 75 |
| CRJ2 | | | 65 | | | | |
| 1 | 23:05 (ночь) | взлет | 65 | - | 60 | - | 75 |
| | | 25.02.2019 | 05:00-0 | 7:00 | | | |
| A319 | | | 54 | | | | |
| 1 | 05:25 | взлет | 54 | - | 60 | - | 75 |
| A320 | | | 56 | | | | |
| 1 | 05:53 | взлет | 56 | - | 60 | - | 75 |
| A321 | | | 58 | | | | |
| 1 | 06:19 | взлет | 58 | - | 60 | - | 75 |
| | | 02.03.2019 | 15:00-1 | 9:00 | | | |
| A319 | | | 62-76 | | | | |
| 1 | 15:01 (день) | посадка | 63 | 70 | - | 85 | - |
| 2 | 15:13 (день) | посадка | 72 | 70 | - | 85 | - |
| 3 | 15:35 (день) | посадка | 74 | 70 | - | 85 | - |
| 4 | 15:52 (день) | посадка | 65 | 70 | - | 85 | - |
| 5 | 15:59 (день) | посадка | 62 | 70 | - | 85 | - |
| 6 | 16:04 (день) | посадка | 75 | 70 | - | 85 | - |
| 7 | 16:17 (день) | посадка | 65 | 70 | - | 85 | - |
| 8 | 16:37 (день) | посадка | 75 | 70 | - | 85 | - |
| 9 | 16:40 (день) | посадка | 67 | 70 | - | 85 | - |
| 10 | 16:50 (день) | посадка | 68 | 70 | - | 85 | - |

| | Время собы- | Do z oz/ | L_{A макс | Нормат | гивные з | вначения | н, д Б (А) |
|--------|-----------------|------------|-------------|--------|----------|----------|-------------------|
| Тип ВС | ТИЯ | Взлет/ | , | Сан | ПиН | ГО | CT |
| | (день/ночь) | посадка | дБ(А) | День | Ночь | День | Ночь |
| 11 | 17:29 (день) | посадка | 67 | 70 | - | 85 | - |
| 12 | 18:34 (день) | посадка | 76 | 70 | - | 85 | - |
| 13 | 18:46 (день) | посадка | 64 | 70 | - | 85 | - |
| 14 | 18:47 (день) | посадка | 76 | 70 | - | 85 | - |
| A320 | | | 64-78 | | | | |
| 1 | 15:04 (день) | посадка | 75 | 70 | - | 85 | - |
| 2 | 15:32 (день) | посадка | 66 | 70 | - | 85 | - |
| 3 | 15:48 (день) | посадка | 71 | 70 | - | 85 | - |
| 4 | 16:23 (день) | посадка | 76 | 70 | - | 85 | - |
| 5 | 16:29 (день) | посадка | 77 | 70 | - | 85 | - |
| 6 | 16:45 (день) | посадка | 78 | 70 | - | 85 | - |
| 7 | 16:59 (день) | посадка | 76 | 70 | - | 85 | - |
| 8 | 17:03 (день) | посадка | 64 | 70 | - | 85 | - |
| 9 | 17:06 (день) | посадка | 66 | 70 | =. | 85 | - |
| 10 | 18:06 (день) | посадка | 65 | 70 | - | 85 | - |
| 11 | 18:42 (день) | посадка | 65 | 70 | - | 85 | - |
| AN-148 | <u> </u> | , , | 60-72 | | | | |
| 1 | 15:26 (день) | посадка | 60 | 70 | - | 85 | - |
| 2 | 16:07 (день) | посадка | 72 | 70 | - | 85 | - |
| 3 | 16:11 (день) | посадка | 70 | 70 | - | 85 | - |
| B735 | , , , | | 64-71 | | | | |
| 1 | 18:26 (день) | посадка | 64 | 70 | - | 85 | - |
| 2 | 18:28 (день) | посадка | 68 | 70 | - | 85 | - |
| 3 | 18:31 (день) | посадка | 71 | 70 | - | 85 | - |
| CRJ2 | \(\frac{1}{2}\) | | 64-68 | | | | |
| 1 | 17:49 (день) | посадка | 63 | 70 | _ | 85 | - |
| | | 14.03.2019 | 15:00-1 | 9:00 | • | | |
| A319 | | | 65-79 | | | | |
| 1 | 15:44 (день) | взлет | 69 | 70 | - | 85 | - |
| 2 | 15:47 (день) | взлет | 68 | 70 | _ | 85 | - |
| 3 | 15:52 (день) | взлет | 65 | 70 | - | 85 | - |
| 4 | 16:15 (день) | взлет | 67 | 70 | - | 85 | - |
| 5 | 17:21 (день) | взлет | 74 | 70 | - | 85 | - |
| 6 | 17:32 (день) | взлет | 78 | 70 | - | 85 | - |
| 7 | 17:36 (день) | взлет | 74 | 70 | - | 85 | - |
| 8 | 17:41 (день) | взлет | 79 | 70 | - | 85 | - |
| 9 | 17:43 (день) | взлет | 73 | 70 | - | 85 | - |
| 10 | 18:05 (день) | взлет | 70 | 70 | - | 85 | - |
| A320 | | | 69-75 | | | | |

| | Время собы- | Do . / | $oldsymbol{L_{A	ext{Makc}}}$ | Нормат | гивные з | начения | н, дБ(А) |
|--------|--------------|------------|------------------------------|--------|----------|---------|-----------------|
| Тип ВС | ТИЯ | Взлет/ | , | Сан | ПиН | ГО | CT |
| | (день/ночь) | посадка | дБ(А) | День | Ночь | День | Ночь |
| 1 | 16:33 (день) | взлет | 71 | 70 | - | 85 | - |
| 2 | 16:42 (день) | взлет | 70 | 70 | - | 85 | - |
| 3 | 18:12 (день) | взлет | 77 | 70 | - | 85 | - |
| 4 | 18:27 (день) | взлет | 75 | 70 | - | 85 | - |
| 5 | 18:32 (день) | взлет | 69 | 70 | - | 85 | - |
| A321 | | | 67-71 | | | | |
| 1 | 15:29 (день) | взлет | 67 | 70 | - | 85 | - |
| 2 | 18:39 (день) | взлет | 71 | 70 | - | 85 | - |
| AN-148 | | | 67-75 | | | | |
| 1 | 15:53 (день) | взлет | 67 | 70 | - | 85 | - |
| 2 | 17:25 (день) | взлет | 75 | 70 | - | 85 | - |
| B735 | | | 70-74 | | | | |
| 1 | 15:38 (день) | взлет | 74 | 70 | - | 85 | - |
| 2 | 16:24 (день) | взлет | 70 | 70 | - | 85 | - |
| 3 | 18:37 (день) | взлет | 70 | 70 | - | 85 | - |
| B738 | | | 67 | | | | |
| 1 | 18:35 (день) | взлет | 67 | 70 | - | 85 | - |
| CRJ2 | | взлет | 65 | | | | |
| 1 | 15:05 (день) | взлет | 65 | 70 | - | 85 | - |
| | | 06.05.2019 | 05.00-0 | 7.00 | | | |
| B738 | | | 64 | | | | |
| 1 | 6:18 (ночь) | посадка | 64 | - | 60 | - | 75 |
| AN-148 | | | 60 | | | | |
| 1 | 6:24 (ночь) | посадка | 60 | - | 60 | - | 75 |
| 2 | 6:35 (ночь) | посадка | 66 | - | 60 | - | 75 |
| | | 06.05.2019 | 15.00-1 | 9.00 | | | |
| A319 | | | 65-68 | | | | |
| 1 | 15:25 (день) | взлет | 66 | 70 | - | 85 | - |
| 2 | 15:39 (день) | взлет | 65 | 70 | - | 85 | - |
| 3 | 15:54 (день) | взлет | 68 | 70 | - | 85 | - |
| 4 | 17:22 (день) | взлет | 66 | 70 | - | 85 | - |
| 5 | 18:23 (день) | взлет | 66 | 70 | - | 85 | - |
| A320 | (,, | | 67-70 | | | | |
| 1 | 16:27 (день) | взлет | 70 | 70 | - | 85 | - |
| 2 | 16:30 (день) | взлет | 69 | 70 | - | 85 | - |
| 3 | 16:43 (день) | взлет | 70 | 70 | - | 85 | - |
| 4 | 17:44 (день) | взлет | 67 | 70 | - | 85 | _ |
| 5 | 17:47 (день) | взлет | 68 | 70 | _ | 85 | _ |
| A321 | тит (день) | 250101 | 66-73 | , , | | | |
| 1 | 16:58 (день) | взлет | 73 | 70 | _ | 85 | _ |
| 1 | 10.30 (депь) | DOJICI | 13 | 70 | _ | 0.5 | |

| | Время собы- | D / | L_{A макс | Нормат | гивные з | начения | і, дБ(А) |
|--------|--------------|----------------------|-------------|------------|----------|---------|-----------------|
| Тип ВС | ТИЯ | Взлет/ | , | Сан | ПиН | ГО | CT |
| | (день/ночь) | посадка | дБ(А) | День | Ночь | День | Ночь |
| 2 | 18:39 (день) | взлет | 66 | 70 | - | 85 | - |
| B738 | | | 65-73 | | | | |
| 1 | 16:11 (день) | взлет | 73 | 70 | - | 85 | - |
| 2 | 16:41 (день) | взлет | 65 | 70 | - | 85 | - |
| AN-148 | | | 64-68 | | | | |
| 1 | 16:32 (день) | взлет | 67 | 70 | - | 85 | - |
| 2 | 16:49 (день) | взлет | 64 | 70 | - | 85 | - |
| 3 | 17:30 (день) | взлет | 68 | 70 | - | 85 | - |
| | 14.0 | 5.2019-15.0 5 | 5.2019 23 | 3.00-01.0 | 0 | | |
| A321 | | | 74 | | | | |
| 1 | 23:03 (ночь) | взлет | 74 | - | 60 | - | 75 |
| AN-148 | | | 69-76 | | | | |
| 1 | 23:35 (ночь) | взлет | 69 | - . | 60 | - | 75 |
| 2 | 0:24 (ночь) | взлет | 76 | - . | 60 | - | 75 |
| 3 | 0:38 (ночь) | взлет | 73 | - | 60 | - | 75 |
| | | 16.05.2019 | 15.00-1 | 9.00 | | | |
| A319 | | | 54-62 | | | | |
| 1 | 15:29 (день) | взлет | 62 | 70 | - | 85 | - |
| 2 | 16:09 (день) | взлет | 60 | 70 | - | 85 | _ |
| 3 | 16:48 (день) | взлет | 54 | 70 | - | 85 | - |
| 4 | 17:20 (день) | взлет | 54 | 70 | - | 85 | - |
| 5 | 17:35 (день) | взлет | 58 | 70 | - | 85 | - |
| 6 | 17:48 (день) | взлет | 54 | 70 | - | 85 | - |
| 7 | 18:04 (день) | взлет | 54 | 70 | - | 85 | - |
| A320 | | | 54-63 | | | | |
| 1 | 15:15 (день) | взлет | 63 | 70 | - | 85 | - |
| 2 | 15:34 (день) | взлет | 55 | 70 | - | 85 | - |
| 3 | 16:34 (день) | взлет | 54 | 70 | - | 85 | - |
| 4 | 16:37 (день) | взлет | 57 | 70 | | 85 | |
| 5 | 17:38 (день) | взлет | 55 | 70 | - | 85 | - |
| 6 | 18:24 (день) | взлет | 54 | 70 | - | 85 | - |
| A321 | , , , | | 57-60 | | | | |
| 1 | 16:20 (день) | взлет | 57 | 70 | - | 85 | - |
| 2 | 17:07 (день) | взлет | 60 | 70 | - | 85 | - |
| 3 | 17:44 (день) | взлет | 60 | 70 | - | 85 | - |
| 4 | 18:43 (день) | взлет | 57 | 70 | - | 85 | - |
| B735 | V ' / | | 59 | | | | |
| 1 | 16:02 (день) | взлет | 59 | 70 | - | 85 | - |
| B738 | (11) | | 54-60 | | | | |

| | Время собы- | D / | L_{A макс | Нормат | гивные з | начения | , д Б (A) | | | |
|--------|--------------|---------|-------------|---------|----------|---------|-------------------------|-----|----|----|
| Тип ВС | ТИЯ | D3JIC1/ | D3JIC1/ | D331C17 | D3JC1/ | , | Сан | ПиН | ГО | CT |
| | (день/ночь) | посадка | дБ(А) | День | Ночь | День | Ночь | | | |
| 1 | 16:12 (день) | взлет | 54 | 70 | ı | 85 | - | | | |
| 2 | 16:51 (день) | взлет | 60 | 70 | ı | 85 | - | | | |
| 3 | 17:03 (день) | взлет | 59 | 70 | - | 85 | - | | | |
| AN-148 | | | 58-62 | | | | | | | |
| 1 | 16:05 (день) | взлет | 60 | 70 | - | 85 | - | | | |
| 2 | 16:22 (день) | взлет | 60 | 70 | - | 85 | - | | | |
| 3 | 16:38 (день) | взлет | 58 | 70 | - | 85 | - | | | |
| 4 | 17:33 (день) | взлет | 62 | 70 | - | 85 | - | | | |
| CRJ2 | | | 52-54 | | | | | | | |
| 1 | 15:24 (день) | взлет | 52 | 70 | - | 85 | - | | | |
| 2 | 16:00 (день) | взлет | 53 | 70 | - | 85 | - | | | |
| 3 | 17:00 (день) | взлет | 54 | 70 | - | 85 | - | | | |
| 4 | 17:05 (день) | взлет | 53 | 70 | | 85 | | | | |
| 5 | 18:27 (день) | взлет | 54 | 70 | - | 85 | - | | | |

Таблица Б.8 — Результаты проведения мониторинга в точке №8 (Авиагородок, ул. Взлетная, д. 13).

| | Время собы- | D/ | $oldsymbol{L_{A}}$ макс | Нормат | гивные з | начения | н, дБ(А) |
|--------|--------------|------------|-------------------------|--------|----------|---------|-----------------|
| Тип ВС | тия | Взлет/ | , | Сан | ПиН | ГО | CT |
| | (день/ночь) | посадка | дБ(А) | День | Ночь | День | Ночь |
| | | 04.03.2019 | 15:00-1 | 9:00 | | | |
| A319 | | | 64-75 | | | | |
| 1 | 15:17 (день) | посадка | 67 | 70 | - | 85 | - |
| 2 | 15:19 (день) | взлет | 70 | 70 | - | 85 | - |
| 3 | 15:28 (день) | взлет | 68 | 70 | - | 85 | - |
| 4 | 15:33 (день) | взлет | 69 | 70 | - | 85 | - |
| 5 | 15:35 (день) | взлет | 72 | 70 | - | 85 | - |
| 6 | 16:01 (день) | посадка | 67 | 70 | - | 85 | - |
| 7 | 16:13 (день) | посадка | 72 | 70 | - | 85 | - |
| 8 | 16:16 (день) | посадка | 65 | 70 | - | 85 | - |
| 9 | 16:19 (день) | посадка | 64 | 70 | - | 85 | - |
| 10 | 16:24 (день) | посадка | 75 | 70 | - | 85 | - |
| 11 | 16:26 (день) | посадка | 74 | 70 | - | 85 | - |
| 12 | 16:42 (день) | посадка | 60 | 70 | - | 85 | - |
| 13 | 16:48 (день) | взлет | 68 | 70 | - | 85 | - |
| 14 | 16:49 (день) | посадка | 65 | 70 | _ | 85 | - |
| 15 | 17:08 (день) | взлет | 74 | 70 | - | 85 | - |
| 16 | 17:11 (день) | взлет | 68 | 70 | - | 85 | - |

| | Время собы- | D / | $oldsymbol{L_{A	ext{Makc}}}$ | Нормат | гивные з | начения | і, дБ(А) |
|--------|--------------|------------|------------------------------|--------|----------|---------|-----------------|
| Тип ВС | тия | Взлет/ | , | | ПиН | | CT |
| | (день/ночь) | посадка | дБ(А) | День | Ночь | День | Ночь |
| 17 | 17:29 (день) | взлет | 64 | 70 | - | 85 | - |
| 18 | 17:42 (день) | взлет | 71 | 70 | - | 85 | - |
| 19 | 17:44 (день) | посадка | 77 | 70 | - | 85 | - |
| 20 | 17:52 (день) | посадка | 73 | 70 | - | 85 | - |
| 21 | 18:15 (день) | взлет | 73 | 70 | - | 85 | - |
| 22 | 18:17 (день) | взлет | 69 | 70 | - | 85 | - |
| 23 | 18:18 (день) | взлет | 70 | 70 | - | 85 | - |
| 24 | 18:42 (день) | взлет | 67 | 70 | - | 85 | - |
| A320 | | | 64-80 | | | | |
| 1 | 15:57 (день) | посадка | 69 | 70 | - | 85 | - |
| 2 | 16:21 (день) | посадка | 72 | 70 | - | 85 | - |
| 3 | 16:35 (день) | взлет | 70 | 70 | - | 85 | - |
| 4 | 16:44 (день) | посадка | 74 | 70 | - | 85 | - |
| 5 | 16:51 (день) | взлет | 71 | 70 | - | 85 | - |
| 6 | 17:05 (день) | посадка | 70 | 70 | - | 85 | - |
| 7 | 17:38 (день) | посадка | 75 | 70 | - | 85 | - |
| 8 | 17:59 (день) | посадка | 80 | 70 | - | 85 | - |
| 9 | 18:05 (день) | взлет | 75 | 70 | - | 85 | - |
| 10 | 18:08 (день) | посадка | 76 | 70 | - | 85 | - |
| 11 | 18:41 (день) | посадка | 70 | 70 | - | 85 | - |
| 12 | 18:49 (день) | посадка | 64 | 70 | - | 85 | - |
| A321 | | | 65-69 | | | | |
| 1 | 15:25 (день) | посадка | 69 | 70 | - | 85 | - |
| 2 | 16:27 (день) | взлет | 65 | 70 | - | 85 | - |
| 3 | 16:30 (день) | взлет | 67 | 70 | - | 85 | - |
| 4 | 17:07 (день) | посадка | 66 | 70 | - | 85 | - |
| 5 | 18:19 (день) | посадка | 68 | 70 | - | 85 | - |
| 6 | 18:32 (день) | взлет | 65 | 70 | - | 85 | - |
| 7 | 15:25 (день) | посадка | 69 | 70 | - | 85 | - |
| AN-148 | | | 67-71 | | | | |
| 1 | 15:31 (день) | посадка | 68 | 70 | - | 85 | - |
| 2 | 15:40 (день) | взлет | 70 | 70 | - | 85 | - |
| 3 | 16:10 (день) | посадка | 68 | 70 | - | 85 | - |
| 4 | 18:21 (день) | взлет | 71 | 70 | - | 85 | - |
| 5 | 18:52 (день) | посадка | 67 | 70 | - | 85 | - |
| B735 | | | 73 | | | | |
| 1 | 19:00 (день) | посадка | 73 | 70 | - | 85 | - |
| B738 | | | 74 | | | | |
| 1 | 15:37 (день) | взлет | 74 | 70 | - | 85 | - |

| | Время собы- | D / | L_{A макс | Нормат | гивные з | значения | , д Б (А) |
|--------|--------------|------------|----------------|--------|----------|----------|------------------|
| Тип ВС | ТИЯ | Взлет/ | AMake | Сан | ПиН | ГО | CT |
| | (день/ночь) | посадка | д Б (A) | День | Ночь | День | Ночь |
| CRJ2 | , | | 62-67 | | | , , | |
| 1 | 16:47 (день) | посадка | 64 | 70 | - | 85 | - |
| 2 | 17:16 (день) | взлет | 62 | 70 | - | 85 | - |
| 3 | 17:32 (день) | взлет | 67 | 70 | - | 85 | - |
| | | 06.03.2019 | 23:00-0 | 1:00 | | | |
| A319 | | | 69 | | | | |
| 1 | 01:00 (ночь) | посадка | 69 | - | 60 | - | 75 |
| A320 | | | 65 | | | | |
| 1 | 23:33 (ночь) | взлет | 65 | - | 60 | - | 75 |
| A321 | | | 73-75 | | | | |
| 1 | 23:36 (ночь) | посадка | 73 | - | 60 | - | 75 |
| 2 | 00:39 (ночь) | посадка | 75 | - | 60 | - | 75 |
| 3 | 00:54 (ночь) | посадка | 73 | - | 60 | - | 75 |
| AN-148 | | | 63-72 | | | | |
| 1 | 23:59 (ночь) | взлет | 72 | - | 60 | - | 75 |
| 2 | 00:47 (ночь) | взлет | 67 | - | 60 | _ | 75 |
| 3 | 00:56 (ночь) | взлет | 63 | - | 60 | - | 75 |
| | | 13.03.2019 | 15:00-1 | 9:00 | | | |
| A319 | | | 70-75 | | | | |
| 1 | 15:23 (день) | взлет | 71 | 70 | - | 85 | - |
| 2 | 15:25 (день) | взлет | 70 | 70 | - | 85 | - |
| 3 | 15:39 (день) | взлет | 75 | 70 | - | 85 | - |
| 4 | 15:53 (день) | посадка | 74 | 70 | - | 85 | - |
| 5 | 16:33 (день) | посадка | 73 | 70 | - | 85 | - |
| 6 | 16:56 (день) | посадка | 71 | 70 | - | 85 | - |
| 7 | 17:16 (день) | взлет | 74 | 70 | - | 85 | - |
| 8 | 17:29 (день) | взлет | 74 | 70 | - | 85 | - |
| 9 | 18:02 (день) | взлет | 71 | 70 | - | 85 | - |
| A320 | | | 64-75 | | | | |
| 1 | 15:13 (день) | посадка | 72 | 70 | - | 85 | - |
| 2 | 15:20 (день) | взлет | 72 | 70 | - | 85 | - |
| 3 | 15:35 (день) | посадка | 69 | 70 | - | 85 | - |
| 4 | 16:20 (день) | взлет | 70 | 70 | - | 85 | - |
| 5 | 16:41 (день) | взлет | 64 | 70 | - | 85 | - |
| 6 | 17:15 (день) | посадка | 73 | 70 | - | 85 | - |
| 7 | 17:18 (день) | посадка | 75 | 70 | - | 85 | - |
| 8 | 18:25 (день) | взлет | 65 | 70 | - | 85 | - |
| 9 | 18:31 (день) | взлет | 66 | 70 | - | 85 | - |
| 10 | 18:44 (день) | посадка | 75 | 70 | - | 85 | - |

| | Время собы- | Do z oz/ | $oldsymbol{L_{A	ext{Makc}}}$ | Нормат | гивные з | начения | , д Б (A) |
|--------|--------------|------------|------------------------------|--------|----------|---------|----------------------------------|
| Тип ВС | ТИЯ | Взлет/ | , | Сан | ПиН | ГО | CT |
| | (день/ночь) | посадка | дБ(А) | День | Ночь | День | Ночь |
| A321 | | | 69-78 | | | | |
| 1 | 16:28 (день) | взлет | 72 | 70 | - | 85 | - |
| 2 | 17:10 (день) | посадка | 74 | 70 | - | 85 | - |
| 3 | 17:12 (день) | посадка | 78 | 70 | - | 85 | - |
| 4 | 18:30 (день) | посадка | 69 | 70 | - | 85 | - |
| 5 | 18:33 (день) | взлет | 70 | 70 | - | 85 | - |
| 6 | 18:38 (день) | взлет | 69 | 70 | - | 85 | - |
| AN-148 | | | 70-78 | | | | |
| 1 | 15:00 (день) | взлет | 70 | 70 | - | 85 | - |
| 2 | 15:48 (день) | посадка | 75 | 70 | - | 85 | - |
| 3 | 16:19 (день) | посадка | 75 | 70 | - | 85 | - |
| 4 | 18:00 (день) | посадка | 70 | 70 | - | 85 | - |
| 5 | 18:16 (день) | взлет | 78 | 70 | - | 85 | - |
| 6 | 18:36 (день) | посадка | 73 | 70 | - | 85 | - |
| B735 | | | 65-77 | | | | |
| 1 | 15:38 (день) | взлет | 70 | 70 | - | 85 | - |
| 2 | 16:34 (день) | посадка | 70 | 70 | - | 85 | - |
| 3 | 16:44 (день) | взлет | 68 | 70 | - | 85 | - |
| 4 | 17:06 (день) | посадка | 65 | 70 | - | 85 | - |
| 5 | 18:22 (день) | взлет | 68 | 70 | - | 85 | - |
| 6 | 18:28 (день) | посадка | 74 | 70 | - | 85 | - |
| 7 | 19:00 (день) | посадка | 77 | 70 | - | 85 | - |
| B738 | | | 59 | | | | |
| 1 | 18:11 (день) | посадка | 59 | 70 | - | 85 | - |
| CRJ2 | | | 66-70 | | | | |
| 1 | 15:11 (день) | посадка | 66 | 70 | - | 85 | - |
| 2 | 16:47 (день) | взлет | 70 | 70 | - | 85 | - |
| | | 14.03.2019 | 05:00-0 | 7:00 | | | |
| A320 | | | 54-59 | | | | |
| 1 | 05:54 (ночь) | взлет | 54 | - | 60 | - | 75 |
| 2 | 06:44 (ночь) | взлет | 59 | - | 60 | - | 75 |
| A321 | | | 55-56 | | | | |
| 1 | 06:04 (ночь) | посадка | 56 | - | 60 | - | 75 |
| 2 | 06:18 (ночь) | взлет | 55 | - | 60 | - | 75 |
| 3 | 06:39 (ночь) | взлет | 55 | - | 60 | - | 75 |
| AN-148 | | | 70-78 | | | | |
| 1 | 06:15 (ночь) | посадка | 55 | - | 60 | - | 75 |
| 2 | 06:30 (ночь) | посадка | 57 | - | 60 | - | 75 |

Таблица Б.9 — Результаты проведения мониторинга в точке №9 (пос. Шушары).

| | Время собы- | D / | $L_{A	ext{makc}}$ | Нормат | гивные з | вначения | , д Б (А) |
|--------|--------------|------------|-------------------|--------|----------|----------|------------------|
| Тип ВС | ТИЯ | Взлет/ | , | Сан | ПиН | ГО | CT |
| | (день/ночь) | посадка | дБ(А) | День | Ночь | День | Ночь |
| | | 04.03.2019 | 15:00-1 | 9:00 | • | - | • |
| A319 | | | 52-56 | | | | |
| 1 | 15:17(день) | посадка | 53 | 70 | - | 85 | - |
| 2 | 16:01(день) | посадка | 54 | 70 | - | 85 | - |
| 3 | 16:13(день) | посадка | 54 | 70 | - | 85 | - |
| 4 | 16:16(день) | посадка | 52 | 70 | | 85 | |
| 5 | 16:19(день) | посадка | 56 | 70 | - | 85 | - |
| 6 | 16:24(день) | посадка | 56 | 70 | - | 85 | - |
| 7 | 16:26(день) | посадка | 54 | 70 | - | 85 | - |
| 8 | 16:42(день) | посадка | 54 | 70 | - | 85 | - |
| 9 | 16:49(день) | посадка | 56 | 70 | - | 85 | - |
| 10 | 17:44(день) | посадка | 54 | 70 | | 85 | |
| 11 | 17:52(день) | посадка | 55 | 70 | | 85 | |
| A320 | | | 53-57 | | | | |
| 1 | 15:57 (день) | посадка | 57 | 70 | - | 85 | - |
| 2 | 16:21 (день) | посадка | 56 | 70 | - | 85 | - |
| 3 | 16:44 (день) | посадка | 57 | 70 | - | 85 | - |
| 4 | 17:05 (день) | посадка | 55 | 70 | _ | 85 | _ |
| 5 | 17:38 (день) | посадка | 53 | 70 | - | 85 | - |
| 6 | 17:59 (день) | посадка | 56 | 70 | - | 85 | - |
| 7 | 18:08 (день) | посадка | 57 | 70 | - | 85 | - |
| 8 | 18:41 (день) | посадка | 55 | 70 | - | 85 | - |
| 9 | 18:49 (день) | посадка | 54 | 70 | - | 85 | - |
| A321 | | | 54-59 | | | | |
| 1 | 15:25 (день) | посадка | 55 | 70 | - | 85 | - |
| 2 | 17:07 (день) | посадка | 54 | 70 | - | 85 | - |
| 3 | 18:19 (день) | посадка | 59 | 70 | - | 85 | - |
| B735 | | | 58 | | | | |
| 1 | 19:00 (день) | посадка | 58 | 70 | - | 85 | - |
| AN-148 | | | 54-59 | | | | |
| 1 | 15:31 (день) | посадка | 56 | 70 | - | 85 | - |
| 2 | 16:10 (день) | посадка | 59 | 70 | - | 85 | - |
| 3 | 18:52 (день) | посадка | 54 | 70 | - | 85 | - |
| CRJ2 | | | 58 | | | | |
| 1 | 16:47 (день) | посадка | 58 | 70 | - | 85 | - |
| | | 06.03.2019 | 23:00-0 | 1:00 | | | |

| | Время собы- | D / | L_{A макс | Нормат | гивные з | начения | ı, д Б (А) |
|--------|--------------|------------|-------------|--------|----------|---------|-------------------|
| Тип ВС | ТИЯ | Взлет/ | • | Сан | ПиН | ГО | CT |
| | (день/ночь) | посадка | дБ(А) | День | Ночь | День | Ночь |
| A320 | | | 62 | , , | | , , | |
| 1 | 23:33 (ночь) | взлет | 62 | - | 60 | - | 75 |
| AN-148 | , , , | | 58-67 | | | | |
| 1 | 23:59 (ночь) | взлет | 58 | - | 60 | - | 75 |
| 2 | 00:47 (ночь) | взлет | 67 | - | 60 | - | 75 |
| 3 | 00:56 (ночь) | взлет | 62 | - | 60 | - | 75 |
| | | 13.03.2019 | 15:00-1 | 9:00 | | | • |
| A319 | | | 57-67 | | | | |
| 1 | 15:53(день) | посадка | 57 | 70 | - | 85 | - |
| 2 | 16:33(день) | посадка | 67 | 70 | - | 85 | - |
| 3 | 16:56(день) | посадка | 59 | 70 | ı | 85 | - |
| A320 | | | 59-63 | | | | |
| 1 | 15:13(день) | посадка | 59 | 70 | - | 85 | - |
| 2 | 15:35(день) | посадка | 62 | 70 | 1 | 85 | - |
| 3 | 17:15(день) | посадка | 61 | 70 | ı | 85 | - |
| 4 | 17:18(день) | посадка | 63 | 70 | ı | 85 | - |
| 5 | 18:44(день) | посадка | 60 | 70 | ı | 85 | - |
| A321 | | | 58-65 | | | | |
| 1 | 17:10(день) | посадка | 60 | 70 | ı | 85 | - |
| 2 | 17:12(день) | посадка | 58 | 70 | 1 | 85 | - |
| 3 | 18:30(день) | посадка | 65 | 70 | | 85 | |
| AN-148 | | | 61-64 | | | | |
| 1 | 15:48(день) | посадка | 61 | 70 | 1 | 85 | - |
| 2 | 16:19(день) | посадка | 64 | 70 | - | 85 | - |
| 3 | 18:00(день) | посадка | 61 | 70 | 1 | 85 | - |
| 4 | 18:36(день) | посадка | 61 | | | | |
| B735 | | | 61-62 | | | | |
| 1 | 16:34(день) | посадка | 62 | 70 | | 85 | |
| 2 | 17:06(день) | посадка | 62 | 70 | | 85 | |
| 3 | 18:28(день) | посадка | 62 | 70 | | 85 | |
| 4 | 19:00(день) | посадка | 61 | 70 | | 85 | |
| B738 | | | 63 | | | | |
| 1 | 18:11 (день) | посадка | 63 | 70 | | 85 | |
| | | 14.03.2019 | 1 | 7:00 | | | |
| A321 | | | 50-51 | | | | |
| 1 | 06:04 (ночь) | посадка | 50 | - | 60 | - | 75 |
| AN-148 | | | 50-51 | | | | |
| 1 | 06:15 (ночь) | посадка | 50 | - | 60 | - | 75 |
| 2 | 06:30 (ночь) | посадка | 51 | - | 60 | - | 75 |

| | Время собы- | D / | $\boldsymbol{L_{A}}_{Makc}$ | Норма | гивные з | начения | , д Б (А) |
|--------|--------------|------------|-----------------------------|-------|----------|---------|------------------|
| Тип ВС | ТИЯ | Взлет/ | , | Сан | ПиН | ГО | CT |
| | (день/ночь) | посадка | дБ(А) | День | Ночь | День | Ночь |
| | | 08.05.2019 | 05:00-0 | 7:00 | • | - | |
| A319 | | | 69 | | | | |
| 1 | 05:27 (ночь) | взлет | 69 | - | 60 | - | 75 |
| A320 | | | 78 | | | | |
| 1 | 05:55 (ночь) | взлет | 78 | - | 60 | - | 75 |
| A321 | | | 74-76 | | | | |
| 1 | 05:03 (ночь) | взлет | 74 | - | 60 | - | 75 |
| 2 | 05:41 (ночь) | взлет | 76 | - | 60 | - | 75 |
| 3 | 06:11 (ночь) | взлет | 76 | - | 60 | - | 75 |
| B735 | | | 74 | | | | |
| 1 | 06:20 (ночь) | взлет | 74 | - | 60 | - | 75 |
| | | 15.05.2019 | 15:00-1 | 9:00 | | | |
| A319 | | | 66-70 | | | | |
| 1 | 15:48 (день) | взлет | 70 | 70 | - | 85 | - |
| 2 | 17:23 (день) | взлет | 66 | 70 | - | 85 | - |
| A320 | | | 59-74 | | | | |
| 1 | 15:12 (день) | взлет | 60 | 70 | - | 85 | - |
| 2 | 16:17 (день) | взлет | 66 | 70 | - | 85 | - |
| 3 | 16:27 (день) | взлет | 63 | 70 | - | 85 | - |
| 4 | 16:49 (день) | взлет | 59 | 70 | - | 85 | - |
| 5 | 17:39 (день) | взлет | 74 | 70 | - | 85 | - |
| A321 | | | 65-73 | | | | |
| 1 | 15:00 (день) | взлет | 70 | 70 | - | 85 | - |
| 2 | 15:17 (день) | взлет | 65 | 70 | - | 85 | - |
| 3 | 16:12 (день) | взлет | 65 | 70 | - | 85 | - |
| 4 | 17:02 (день) | взлет | 71 | 70 | - | 85 | - |
| 5 | 17:34 (день) | взлет | 73 | 70 | - | 85 | - |
| B735 | | | 60 | | | | |
| 1 | 16:02 (день) | взлет | 60 | 70 | - | 85 | - |
| B738 | | | 65-66 | | | | |
| 1 | 16:32 (день) | взлет | 66 | 70 | - | 85 | _ |
| 2 | 16:37 (день) | взлет | 65 | 70 | - | 85 | - |
| AN-148 | | | 72-74 | | | | |
| 1 | 16:19 (день) | взлет | 74 | 70 | - | 85 | - |
| 2 | 16:35 (день) | взлет | 74 | 70 | - | 85 | - |
| 3 | 17:25 (день) | взлет | 72 | 70 | - | 85 | - |
| | | 15.05.2019 | 23:00-0 | 1:00 | | | |
| A319 | | | 66 | | | | |

| | Время собы- | | L_{A макс | с Нормативные значения, дБ(А) | | | | |
|--------|--------------|------------|----------------|-------------------------------|------|------|------|--|
| Тип ВС | ТИЯ | Взлет/ | -AMakt | СанПиН | | ГОСТ | | |
| | (день/ночь) | посадка | д Б (A) | День | Ночь | День | Ночь | |
| 1 | 23:00 (ночь) | посадка | 66 | _ | 60 | _ | 75 | |
| A321 | | | 72 | | | | | |
| 1 | 23:12 (ночь) | посадка | 72 | - | 60 | - | 75 | |
| CRJ2 | | | 60 | | | | | |
| 1 | 23:03 (ночь) | посадка | 60 | - | 60 | - | 75 | |
| A320 | , , , | | 70 | | | | | |
| 1 | 23:03 (ночь) | посадка | 70 | - | 60 | - | 75 | |
| AN-148 | , , , | | 64-71 | | | | | |
| 1 | 23:48 (ночь) | взлет | 64 | - | 60 | - | 75 | |
| 2 | 00:34 (ночь) | взлет | 67 | - | 60 | - | 75 | |
| 3 | 00:39 (ночь) | взлет | 71 | - | 60 | - | 75 | |
| | | 17.05.2019 | 23:00-0 | 1:00 | | | | |
| A319 | | | 66-74 | | | | | |
| 1 | 15:23 (день) | взлет | 68 | 70 | - | 85 | - | |
| 2 | 18:01 (день) | взлет | 66 | 70 | - | 85 | - | |
| 3 | 18:13 (день) | взлет | 74 | 70 | - | 85 | - | |
| 4 | 18:23 (день) | взлет | 68 | 70 | - | 85 | - | |
| A320 | , | | 62-70 | | | | | |
| 1 | 15:10 (день) | взлет | 65 | 70 | - | 85 | - | |
| 2 | 15:20 (день) | взлет | 70 | 70 | - | 85 | - | |
| 3 | 17:30 (день) | взлет | 62 | 70 | - | 85 | - | |
| 4 | 17:38 (день) | взлет | 68 | 70 | - | 85 | - | |
| 5 | 17:47 (день) | взлет | 70 | 70 | - | 85 | - | |
| 6 | 18:35 (день) | взлет | 66 | 70 | - | 85 | - | |
| 7 | 19:00 (день) | взлет | 65 | 70 | - | 85 | - | |
| A321 | | | 65-72 | | | | | |
| 1 | 15:40 (день) | взлет | 67 | 70 | - | 85 | _ | |
| 2 | 16:41 (день) | взлет | 65 | 70 | - | 85 | - | |
| 3 | 18:21 (день) | взлет | 72 | 70 | - | 85 | _ | |
| 4 | 18:33 (день) | взлет | 67 | 70 | - | 85 | _ | |
| 5 | 18:47 (день) | взлет | 68 | 70 | - | 85 | - | |
| B738 | | | 70 | | | | | |
| 1 | 16:04 (день) | взлет | 70 | 70 | - | 85 | _ | |
| B735 | | | 74 | | | | | |
| 1 | 16:07 (день) | взлет | 74 | 70 | - | 85 | _ | |
| AN-148 | | | 65-70 | | | | | |
| 1 | 16:38 (день) | взлет | 65 | 70 | | 85 | | |
| 2 | 17:56 (день) | взлет | 67 | 70 | - | 85 | - | |

| | Время собы- | D / | L_{A макс | Норма | гивные з | начения, дБ(А) | | |
|------------------------|--------------|------------|----------------|--------|----------|----------------|------|--|
| Тип ВС | ТИЯ | Взлет/ | Amarc | СанПиН | | ГОСТ | | |
| | (день/ночь) | посадка | д Б (A) | День | Ночь | День | Ночь | |
| 3 | 18:27 (день) | взлет | 70 | 70 | - | 85 | - | |
| CRJ2 | , , | | 67-68 | | | | | |
| 1 | 15:47 (день) | взлет | 67 | 70 | - | 85 | - | |
| 2 | 18:08 (день) | взлет | 68 | 70 | - | 85 | - | |
| 08.05.2019 05.00-07.00 | | | | | | | | |
| AN-148 | | | 67-73 | | | | | |
| 1 | 6:41 (ночь) | посадка | 73 | - | 60 | - | 75 | |
| 2 | 6:48 (ночь) | посадка | 67 | - | 60 | - | 75 | |
| | | 15.05.2019 | 15.00-1 | 9.00 | | | | |
| A319 | | | 56-60 | | | | | |
| 1 | 16:18 (день) | посадка | 60 | 70 | - | 85 | - | |
| 2 | 16:47 (день) | посадка | 56 | 70 | _ | 85 | - | |
| A320 | | | 52-67 | | | | | |
| 1 | 15:05 (день) | посадка | 62 | 70 | - | 85 | - | |
| 2 | 15:08 (день) | посадка | 67 | 70 | - | 85 | - | |
| 3 | 15:48 (день) | посадка | 52 | 70 | - | 85 | - | |
| 4 | 16:23 (день) | посадка | 65 | 70 | - | 85 | - | |
| 5 | 16:48 (день) | посадка | 65 | 70 | - | 85 | - | |
| A321 | | | 57-67 | | | | | |
| 1 | 15:34 (день) | посадка | 67 | 70 | - | 85 | - | |
| 2 | 16:00 (день) | посадка | 62 | 70 | - | 85 | - | |
| 3 | 16:20 (день) | посадка | 58 | 70 | - | 85 | - | |
| 4 | 17:33 (день) | посадка | 57 | 70 | - | 85 | - | |
| B738 | | | 52 | | | | | |
| 1 | 15:30 (день) | посадка | 52 | 70 | - | 85 | - | |
| AN-148 | | | 52-63 | | | | | |
| 1 | 15:46 (день) | посадка | 63 | 70 | - | 85 | - | |
| 2 | 17:30 (день) | посадка | 52 | 70 | - | 85 | - | |
| | | 15.05.2019 | | 1.00 | | | | |
| A319 | | | 66 | | | | | |
| 1 | 23:00 (ночь) | посадка | 66 | - | 60 | - | 75 | |
| A321 | | | 67-72 | | | | | |
| 1 | 23:12 (ночь) | посадка | 72 | - | 60 | - | 75 | |
| 2 | 0:59 (ночь) | посадка | 67 | - | 60 | - | 75 | |
| B735 | | | 59 | | | | | |
| 1 | 0:45 (ночь) | посадка | 59 | - | 60 | _ | 75 | |
| B738 | | | 69-70 | | | | | |
| 1 | 23:30 (ночь) | посадка | 69 | - | 60 | - | 75 | |
| 2 | 0:20 (ночь) | посадка | 70 | - | 60 | - | 75 | |

| | Время собы- | Do z oz/ | L_{A макс | Нормат | гивные з | начения | н, дБ(А) | | |
|------------------------|--------------|----------|-------------|--------|----------|---------|-----------------|--|--|
| Тип ВС | тия | Взлет/ | , | СанПиН | | ГО | CT | | |
| | (день/ночь) | посадка | дБ(А) | День | Ночь | День | Ночь | | |
| CRJ2 | | | 60 | | | | | | |
| 1 | 23:03 (ночь) | посадка | 60 | - | 60 | - | 75 | | |
| 17.05.2019 15.00-19.00 | | | | | | | | | |
| A319 | | | 56-67 | | | | | | |
| 1 | 15:21 (день) | посадка | 56 | 70 | - | 85 | - | | |
| 2 | 15:23 (день) | посадка | 61 | 70 | - | 85 | - | | |
| 3 | 16:23 (день) | посадка | 67 | 70 | - | 85 | - | | |
| A320 | | | 57-61 | | | | | | |
| 1 | 15:15 (день) | посадка | 61 | 70 | - | 85 | - | | |
| 2 | 15:19 (день) | посадка | 57 | 70 | - | 85 | - | | |
| 3 | 15:59 (день) | посадка | 58 | 70 | - | 85 | - | | |
| 4 | 16:28 (день) | посадка | 58 | 70 | _ | 85 | - | | |
| 5 | 17:06 (день) | посадка | 60 | 70 | - | 85 | - | | |
| A321 | | | 56-64 | | | | | | |
| 1 | 15:16 (день) | посадка | 56 | 70 | - | 85 | - | | |
| 2 | 15:35 (день) | посадка | 57 | 70 | - | 85 | - | | |
| 3 | 16:13 (день) | посадка | 59 | 70 | - | 85 | - | | |
| 4 | 16:15 (день) | посадка | 56 | 70 | - | 85 | - | | |
| 5 | 17:22 (день) | посадка | 64 | 70 | - | 85 | - | | |
| 6 | 18:26 (день) | посадка | 57 | 70 | - | 85 | - | | |
| B735 | | | 60-67 | | | | | | |
| 1 | 15:25 (день) | посадка | 63 | 70 | - | 85 | - | | |
| 2 | 17:21 (день) | посадка | 60 | 70 | - | 85 | - | | |
| 3 | 18:51 (день) | посадка | 67 | 70 | _ | 85 | - | | |
| B738 | | | 59-63 | | | | | | |
| 1 | 15:43 (день) | посадка | 63 | 70 | - | 85 | - | | |
| 2 | 18:13 (день) | посадка | 59 | 70 | - | 85 | - | | |
| CRJ2 | | | 61 | | | | | | |
| 1 | 15:40 (день) | посадка | 61 | 70 | - | 85 | - | | |

Таблица Б.10 — Результаты проведения мониторинга в точке №10 (г. Красное Село, ул. Геологическая).

| Тип ВС | Время собы- | посалка , | L _{Амакс} Нормативны | | | значения, дБ(А) | | |
|------------------------|-------------|-----------|--------------------------------------|--------|------|-----------------|------|--|
| | ТИЯ | | , | СанПиН | | ГОСТ | | |
| | (день/ночь) | | дБ(А) | День | Ночь | День | Ночь | |
| 24.02.2019 23:00-01:00 | | | | | | | | |
| AN-148 | | | 45-55 | | | | | |
| 1 | 23:47(ночь) | взлет | 53 | - | 60 | - | 75 | |

| Тип ВС | Время собы- тия (день/ночь) | Взлет/ посадка | $L_{A_{ m Makc}}$ | Нормативные значения, дБ(А) | | | | |
|------------------------|-----------------------------------|-------------------|-------------------|-----------------------------|------|------|------|--|
| | | | AMARC | СанПиН | | ГОСТ | | |
| | | | дБ(А) | День | Ночь | День | Ночь | |
| 2 | 00:42(ночь) | взлет | 55 | - | 60 | - | 75 | |
| 3 | 00:52(ночь) | взлет | 45 | - | 60 | - | 75 | |
| 25.02.2019 05:00-07:00 | | | | | | | | |
| A319 | | | 49 | | | | | |
| 1 | 05:25 (ночь) | взлет | 49 | - | 60 | ı | 75 | |
| A320 | | | 56 | | | | | |
| 1 | 05:53 (ночь) | взлет | 56 | - | 60 | - | 75 | |
| A321 | | | 54 | | | | | |
| 1 | 06:19 (ночь) | взлет | 54 | - | 60 | - | 75 | |
| | | 02.03.2019 | 15:00-1 | 9:00 | | | | |
| A319 | | | 49-51 | | | | | |
| 1 | 15:01(день) | Посадка | 49 | 70 | - | 85 | - | |
| 2 | 15:13(день) | Посадка | 49 | 70 | - | 85 | - | |
| 3 | 15:35(день) | Посадка | 49 | 70 | - | 85 | - | |
| 4 | 15:52(день) | Посадка | 49 | 70 | - | 85 | - | |
| 5 | 15:59(день) | Посадка | 49 | 70 | - | 85 | - | |
| 6 | 16:04(день) | Посадка | 49 | 70 | - | 85 | _ | |
| 7 | 16:17(день) | Посадка | 49 | 70 | - | 85 | - | |
| 8 | 16:37(день) | Посадка | 50 | 70 | - | 85 | - | |
| 9 | 16:40(день) | Посадка | 49 | 70 | - | 85 | - | |
| 10 | 16:50(день) | Посадка | 50 | 70 | - | 85 | - | |
| 11 | 17:29(день) | Посадка | 49 | 70 | - | 85 | - | |
| 12 | 18:34(день) | Посадка | 51 | 70 | - | 85 | - | |
| 13 | 18:46(день) | Посадка | 51 | 70 | - | 85 | - | |
| 14 | 18:47(день) | Посадка | 51 | 70 | | 85 | | |
| A320 | | | 49-51 | | | | | |
| 1 | 15:04 (день) | Посадка | 49 | 70 | - | 85 | - | |
| 2 | 15:32 (день) | Посадка | 50 | 70 | - | 85 | - | |
| 3 | 15:48 (день) | Посадка | 49 | 70 | - | 85 | - | |
| 4 | 16:23 (день) | Посадка | 49 | 70 | - | 85 | - | |
| 5 | 16:29 (день) | Посадка | 50 | 70 | - | 85 | - | |
| 6 | 16:45 (день) | Посадка | 49 | 70 | - | 85 | - | |
| 7 | 16:59 (день) | Посадка | 49 | 70 | - | 85 | - | |
| 8 | 17:03 (день) | Посадка | 49 | 70 | - | 85 | - | |
| 9 | 17:06 (день) | Посадка | 50 | 70 | - | 85 | - | |
| 10 | 18:06 (день) | Посадка | 51 | 70 | | 85 | | |
| 11 | 18:42 (день) | Посадка | 51 | 70 | | 85 | | |
| AN-148 | | | 49-50 | | | | | |
| 1 | 15:26 (день) | Посадка | 49 | 70 | - | 85 | - | |

| | Время собы- тия | Взлет/ | $L_{A	ext{makc}}$ | Нормативные значения, дБ(А) | | | | |
|--------|--------------------|------------|-------------------|-----------------------------|------|------|------|--|
| Тип ВС | | | 9 | СанПиН | | ГОСТ | | |
| | (день/ночь) | посадка | дБ(А) | День | Ночь | День | Ночь | |
| 2 | 16:07 (день) | Посадка | 49 | 70 | - | 85 | - | |
| 3 | 16:11(день) | Посадка | 50 | 70 | | 85 | | |
| B735 | | | 51 | | | | | |
| 1 | 18:26 (день) | Посадка | 51 | 70 | - | 85 | - | |
| 2 | 18:28 (день) | Посадка | 51 | 70 | - | 85 | - | |
| 3 | 1831 (день) | Посадка | 51 | 70 | - | 85 | - | |
| CRJ2 | | | 51 | | | | | |
| 1 | 17:49 (день) | Посадка | 51 | 70 | - | 85 | - | |
| | | 14.03.2019 | 15:00-1 | 9:00 | | | • | |
| A319 | | | 46-59 | | | | | |
| 1 | 15:44 (день) | Взлёт | 53 | 70 | - | 85 | - | |
| 2 | 15:47 (день) | Взлёт | 50 | 70 | | 85 | | |
| 3 | 15:52 (день) | Взлёт | 52 | 70 | - | 85 | - | |
| 4 | 16:15 (день) | Взлёт | 48 | 70 | - | 85 | - | |
| 5 | 17:21 (день) | Взлёт | 59 | 70 | - | 85 | - | |
| 6 | 17:32 (день) | Взлёт | 56 | 70 | - | 85 | - | |
| 7 | 17:36 (день) | Взлёт | 48 | 70 | - | 85 | - | |
| 8 | 17:41 (день) | Взлёт | 46 | 70 | - | 85 | - | |
| 9 | 17:43 (день) | Взлёт | 48 | 70 | - | 85 | - | |
| 10 | 18:05 (день) | Взлёт | 52 | 70 | - | 85 | - | |
| A320 | , , | | 48-66 | | | | | |
| 1 | 16:33 (день) | Взлёт | 66 | 70 | - | 85 | - | |
| 2 | 16:42 (день) | Взлёт | 53 | 70 | - | 85 | - | |
| 3 | 18:12 (день) | Взлёт | 48 | 70 | - | 85 | - | |
| 4 | 18:27 (день) | Взлёт | 60 | 70 | - | 85 | - | |
| 5 | 18:32 (день) | Взлёт | 56 | 70 | | 85 | | |
| A321 | , , | | 52-55 | | | | | |
| 1 | 15:29 (день) | Взлёт | 55 | 70 | _ | 85 | _ | |
| 2 | 18:39 (день) | Взлёт | 52 | 70 | - | 85 | - | |
| AN-148 | | | 48-54 | | | | | |
| 1 | 15:53 (день) | Взлёт | 48 | 70 | - | 85 | - | |
| 2 | 17:25 (день) | Взлёт | 54 | 70 | | 85 | | |
| B735 | | | 50-64 | | | | | |
| 1 | 15:38 (день) | Взлёт | 50 | 70 | - | 85 | - | |
| 2 | 16:24 (день) | Взлёт | 64 | 70 | _ | 85 | | |
| 3 | 18:37 (день) | Взлёт | 60 | 70 | - | 85 | - | |
| CRJ2 | | | 64 | | | | | |
| 1 | 15:05 (день) | Взлёт | 64 | 70 | - | 85 | - | |
| | ` | 06.05.2019 | 05.00-0 | 7.00 | - | - | - | |
| | | | | | | | | |

| | Время собы- | D/ | $L_{A{ m Makc}}$ | Нормат | гивные з | начения | н, дБ(А) |
|--------|--------------|---------------------|------------------|-----------|----------|---------|----------|
| Тип ВС | ТИЯ | Взлет/ | , | Сан | ПиН | ГО | CT |
| | (день/ночь) | посадка | дБ(А) | День | Ночь | День | Ночь |
| B738 | | | 44 | | | | |
| 1 | 6:18 (ночь) | посадка | 44 | - | 60 | - | 75 |
| AN-148 | | | 45 | | | | |
| 1 | 6:24 (ночь) | посадка | 45 | - | 60 | - | 75 |
| 2 | 6:35 (ночь) | посадка | 45 | - | 60 | - | 75 |
| | | 06.05.2019 | 15.00-1 | 9.00 | | | _ |
| A319 | | | 58-62 | | | | |
| 1 | 15:25 (день) | взлет | 62 | 70 | - | 85 | - |
| 2 | 15:39 (день) | взлет | 60 | 70 | - | 85 | - |
| 3 | 15:54 (день) | взлет | 59 | 70 | - | 85 | - |
| 4 | 17:22 (день) | взлет | 60 | 70 | - | 85 | - |
| 5 | 18:23 (день) | взлет | 58 | 70 | - | 85 | _ |
| A320 | | | 59-64 | | | | |
| 1 | 16:27 (день) | взлет | 64 | 70 | - | 85 | - |
| 2 | 16:30 (день) | взлет | 59 | 70 | - | 85 | - |
| 3 | 16:43 (день) | взлет | 62 | 70 | - | 85 | - |
| 4 | 17:44 (день) | взлет | 63 | 70 | - | 85 | - |
| 5 | 17:47 (день) | взлет | 61 | 70 | - | 85 | - |
| A321 | | | 60-61 | | | | |
| 1 | 16:58 (день) | взлет | 61 | 70 | - | 85 | - |
| 2 | 18:39 (день) | взлет | 60 | 70 | - | 85 | - |
| B738 | | | 57-63 | | | | |
| 1 | 16:11 (день) | взлет | 63 | 70 | - | 85 | - |
| 2 | 16:41 (день) | взлет | 57 | 70 | - | 85 | - |
| AN-148 | | | 58-64 | | | | |
| 1 | 16:32 (день) | взлет | 64 | 70 | - | 85 | - |
| 2 | 16:49 (день) | взлет | 60 | 70 | - | 85 | _ |
| 3 | 17:30 (день) | взлет | 58 | 70 | - | 85 | - |
| | 14.0 | <u>5.2019-15.05</u> | | 3.00-01.0 | U | | |
| A321 | | | 74 | | | | _ |
| 1 | 23:03 (ночь) | взлет | 74 | - | 60 | - | 75 |
| AN-148 | 22.25 | | 55-59 | | | | |
| 1 | 23:35 (ночь) | взлет | 59 | - | 60 | - | 75 |
| 2 | 0:24 (ночь) | взлет | 58 | - | 60 | - | 75 |
| 3 | 0:38 (ночь) | ВЗЛЕТ | 55 | - | 60 | - | 75 |
| 1010 | | 16.05.2019 | | 9.00 | | | |
| A319 | 15.00 / | | 47-49 | 7.0 | | 0.5 | |
| 1 | 15:29 (день) | взлет | 47 | 70 | - | 85 | - |
| 2 | 16:09 (день) | взлет | 48 | 70 | - | 85 | - |

| | Время собы- | D / | L_{A макс | Нормат | гивные з | значения | т, дБ(А) |
|--------|--------------|------------|----------------|--------|----------|----------|-----------------|
| Тип ВС | ТИЯ | Взлет/ | Amarc | Сан | ПиН | ГО | CT |
| | (день/ночь) | посадка | д Б (A) | День | Ночь | День | Ночь |
| 3 | 16:48 (день) | взлет | 47 | 70 | - | 85 | - |
| 4 | 17:20 (день) | взлет | 48 | 70 | - | 85 | - |
| 5 | 17:35 (день) | взлет | 48 | 70 | - | 85 | - |
| 6 | 17:48 (день) | взлет | 48 | 70 | - | 85 | - |
| 7 | 18:04 (день) | взлет | 49 | 70 | - | 85 | - |
| A320 | | | 48-51 | | | | |
| 1 | 15:15 (день) | взлет | 48 | 70 | - | 85 | - |
| 2 | 15:34 (день) | взлет | 49 | 70 | - | 85 | - |
| 3 | 16:34 (день) | взлет | 51 | 70 | - | 85 | - |
| 4 | 16:37 (день) | взлет | 48 | 70 | - | 85 | - |
| 5 | 17:38 (день) | взлет | 48 | 70 | - | 85 | - |
| 6 | 18:24 (день) | взлет | 49 | 70 | - | 85 | - |
| A321 | | | 48-49 | | | | |
| 1 | 16:20 (день) | взлет | 48 | 70 | - | 85 | - |
| 2 | 17:07 (день) | взлет | 48 | 70 | - | 85 | - |
| 3 | 17:44 (день) | взлет | 48 | 70 | - | 85 | - |
| 4 | 18:43 (день) | взлет | 49 | 70 | - | 85 | - |
| B735 | | | 48 | | | | |
| 1 | 16:02 (день) | взлет | 48 | 70 | - | 85 | - |
| B738 | | | 47-55 | | | | |
| 1 | 16:12 (день) | взлет | 47 | 70 | - | 85 | - |
| 2 | 16:51 (день) | взлет | 55 | 70 | - | 85 | - |
| 3 | 17:03 (день) | взлет | 47 | 70 | - | 85 | - |
| AN-148 | | | 48-49 | | | | |
| 1 | 16:05 (день) | взлет | 49 | 70 | - | 85 | - |
| 2 | 16:22 (день) | взлет | 49 | 70 | - | 85 | - |
| 3 | 16:38 (день) | взлет | 48 | 70 | - | 85 | - . |
| 4 | 17:33 (день) | взлет | 48 | 70 | - | 85 | - |
| CRJ2 | | | 47-49 | | | | |
| 1 | 15:24 (день) | взлет | 47 | 70 | - | 85 | - |
| 2 | 16:00 (день) | взлет | 49 | 70 | - | 85 | - |
| 3 | 17:00 (день) | взлет | 47 | 70 | - | 85 | _ |
| 4 | 17:05 (день) | взлет | 47 | 70 | - | 85 | - |
| 5 | 18:27 (день) | взлет | 49 | 70 | - | 85 | - |
| | | 22.06.2020 | | 9:00 | | | |
| A319 | | | 70 | | | | |
| 1 | 16:05 (день) | посадка | 70 | 70 | - | 75 | - |
| A320 | | | 66-78 | | | | |
| 1 | 15:03 (день) | взлет | 74 | 70 | - | 75 | - |

| | Время собы- | D / | $oldsymbol{L_{A_{	ext{MAKC}}}}$ | Нормат | гивные з | начения | н, д Б (А) |
|--------|--------------|------------|---------------------------------|--------|----------|---------|-------------------|
| Тип ВС | ТИЯ | Взлет/ | , | Сан | ПиН | ГО | CT |
| | (день/ночь) | посадка | дБ(А) | День | Ночь | День | Ночь |
| 2 | 15:08 (день) | взлет | 71 | 70 | - | 75 | - |
| 3 | 15:09 (день) | взлет | 72 | 70 | - | 75 | - |
| 4 | 15:24 (день) | посадка | 68 | 70 | - | 75 | - |
| 5 | 15:28 (день) | посадка | 66 | 70 | - | 75 | - |
| 6 | 15:59 (день) | посадка | 68 | 70 | - | 75 | - |
| 7 | 16:26 (день) | посадка | 69 | 70 | - | 75 | - |
| 8 | 16:36 (день) | посадка | 69 | 70 | - | 75 | - |
| 9 | 16:42 (день) | посадка | 68 | 70 | - | 75 | - |
| 10 | 16:45 (день) | посадка | 68 | 70 | - | 75 | - |
| 11 | 16:51 (день) | посадка | 68 | 70 | - | 75 | - |
| 12 | 16:59 (день) | посадка | 69 | 70 | - | 75 | - |
| 13 | 17:21 (день) | посадка | 69 | 70 | - | 75 | - |
| 14 | 17:22 (день) | посадка | 69 | 70 | - | 75 | - |
| 15 | 17:32 (день) | посадка | 67 | 70 | - | 75 | - |
| 16 | 17:37:(день) | посадка | 68 | 70 | - | 75 | - |
| 17 | 18:02 (день) | посадка | 68 | 70 | - | 75 | - |
| 18 | 18:06 (день) | посадка | 68 | 70 | - | 75 | - |
| 19 | 18:08 (день) | посадка | 69 | 70 | - | 75 | - |
| 20 | 18:48 (день) | посадка | 78 | 70 | - | 75 | - |
| 21 | 18:51 (день) | посадка | 68 | 70 | - | 75 | - |
| 22 | 18:58 (день) | посадка | 69 | 70 | - | 75 | - |
| B735 | | | 70-74 | | | | |
| 1 | 15:11 (день) | взлет | 74 | 70 | - | 75 | - |
| 2 | 15:45 (день) | посадка | 70 | 70 | - | 75 | - |
| 3 | 16:02 (день) | посадка | 74 | 70 | - | 75 | - |
| 4 | 18:15 (день) | посадка | 70 | 70 | - | 75 | - |
| 5 | 18:18 (день) | посадка | 71 | 70 | - | 75 | - |
| 6 | 18:38 (день) | посадка | 70 | 70 | - | 75 | - |
| B763 | | | 71-74 | | | | |
| 1 | 15:00 (день) | взлет | 74 | 70 | - | 75 | - |
| 2 | 18:11 (день) | посадка | 71 | 70 | - | 75 | - |
| B73H | | | 67 | | | | |
| 1 | 16:22 (день) | посадка | 67 | 70 | - | 75 | - |
| CRJ2 | | | 67 | | | | |
| 1 | 15:14 (день) | взлет | 67 | 70 | - | 75 | - |
| 2 | 17:01(день) | посадка | 67 | 70 | - | 75 | _ |
| | | 24.06.2020 | 05:00-0 | 7:00 | | | |
| A319 | | | 66-72 | | | | |
| 1 | 05:22 (ночь) | взлет | 66 | - | 60 | - | 65 |

| | Время собы- | D / | L_{A Makc | Нормат | гивные з | начения | , д Б (А) |
|--------|--------------|------------|-------------|--------|----------|---------|------------------|
| Тип ВС | тия | Взлет/ | , | Сан | ПиН | ГО | CT |
| | (день/ночь) | посадка | дБ(А) | День | Ночь | День | Ночь |
| 2 | 06:50 (ночь) | взлет | 72 | - | 60 | - | 65 |
| A320 | | | 66-70 | | | | |
| 1 | 05:07 (ночь) | взлет | 70 | - | 60 | ı | 65 |
| 2 | 05:45 (ночь) | взлет | 67 | - | 60 | ı | 65 |
| 3 | 05:55 (ночь) | взлет | 68 | - | 60 | - | 65 |
| 4 | 06:13 (ночь) | взлет | 66 | - | 60 | - | 65 |
| B735 | | | 75 | | | | |
| 1 | 06:48 (ночь) | взлет | 75 | - | 60 | - | 65 |
| B763 | | | 66-72 | | | | |
| 1 | 05:14 (ночь) | взлет | 72 | - | 60 | - | 65 |
| 2 | 05:27 (ночь) | взлет | 66 | - | 60 | - | 65 |
| 3 | 05:36 (ночь) | взлет | 70 | - | 60 | _ | 65 |
| 4 | 06:46 (ночь) | взлет | 68 | - | 60 | - | 65 |
| CRJ2 | | | 64 | | | | |
| 1 | 06:26 (ночь) | взлет | 64 | - | 60 | - | 65 |
| | · | 06.07.2020 | 15:00-1 | 9:00 | | | |
| A319 | | | 67-73 | | | | |
| 1 | 15:51 (день) | взлет | 67 | 70 | - | 75 | - |
| 2 | 16:01 (день) | взлет | 71 | 70 | - | 75 | - |
| 3 | 17:26 (день) | взлет | 73 | 70 | - | 75 | - |
| 4 | 18:37 (день) | взлет | 71 | 70 | - | 75 | - |
| A320 | | | 68-77 | | | | |
| 1 | 15:20 (день) | взлет | 68 | 70 | - | 75 | - |
| 2 | 15:21 (день) | взлет | 68 | 70 | - | 75 | - |
| 3 | 15:23 (день) | взлет | 69 | 70 | - | 75 | - |
| 4 | 15:29 (день) | взлет | 70 | 70 | - | 75 | - |
| 5 | 15:32 (день) | взлет | 68 | 70 | - | 75 | - |
| 6 | 15:49 (день) | взлет | 68 | 70 | - | 75 | - |
| 7 | 15:53 (день) | взлет | 77 | 70 | - | 75 | - |
| 8 | 16:04 (день) | взлет | 69 | 70 | - | 75 | - |
| 9 | 16:11 (день) | взлет | 70 | 70 | - | 75 | - |
| 10 | 16:21 (день) | взлет | 73 | 70 | - | 75 | - |
| 11 | 16:22 (день) | взлет | 69 | 70 | - | 75 | - |
| 12 | 16:29 (день) | взлет | 68 | 70 | - | 75 | - |
| 13 | 16:31 (день) | взлет | 69 | 70 | - | 75 | - |
| 14 | 16:32(день) | взлет | 68 | 70 | - | 75 | - |
| 15 | 16:34 (день) | взлет | 69 | 70 | - | 75 | - |
| 16 | 16:59 (день) | взлет | 68 | 70 | - | 75 | - |
| 17 | 17:00 (день) | взлет | 75 | 70 | - | 75 | |

| | Время собы- | D / | L_{A макс | Нормат | гивные з | начения | , д Б (А) |
|--------|--------------|------------|-------------|--------|----------|---------|------------------|
| Тип ВС | ТИЯ | Взлет/ | , | Сан | ПиН | ГО | CT |
| | (день/ночь) | посадка | дБ(А) | День | Ночь | День | Ночь |
| 18 | 17:08 (день) | взлет | 75 | 70 | - | 75 | - |
| 19 | 17:15 (день) | взлет | 75 | 70 | - | 75 | - |
| 20 | 17:17 (день) | взлет | 73 | 70 | - | 75 | - |
| 21 | 17:58 (день) | взлет | 72 | 70 | - | 75 | - |
| 22 | 18:00 (день) | взлет | 72 | 70 | - | 75 | - |
| 23 | 18:08 (день) | взлет | 71 | 70 | - | 75 | - |
| 24 | 18:15 (день) | взлет | 72 | 70 | - | 75 | - |
| 25 | 18:45 (день) | взлет | 72 | 70 | - | 75 | - |
| 26 | 18:55 (день) | взлет | 68 | 70 | - | 75 | - |
| B735 | | | 70-73 | | | | |
| 1 | 15:30 (день) | взлет | 71 | 70 | - | 75 | - |
| 2 | 16:19 (день) | взлет | 73 | 70 | - | 75 | - |
| 3 | 17:39 (день) | взлет | 70 | 70 | - | 75 | - |
| B763 | | | 73-74 | | | | |
| 1 | 15:09 (день) | взлет | 74 | 70 | - | 75 | - |
| 2 | 15:26 (день) | взлет | 73 | 70 | - | 75 | |
| 3 | 16:43 (день) | взлет | 74 | 70 | - | 75 | - |
| В73Н | | | 61-72 | | | | |
| 1 | 15:36 (день) | взлет | 61 | 70 | - | 75 | - |
| 2 | 17:36 (день) | взлет | 72 | 70 | - | 75 | - |
| CRJ2 | | | 60-61 | | | | |
| 1 | 15:16 (день) | взлет | 61 | 70 | - | 75 | - |
| 2 | 16:37 (день) | взлет | 60 | 70 | - | 75 | - |
| | | 06.07.2020 | 23:00-0 | 7:00 | | | |
| A319 | | | 67-72 | | | | |
| 1 | 23:04 (ночь) | взлет | 67 | - | 60 | - | 65 |
| 2 | 00:59 (ночь) | взлет | 72 | - | 60 | - | 65 |
| A320 | | | 66-74 | | | | |
| 1 | 23:26 (ночь) | взлет | 68 | - | 60 | - | 65 |
| 2 | 23:39 (ночь) | взлет | 66 | - | 60 | - | 65 |
| 3 | 23:44 (ночь) | взлет | 73 | - | 60 | - | 65 |
| 4 | 23:53(ночь) | взлет | 74 | - | 60 | - | 65 |
| 5 | 00:04 (ночь) | взлет | 71 | - | 60 | - | 65 |
| 6 | 00:18 (ночь) | взлет | 71 | - | 60 | - | 65 |
| 7 | 00:26 (ночь) | взлет | 70 | - | 60 | - | 65 |
| 8 | 00:31(ночь) | взлет | 71 | - | 60 | - | 65 |
| 9 | 00:44 (ночь) | взлет | 69 | - | 60 | - | 65 |
| B763 | | | 70-73 | | | | |
| 1 | 23:21 (ночь) | взлет | 73 | - | 60 | - | 65 |

| | Время собы- | Do z oz/ | $L_{A_{ m Makc}}$ | Нормат | гивные з | начения | , дБ(А) |
|--------|--------------|----------|-------------------|--------|----------|---------|----------------|
| Тип ВС | тия | Взлет/ | , | Сан | ПиН | ГО | CT |
| | (день/ночь) | посадка | дБ(А) | День | Ночь | День | Ночь |
| 2 | 00:19 (ночь) | взлет | 70 | - | 60 | - | 65 |

Таблица Б.11 — Результаты проведения мониторинга в точке №11 (ул. Партизана Германа, д.28к2).

| | Время собы- | D / | $oldsymbol{L_{A	ext{Makc}}}$ | Нормат | гивные з | начения | , д Б (А) |
|--------|---------------------------------------|------------|------------------------------|--------|----------|---------|-------------------------|
| Тип ВС | тия | Взлет/ | Amake 9 | _ | ПиН | ГО | ` ` ` ` |
| | (день/ночь) | посадка | дБ(А) | День | Ночь | День | Ночь |
| | | 22.06.2020 | 23:00-0 | 1:00 | | | |
| A319 | | | 74 | | | | |
| 1 | 23:01 (ночь) | взлет | 74 | - | 60 | - | 65 |
| A320 | | | 58-67 | | | | |
| 1 | 23:34 (ночь) | взлет | 61 | - | 60 | - | 65 |
| 2 | 23:45 (ночь) | взлет | 61 | - | 60 | - | 65 |
| 3 | 23:50 (ночь) | взлет | 58 | - | 60 | - | 65 |
| 4 | 23:53 (ночь) | взлет | 60 | - | 60 | - | 65 |
| 5 | 00:02 (ночь) | взлет | 62 | - | 60 | _ | 65 |
| 6 | 00:22 (ночь) | взлет | 60 | - | 60 | - | 65 |
| 7 | 00:24 (ночь) | взлет | 58 | - | 60 | - | 65 |
| 8 | 00:25 (ночь) | взлет | 66 | - | 60 | - | 65 |
| 9 | 00:50 (ночь) | взлет | 67 | - | 60 | - | 65 |
| B763 | , , , , , , , , , , , , , , , , , , , | | 63 | | | | |
| 1 | 23:31 (ночь) | взлет | 63 | - | 60 | - | 65 |
| | | 23.06.2020 | 15:00-1 | 9:00 | | | |
| A319 | | | - | | | | |
| 1 | 16:15 (день) | посадка | - | 70 | - | 75 | - |
| A320 | | | 71-76 | | | | |
| 1 | 15:07 (день) | взлет | 73 | 70 | - | 75 | - |
| 2 | 15:15 (день) | взлет | 75 | 70 | - | 75 | - |
| 3 | 15:25 (день) | взлет | 73 | 70 | - | 75 | - |
| 4 | 15:28 (день) | взлет | 74 | 70 | - | 75 | - |
| 5 | 15:30 (день) | взлет | 73 | 70 | _ | 75 | _ |
| 6 | 15:34 (день) | взлет | 76 | 70 | - | 75 | - |
| 7 | 15:36 (день) | взлет | 71 | 70 | ı | 75 | - |
| 8 | 16:48 (день) | посадка | - | 70 | - | 75 | - |
| 9 | 16:52 (день) | посадка | _ | 70 | - | 75 | _ |
| 10 | 16:55 (день) | посадка | - | 70 | ı | 75 | - |
| 11 | 17:05 (день) | посадка | - | 70 | - | 75 | - |
| 12 | 17:08 (день) | посадка | - | 70 | - | 75 | - |

| | Время собы- | D / | L_{A макс | Нормат | гивные з | значения | , д Б (А) |
|--------|--------------|------------|-------------|--------|----------|----------|------------------|
| Тип ВС | тия | Взлет/ | 9 | Сан | ПиН | ГО | CT |
| | (день/ночь) | посадка | дБ(А) | День | Ночь | День | Ночь |
| 13 | 17:39 (день) | посадка | - | 70 | - | 75 | - |
| 14 | 17:42 (день) | посадка | - | 70 | - | 75 | - |
| 15 | 17:48 (день) | посадка | - | 70 | - | 75 | - |
| 16 | 18:09 (день) | посадка | - | 70 | - | 75 | - |
| 17 | 18:12 (день) | посадка | - | 70 | - | 75 | - |
| 18 | 18:18 (день) | посада | - | 70 | - | 75 | - |
| 19 | 18:31 (день) | посадка | - | 70 | - | 75 | - |
| B735 | | | - | | | | |
| 1 | 16:05 (день) | посадка | - | 70 | - | 75 | - |
| 2 | 18:15 (день) | посадка | - | 70 | - | 75 | - |
| 3 | 18:29 (день) | посадка | - | 70 | - | 75 | - |
| B73H | | | 78 | | | | |
| 1 | 15:26 (день) | взлет | 78 | 70 | - | 75 | - |
| 2 | 16:28 (день) | посадка | - | 70 | - | 75 | - |
| 3 | 18:41 (день) | посадка | - | 70 | - | 75 | - |
| CRJ2 | | | 61-64 | | | | |
| 1 | 15:05 (день) | взлет | 61 | 70 | - | 75 | - |
| 2 | 15:18 (день) | взлет | 64 | 70 | - | 75 | - |
| 3 | 16:44 (день) | посадка | - | 70 | - | 75 | - |
| | | 25.06.2020 | 15:00-1 | 9:00 | | | |
| A319 | | | 73-74 | | | | |
| 1 | 15:55 (день) | взлет | 73 | 70 | - | 75 | - |
| 2 | 17:40 (день) | взлет | 74 | 70 | - | 75 | - |
| A320 | | | 71-76 | | | | |
| 1 | 15:02 (день) | взлет | 73 | 70 | - | 75 | - |
| 2 | 15:10 (день) | взлет | 74 | 70 | - | 75 | - |
| 3 | 15:12 (день) | взлет | 73 | 70 | - | 75 | - |
| 4 | 15:14 (день) | взлет | 75 | 70 | - | 75 | - |
| 5 | 15:32 (день) | взлет | 74 | 70 | - | 75 | - |
| 6 | 15:34 (день) | взлет | 71 | 70 | - | 75 | - |
| 7 | 15:49 (день) | взлет | 74 | 70 | - | 75 | - |
| 8 | 16:03 (день) | взлет | 72 | 70 | - | 75 | - |
| 9 | 16:09 (день) | взлет | 73 | 70 | - | 75 | - |
| 10 | 16:27 (день) | взлет | 74 | 70 | - | 75 | - |
| 11 | 16:29 (день) | взлет | 74 | 70 | - | 75 | - |
| 12 | 16:33 (день) | взлет | 74 | 70 | - | 75 | - |
| 13 | 16:35 (день) | взлет | 73 | 70 | - | 75 | - |
| 14 | 16:55 (день) | взлет | 76 | 70 | _ | 75 | - |
| 15 | 17:09 (день) | взлет | 75 | 70 | - | 75 | - |

| | Время собы- | D / | $oldsymbol{L_{A	ext{Makc}}}$ | Нормат | гивные з | вначения | , д Б (А) |
|--------|--------------|------------|------------------------------|--------|----------|----------|------------------|
| Тип ВС | ТИЯ | Взлет/ | , | Сан | ПиН | ГО | CT |
| | (день/ночь) | посадка | дБ(А) | День | Ночь | День | Ночь |
| 16 | 17:13 (день) | взлет | 75 | 70 | - | 75 | - |
| 17 | 17:25 (день) | взлет | 73 | 70 | - | 75 | - |
| 18 | 17:58 (день) | взлет | 74 | 70 | - | 75 | - |
| 19 | 18:07 (день) | взлет | 71 | 70 | - | 75 | - |
| 20 | 18:36 (день) | взлет | 74 | 70 | - | 75 | - |
| 21 | 18:39 (день) | взлет | 72 | 70 | - | 75 | - |
| 22 | 18:42 (день) | взлет | 74 | 70 | - | 75 | - |
| 23 | 18:52 (день) | взлет | 74 | 70 | - | 75 | - |
| 24 | 18:57 (день) | взлет | 75 | 70 | - | 75 | - |
| B735 | | | 75-77 | | | | |
| 1 | 15:03 (день) | взлет | 76 | 70 | - | 75 | - |
| 2 | 16:04 (день) | взлет | 75 | 70 | - | 75 | - |
| 3 | 17:35 (день) | взлет | 77 | 70 | - | 75 | - |
| B763 | | | 76-79 | | | | |
| 1 | 15:00 (день) | взлет | 78 | 70 | - | 75 | - |
| 2 | 16:20 (день) | взлет | 79 | 70 | - | 75 | - |
| 3 | 18:12 (день) | взлет | 76 | 70 | - | 75 | - |
| В73Н | | | 78 | | | | |
| 1 | 17:37 (день) | взлет | 78 | 70 | - | 75 | - |
| CRJ2 | | | 66 | | | | |
| 1 | 15:17 (день) | взлет | 66 | 70 | - | 75 | - |
| | | 26.06.2020 | 05:00-0 | 7:00 | | | |
| A319 | | | 61-63 | | | | |
| 1 | 05:23 (ночь) | взлет | 61 | - | 60 | - | 65 |
| 2 | 06:35 (ночь) | взлет | 63 | - | 60 | - | 65 |
| A320 | | | 61-63 | | | | |
| 1 | 05:21 (ночь) | взлет | 61 | - | 60 | - | 65 |
| 2 | 05:48 (ночь) | взлет | 61 | - | 60 | - | 65 |
| 3 | 06:10 (ночь) | взлет | 63 | - | 60 | - | 65 |
| B763 | | | 63-64 | | | | |
| 1 | 05:20 (ночь) | взлет | 63 | - | 60 | - | 65 |
| 2 | 06:43 (ночь) | взлет | 64 | - | 60 | - | 65 |
| | | 05.09.2021 | | 9:00 | 1 | | |
| A319 | | | 60-66 | | | | |
| 1 | 15:09 (день) | взлет | 64 | 70 | - | 75 | - |
| 2 | 15:28 (день) | взлет | 60 | 70 | - | 75 | - |
| 3 | 15:54 (день) | взлет | 63 | 70 | - | 75 | - |
| 4 | 15:56 (день) | взлет | 66 | 70 | - | 75 | - |
| 5 | 16:06 (день) | взлет | 63 | 70 | - | 75 | - |

| Тип ВС 6 16: 7 16: 8 16: 9 16: 10 16: 11 17: 12 17: 13 18: 14 18: 15 18: 4320 1 1 15: 3 16: 4 16: 5 16: 6 16: 7 16: 8 17: 9 17: 10 18: | емя события ень/ночь) :07 (день) :10 (день) :21 (день) :34 (день) :50 (день) :16 (день) :43 (день) :00 (день) :47 (день) :47 (день) :57 (день) :01 (день) :20 (день) | ВЗЛЕТ/ посадка взлет взлет | L _{АМАКС} , дБ(А) 62 61 62 60 63 66 64 62 61 62 58-69 64 61 | День 70 70 70 70 70 70 70 70 70 70 70 70 70 | ПиН | ГО День 75 75 75 75 75 75 75 75 75 75 | СТ Ночь - - - - - - - - - - |
|---|--|--|--|--|---------------------------------|--|--|
| 6 16: 7 16: 8 16: 9 16: 10 16: 11 17: 12 17: 13 18: 14 18: 15 18: 16 18: A320 1 15: 2 15: 3 16: 4 16: 5 16: 6 16: 7 16: 8 17: 9 17: 10 18: | :07 (день) :10 (день) :21 (день) :34 (день) :50 (день) :16 (день) :43 (день) :00 (день) :45 (день) :47 (день) :57 (день) :01 (день) :20 (день) | ВЗЛЕТ | 62 61 62 60 63 66 64 62 61 61 62 58-69 | 70 70 70 70 70 70 70 70 70 70 70 | - - - - - - - | 75 75 75 75 75 75 75 75 75 75 75 | - - - - - - - |
| 7 16: 8 16: 9 16: 10 16: 11 17: 12 17: 13 18: 14 18: 15 18: 16 18: A320 1 15: 3 16: 4 16: 5 16: 6 16: 7 16: 8 17: 9 17: 10 18: | :10 (день) :21 (день) :34 (день) :50 (день) :16 (день) :43 (день) :00 (день) :47 (день) :47 (день) :57 (день) :01 (день) :20 (день) | ВЗЛЕТ | 61 62 60 63 66 64 62 61 61 62 58-69 | 70 70 70 70 70 70 70 70 70 70 | - - - - - | 75 75 75 75 75 75 75 75 75 75 | - - - - - |
| 8 16: 9 16: 10 16: 11 17: 12 17: 13 18: 14 18: 15 18: A320 1 1 15: 2 15: 3 16: 4 16: 5 16: 6 16: 7 16: 8 17: 9 17: 10 18: | :21 (день) :34 (день) :50 (день) :16 (день) :43 (день) :00 (день) :45 (день) :47 (день) :57 (день) :01 (день) :20 (день) | ВЗЛЕТ | 62 60 63 66 64 62 61 61 62 58-69 | 70 70 70 70 70 70 70 70 70 | - - - - - | 75 75 75 75 75 75 75 75 75 | - - - - - |
| 9 16: 10 16: 11 17: 12 17: 13 18: 14 18: 15 18: 16 18: A320 1 15: 2 15: 3 16: 4 16: 5 16: 6 16: 7 16: 8 17: 9 17: 10 18: | :34 (день) :50 (день) :16 (день) :43 (день) :00 (день) :45 (день) :47 (день) :57 (день) :01 (день) :20 (день) | ВЗЛЕТ ВЗЛЕТ ВЗЛЕТ ВЗЛЕТ ВЗЛЕТ ВЗЛЕТ ВЗЛЕТ ВЗЛЕТ ВЗЛЕТ | 60 63 66 64 62 61 61 62 58-69 | 70 70 70 70 70 70 70 70 | - - - - - | 75 75 75 75 75 75 75 75 75 | - - - - - |
| 10 16: 11 17: 12 17: 13 18: 14 18: 15 18: 16 18: A320 1 15: 3 16: 4 16: 5 16: 6 16: 7 16: 8 17: 9 17: 10 18: | :50 (день) :16 (день) :43 (день) :00 (день) :17 (день) :45 (день) :47 (день) :57 (день) :01 (день) :20 (день) | ВЗЛЕТ ВЗЛЕТ ВЗЛЕТ ВЗЛЕТ ВЗЛЕТ ВЗЛЕТ ВЗЛЕТ ВЗЛЕТ | 63 66 64 62 61 61 62 58-69 | 70 70 70 70 70 70 70 70 | - - - - | 75 75 75 75 75 75 75 75 | - - - - |
| 11 17: 12 17: 13 18: 14 18: 15 18: 16 18: A320 1 15: 2 15: 3 16: 4 16: 5 16: 6 16: 7 16: 8 17: 9 17: 10 18: | :16 (день) :43 (день) :00 (день) :17 (день) :45 (день) :47 (день) :00 (день) :57 (день) :01 (день) :20 (день) | ВЗЛЕТ ВЗЛЕТ ВЗЛЕТ ВЗЛЕТ ВЗЛЕТ ВЗЛЕТ ВЗЛЕТ ВЗЛЕТ | 66 64 62 61 61 62 58-69 | 70 70 70 70 70 70 70 | - - - - | 75 75 75 75 75 75 75 | - - - |
| 12 17: 13 18: 14 18: 15 18: 16 18: A320 1 15: 2 15: 3 16: 4 16: 5 16: 6 16: 7 16: 8 17: 9 17: 10 18: | :43 (день) :00 (день) :17 (день) :45 (день) :47 (день) :00 (день) :57 (день) :01 (день) :20 (день) | ВЗЛЕТ ВЗЛЕТ ВЗЛЕТ ВЗЛЕТ ВЗЛЕТ ВЗЛЕТ | 64 62 61 61 62 58-69 | 70 70 70 70 70 70 | - - - | 75 75 75 75 75 75 | - - - |
| 13 18: 14 18: 15 18: 16 18: A320 1 15: 2 15: 3 16: 4 16: 5 16: 6 16: 7 16: 8 17: 9 17: 10 18: | :00 (день) :17 (день) :45 (день) :47 (день) :00 (день) :57 (день) :01 (день) | ВЗЛЕТ ВЗЛЕТ ВЗЛЕТ ВЗЛЕТ ВЗЛЕТ ВЗЛЕТ | 62 61 61 62 58-69 64 | 70 70 70 70 70 | - - - | 75 75 75 75 | - - |
| 14 18: 15 18: 16 18: A320 1 15: 2 15: 3 16: 4 16: 5 16: 6 16: 7 16: 8 17: 9 17: 10 18: | :17 (день) :45 (день) :47 (день) :00 (день) :57 (день) :01 (день) :20 (день) | ВЗЛЕТ ВЗЛЕТ ВЗЛЕТ ВЗЛЕТ ВЗЛЕТ | 61 61 62 58-69 64 | 70 70 70 70 | - | 75 75 75 | - |
| 15 18: 16 18: A320 1 15: 2 15: 3 16: 4 16: 5 16: 6 16: 7 16: 8 17: 9 17: 10 18: | :45 (день) :47 (день) :00 (день) :57 (день) :01 (день) :20 (день) | ВЗЛЕТ ВЗЛЕТ ВЗЛЕТ ВЗЛЕТ | 61 62 58-69 64 | 70 70 70 | - | 75 75 | - |
| 16 18: A320 1 1 15: 2 15: 3 16: 4 16: 5 16: 6 16: 7 16: 8 17: 9 17: 10 18: | :47 (день) :00 (день) :57 (день) :01 (день) :20 (день) | взлет взлет взлет | 62 58-69 64 | 70 | | 75 | |
| A320 1 15: 2 15: 3 16: 4 16: 5 16: 6 16: 7 16: 8 17: 9 17: 10 18: | :00 (день) :57 (день) :01 (день) :20 (день) | взлет взлет | 58-69 64 | 70 | - | | - |
| 1 15: 2 15: 3 16: 4 16: 5 16: 6 16: 7 16: 8 17: 9 17: 10 18: | :57 (день) :01 (день) :20 (день) | взлет | 64 | | - | 75 | |
| 2 15: 3 16: 4 16: 5 16: 6 16: 7 16: 8 17: 9 17: 10 18: | :57 (день) :01 (день) :20 (день) | взлет | | | - | 75 | |
| 3 16: 4 16: 5 16: 6 16: 7 16: 8 17: 9 17: 10 18: | :01 (день) | | 61 | | | | |
| 4 16: 5 16: 6 16: 7 16: 8 17: 9 17: 10 18: | :20 (день) | взлет | UI | 70 | - | 75 | - |
| 5 16: 6 16: 7 16: 8 17: 9 17: 10 18: | | | 62 | 70 | - | 75 | - |
| 6 16: 7 16: 8 17: 9 17: 10 18: | 25 (| взлет | 58 | 70 | - | 75 | - |
| 7 16: 8 17: 9 17: 10 18: | :27 (день) | взлет | 61 | 70 | - | 75 | - |
| 7 16: 8 17: 9 17: 10 18: | :51 (день) | взлет | 59 | 70 | - | 75 | - |
| 9 17: 10 18: | :53 (день) | взлет | 62 | 70 | - | 75 | - |
| 10 18: | :23 (день) | взлет | 61 | 70 | - | 75 | - |
| 10 18: | :51 (день) | взлет | 64 | 70 | - | 75 | - |
| | :37 (день) | взлет | 62 | 70 | - | 75 | - |
| 11 18: | :48 (день) | взлет | 63 | 70 | - | 75 | - |
| | :57 (день) | взлет | 69 | 70 | - | 75 | _ |
| A321 | | | 61-65 | | | | |
| | :10 (день) | взлет | 65 | 70 | - | 75 | - |
| | :45 (день) | взлет | 64 | 70 | _ | 75 | _ |
| | :36 (день) | взлет | 63 | 70 | - | 75 | _ |
| | :43 (день) | взлет | 61 | 70 | - | 75 | - |
| B738 | (1) | | 62-65 | | | | |
| | :02 (день) | взлет | 62 | 70 | - | 75 | - |
| | :55 (день) | взлет | 65 | 70 | _ | 75 | _ |
| CRJ1 | (Денд) | 23111 | 54-61 | , , | | , , | |
| | :25 (день) | взлет | 61 | 70 | _ | 75 | _ |
| | :25 (день) | взлет | 54 | 70 | _ | 75 | _ |
| CRJ2 | с (депь) | 25.101 | 56-62 | , , | | , , | |
| | | взлет | 62 | 70 | - | 75 | - |
| 2 16: | :16 (день) | 255101 | 56 | 70 | _ | 75 | _ |

| | Время собы- | D/ | $oldsymbol{L_{A	ext{Makc}}}$ | Нормат | гивные з | начения | і, дБ(А) |
|--------|--------------|------------|------------------------------|--------|----------|---------|-----------------|
| Тип ВС | ТИЯ | Взлет/ | , | Сан | ПиН | ГО | CT |
| | (день/ночь) | посадка | дБ(А) | День | Ночь | День | Ночь |
| 3 | 18:02 (день) | взлет | 62 | 70 | - | 75 | - |
| | | 07.09.2021 | 23:00-0 | 1:00 | | | |
| A319 | | | 71-74 | | | | |
| 1 | 23:03 (ночь) | взлет | 73 | - | 60 | - | 65 |
| 2 | 23:05 (ночь) | взлет | 74 | - | 60 | - | 65 |
| 3 | 23:37 (ночь) | взлет | 72 | - | 60 | - | 65 |
| 4 | 23:51 (ночь) | взлет | 73 | - | 60 | - | 65 |
| 5 | 23:53 (ночь) | взлет | 71 | - | 60 | - | 65 |
| 6 | 23:58 (ночь) | взлет | 74 | _ | 60 | - | 65 |
| 7 | 00:07 (ночь) | взлет | 71 | - | 60 | - | 65 |
| A320 | | | 72-75 | | | | |
| 1 | 23:07 (ночь) | взлет | 75 | - | 60 | - | 65 |
| 2 | 23:34 (ночь) | взлет | 73 | - | 60 | - | 65 |
| 3 | 23:35 (ночь) | взлет | 75 | - | 60 | - | 65 |
| 4 | 23:48 (ночь) | взлет | 74 | - | 60 | - | 65 |
| 5 | 00:20 (ночь) | взлет | 72 | - | 60 | - | 65 |
| 6 | 00:29 (ночь) | взлет | 72 | - | 60 | - | 65 |
| A321 | | | 72 | | | | |
| 1 | 23:02 (ночь) | взлет | 72 | - | 60 | - | 65 |
| B738 | | | 76 | | | | |
| 1 | 00:05 (ночь) | взлет | 76 | - | 60 | - | 65 |
| | | 09.09.2021 | 15:00-1 | 9:00 | | | |
| A319 | | | 59-69 | | | | |
| 1 | 15:05 (день) | взлет | 59 | 70 | - | 75 | - |
| 2 | 15:16 (день) | взлет | 63 | 70 | - | 75 | - |
| 3 | 15:45 (день) | взлет | 66 | 70 | - | 75 | - |
| 4 | 15:52 (день) | взлет | 64 | 70 | - | 75 | - |
| 5 | 15:57 (день) | взлет | 61 | 70 | - | 75 | - |
| 6 | 16:19 (день) | взлет | 60 | 70 | - | 75 | - |
| 7 | 16:38 (день) | взлет | 65 | 70 | - | 75 | - |
| 8 | 16:46 (день) | взлет | 64 | 70 | - | 75 | - |
| 9 | 16:50 (день) | взлет | 69 | 70 | - | 75 | - |
| 10 | 16:51 (день) | взлет | 64 | 70 | - | 75 | - |
| 11 | 17:06 (день) | взлет | 60 | 70 | - | 75 | - |
| 12 | 17:30 (день) | взлет | 65 | 70 | - | 75 | - |
| 13 | 17:33 (день) | взлет | 61 | 70 | - | 75 | - |
| 14 | 18:15 (день) | взлет | 63 | 70 | - | 75 | - |
| 15 | 18:43 (день) | взлет | 63 | 70 | - | 75 | - |
| 16 | 18:46 (день) | взлет | 67 | 70 | - | 75 | - |

| | Время собы- | D / | $oldsymbol{L_{A	ext{Makc}}}$ | Нормат | гивные з | значения | ı, д Б (А) |
|--------|--------------|------------|------------------------------|--------|----------|----------|-------------------|
| Тип ВС | ТИЯ | Взлет/ | • | Сан | ПиН | ГО | CT |
| | (день/ночь) | посадка | дБ(А) | День | Ночь | День | Ночь |
| A320 | | | 59-69 | | | | |
| 1 | 15:21 (день) | взлет | 61 | 70 | - | 75 | - |
| 2 | 15:41 (день) | взлет | 61 | 70 | - | 75 | - |
| 3 | 15:43 (день) | взлет | 63 | 70 | - | 75 | - |
| 4 | 15:54 (день) | взлет | 59 | 70 | - | 75 | - |
| 5 | 16:28 (день) | взлет | 63 | 70 | - | 75 | - |
| 6 | 16:48 (день) | взлет | 63 | 70 | - | 75 | - |
| 7 | 17:55 (день) | взлет | 64 | 70 | - | 75 | - |
| 8 | 17:57 (день) | взлет | 63 | 70 | - | 75 | - |
| 9 | 18:41 (день) | взлет | 63 | 70 | - | 75 | - |
| 10 | 18:48 (день) | взлет | 65 | 70 | - | 75 | - |
| A321 | | | 66 | | | | |
| 1 | 16:40 (день) | взлет | 66 | 70 | - | 75 | - |
| 2 | 18:45 (день) | взлет | 66 | 70 | - | 75 | - |
| B738 | | | 59-66 | | | | |
| 1 | 16:33 (день) | взлет | 63 | 70 | - | 75 | - |
| 2 | 17:02 (день) | взлет | 59 | 70 | - | 75 | - |
| 3 | 17:04 (день) | взлет | 66 | 70 | - | 75 | - |
| 4 | 17:26 (день) | взлет | 66 | 70 | - | 75 | - |
| CRJ1 | | | 56 | | | | |
| 1 | 16:02 (день) | взлет | 56 | 70 | - | 75 | - |
| CRJ2 | | | 55-61 | | | | |
| 1 | 16:31 (день) | взлет | 61 | 70 | - | 75 | - |
| 2 | 17:31 (день) | взлет | 58 | 70 | - | 75 | - |
| 3 | 17:53 (день) | взлет | 55 | 70 | - | 75 | - |
| | | 14.09.2021 | 05:00-0 | 7:00 | | | |
| A319 | | | 74-75 | | | | |
| 1 | 05:34 (ночь) | взлет | 75 | - | 60 | - | 65 |
| 2 | 06:35 (ночь) | взлет | 74 | - | 60 | - | 65 |
| 3 | 06:40 (ночь) | взлет | 75 | - | 60 | - | 65 |
| 4 | 06:45 (ночь) | взлет | 75 | - | 60 | - | 65 |
| A320 | | | 74-76 | | | | |
| 1 | 05:12 (ночь) | взлет | 74 | - | 60 | - | 65 |
| 2 | 05:24 (ночь) | взлет | 75 | - | 60 | - | 65 |
| 3 | 05:25 (ночь) | взлет | 74 | - | 60 | - | 65 |
| 4 | 06:23 (ночь) | взлет | 76 | - | 60 | - | 65 |
| A321 | | | 75-78 | | | | |
| 1 | 06:26 (ночь) | взлет | 75 | - | 60 | - | 65 |
| 2 | 06:29 (ночь) | взлет | 78 | - | 60 | - | 65 |

| Тип ВС Время события (день/ночь) | Время собы- | В о жож/ | $L_{A_{ m Makc}}$ | Нормат | гивные з | вначения, дБ(А) | |
|----------------------------------|--------------|-----------------|-------------------|--------|----------|-----------------|------|
| | Взлет/ | , | Сан | СанПиН | | CT | |
| | (день/ночь) | посадка | дБ(А) | День | Ночь | День | Ночь |
| CRJ2 | | | 64 | | | | |
| 1 | 05:44 (ночь) | взлет | 64 | - | 60 | - | 65 |

Таблица Б.12 – Результаты проведения мониторинга в точке №12 (гаражный комплекс «Дружба»)

| | Время собы- | D / | L_{A макс | Нормат | гивные з | начения | н, дБ(А) |
|--------|--------------|------------|----------------|--------|----------|---------|-----------------|
| Тип ВС | тия | Взлет/ | Amake , | | ПиН | | CT |
| | (день/ночь) | посадка | д Б (A) | День | Ночь | День | Ночь |
| | | 22.06.2020 | 23:00-0 | 1:00 | • | • | |
| A319 | | | 77 | | | | |
| 1 | 23:01 (ночь) | взлет | 77 | - | 60 | - | 65 |
| A320 | | | 65-74 | | | | |
| 1 | 23:34 (ночь) | взлет | 67 | - | 60 | - | 65 |
| 2 | 23:45 (ночь) | взлет | 66 | - | 60 | - | 65 |
| 3 | 23:50 (ночь) | взлет | 66 | - | 60 | - | 65 |
| 4 | 23:53 (ночь) | взлет | 65 | - | 60 | - | 65 |
| 5 | 00:02 (ночь) | взлет | 65 | - | 60 | - | 65 |
| 6 | 00:22 (ночь) | взлет | 74 | - | 60 | - | 65 |
| 7 | 00:24 (ночь) | взлет | 74 | - | 60 | - | 65 |
| 8 | 00:25 (ночь) | взлет | 70 | - | 60 | _ | 65 |
| 9 | 00:50 (ночь) | взлет | 71 | - | 60 | - | 65 |
| B763 | | | 64 | | | | |
| 1 | 23:31 (ночь) | взлет | 64 | - | 60 | - | 65 |
| | | 23.06.2020 | 15:00-1 | 9:00 | | | |
| A319 | | | 57 | | | | |
| 1 | 16:15 (день) | посадка | 57 | 70 | - | 75 | - |
| A320 | | | 56-72 | | | | |
| 1 | 15:07 (день) | взлет | 62 | 70 | - | 75 | - |
| 2 | 15:15 (день) | взлет | 67 | 70 | - | 75 | - |
| 3 | 15:25 (день) | взлет | 68 | 70 | - | 75 | - |
| 4 | 15:28 (день) | взлет | 69 | 70 | - | 75 | - |
| 5 | 15:30 (день) | взлет | 68 | 70 | - | 75 | - |
| 6 | 15:34 (день) | взлет | 72 | 70 | - | 75 | - |
| 7 | 15:36 (день) | взлет | 71 | 70 | - | 75 | - |
| 8 | 16:48 (день) | посадка | 58 | 70 | - | 75 | - |
| 9 | 16:52 (день) | посадка | 56 | 70 | - | 75 | _ |
| 10 | 16:55 (день) | посадка | 60 | 70 | - | 75 | - |

| | Время собы- | D / | $oldsymbol{L_{A	ext{Makc}}}$ | Нормат | гивные з | начения | ı, д Б (А) |
|--------|--------------|------------|------------------------------|--------|----------|---------|-------------------|
| Тип ВС | тия | Взлет/ | , | Сан | ПиН | ГО | CT |
| | (день/ночь) | посадка | дБ(А) | День | Ночь | День | Ночь |
| 11 | 17:05 (день) | посадка | 60 | 70 | - | 75 | - |
| 12 | 17:08 (день) | посадка | 58 | 70 | - | 75 | - |
| 13 | 17:39 (день) | посадка | 60 | 70 | - | 75 | - |
| 14 | 17:42 (день) | посадка | 63 | 70 | - | 75 | - |
| 15 | 17:48 (день) | посадка | 57 | 70 | - | 75 | - |
| 16 | 18:09 (день) | посадка | 57 | 70 | - | 75 | _ |
| 17 | 18:12 (день) | посадка | 60 | 70 | - | 75 | =- |
| 18 | 18:18 (день) | посадка | 60 | 70 | - | 75 | - |
| 19 | 18:31 (день) | посадка | 60 | 70 | - | 75 | - |
| B735 | | | 59-60 | | | | |
| 1 | 16:05 (день) | посадка | 60 | 70 | - | 75 | - |
| 2 | 18:15 (день) | посадка | 59 | 70 | - | 75 | - |
| 3 | 18:29 (день) | посадка | 60 | 70 | - | 75 | - |
| B73H | | | 58-70 | | | | |
| 1 | 15:26 (день) | взлет | 70 | 70 | - | 75 | - |
| 2 | 16:28 (день) | посадка | 60 | 70 | - | 75 | - |
| 3 | 18:41 (день) | посадка | 58 | 70 | - | 75 | - |
| CRJ2 | | | 63-74 | | | | |
| 1 | 15:05 (день) | взлет | 63 | 70 | - | 75 | |
| 2 | 15:18 (день) | взлет | 57 | 70 | - | 75 | - |
| 3 | 16:44 (день) | посадка | 74 | 70 | - | 75 | - |
| | | 25.06.2020 | 15:00-1 | 9:00 | | | |
| A319 | | | 70-71 | | | | |
| 1 | 15:55 (день) | взлет | 70 | 70 | - | 75 | - |
| 2 | 17:40 (день) | взлет | 71 | 70 | - | 75 | - |
| A320 | | | 66-78 | | | | |
| 1 | 15:02 (день) | взлет | 75 | 70 | - | 75 | - |
| 2 | 15:10 (день) | взлет | 66 | 70 | - | 75 | - |
| 3 | 15:12 (день) | взлет | 73 | 70 | - | 75 | - |
| 4 | 15:14 (день) | взлет | 77 | 70 | - | 75 | - |
| 5 | 15:32 (день) | взлет | 73 | 70 | - | 75 | - |
| 6 | 15:34 (день) | взлет | 75 | 70 | - | 75 | - |
| 7 | 15:49 (день) | взлет | 75 | 70 | - | 75 | - |
| 8 | 16:03 (день) | взлет | 77 | 70 | - | 75 | - |
| 9 | 16:09 (день) | взлет | 78 | 70 | - | 75 | - |
| 10 | 16:27 (день) | взлет | 77 | 70 | - | 75 | - |
| 11 | 16:29 (день) | взлет | 78 | 70 | - | 75 | - |
| 12 | 16:33 (день) | взлет | 75 | 70 | - | 75 | - |
| 13 | 16:35 (день) | взлет | 74 | 70 | - | 75 | - |

| | Время собы- | D / | L_{A макс | Нормат | гивные з | начения | , д Б (А) |
|--------|--------------|------------|-------------|--------|----------|---------|------------------|
| Тип ВС | ТИЯ | Взлет/ | • | Сан | ПиН | ГО | CT |
| | (день/ночь) | посадка | дБ(А) | День | Ночь | День | Ночь |
| 14 | 16:55 (день) | взлет | 78 | 70 | - | 75 | - |
| 15 | 17:09 (день) | взлет | 73 | 70 | - | 75 | - |
| 16 | 17:13 (день) | взлет | 76 | 70 | - | 75 | - |
| 17 | 17:25 (день) | взлет | 74 | 70 | - | 75 | - |
| 18 | 17:58 (день) | взлет | 73 | 70 | - | 75 | - |
| 19 | 18:07 (день) | взлет | 75 | 70 | - | 75 | - |
| 20 | 18:36 (день) | взлет | 75 | 70 | - | 75 | - |
| 21 | 18:39 (день) | взлет | 74 | 70 | - | 75 | - |
| 22 | 18:42 (день) | взлет | 77 | 70 | - | 75 | - |
| 23 | 18:52 (день) | взлет | 72 | 70 | - | 75 | - |
| 24 | 18:57 (день) | взлет | 75 | 70 | - | 75 | - |
| B735 | | | 74-77 | | | | |
| 1 | 15:03 (день) | взлет | 74 | 70 | - | 75 | - |
| 2 | 16:04 (день) | взлет | 76 | 70 | - | 75 | - |
| 3 | 17:35 (день) | взлет | 77 | 70 | - | 75 | - |
| B763 | | | 76-79 | | | | |
| 1 | 15:00 (день) | взлет | 78 | 70 | - | 75 | - |
| 2 | 16:20 (день) | взлет | 79 | 70 | - | 75 | - |
| 3 | 18:12 (день) | взлет | 76 | 70 | - | 75 | - |
| В73Н | | | 77 | | | | |
| 1 | 17:37 (день) | взлет | 77 | 70 | - | 75 | - |
| CRJ2 | | | 78 | | | | |
| 1 | 15:17 (день) | взлет | 78 | 70 | - | 75 | - |
| | | 26.06.2020 | 05:00-0 | 7:00 | | | |
| A319 | | | 67 | | | | |
| 1 | 05:23 (ночь) | взлет | 67 | _ | 60 | _ | 65 |
| 2 | 06:35 (ночь) | взлет | 67 | - | 60 | - | 65 |
| A320 | | | 67-70 | | | | |
| 1 | 05:21 (ночь) | взлет | 68 | - | 60 | - | 65 |
| 2 | 05:48 (ночь) | взлет | 67 | - | 60 | - | 65 |
| 3 | 06:10 (ночь) | взлет | 70 | _ | 60 | - | 65 |
| B763 | | | 68-70 | | | | |
| 1 | 05:20 (ночь) | взлет | 70 | - | 60 | - | 65 |
| 2 | 06:43 (ночь) | взлет | 68 | - | 60 | - | 65 |

Таблица Б.12 — Результаты проведения мониторинга в точке №12 (гаражный комплекс «Дружба»)

| | Время собы- | D / | $oldsymbol{L_{A	ext{Makc}}}$ | Нормат | гивные з | начения | , д Б (A) | | |
|------------------------|--------------|------------|------------------------------|--------|----------|---------|-------------------------|--|--|
| Тип ВС | тия | Взлет/ | , | Сан | ПиН | ГО | CT | | |
| | (день/ночь) | посадка | дБ(А) | День | Ночь | День | Ночь | | |
| | | 22.06.2020 | 23:00-0 | 1:00 | | | | | |
| A319 | | | 62 | | | | | | |
| 1 | 23:01 (ночь) | взлет | 62 | - | 60 | ı | 65 | | |
| A320 | | | 70-79 | | | | | | |
| 1 | 23:34 (ночь) | взлет | 79 | - | 60 | ı | 65 | | |
| 2 | 23:45 (ночь) | взлет | 74 | - | 60 | - | 65 | | |
| 3 | 23:50 (день) | взлет | 76 | - | 60 | - | 65 | | |
| 4 | 23:53 (ночь) | взлет | 74 | - | 60 | - | 65 | | |
| 5 | 00:02 (ночь) | взлет | 75 | - | 60 | - | 65 | | |
| 6 | 00:22 (ночь) | взлет | 76 | - | 60 | - | 65 | | |
| 7 | 00:24 (ночь) | взлет | 75 | - | 60 | - | 65 | | |
| 8 | 00:25 (ночь) | взлет | 70 | - | 60 | - | 65 | | |
| 9 | 00:50 (ночь) | взлет | 73 | - | 60 | - | 65 | | |
| B763 | | | 68 | | | | | | |
| 1 | 23:31 (ночь) | взлет | 68 | - | 60 | - | 65 | | |
| 23.06.2020 15:00-19:00 | | | | | | | | | |
| A319 | | | 74 | | | | | | |
| 1 | 16:15 (день) | посадка | 74 | 70 | - | 75 | - | | |
| A320 | | | 62-76 | | | | | | |
| 1 | 15:07 (день) | взлет | 67 | 70 | - | 75 | - | | |
| 2 | 15:15 (день) | взлет | 62 | 70 | - | 75 | - | | |
| 3 | 15:25 (день) | взлет | 62 | 70 | - | 75 | - | | |
| 4 | 15:28 (день) | взлет | 63 | 70 | - | 75 | - | | |
| 5 | 15:30 (день) | взлет | 62 | 70 | - | 75 | - | | |
| 6 | 15:34 (день) | взлет | 66 | 70 | - | 75 | _ | | |
| 7 | 15:36 (день) | взлет | 64 | 70 | - | 75 | - | | |
| 8 | 16:48 (день) | посадка | 75 | 70 | - | 75 | - | | |
| 9 | 16:52 (день) | посадка | 74 | 70 | - | 75 | - | | |
| 10 | 16:55 (день) | посадка | 75 | 70 | - | 75 | - | | |
| 11 | 17:05 (день) | посадка | 74 | 70 | - | 75 | - | | |
| 12 | 17:08 (день) | посадка | 74 | 70 | - | 75 | - | | |
| 13 | 17:39 (день) | посадка | 76 | 70 | - | 75 | - | | |
| 14 | 17:42 (день) | посадка | 74 | 70 | - | 75 | - | | |
| 15 | 17:48 (день) | посадка | 73 | 70 | - | 75 | - | | |
| 16 | 18:09 (день) | посадка | 74 | 70 | - | 75 | - | | |
| 17 | 18:12 (день) | посадка | 74 | 70 | - | 75 | - | | |

| | Время собы- | D ., / | $\boldsymbol{L_{A}}_{Makc}$ | Нормат | гивные з | начения | н, дБ(А) |
|--------|--------------|---------------|-----------------------------|--------|----------|---------|-----------------|
| Тип ВС | ТИЯ | Взлет/ | , | Сан | ПиН | ГО | CT |
| | (день/ночь) | посадка | дБ(А) | День | Ночь | День | Ночь |
| 18 | 18:18 (день) | посадка | 74 | 70 | - | 75 | - |
| 19 | 18:31 (день) | посадка | 75 | 70 | - | 75 | - |
| B735 | , , , , , | | 77-79 | | | | |
| 1 | 16:05 (день) | посадка | 77 | 70 | - | 75 | - |
| 2 | 18:15 (день) | посадка | 79 | 70 | - | 75 | - |
| 3 | 18:29 (день) | посадка | 78 | 70 | - | 75 | - |
| В73Н | | | 66-76 | | | | |
| 1 | 15:26 (день) | взлет | 66 | 70 | - | 75 | - |
| 2 | 16:28 (день) | посадка | 76 | 70 | - | 75 | - |
| 3 | 18:41 (день) | посадка | 73 | 70 | - | 75 | - |
| CRJ2 | | | 62-74 | | | | |
| 1 | 15:05 (день) | взлет | 62 | 70 | - | 75 | - |
| 2 | 15:18 (день) | взлет | 56 | 70 | - | 75 | - |
| 3 | 16:44 (день) | посадка | 74 | 70 | - | 75 | - |
| | | 25.06.2020 | 15:00-1 | 9:00 | | | |
| A319 | | | 64-67 | | | | |
| 1 | 15:55 (день) | взлет | 64 | 70 | - | 75 | - |
| 2 | 17:40 (день) | взлет | 67 | 70 | - | 75 | - |
| A320 | | | 62-72 | | | | |
| 1 | 15:02 (день) | взлет | 66 | 70 | - | 75 | - |
| 2 | 15:10 (день) | взлет | 62 | 70 | - | 75 | - |
| 3 | 15:12 (день) | взлет | 68 | 70 | - | 75 | - |
| 4 | 15:14 (день) | взлет | 64 | 70 | - | 75 | - |
| 5 | 15:32 (день) | взлет | 66 | 70 | - | 75 | - |
| 6 | 15:34 (день) | взлет | 67 | 70 | - | 75 | - |
| 7 | 15:49 (день) | взлет | 66 | 70 | - | 75 | - |
| 8 | 16:03 (день) | взлет | 63 | 70 | - | 75 | - |
| 9 | 16:09 (день) | взлет | 65 | 70 | - | 75 | - |
| 10 | 16:27 (день) | взлет | 63 | 70 | - | 75 | - |
| 11 | 16:29 (день) | взлет | 65 | 70 | - | 75 | - |
| 12 | 16:33 (день) | взлет | 66 | 70 | - | 75 | - |
| 13 | 16:35 (день) | взлет | 63 | 70 | - | 75 | - |
| 14 | 16:55 (день) | взлет | 71 | 70 | - | 75 | - |
| 15 | 17:09 (день) | взлет | 64 | 70 | - | 75 | - |
| 16 | 17:13 (день) | взлет | 62 | 70 | - | 75 | - |
| 17 | 17:25 (день) | взлет | 63 | 70 | - | 75 | - |
| 18 | 17:58 (день) | взлет | 64 | 70 | - | 75 | - |
| 19 | 18:07 (день) | взлет | 72 | 70 | - | 75 | - |
| 20 | 18:36 (день) | взлет | 66 | 70 | - | 75 | - |

| | Время собы- | D / | L_{A макс | Нормат | гивные з | значения | н, д Б (А) |
|--------|---------------------------------------|------------|-------------|--------|----------|----------|-------------------|
| Тип ВС | ТИЯ | Взлет/ | , | Сан | ПиН | ГО | CT |
| | (день/ночь) | посадка | дБ(А) | День | Ночь | День | Ночь |
| 21 | 18:39 (день) | взлет | 68 | 70 | - | 75 | - |
| 22 | 18:42 (день) | взлет | 68 | 70 | - | 75 | - |
| 23 | 18:52 (день) | взлет | 64 | 70 | - | 75 | - |
| 24 | 18:57 (день) | взлет | 67 | 70 | - | 75 | - |
| B735 | | | 64-72 | | | | |
| 1 | 15:03 (день) | взлет | 72 | 70 | - | 75 | - |
| 2 | 16:04 (день) | взлет | 64 | 70 | - | 75 | - |
| 3 | 17:35 (день) | взлет | 67 | 70 | - | 75 | - |
| B763 | | | 69-71 | | | | |
| 1 | 15:00 (день) | взлет | 69 | 70 | - | 75 | - |
| 2 | 16:20 (день) | взлет | 70 | 70 | - | 75 | - |
| 3 | 18:12 (день) | взлет | 71 | 70 | - | 75 | - |
| В73Н | | | 67 | | | | |
| 1 | 17:37 (день) | взлет | 67 | 70 | - | 75 | - |
| CRJ2 | | | 58 | | | | |
| 1 | 15:17 (день) | взлет | 58 | 70 | - | 75 | - |
| | · · · · · · · · · · · · · · · · · · · | 26.06.2020 | 05:00-0 | 7:00 | | | |
| A319 | | | 76-77 | | | | |
| 1 | 05:23 (ночь) | взлет | 77 | - | 60 | - | 65 |
| 2 | 06:35 (ночь) | взлет | 76 | - | 60 | - | 65 |
| A320 | , , | | 76-77 | | | | |
| 1 | 05:21 (ночь) | взлет | 77 | - | 60 | - | 65 |
| 2 | 05:48 (ночь) | взлет | 76 | - | 60 | - | 65 |
| 3 | 06:10 (ночь) | взлет | 76 | - | 60 | - | 65 |
| B763 | | | 75-76 | | | | |
| 1 | 05:20 (ночь) | взлет | 75 | - | 60 | - | 65 |
| 2 | 06:43 (ночь) | взлет | 76 | - | 60 | - | 65 |
| | | 05.09.2021 | 15:00-1 | 9:00 | | | |
| A319 | | | 71-77 | | | | |
| 1 | 15:09 (день) | взлет | 73 | 70 | - | 75 | - |
| 2 | 15:28 (день) | взлет | 73 | 70 | - | 75 | - |
| 3 | 15:54 (день) | взлет | 74 | 70 | - | 75 | - |
| 4 | 15:56 (день) | взлет | 73 | 70 | _ | 75 | _ |
| 5 | 16:06 (день) | взлет | 73 | 70 | - | 75 | _ |
| 6 | 16:07 (день) | взлет | 76 | 70 | _ | 75 | - |
| 7 | 16:10 (день) | взлет | 74 | 70 | _ | 75 | _ |
| 8 | 16:21 (день) | взлет | 76 | 70 | - | 75 | _ |
| 9 | 16:34 (день) | взлет | 77 | 70 | _ | 75 | _ |
| 10 | 16:50 (день) | взлет | 74 | 70 | - | 75 | - |

| | Время собы- | D / | L_{A макс | Нормат | гивные з | вначения | н, д Б (А) |
|--------|--------------|------------|-------------|--------|----------|----------|-------------------|
| Тип ВС | ТИЯ | Взлет/ | , | Сан | ПиН | ГО | CT |
| | (день/ночь) | посадка | дБ(А) | День | Ночь | День | Ночь |
| 11 | 17:16 (день) | взлет | 76 | 70 | - | 75 | - |
| 12 | 17:43 (день) | взлет | 75 | 70 | - | 75 | - |
| 13 | 18:00 (день) | взлет | 71 | 70 | - | 75 | - |
| 14 | 18:17 (день) | взлет | 75 | 70 | - | 75 | - |
| 15 | 18:45 (день) | взлет | 74 | 70 | - | 75 | - |
| 16 | 18:47 (день) | взлет | 75 | 70 | - | 75 | - |
| A320 | | | 64-76 | | | | |
| 1 | 15:00 (день) | взлет | 76 | 70 | - | 75 | - |
| 2 | 15:57 (день) | взлет | 74 | 70 | - | 75 | - |
| 3 | 16:01 (день) | взлет | 75 | 70 | - | 75 | - |
| 4 | 16:20 (день) | взлет | 64 | 70 | - | 75 | - |
| 5 | 16:27 (день) | взлет | 75 | 70 | - | 75 | - |
| 6 | 16:51 (день) | взлет | 74 | 70 | - | 75 | - |
| 7 | 16:53 (день) | взлет | 75 | 70 | - | 75 | - |
| 8 | 17:23 (день) | взлет | 75 | 70 | - | 75 | - |
| 9 | 17:51 (день) | взлет | 73 | 70 | - | 75 | - |
| 10 | 18:37 (день) | взлет | 74 | 70 | - | 75 | - |
| 11 | 18:48 (день) | взлет | 73 | 70 | - | 75 | - |
| 12 | 18:57 (день) | взлет | 76 | 70 | - | 75 | - |
| A321 | | | 74-77 | | | | |
| 1 | 15:10 (день) | взлет | 76 | 70 | - | 75 | - |
| 2 | 15:45 (день) | взлет | 74 | 70 | - | 75 | - |
| 3 | 16:36 (день) | взлет | 77 | 70 | - | 75 | - |
| 4 | 18:43 (день) | взлет | 75 | 70 | - | 75 | - |
| B738 | | | 72-74 | | | | |
| 1 | 15:02 (день) | взлет | 74 | 70 | - | 75 | - |
| 2 | 17:55 (день) | взлет | 72 | 70 | - | 75 | - |
| CRJ1 | , , | | 61-67 | | | | |
| 1 | 16:25 (день) | взлет | 67 | 70 | - | 75 | - |
| 2 | 17:25 (день) | взлет | 61 | 70 | - | 75 | - |
| CRJ2 | | | 63-74 | | | | |
| 1 | 15:16 (день) | взлет | 74 | 70 | - | 75 | - |
| 2 | 16:56 (день) | взлет | 63 | 70 | - | 75 | - |
| 3 | 18:02 (день) | взлет | 67 | 70 | - | 75 | - |
| | | 07.09.2021 | 23:00-0 | 1:00 | • | • | • |
| A319 | | | 69-75 | | | | |
| 1 | 23:03 (ночь) | взлет | 74 | - | 60 | - | 65 |
| 2 | 23:05 (ночь) | взлет | 74 | - | 60 | - | 65 |

| | Время собы- | Do . / | L_{A макс | Нормат | гивные з | значения | н, дБ(А) |
|--------|---|------------|-------------|--------|----------|----------|-----------------|
| Тип ВС | тия | Взлет/ | • | Сан | ПиН | ГО | CT |
| | (день/ночь) | посадка | дБ(А) | День | Ночь | День | Ночь |
| 3 | 23:37 (ночь) | взлет | 73 | - | 60 | - | 65 |
| 4 | 23:51 (ночь) | взлет | 75 | - | 60 | - | 65 |
| 5 | 23:53 (ночь) | взлет | 70 | - | 60 | - | 65 |
| 6 | 23:58 (ночь) | взлет | 71 | - | 60 | - | 65 |
| 7 | 00:07 (ночь) | взлет | 69 | - | 60 | - | 65 |
| A320 | | | 70-75 | | | | |
| 1 | 23:07 (ночь) | взлет | 75 | - | 60 | - | 65 |
| 2 | 23:34 (ночь) | взлет | 74 | - | 60 | - | 65 |
| 3 | 23:35 (ночь) | взлет | 71 | - | 60 | - | 65 |
| 4 | 23:48 (ночь) | взлет | 73 | - | 60 | - | 65 |
| 5 | 00:20 (ночь) | взлет | 74 | - | 60 | - | 65 |
| 6 | 00:29 (ночь) | взлет | 70 | | 60 | - | 65 |
| A321 | | | 76 | | | | |
| 1 | 23:02 (ночь) | взлет | 76 | - | 60 | - | 65 |
| B738 | | | 74 | | | | |
| 1 | 00:05 (ночь) | взлет | 74 | - | 60 | - | 65 |
| | , | 09.09.2021 | 15:00-1 | 9:00 | • | • | |
| A319 | | | 72-74 | | | | |
| 1 | 15:05 (день) | взлет | 73 | 70 | - | 75 | - |
| 2 | 15:16 (день) | взлет | 72 | 70 | - | 75 | - |
| 3 | 15:45 (день) | взлет | 74 | 70 | - | 75 | - |
| 4 | 15:52 (день) | взлет | 73 | 70 | - | 75 | - |
| 5 | 15:57 (день) | взлет | 73 | 70 | - | 75 | - |
| 6 | 16:19 (день) | взлет | 74 | 70 | - | 75 | - |
| 7 | 16:38 (день) | взлет | 74 | 70 | - | 75 | - |
| 8 | 16:46 (день) | взлет | 74 | 70 | - | 75 | - |
| 9 | 16:50 (день) | взлет | 73 | 70 | - | 75 | - |
| 10 | 16:51 (день) | взлет | 73 | 70 | - | 75 | - |
| 11 | 17:06 (день) | взлет | 73 | 70 | - | 75 | - |
| 12 | 17:30 (день) | взлет | 72 | 70 | - | 75 | - |
| 13 | 17:33 (день) | взлет | 74 | 70 | _ | 75 | - |
| 14 | 18:15 (день) | взлет | 74 | 70 | - | 75 | - |
| 15 | 18:43 (день) | взлет | 73 | 70 | | 75 | - |
| 16 | 18:46 (день) | взлет | 73 | 70 | - | 75 | - |
| A320 | | | 71-75 | | | | |
| 1 | 15:21 (день) | взлет | 73 | 70 | - | 75 | - |
| 2 | 15:41 (день) | взлет | 73 | 70 | - | 75 | - |
| 3 | 15:43 (день) | взлет | 75 | 70 | - | 75 | - |
| 4 | 15:54 (день) | взлет | 73 | 70 | - | 75 | - |

| | Время собы- | D / | L_{A макс | Норма | гивные з | значения | н, д Б (А) |
|--------|--------------|------------|-------------|-------|----------|----------|-------------------|
| Тип ВС | ТИЯ | Взлет/ | -AMarc | | ПиН | | CT |
| | (день/ночь) | посадка | дБ(А) | День | Ночь | День | Ночь |
| 5 | 16:28 (день) | взлет | 74 | 70 | - | 75 | - |
| 6 | 16:48 (день) | взлет | 73 | 70 | - | 75 | - |
| 7 | 17:55 (день) | взлет | 74 | 70 | - | 75 | - |
| 8 | 17:57 (день) | взлет | 71 | 70 | - | 75 | - |
| 9 | 18:41 (день) | взлет | 72 | 70 | - | 75 | - |
| 10 | 18:48 (день) | взлет | 72 | 70 | - | 75 | - |
| A321 | | | 73-75 | | | | |
| 1 | 16:40 (день) | взлет | 75 | 70 | - | 75 | - |
| 2 | 18:45 (день) | взлет | 73 | 70 | - | 75 | - |
| B738 | | | 75-77 | | | | |
| 1 | 16:33 (день) | взлет | 75 | 70 | - | 75 | - |
| 2 | 17:02 (день) | взлет | 77 | 70 | - | 75 | - |
| 3 | 17:04 (день) | взлет | 75 | 70 | - | 75 | - |
| 4 | 17:26 (день) | взлет | 75 | 70 | - | 75 | - |
| CRJ1 | | | 62 | | | | |
| 1 | 16:02 (день) | взлет | 62 | 70 | - | 75 | - |
| CRJ2 | | | 62-64 | | | | |
| 1 | 16:31 (день) | взлет | 64 | 70 | - | 75 | - |
| 2 | 17:31 (день) | взлет | 63 | 70 | - | 75 | - |
| 3 | 17:53 (день) | взлет | 62 | 70 | - | 75 | - |
| | | 14.09.2021 | 05:00-0 | 7:00 | | | |
| A319 | | | 72-75 | | | | |
| 1 | 05:34 (ночь) | взлет | 73 | - | 60 | =. | 65 |
| 2 | 06:35 (ночь) | взлет | 74 | - | 60 | - | 65 |
| 3 | 06:40 (ночь) | взлет | 72 | - | 60 | | 65 |
| 4 | 06:45 (ночь) | взлет | 75 | - | 60 | - | 65 |
| A320 | | | 71-74 | | | | |
| 1 | 05:12 (ночь) | взлет | 71 | - | 60 | | 65 |
| 2 | 05:24 (ночь) | взлет | 73 | - | 60 | - | 65 |
| 3 | 05:25 (ночь) | взлет | 73 | - | 60 | - | 65 |
| 4 | 06:23 (ночь) | взлет | 74 | - | 60 | - | 65 |
| A321 | | | 74-76 | | | | |
| 1 | 06:26 (ночь) | взлет | 74 | - | 60 | - | 65 |
| 2 | 06:29 (ночь) | взлет | 76 | - | 60 | - | 65 |
| CRJ2 | | | 65 | | | | |
| 1 | 05:44 (ночь) | взлет | 65 | - | 60 | - | 65 |

Таблица Б.13 — Результаты проведения мониторинга в точке №13 (Волхонское ш., д.115)

| | Время собы- | D / | L_{A макс | Нормат | гивные з | начения | , д Б (А) |
|--------|--------------|------------|-------------|--------|----------|---------|------------------|
| Тип ВС | тия | Взлет/ | Amake , | | ПиН | ГО | |
| | (день/ночь) | посадка | дБ(А) | День | Ночь | День | Ночь |
| | | 22.06.2020 | 23:00-0 | 1:00 | | | |
| A319 | | | 74 | | | | |
| 1 | 23:01 (ночь) | взлет | 74 | - | 60 | - | 65 |
| A320 | | | 64-69 | | | | |
| 1 | 23:34 (ночь) | взлет | 67 | - | 60 | - | 65 |
| 2 | 23:45 (ночь) | взлет | 65 | - | 60 | ı | 65 |
| 3 | 23:50 (ночь) | взлет | 69 | - | 60 | ı | 65 |
| 4 | 23:53 (ночь) | взлет | 65 | - | 60 | - | 65 |
| 5 | 00:02 (ночь) | взлет | 64 | - | 60 | ı | 65 |
| 6 | 00:22 (ночь) | взлет | 66 | - | 60 | - | 65 |
| 7 | 00:24 (ночь) | взлет | 65 | - | 60 | - | 65 |
| 8 | 00:25 (ночь) | взлет | 68 | - | 60 | 1 | 65 |
| 9 | 00:50 (ночь) | взлет | 64 | - | 60 | ı | 65 |
| B763 | | | 62 | | | | |
| 1 | 23:31 (ночь) | взлет | 62 | - | 60 | - | 65 |
| | • | 23.06.2020 | 15:00-1 | 9:00 | | | |
| A319 | | | 57 | | | | |
| 1 | 16:15 (день) | посадка | 57 | 70 | - | 75 | - |
| A320 | | | 55-78 | | | | |
| 1 | 15:07 (день) | взлет | 76 | 70 | - | 75 | - |
| 2 | 15:15 (день) | взлет | 78 | 70 | - | 75 | - |
| 3 | 15:25 (день) | взлет | 75 | 70 | - | 75 | - |
| 4 | 15:28 (день) | взлет | 76 | 70 | - | 75 | - |
| 5 | 15:30 (день) | взлет | 71 | 70 | - | 75 | - |
| 6 | 15:34 (день) | взлет | 71 | 70 | - | 75 | - |
| 7 | 15:36 (день) | взлет | 73 | 70 | - | 75 | - |
| 8 | 16:48 (день) | посадка | 58 | 70 | - | 75 | |
| 9 | 16:52 (день) | посадка | 58 | 70 | - | 75 | |
| 10 | 16:55 (день) | посадка | 60 | 70 | - | 75 | - |
| 11 | 17:05 (день) | посадка | 56 | 70 | - | 75 | - |
| 12 | 17:08 (день) | посадка | 59 | 70 | - | 75 | - |
| 13 | 17:39 (день) | посадка | 59 | 70 | - | 75 | - |
| 14 | 17:42 (день) | посадка | 55 | 70 | - | 75 | - |
| 15 | 17:48 (день) | посадка | 57 | 70 | - | 75 | - |
| 16 | 18:09 (день) | посадка | 58 | 70 | - | 75 | |
| 17 | 18:12 (день) | посадка | 55 | 70 | - | 75 | - |

| | Время собы- | D / | $L_{A	ext{makc}}$ | Нормат | гивные з | начения | , д Б (A) |
|--------|--------------|------------|-------------------|--------|----------|---------|----------------------------------|
| Тип ВС | ТИЯ | Взлет/ | , | Сан | ПиН | ГО | CT |
| | (день/ночь) | посадка | дБ(А) | День | Ночь | День | Ночь |
| 18 | 18:18 (день) | посадка | 59 | 70 | - | 75 | - |
| 19 | 18:31 (день) | посадка | 58 | 70 | - | 75 | - |
| B735 | , , | | 59-62 | | | | |
| 1 | 16:05 (день) | посадка | 62 | 70 | - | 75 | - |
| 2 | 18:15 (день) | посадка | 60 | 70 | - | 75 | - |
| 3 | 18:29 (день) | посадка | 59 | 70 | - | 75 | - |
| B73H | | | 58-74 | | | | |
| 1 | 15:26 (день) | взлет | 74 | 70 | - | 75 | - |
| 2 | 16:28 (день) | посадка | 60 | 70 | - | 75 | - |
| 3 | 18:41 (день) | посадка | 58 | 70 | - | 75 | - |
| CRJ2 | | | 61-64 | | | | |
| 1 | 15:05 (день) | взлет | 65 | 70 | - | 75 | - |
| 2 | 15:18 (день) | взлет | 65 | 70 | - | 75 | - |
| 3 | 16:44 (день) | посадка | 57 | 70 | - | 75 | - |
| | | 25.06.2020 | 15:00-1 | 9:00 | | | |
| A319 | | | 69-72 | | | | |
| 1 | 15:55 (день) | взлет | 69 | 70 | - | 75 | - |
| 2 | 17:40 (день) | взлет | 72 | 70 | - | 75 | - |
| A320 | | | 69-78 | | | | |
| 1 | 15:02 (день) | взлет | 74 | 70 | - | 75 | - |
| 2 | 15:10 (день) | взлет | 71 | 70 | - | 75 | - |
| 3 | 15:12 (день) | взлет | 78 | 70 | - | 75 | - |
| 4 | 15:14 (день) | взлет | 76 | 70 | - | 75 | - |
| 5 | 15:32 (день) | взлет | 74 | 70 | - | 75 | - |
| 6 | 15:34 (день) | взлет | 72 | 70 | - | 75 | - |
| 7 | 15:49 (день) | взлет | 75 | 70 | - | 75 | - |
| 8 | 16:03 (день) | взлет | 69 | 70 | - | 75 | - |
| 9 | 16:09 (день) | взлет | 75 | 70 | - | 75 | - |
| 10 | 16:27 (день) | взлет | 78 | 70 | - | 75 | - |
| 11 | 16:29 (день) | взлет | 76 | 70 | - | 75 | - |
| 12 | 16:33 (день) | взлет | 72 | 70 | - | 75 | - |
| 13 | 16:35 (день) | взлет | 73 | 70 | - | 75 | - |
| 14 | 16:55 (день) | взлет | 77 | 70 | - | 75 | - |
| 15 | 17:09 (день) | взлет | 75 | 70 | - | 75 | - |
| 16 | 17:13 (день) | взлет | 74 | 70 | - | 75 | - |
| 17 | 17:25 (день) | взлет | 76 | 70 | - | 75 | - |
| 18 | 17:58 (день) | взлет | 71 | 70 | - | 75 | - |
| 19 | 18:07 (день) | взлет | 69 | 70 | - | 75 | - |
| 20 | 18:36 (день) | взлет | 74 | 70 | - | 75 | - |

| | Время собы- | D / | L_{A макс | Нормат | гивные з | вначения | , д Б (А) |
|--------|--------------|------------|-------------|--------|----------|----------|------------------|
| Тип ВС | ТИЯ | Взлет/ | , | Сан | ПиН | ГО | CT |
| | (день/ночь) | посадка | дБ(А) | День | Ночь | День | Ночь |
| 21 | 18:39 (день) | взлет | 75 | 70 | - | 75 | - |
| 22 | 18:42 (день) | взлет | 75 | 70 | - | 75 | - |
| 23 | 18:52 (день) | взлет | 72 | 70 | - | 75 | - |
| 24 | 18:57 (день) | взлет | 75 | 70 | - | 75 | - |
| B735 | | | 73-75 | | | | |
| 1 | 15:03 (день) | взлет | 73 | 70 | - | 75 | - |
| 2 | 16:04 (день) | взлет | 75 | 70 | - | 75 | - |
| 3 | 17:35 (день) | взлет | 74 | 70 | - | 75 | - |
| B763 | | | 76-78 | | | | |
| 1 | 15:00 (день) | взлет | 76 | 70 | - | 75 | - |
| 2 | 16:20 (день) | взлет | 78 | 70 | - | 75 | - |
| 3 | 18:12 (день) | взлет | 76 | 70 | - | 75 | - |
| B73H | | | 74 | | | | |
| 1 | 17:37 (день) | взлет | 74 | 70 | - | 75 | - |
| CRJ2 | | | 65 | | | | |
| 1 | 15:17 (день) | взлет | 65 | 70 | - | 75 | - |
| | | 26.06.2020 | 05:00-0 | 7:00 | | | |
| A319 | | | 67-68 | | | | |
| 1 | 05:23 (ночь) | взлет | 67 | - | 60 | - | 65 |
| 2 | 06:35 (ночь) | взлет | 68 | - | 60 | - | 65 |
| A320 | | | 66-67 | | | | |
| 1 | 05:21 (ночь) | взлет | 67 | - | 60 | - | 65 |
| 2 | 05:48 (ночь) | взлет | 67 | - | 60 | - | 65 |
| 3 | 06:10 (ночь) | взлет | 66 | - | 60 | - | 65 |
| B763 | | | 69 | | | | |
| 1 | 05:20 (ночь) | взлет | 69 | - | 60 | - | 65 |
| 2 | 06:43 (ночь) | взлет | 69 | - | 60 | - | 65 |
| | 1 | 05.09.2021 | | 9:00 | 1 | | ı |
| A319 | | | 71-79 | | | | |
| 1 | 15:09 (день) | взлет | 79 | 70 | - | 75 | - |
| 2 | 15:28 (день) | взлет | 77 | 70 | - | 75 | - |
| 3 | 15:54 (день) | взлет | 74 | 70 | - | 75 | - |
| 4 | 15:56 (день) | взлет | 76 | 70 | - | 75 | - |
| 5 | 16:06 (день) | взлет | 75 | 70 | - | 75 | - |
| 6 | 16:07 (день) | взлет | 77 | 70 | - | 75 | - |
| 7 | 16:10 (день) | взлет | 75 | 70 | - | 75 | - |
| 8 | 16:21 (день) | взлет | 77 | 70 | - | 75 | - |
| 9 | 16:34 (день) | взлет | 75 | 70 | - | 75 | - |
| 10 | 16:50 (день) | взлет | 75 | 70 | - | 75 | - |

| | Время собы- | D / | L_{A макс | Нормат | гивные з | начения | і, дБ(А) |
|--------|--------------|------------|-------------|----------|----------|---------|-----------------|
| Тип ВС | ТИЯ | Взлет/ | , | Сан | ПиН | ГО | CT |
| | (день/ночь) | посадка | дБ(А) | День | Ночь | День | Ночь |
| 11 | 17:16 (день) | взлет | 78 | 70 | - | 75 | - |
| 12 | 17:43 (день) | взлет | 76 | 70 | - | 75 | - |
| 13 | 18:00 (день) | взлет | 71 | 70 | - | 75 | - |
| 14 | 18:17 (день) | взлет | 77 | 70 | - | 75 | - |
| 15 | 18:45 (день) | взлет | 76 | 70 | - | 75 | |
| 16 | 18:47 (день) | взлет | 75 | 70 | - | 75 | - |
| A320 | | | 65-78 | | | | |
| 1 | 15:00 (день) | взлет | 71 | 70 | - | 75 | - |
| 2 | 15:57 (день) | взлет | 77 | 70 | - | 75 | - |
| 3 | 16:01 (день) | взлет | 78 | 70 | - | 75 | - . |
| 4 | 16:20 (день) | взлет | 65 | 70 | - | 75 | - |
| 5 | 16:27 (день) | взлет | 74 | 70 | - | 75 | - |
| 6 | 16:51 (день) | взлет | 78 | 70 | - | 75 | - |
| 7 | 16:53 (день) | взлет | 77 | 70 | - | 75 | - |
| 8 | 17:23 (день) | взлет | 77 | 70 | - | 75 | = |
| 9 | 17:51 (день) | взлет | 76 | 70 | - | 75 | - |
| 10 | 18:37 (день) | взлет | 76 | 70 | _ | 75 | - |
| 11 | 18:48 (день) | взлет | 76 | 70 | - | 75 | - |
| 12 | 18:57 (день) | взлет | 75 | 70 | - | 75 | - |
| A321 | | | 76-79 | | | | |
| 1 | 15:10 (день) | взлет | 78 | 70 | - | 75 | - |
| 2 | 15:45 (день) | взлет | 76 | 70 | - | 75 | - |
| 3 | 16:36 (день) | взлет | 79 | 70 | - | 75 | - |
| 4 | 18:43 (день) | взлет | 77 | 70 | - | 75 | - |
| B738 | , , , | | 75-78 | | | | |
| 1 | 15:02 (день) | взлет | 75 | 70 | - | 75 | - |
| 2 | 17:55 (день) | взлет | 78 | 70 | - | 75 | - |
| CRJ1 | X - 7 | | 63-68 | | | | |
| 1 | 16:25 (день) | взлет | 68 | 70 | - | 75 | - |
| 2 | 17:25 (день) | взлет | 63 | 70 | - | 75 | - |
| CRJ2 | X · / | | 62-68 | | | | |
| 1 | 15:16 (день) | взлет | 62 | 70 | - | 75 | - |
| 2 | 16:56 (день) | взлет | 63 | 70 | - | 75 | - |
| 3 | 18:02 (день) | взлет | 68 | 70 | - | 75 | - |
| | V . / | 07.09.2021 | | <u>.</u> | | | |
| A319 | | | 60-74 | | | | |
| 1 | 23:03 (ночь) | взлет | 61 | - | 60 | - | 65 |
| 2 | 23:05 (ночь) | взлет | 62 | - | 60 | - | 65 |

| | Время собы- | D / | L_{A макс | Нормат | гивные з | начения | і, дБ(А) |
|--------|--------------|------------|-------------|--------|----------|---------|-----------------|
| Тип ВС | ТИЯ | Взлет/ | , | Сан | ПиН | ГО | CT |
| | (день/ночь) | посадка | дБ(А) | День | Ночь | День | Ночь |
| 3 | 23:37 (ночь) | взлет | 62 | - | 60 | - | 65 |
| 4 | 23:51 (ночь) | взлет | 74 | - | 60 | - | 65 |
| 5 | 23:53 (ночь) | взлет | 61 | - | 60 | - | 65 |
| 6 | 23:58 (ночь) | взлет | 62 | - | 60 | - | 65 |
| 7 | 00:07 (ночь) | взлет | 60 | - | 60 | - | 65 |
| A320 | | | 61-64 | | | | |
| 1 | 23:07 (ночь) | взлет | 62 | - | 60 | - | 65 |
| 2 | 23:34 (ночь) | взлет | 62 | - | 60 | - | 65 |
| 3 | 23:35 (ночь) | взлет | 64 | - | 60 | - | 65 |
| 4 | 23:48 (ночь) | взлет | 63 | - | 60 | - | 65 |
| 5 | 00:20 (ночь) | взлет | 62 | - | 60 | - | 65 |
| 6 | 00:29 (ночь) | взлет | 61 | - | 60 | - | 65 |
| A321 | | | 75 | | | | |
| 1 | 23:02 (ночь) | взлет | 75 | - | 60 | - | 65 |
| B738 | , , , | | 64 | | | | |
| 1 | 00:05 (ночь) | взлет | 64 | - | 60 | - | 65 |
| | | 09.09.2021 | 15:00-1 | 9:00 | | | |
| A319 | | | 74-78 | | | | |
| 1 | 15:05 (день) | взлет | 77 | 70 | - | 75 | - |
| 2 | 15:16 (день) | взлет | 76 | 70 | - | 75 | - |
| 3 | 15:45 (день) | взлет | 76 | 70 | - | 75 | - |
| 4 | 15:52 (день) | взлет | 74 | 70 | - | 75 | - |
| 5 | 15:57 (день) | взлет | 74 | 70 | - | 75 | - |
| 6 | 16:19 (день) | взлет | 77 | 70 | - | 75 | - |
| 7 | 16:38 (день) | взлет | 78 | 70 | - | 75 | - |
| 8 | 16:46 (день) | взлет | 76 | 70 | - | 75 | - |
| 9 | 16:50 (день) | взлет | 76 | 70 | - | 75 | - |
| 10 | 16:51 (день) | взлет | 77 | 70 | - | 75 | - |
| 11 | 17:06 (день) | взлет | 75 | 70 | - | 75 | - |
| 12 | 17:30 (день) | взлет | 75 | 70 | - | 75 | - |
| 13 | 17:33 (день) | взлет | 78 | 70 | _ | 75 | - |
| 14 | 18:15 (день) | взлет | 75 | 70 | _ | 75 | - |
| 15 | 18:43 (день) | взлет | 75 | 70 | - | 75 | - |
| 16 | 18:46 (день) | взлет | 75 | 70 | - | 75 | - |
| A320 | | | 73-79 | | | | |
| 1 | 15:21 (день) | взлет | 77 | 70 | - | 75 | - |
| 2 | 15:41 (день) | взлет | 77 | 70 | - | 75 | - |
| 3 | 15:43 (день) | взлет | 76 | 70 | - | 75 | - |
| 4 | 15:54 (день) | взлет | 76 | 70 | - | 75 | - |

| | Время собы- | D / | L_{A макс | Нормат | гивные з | значения | і, дБ(А) |
|--------|--------------|------------|-------------|--------|----------|----------|-----------------|
| Тип ВС | ТИЯ | Взлет/ | AMARC | - | ПиН | | CT |
| | (день/ночь) | посадка | дБ(А) | День | Ночь | День | Ночь |
| 5 | 16:28 (день) | взлет | 79 | 70 | - | 75 | - |
| 6 | 16:48 (день) | взлет | 77 | 70 | - | 75 | - |
| 7 | 17:55 (день) | взлет | 76 | 70 | - | 75 | - |
| 8 | 17:57 (день) | взлет | 73 | 70 | - | 75 | - |
| 9 | 18:41 (день) | взлет | 75 | 70 | - | 75 | - |
| 10 | 18:48 (день) | взлет | 75 | 70 | - | 75 | - |
| A321 | | | 76-77 | | | | |
| 1 | 16:40 (день) | взлет | 76 | 70 | - | 75 | - |
| 2 | 18:45 (день) | взлет | 77 | 70 | - | 75 | - |
| B738 | | | 76-81 | | | | |
| 1 | 16:33 (день) | взлет | 78 | 70 | - | 75 | - |
| 2 | 17:02 (день) | взлет | 81 | 70 | - | 75 | - |
| 3 | 17:04 (день) | взлет | 77 | 70 | - | 75 | - |
| 4 | 17:26 (день) | взлет | 76 | 70 | - | 75 | - |
| CRJ1 | | | 64 | | | | |
| 1 | 16:02 (день) | взлет | 64 | 70 | - | 75 | - |
| CRJ2 | | | 65 | | | | |
| 1 | 16:31 (день) | взлет | 65 | 70 | - | 75 | - |
| 2 | 17:31 (день) | взлет | 65 | 70 | - | 75 | - |
| 3 | 17:53 (день) | взлет | 65 | 70 | - | 75 | - |
| | | 14.09.2021 | 05:00-0 | 7:00 | | | |
| A319 | | | 59-67 | | | | |
| 1 | 05:34 (ночь) | взлет | 62 | - | 60 | - | 65 |
| 2 | 06:35 (ночь) | взлет | 67 | - | 60 | - | 65 |
| 3 | 06:40 (ночь) | взлет | 59 | - | 60 | - | 65 |
| 4 | 06:45 (ночь) | взлет | 62 | - | 60 | - | 65 |
| A320 | | | 59-64 | | | | |
| 1 | 05:12 (ночь) | взлет | 62 | - | 60 | - | 65 |
| 2 | 05:24 (ночь) | взлет | 64 | - | 60 | - | 65 |
| 3 | 05:25 (ночь) | взлет | 59 | - | 60 | - | 65 |
| 4 | 06:23 (ночь) | взлет | 59 | - | 60 | - | 65 |
| A321 | | | 62-65 | | | | |
| 1 | 06:26 (ночь) | взлет | 65 | - | 60 | - | 65 |
| 2 | 06:29 (ночь) | взлет | 62 | - | 60 | - | 65 |
| CRJ2 | | | 51 | | | | |
| 1 | 05:44 (ночь) | взлет | 51 | - | 60 | - | 65 |

Таблица Б.14 — Результаты проведения мониторинга в точке №14 (МО Горелово, 4-я линия, д.4)

| | Время собы- | D / | $oldsymbol{L_{A	ext{Makc}}}$ | Нормат | гивные з | начения | і, дБ(А) |
|--------|--------------|------------|------------------------------|--------|----------|---------|-----------------|
| Тип ВС | тия | Взлет/ | , | Сан | ПиН | ГО | CT |
| | (день/ночь) | посадка | дБ(А) | День | Ночь | День | Ночь |
| | | 22.06.2020 | 23:00-0 | 1:00 | | | |
| A319 | | | 66 | | | | |
| 1 | 23:01 (ночь) | взлет | 66 | - | 60 | - | 65 |
| A320 | | | 61-67 | | | | |
| 1 | 23:34 (ночь) | взлет | 65 | - | 60 | - | 65 |
| 2 | 23:45 (ночь) | взлет | 63 | - | 60 | - | 65 |
| 3 | 23:50 (ночь) | взлет | 61 | - | 60 | - | 65 |
| 4 | 23:53 (ночь) | взлет | 61 | - | 60 | - | 65 |
| 5 | 00:02 (ночь) | взлет | 62 | _ | 60 | | 65 |
| 6 | 00:22 (ночь) | взлет | 61 | _ | 60 | _ | 65 |
| 7 | 00:24 (ночь) | взлет | 65 | | 60 | | 65 |
| 8 | 00:25 (ночь) | взлет | 63 | | 60 | | 65 |
| 9 | 00:50 (ночь) | взлет | 67 | | 60 | | 65 |
| B763 | | | 67 | | | | |
| 1 | 23:31 (ночь) | взлет | 67 | - | 60 | | 65 |
| | | 23.06.2020 | 15:00-1 | 9:00 | | | |
| A319 | | | 55 | | | | |
| 1 | 16:15 (день) | посадка | 55 | 70 | - | 75 | - |
| A320 | | | 51-62 | | | | |
| 1 | 15:07 (день) | взлет | 58 | 70 | - | 75 | - |
| 2 | 15:15 (день) | взлет | 55 | 70 | - | 75 | - |
| 3 | 15:25 (день) | взлет | 60 | 70 | - | 75 | - |
| 4 | 15:28 (день) | взлет | 61 | 70 | - | 75 | - |
| 5 | 15:30 (день) | взлет | 59 | 70 | - | 75 | - |
| 6 | 15:34 (день) | взлет | 62 | 70 | - | 75 | - |
| 7 | 15:36 (день) | взлет | 59 | 70 | - | 75 | - |
| 8 | 16:48 (день) | посадка | 59 | 70 | - | 75 | - |
| 9 | 16:52 (день) | посадка | 57 | 70 | - | 75 | - |
| 10 | 16:55 (день) | посадка | 59 | 70 | - | 75 | - |
| 11 | 17:05 (день) | посадка | 57 | 70 | - | 75 | - |
| 12 | 17:08 (день) | посадка | 51 | 70 | - | 75 | - |
| 13 | 17:39 (день) | посадка | 56 | 70 | - | 75 | - |
| 14 | 17:42 (день) | посадка | 52 | 70 | - | 75 | - |
| 15 | 17:48 (день) | посадка | 56 | 70 | - | 75 | - |
| 16 | 18:09 (день) | посадка | 56 | 70 | - | 75 | - |
| 17 | 18:12 (день) | посадка | 55 | 70 | - | 75 | - |

| | Время собы- | D / | $oldsymbol{L_{A	ext{Makc}}}$ | Нормат | гивные з | значения | , д Б (А) |
|--------|--------------|------------|------------------------------|--------|----------|----------|------------------|
| Тип ВС | ТИЯ | Взлет/ | , | Сан | ПиН | ГО | CT |
| | (день/ночь) | посадка | дБ(А) | День | Ночь | День | Ночь |
| 18 | 18:18 (день) | посадка | 55 | 70 | - | 75 | - |
| 19 | 18:31 (день) | посадка | 58 | 70 | - | 75 | - |
| B735 | ` , | | 56-61 | | | | |
| 1 | 16:05 (день) | посадка | 56 | 70 | - | 75 | - |
| 2 | 18:15 (день) | посадка | 59 | 70 | - | 75 | - |
| 3 | 18:29 (день) | посадка | 61 | 70 | - | 75 | - |
| В73Н | | | 51-64 | | | | |
| 1 | 15:26 (день) | взлет | 64 | 70 | - | 75 | - |
| 2 | 16:28 (день) | посадка | 57 | 70 | - | 75 | - |
| 3 | 18:41 (день) | посадка | 51 | 70 | - | 75 | - |
| CRJ2 | | | 48-57 | | | | |
| 1 | 15:05 (день) | взлет | 48 | 70 | - | 75 | - |
| 2 | 15:18 (день) | взлет | 48 | 70 | - | 75 | - |
| 3 | 16:44 (день) | посадка | 57 | 70 | - | 75 | - |
| | | 25.06.2020 | 15:00-1 | 9:00 | | | |
| A319 | | | 57-64 | | | | |
| 1 | 15:55 (день) | взлет | 57 | 70 | - | 75 | - |
| 2 | 17:40 (день) | взлет | 64 | 70 | - | 75 | - |
| A320 | | | 53-72 | | | | |
| 1 | 15:02 (день) | взлет | 57 | 70 | - | 75 | - |
| 2 | 15:10 (день) | взлет | 59 | 70 | - | 75 | - |
| 3 | 15:12 (день) | взлет | 57 | 70 | - | 75 | - |
| 4 | 15:14 (день) | взлет | 59 | 70 | - | 75 | - |
| 5 | 15:32 (день) | взлет | 61 | 70 | - | 75 | - |
| 6 | 15:34 (день) | взлет | 56 | 70 | - | 75 | - |
| 7 | 15:49 (день) | взлет | 61 | 70 | - | 75 | - |
| 8 | 16:03 (день) | взлет | 55 | 70 | - | 75 | - |
| 9 | 16:09 (день) | взлет | 53 | 70 | - | 75 | - |
| 10 | 16:27 (день) | взлет | 56 | 70 | - | 75 | - |
| 11 | 16:29 (день) | взлет | 57 | 70 | - | 75 | - |
| 12 | 16:33 (день) | взлет | 60 | 70 | - | 75 | - |
| 13 | 16:35 (день) | взлет | 58 | 70 | - | 75 | - |
| 14 | 16:55 (день) | взлет | 60 | 70 | - | 75 | - |
| 15 | 17:09 (день) | взлет | 61 | 70 | - | 75 | - |
| 16 | 17:13 (день) | взлет | 60 | 70 | - | 75 | - |
| 17 | 17:25 (день) | взлет | 63 | 70 | - | 75 | - |
| 18 | 17:58 (день) | взлет | 60 | 70 | - | 75 | - |
| 19 | 18:07 (день) | взлет | 72 | 70 | - | 75 | - |
| 20 | 18:36 (день) | взлет | 60 | 70 | - | 75 | - |

| | Время собы- | Do z oz/ | L_{A макс | Нормат | гивные з | начения | і, дБ(А) |
|--------|--------------|------------|-------------|--------|----------|---------|-----------------|
| Тип ВС | ТИЯ | Взлет/ | , | Сан | ПиН | ГО | CT |
| | (день/ночь) | посадка | дБ(А) | День | Ночь | День | Ночь |
| 21 | 18:39 (день) | взлет | 60 | 70 | ı | 75 | - |
| 22 | 18:42 (день) | взлет | 56 | 70 | ı | 75 | - |
| 23 | 18:52 (день) | взлет | 62 | 70 | - | 75 | - |
| 24 | 18:57 (день) | взлет | 58 | 70 | ı | 75 | - |
| B735 | | | 53-60 | | | | |
| 1 | 15:03 (день) | взлет | 60 | 70 | - | 75 | - |
| 2 | 16:04 (день) | взлет | 53 | 70 | - | 75 | - |
| 3 | 17:35 (день) | взлет | 58 | 70 | ı | 75 | - |
| B763 | | | 63-67 | | | | |
| 1 | 15:00 (день) | взлет | 63 | 70 | - | 75 | - |
| 2 | 16:20 (день) | взлет | 66 | 70 | - | 75 | - |
| 3 | 18:12 (день) | взлет | 67 | 70 | - | 75 | - |
| В73Н | | | 59 | | | | |
| 1 | 17:37 (день) | взлет | 59 | 70 | ı | 75 | - |
| CRJ2 | | | 50 | | | | |
| 1 | 15:17 (день) | взлет | 50 | 70 | ı | 75 | - |
| | - | 26.06.2020 | 05:00-0 | 7:00 | - | | • |
| A319 | | | 65-67 | | | | |
| 1 | 05:23 (ночь) | взлет | 65 | - | 60 | - | 65 |
| 2 | 06:35 (ночь) | взлет | 67 | - | 60 | - | 65 |
| A320 | | | 66-74 | | | | |
| 1 | 05:21 (ночь) | взлет | 66 | - | 60 | | 65 |
| 2 | 05:48 (ночь) | взлет | 66 | - | 60 | - | 65 |
| 3 | 06:10 (ночь) | взлет | 74 | - | 60 | - | 65 |
| B763 | | | 67 | | | | |
| 1 | 05:20 (ночь) | взлет | 67 | - | 60 | - | 65 |
| 2 | 06:43 (ночь) | взлет | 67 | - | 60 | - | 65 |

Таблица Б.15 — Результаты проведения мониторинга в точке №15 (Витебский проспект, д.157)

| E | Время собы- | ДЗЛЕТ/ Посялкя | $L_{A	ext{Makc}}$ | Нормативные значения, дБ(А) | | | | | |
|------------------------|-------------|-------------------|-------------------|-----------------------------|---------|--------|------|------|--|
| Тип ВС | | | D 3,1617 | D 3J1e17 | D3JIe17 | СанПиН | | ГОСТ | |
| | (день/ночь) | | дБ(А) | День | Ночь | День | Ночь | | |
| 22.06.2020 15:00-19:00 | | | | | | | | | |
| A319 | | | - | | | | | | |

| | Время собы- | D / | L_{A макс | Нормат | гивные з | начения | н, д Б (А) |
|--------|--------------|---------|-------------|--------|----------|---------|-------------------|
| Тип ВС | тия | Взлет/ | 7 make | Сан | ПиН | ГО | CT |
| | (день/ночь) | посадка | дБ(А) | День | Ночь | День | Ночь |
| 1 | 16:05 (день) | посадка | - | 70 | - | 75 | - |
| A320 | , , | | 51-76 | | | | |
| 1 | 15:03 (день) | взлет | 76 | 70 | - | 75 | - |
| 2 | 15:08 (день) | взлет | 74 | 70 | - | 75 | - |
| 3 | 15:09 (день) | взлет | 78 | 70 | - | 75 | - |
| 4 | 15:24 (день) | посадка | 52 | 70 | - | 75 | - |
| 5 | 15:28 (день) | посадка | - | 70 | - | 75 | - |
| 6 | 15:59 (день) | посадка | 58 | 70 | - | 75 | - |
| 7 | 16:26 (день) | посадка | 59 | 70 | - | 75 | - |
| 8 | 16:36 (день) | посадка | 64 | 70 | - | 75 | - |
| 9 | 16:42 (день) | посадка | 59 | 70 | - | 75 | - |
| 10 | 16:45 (день) | посадка | 57 | 70 | - | 75 | - |
| 11 | 16:51 (день) | посадка | 51 | 70 | - | 75 | - |
| 12 | 16:59 (день) | посадка | 56 | 70 | - | 75 | - |
| 13 | 17:21 (день) | посадка | 57 | 70 | - | 75 | - |
| 14 | 17:22 (день) | посадка | 55 | 70 | - | 75 | - |
| 15 | 17:32 (день) | посадка | 57 | 70 | - | 75 | - |
| 16 | 17:37:(день) | посадка | 58 | 70 | - | 75 | - |
| 17 | 18:02 (день) | посадка | 56 | 70 | - | 75 | - |
| 18 | 18:06 (день) | посадка | 57 | 70 | - | 75 | - |
| 19 | 18:08 (день) | посадка | 59 | 70 | - | 75 | - |
| 20 | 18:48 (день) | посадка | 58 | 70 | - | 75 | - |
| 21 | 18:51 (день) | посадка | 61 | 70 | - | 75 | - |
| 22 | 18:58 (день) | посадка | 57 | 70 | - | 75 | - |
| B735 | | | 58-74 | | | | |
| 1 | 15:11 (день) | взлет | 74 | 70 | - | 75 | - |
| 2 | 15:45 (день) | посадка | 61 | 70 | - | 75 | - |
| 3 | 16:02 (день) | посадка | 58 | 70 | - | 75 | - |
| 4 | 18:15 (день) | посадка | 60 | 70 | - | 75 | - |
| 5 | 18:18 (день) | посадка | 59 | 70 | - | 75 | - |
| 6 | 18:38 (день) | посадка | 59 | 70 | - | 75 | - |
| B763 | | | 61-73 | | | | |
| 1 | 15:00 (день) | взлет | 73 | 70 | - | 75 | - |
| 2 | 18:11 (день) | посадка | 61 | 70 | - | 75 | - |
| В73Н | | | 59 | | | | |
| 1 | 16:22 (день) | посадка | 59 | 70 | - | 75 | - |
| CRJ2 | | | 57-74 | | | | |
| 1 | 15:14 (день) | взлет | 74 | 70 | - | 75 | - |
| 2 | 17:01(день) | посадка | 57 | 70 | - | 75 | _ |

| | Время собы- | D / | $oldsymbol{L_{A	ext{Makc}}}$ | Нормат | гивные з | начения | і, дБ(А) |
|--------|--------------|------------|------------------------------|--------|----------|---------|-----------------|
| Тип ВС | ТИЯ | Взлет/ | , | Сан | ПиН | ГО | CT |
| | (день/ночь) | посадка | дБ(А) | День | Ночь | День | Ночь |
| | | 24.06.2020 | | | | . , | • |
| A319 | | | 63-73 | | | | |
| 1 | 05:22 (ночь) | взлет | 73 | - | 60 | - | 65 |
| 2 | 06:50 (ночь) | взлет | 63 | - | 60 | - | 65 |
| A320 | | | 66-76 | | | | |
| 1 | 05:07 (ночь) | взлет | 76 | - | 60 | - | 65 |
| 2 | 05:45 (ночь) | взлет | 70 | - | 60 | - | 65 |
| 3 | 05:55 (ночь) | взлет | 76 | - | 60 | - | 65 |
| 4 | 06:13 (ночь) | взлет | 66 | - | 60 | - | 65 |
| B735 | | | 65 | | | | |
| 1 | 06:48 (ночь) | взлет | 65 | - | 60 | - | 65 |
| B763 | | | 69-78 | | | | |
| 1 | 05:14 (ночь) | взлет | 76 | - | 60 | - | 65 |
| 2 | 05:27 (ночь) | взлет | 77 | - | 60 | - | 65 |
| 3 | 05:36 (ночь) | взлет | 78 | - | 60 | - | 65 |
| 4 | 06:46 (ночь) | взлет | 69 | - | 60 | - | 65 |
| CRJ2 | , , | | 57 | | | | |
| 1 | 06:26 (ночь) | взлет | 57 | - | 60 | - | 65 |
| | | 06.07.2020 | 15:00-1 | 9:00 | | | |
| A319 | | | 64-67 | | | | |
| 1 | 15:51 (день) | взлет | 66 | 70 | - | 75 | - |
| 2 | 16:01 (день) | взлет | 64 | 70 | - | 75 | - |
| 3 | 17:26 (день) | взлет | 67 | 70 | - | 75 | - |
| 4 | 18:37 (день) | взлет | 66 | 70 | - | 75 | - |
| A320 | | | 63-76 | | | | |
| 1 | 15:20 (день) | взлет | 65 | 70 | - | 75 | - |
| 2 | 15:21 (день) | взлет | 67 | 70 | - | 75 | - |
| 3 | 15:23 (день) | взлет | 69 | 70 | - | 75 | - |
| 4 | 15:29 (день) | взлет | 65 | 70 | - | 75 | - |
| 5 | 15:32 (день) | взлет | 66 | 70 | - | 75 | - |
| 6 | 15:49 (день) | взлет | 66 | 70 | _ | 75 | |
| 7 | 15:53 (день) | взлет | 74 | 70 | - | 75 | _ |
| 8 | 16:04 (день) | взлет | 65 | 70 | - | 75 | - |
| 9 | 16:11 (день) | взлет | 66 | 70 | - | 75 | |
| 10 | 16:21 (день) | взлет | 67 | 70 | - | 75 | - |
| 11 | 16:22 (день) | взлет | 64 | 70 | _ | 75 | - |
| 12 | 16:29 (день) | взлет | 65 | 70 | - | 75 | _ |
| 13 | 16:31 (день) | взлет | 65 | 70 | - | 75 | _ |
| 14 | 16:32(день) | взлет | 65 | 70 | - | 75 | - |

| | Время собы- | D / | L_{A Makc | Нормат | гивные з | вначения | н, дБ(А) |
|--------|--------------|------------|-------------|------------|----------|----------|-----------------|
| Тип ВС | ТИЯ | Взлет/ | , | Сан | ПиН | ГО | CT |
| | (день/ночь) | посадка | дБ(А) | День | Ночь | День | Ночь |
| 15 | 16:34 (день) | взлет | 65 | 70 | - | 75 | - |
| 16 | 16:59 (день) | взлет | 67 | 70 | - | 75 | - |
| 17 | 17:00 (день) | взлет | 67 | 70 | - | 75 | - |
| 18 | 17:08 (день) | взлет | 76 | 70 | - | 75 | - |
| 19 | 17:15 (день) | взлет | 66 | 70 | - | 75 | - |
| 20 | 17:17 (день) | взлет | 66 | 70 | - | 75 | - |
| 21 | 17:58 (день) | взлет | 65 | 70 | - | 75 | - |
| 22 | 18:00 (день) | взлет | 65 | 70 | - | 75 | - |
| 23 | 18:08 (день) | взлет | 66 | 70 | - | 75 | - |
| 24 | 18:15 (день) | взлет | 67 | 70 | - | 75 | - |
| 25 | 18:45 (день) | взлет | 66 | 70 | - | 75 | - |
| 26 | 18:55 (день) | взлет | 63 | 70 | - | 75 | - |
| B735 | | | 65-67 | | | | |
| 1 | 15:30 (день) | взлет | 65 | 70 | - | 75 | - |
| 2 | 16:19 (день) | взлет | 67 | 70 | - | 75 | - |
| 3 | 17:39 (день) | взлет | 66 | 70 | - | 75 | - |
| B763 | | | 71-72 | | | | |
| 1 | 15:09 (день) | взлет | 71 | 70 | - | 75 | - |
| 2 | 15:26 (день) | взлет | 72 | 70 | - | 75 | |
| 3 | 16:43 (день) | взлет | 71 | 70 | - | 75 | - |
| B73H | | | 63-68 | | | | |
| 1 | 15:36 (день) | взлет | 63 | 70 | - | 75 | - |
| 2 | 17:36 (день) | взлет | 68 | 70 | - | 75 | - |
| CRJ2 | | | 57-59 | | | | |
| 1 | 15:16 (день) | взлет | 59 | 70 | - | 75 | - |
| 2 | 16:37 (день) | взлет | 57 | 70 | - | 75 | - |
| | | 06.07.2020 | 23:00-0 | 7:00 | | | |
| A319 | | | 60 | | | | |
| 1 | 23:04 (ночь) | взлет | 60 | - | 60 | - | 65 |
| 2 | 00:59 (ночь) | взлет | 60 | - | 60 | - | 65 |
| A320 | | | 61-72 | | | | |
| 1 | 23:26 (ночь) | взлет | 66 | - | 60 | - | 65 |
| 2 | 23:39 (ночь) | взлет | 61 | - | 60 | - | 65 |
| 3 | 23:44 (ночь) | взлет | 72 | - | 60 | - | 65 |
| 4 | 23:53(ночь) | взлет | 71 | - | 60 | - | 65 |
| 5 | 00:04 (ночь) | взлет | 69 | - | 60 | - | 65 |
| 6 | 00:18 (ночь) | взлет | 72 | - | 60 | - | 65 |
| 7 | 00:26 (ночь) | взлет | 70 | - | 60 | - | 65 |
| 8 | 00:31(ночь) | взлет | 70 | - . | 60 | - | 65 |

| | Время собы- | Do = 0=/ | L_{A макс | Нормат | гивные з | начения | дБ(A) | |
|--------|--------------|-------------------|-------------|--------|----------|---------|--------------|----|
| Тип ВС | ТИЯ | ВЗЛЕТ/ посялкя | D3JIC1/ | , | Сан | ПиН | ГО | CT |
| | (день/ночь) | | дБ(А) | День | Ночь | День | Ночь | |
| 9 | 00:44 (ночь) | взлет | 69 | ı | 60 | - | 65 | |
| B763 | | | 63-71 | | | | | |
| 1 | 23:21 (ночь) | взлет | 71 | ı | 60 | - | 65 | |
| 2 | 00:19 (ночь) | взлет | 63 | - | 60 | _ | 65 | |

Таблица Б.16 — Результаты проведения мониторинга в точке №16 (Петербургское ш.)

| | Время собы- | Взлет/ | L_{A макс | Нормативные значения, дБ(А) | | | | | |
|------------------------|--------------|---------|-------------|-----------------------------|------|------|------|--|--|
| Тип ВС | ТИЯ | | Amarc 9 | СанПиН | | ГОСТ | | | |
| | (день/ночь) | посадка | дБ(А) | День | Ночь | День | Ночь | | |
| 22.06.2020 15:00-19:00 | | | | | | | | | |
| A319 | | | 79 | | | | | | |
| 1 | 16:05 (день) | посадка | 79 | 70 | - | 75 | - | | |
| A320 | | | 64-80 | | | | | | |
| 1 | 15:03 (день) | взлет | 67 | 70 | - | 75 | - | | |
| 2 | 15:08 (день) | взлет | 64 | 70 | - | 75 | - | | |
| 3 | 15:09 (день) | взлет | 72 | 70 | - | 75 | - | | |
| 4 | 15:24 (день) | посадка | 72 | 70 | - | 75 | - | | |
| 5 | 15:28 (день) | посадка | 80 | 70 | - | 75 | - | | |
| 6 | 15:59 (день) | посадка | 77 | 70 | - | 75 | - | | |
| 7 | 16:26 (день) | посадка | 80 | 70 | - | 75 | - | | |
| 8 | 16:36 (день) | посадка | 80 | 70 | - | 75 | - | | |
| 9 | 16:42 (день) | посадка | 80 | 70 | - | 75 | - | | |
| 10 | 16:45 (день) | посадка | 79 | 70 | - | 75 | - | | |
| 11 | 16:51 (день) | посадка | 80 | 70 | - | 75 | - | | |
| 12 | 16:59 (день) | посадка | 80 | 70 | - | 75 | - | | |
| 13 | 17:21 (день) | посадка | 80 | 70 | - | 75 | - | | |
| 14 | 17:22 (день) | посадка | 79 | 70 | - | 75 | - | | |
| 15 | 17:32 (день) | посадка | 79 | 70 | - | 75 | - | | |
| 16 | 17:37:(день) | посадка | 79 | 70 | - | 75 | - | | |
| 17 | 18:02 (день) | посадка | 81 | 70 | - | 75 | - | | |
| 18 | 18:06 (день) | посадка | 80 | 70 | - | 75 | - | | |
| 19 | 18:08 (день) | посадка | 80 | 70 | - | 75 | - | | |
| 20 | 18:48 (день) | посадка | 80 | 70 | - | 75 | - | | |
| 21 | 18:51 (день) | посадка | 79 | 70 | - | 75 | - | | |
| 22 | 18:58 (день) | посадка | 80 | 70 | - | 75 | _ | | |
| B735 | | | 69-83 | | | | | | |
| 1 | 15:11 (день) | взлет | 69 | 70 | - | 75 | - | | |

| Тип ВС | Время собы- | D / | L_{A макс | Нормативные значения, дБ(А) | | | | |
|--------|--------------|------------|-------------|-----------------------------|------|------|------|--|
| | ТИЯ | Взлет/ | , | Сан | ПиН | ГОСТ | | |
| | (день/ночь) | посадка | дБ(А) | День | Ночь | День | Ночь | |
| 2 | 15:45 (день) | посадка | 81 | 70 | - | 75 | - | |
| 3 | 16:02 (день) | посадка | 83 | 70 | - | 75 | - | |
| 4 | 18:15 (день) | посадка | 81 | 70 | - | 75 | - | |
| 5 | 18:18 (день) | посадка | 83 | 70 | - | 75 | - | |
| 6 | 18:38 (день) | посадка | 79 | 70 | - | 75 | - | |
| B763 | | | 69-81 | | | | | |
| 1 | 15:00 (день) | взлет | 69 | 70 | - | 75 | - | |
| 2 | 18:11 (день) | посадка | 81 | 70 | - | 75 | - | |
| B73H | | | 79 | | | | | |
| 1 | 16:22 (день) | посадка | 79 | 70 | - | 75 | - | |
| CRJ2 | | | 69-76 | | | | | |
| 1 | 15:14 (день) | взлет | 69 | 70 | - | 75 | - | |
| 2 | 17:01(день) | посадка | 76 | 70 | - | 75 | - | |
| | | 24.06.2020 | | 7:00 | · | · | | |
| A319 | | | 63-77 | | | | | |
| 1 | 05:22 (ночь) | взлет | 63 | - | 60 | - | 65 | |
| 2 | 06:50 (ночь) | взлет | 77 | - | 60 | - | 65 | |
| A320 | | | 59-76 | | | | | |
| 1 | 05:07 (ночь) | взлет | 61 | - | 60 | - | 65 | |
| 2 | 05:45 (ночь) | взлет | 63 | - | 60 | - | 65 | |
| 3 | 05:55 (ночь) | взлет | 59 | - | 60 | - | 65 | |
| 4 | 06:13 (ночь) | взлет | 76 | - | 60 | - | 65 | |
| B735 | | | 79 | | | | | |
| 1 | 06:48 (ночь) | взлет | 79 | - | 60 | - | 65 | |
| B763 | | | 55-68 | | | | | |
| 1 | 05:14 (ночь) | взлет | 68 | - | 60 | - | 65 | |
| 2 | 05:27 (ночь) | взлет | 65 | - | 60 | - | 65 | |
| 3 | 05:36 (ночь) | взлет | 67 | - | 60 | - | 65 | |
| 4 | 06:46 (ночь) | взлет | 55 | - | 60 | - | 65 | |
| CRJ2 | | | 65 | | | | | |
| 1 | 06:26 (ночь) | взлет | 65 | - | 60 | - | 65 | |
| | Г | 06.07.2020 | | 9:00 | | | | |
| A319 | 4 | | 74-77 | | | | | |
| 1 | 15:51 (день) | взлет | 77 | 70 | - | 75 | - | |
| 2 | 16:01 (день) | взлет | 74 | 70 | - | 75 | - | |
| 3 | 17:26 (день) | взлет | 76 | 70 | - | 75 | - | |
| 4 | 18:37 (день) | взлет | 77 | 70 | - | 75 | - | |
| A320 | | | 74-80 | | | | | |
| 1 | 15:20 (день) | взлет | 79 | 70 | - | 75 | - | |

| Тип ВС | Время собы- тия | Взлет/ | $L_{A	ext{makc}}$ | Нормативные значения, дБ(А) | | | | |
|--------|--------------------|---------|-------------------|-----------------------------|------|------|------|--|
| | | | | СанПиН | | ГОСТ | | |
| | (день/ночь) | посадка | дБ(А) | День | Ночь | День | Ночь | |
| 2 | 15:21 (день) | взлет | 77 | 70 | - | 75 | - | |
| 3 | 15:23 (день) | взлет | 80 | 70 | - | 75 | - | |
| 4 | 15:29 (день) | взлет | 76 | 70 | - | 75 | - | |
| 5 | 15:32 (день) | взлет | 76 | 70 | - | 75 | - | |
| 6 | 15:49 (день) | взлет | 78 | 70 | - | 75 | - | |
| 7 | 15:53 (день) | взлет | 76 | 70 | - | 75 | - | |
| 8 | 16:04 (день) | взлет | 77 | 70 | - | 75 | - | |
| 9 | 16:11 (день) | взлет | 77 | 70 | - | 75 | - | |
| 10 | 16:21 (день) | взлет | 75 | 70 | - | 75 | - | |
| 11 | 16:22 (день) | взлет | 79 | 70 | - | 75 | - | |
| 12 | 16:29 (день) | взлет | 79 | 70 | - | 75 | - | |
| 13 | 16:31 (день) | взлет | 78 | 70 | - | 75 | - | |
| 14 | 16:32(день) | взлет | 78 | 70 | - | 75 | - | |
| 15 | 16:34 (день) | взлет | 76 | 70 | - | 75 | - | |
| 16 | 16:59 (день) | взлет | 80 | 70 | - | 75 | - | |
| 17 | 17:00 (день) | взлет | 78 | 70 | - | 75 | - | |
| 18 | 17:08 (день) | взлет | 74 | 70 | - | 75 | - | |
| 19 | 17:15 (день) | взлет | 78 | 70 | - | 75 | - | |
| 20 | 17:17 (день) | взлет | 74 | 70 | - | 75 | - | |
| 21 | 17:58 (день) | взлет | 75 | 70 | - | 75 | - | |
| 22 | 18:00 (день) | взлет | 77 | 70 | - | 75 | - | |
| 23 | 18:08 (день) | взлет | 76 | 70 | | 75 | - | |
| 24 | 18:15 (день) | взлет | 80 | 70 | - | 75 | - | |
| 25 | 18:45 (день) | взлет | 79 | 70 | - | 75 | - | |
| 26 | 18:55 (день) | взлет | 79 | 70 | - | 75 | - | |
| B735 | | | 78-80 | | | | | |
| 1 | 15:30 (день) | взлет | 78 | 70 | - | 75 | - | |
| 2 | 16:19 (день) | взлет | 80 | 70 | - | 75 | - | |
| 3 | 17:39 (день) | взлет | 78 | 70 | - | 75 | - | |
| B763 | | | 77-82 | | | | | |
| 1 | 15:09 (день) | взлет | 82 | 70 | - | 75 | - | |
| 2 | 15:26 (день) | взлет | 78 | 70 | - | 75 | | |
| 3 | 16:43 (день) | взлет | 77 | 70 | - | 75 | - | |
| В73Н | | | 81-82 | | | | | |
| 1 | 15:36 (день) | взлет | 82 | 70 | - | 75 | - | |
| 2 | 17:36 (день) | взлет | 81 | 70 | - | 75 | _ | |
| CRJ2 | | | 68 | | | | | |
| 1 | 15:16 (день) | взлет | 68 | 70 | - | 75 | - | |
| 2 | 16:37 (день) | взлет | 68 | 70 | - | 75 | | |

| | Время собы- тия | Взлет/ посадка | $oldsymbol{L_{A}}$ макс | Нормативные значения, д | | | | | |
|------------------------|--------------------|-------------------|-------------------------|--------------------------------|------|------|------|--|--|
| Тип ВС | | | , | СанПиН | | ГОСТ | | | |
| | (день/ночь) | | дБ(А) | День | Ночь | День | Ночь | | |
| 06.07.2020 23:00-07:00 | | | | | | | | | |
| A319 | | | 76-78 | | | | | | |
| 1 | 23:04 (ночь) | взлет | 76 | - | 60 | - | 65 | | |
| 2 | 00:59 (ночь) | взлет | 78 | - | 60 | - | 65 | | |
| A320 | | | 72-78 | | | | | | |
| 1 | 23:26 (ночь) | взлет | 72 | - | 60 | - | 65 | | |
| 2 | 23:39 (ночь) | взлет | 78 | - | 60 | - | 65 | | |
| 3 | 23:44 (ночь) | взлет | 77 | - | 60 | - | 65 | | |
| 4 | 23:53(ночь) | взлет | 76 | - | 60 | - | 65 | | |
| 5 | 00:04 (ночь) | взлет | 74 | - | 60 | - | 65 | | |
| 6 | 00:18 (ночь) | взлет | 72 | - | 60 | - | 65 | | |
| 7 | 00:26 (ночь) | взлет | 72 | - | 60 | - | 65 | | |
| 8 | 00:31(ночь) | взлет | 72 | - | 60 | - | 65 | | |
| 9 | 00:44 (ночь) | взлет | 74 | - | 60 | - | 65 | | |
| B763 | | | 78-79 | | | | | | |
| 1 | 23:21 (ночь) | взлет | 78 | - | 60 | - | 65 | | |
| 2 | 00:19 (ночь) | взлет | 79 | - | 60 | - | 65 | | |

Таблица Б.17 — Результаты проведения мониторинга в точке №17 (г. Пушкин, Детскосельский бульвар, д.10)

| | · · | 1 | <u> </u> | 1 | | | | | |
|------------------------|--------------|-------------------|-------------|--------|---------|-----------|------|--|--|
| Тип ВС | Время собы- | Взлет/ посадка | L_{A макс | Нормат | начения | ия, дБ(А) | | | |
| | ТИЯ | | , | СанПиН | | ГОСТ | | | |
| | (день/ночь) | | дБ(А) | День | Ночь | День | Ночь | | |
| 22.06.2020 15:00-19:00 | | | | | | | | | |
| A319 | | | 50 | | | | | | |
| 1 | 16:05 (день) | посадка | 50 | 70 | _ | 75 | - | | |
| A320 | | | 50-62 | | | | | | |
| 1 | 15:03 (день) | взлет | 56 | 70 | - | 75 | - | | |
| 2 | 15:08 (день) | взлет | 62 | 70 | - | 75 | - | | |
| 3 | 15:09 (день) | взлет | - | 70 | - | 75 | - | | |
| 4 | 15:24 (день) | посадка | - | 70 | - | 75 | - | | |
| 5 | 15:28 (день) | посадка | - | 70 | - | 75 | - | | |
| 6 | 15:59 (день) | посадка | - | 70 | - | 75 | - | | |
| 7 | 16:26 (день) | посадка | - | 70 | - | 75 | - | | |
| 8 | 16:36 (день) | посадка | - | 70 | - | 75 | - | | |
| 9 | 16:42 (день) | посадка | - | 70 | _ | 75 | - | | |
| 10 | 16:45 (день) | посадка | - | 70 | - | 75 | - | | |
| 11 | 16:51 (день) | посадка | - | 70 | | 75 | - | | |

| | Время собы- | D / | L_{A макс | Нормат | гивные з | значения | н, д Б (А) |
|--------|--------------|------------|-------------|--------|----------|----------|-------------------|
| Тип ВС | ТИЯ | Взлет/ | , | Сан | ПиН | ГО | CT |
| | (день/ночь) | посадка | дБ(А) | День | Ночь | День | Ночь |
| 12 | 16:59 (день) | посадка | - | 70 | - | 75 | - |
| 13 | 17:21 (день) | посадка | - | 70 | - | 75 | - |
| 14 | 17:22 (день) | посадка | - | 70 | - | 75 | - |
| 15 | 17:32 (день) | посадка | - | 70 | - | 75 | - |
| 16 | 17:37:(день) | посадка | 51 | 70 | - | 75 | - |
| 17 | 18:02 (день) | посадка | - | 70 | - | 75 | - |
| 18 | 18:06 (день) | посадка | - | 70 | - | 75 | - |
| 19 | 18:08 (день) | посадка | - | 70 | - | 75 | - |
| 20 | 18:48 (день) | посадка | - | 70 | - | 75 | |
| 21 | 18:51 (день) | посадка | - | 70 | - | 75 | - |
| 22 | 18:58 (день) | посадка | 50 | 70 | - | 75 | - |
| B735 | | | 50-66 | | | | |
| 1 | 15:11 (день) | взлет | 66 | 70 | - | 75 | - |
| 2 | 15:45 (день) | посадка | 50 | 70 | - | 75 | - |
| 3 | 16:02 (день) | посадка | 52 | 70 | - | 75 | - |
| 4 | 18:15 (день) | посадка | - | 70 | - | 75 | - |
| 5 | 18:18 (день) | посадка | - | 70 | - | 75 | - |
| 6 | 18:38 (день) | посадка | 51 | 70 | - | 75 | - |
| B763 | | | 51-56 | | | | |
| 1 | 15:00 (день) | взлет | 56 | 70 | - | 75 | - |
| 2 | 18:11 (день) | посадка | 51 | 70 | - | 75 | - |
| В73Н | | | 1 | | | | |
| 1 | 16:22 (день) | посадка | - | 70 | - | 75 | - |
| CRJ2 | | | 52-66 | | | | |
| 1 | 15:14 (день) | взлет | 66 | 70 | - | 75 | - |
| 2 | 17:01(день) | посадка | 52 | 70 | - | 75 | - |
| | | 24.06.2020 | 05:00-0 | 7:00 | | | |
| A319 | | | 57-61 | | | | |
| 1 | 05:22 (ночь) | взлет | 61 | - | 60 | - | 65 |
| 2 | 06:50 (ночь) | взлет | 57 | - | 60 | - | 65 |
| A320 | | | 48-67 | | | | |
| 1 | 05:07 (ночь) | взлет | 67 | - | 60 | - | 65 |
| 2 | 05:45 (ночь) | взлет | 59 | _ | 60 | _ | 65 |
| 3 | 05:55 (ночь) | взлет | 48 | _ | 60 | _ | 65 |
| 4 | 06:13 (ночь) | взлет | 67 | _ | 60 | - | 65 |
| B735 | | | 68 | | | | |
| 1 | 06:48 (ночь) | взлет | 68 | - | 60 | - | 65 |
| B763 | | | 52-71 | | | | |
| 1 | 05:14 (ночь) | взлет | 71 | _ | 60 | _ | 65 |

| | Время собы- | D / | $oldsymbol{L_{A	ext{Makc}}}$ | Нормат | гивные з | вначения | , дБ(A) |
|--------|--------------|------------|------------------------------|--------|----------|----------|---------|
| Тип ВС | ТИЯ | Взлет/ | Amarc | Сан | ПиН | ГО | CT |
| | (день/ночь) | посадка | д Б (A) | День | Ночь | День | Ночь |
| 2 | 05:27 (ночь) | взлет | 70 | - | 60 | - | 65 |
| 3 | 05:36 (ночь) | взлет | 52 | - | 60 | - | 65 |
| 4 | 06:46 (ночь) | взлет | 65 | - | 60 | - | 65 |
| CRJ2 | | | 49 | | | | |
| 1 | 06:26 (ночь) | взлет | 49 | - | 60 | - | 65 |
| | | 06.07.2020 | 15:00-1 | 9:00 | | | |
| A319 | | | 57-67 | | | | |
| 1 | 15:51 (день) | взлет | 61 | 70 | - | 75 | - |
| 2 | 16:01 (день) | взлет | 57 | 70 | - | 75 | - |
| 3 | 17:26 (день) | взлет | 67 | 70 | - | 75 | - |
| 4 | 18:37 (день) | взлет | 65 | 70 | - | 75 | - |
| A320 | | | 50-90 | | | | |
| 1 | 15:20 (день) | взлет | 63 | 70 | - | 75 | - |
| 2 | 15:21 (день) | взлет | 53 | 70 | - | 75 | - |
| 3 | 15:23 (день) | взлет | 58 | 70 | - | 75 | - |
| 4 | 15:29 (день) | взлет | 55 | 70 | - | 75 | - |
| 5 | 15:32 (день) | взлет | 64 | 70 | - | 75 | - |
| 6 | 15:49 (день) | взлет | 56 | 70 | - | 75 | - |
| 7 | 15:53 (день) | взлет | 50 | 70 | - | 75 | - |
| 8 | 16:04 (день) | взлет | 59 | 70 | - | 75 | - |
| 9 | 16:11 (день) | взлет | 58 | 70 | - | 75 | - |
| 10 | 16:21 (день) | взлет | 52 | 70 | - | 75 | - |
| 11 | 16:22 (день) | взлет | 59 | 70 | - | 75 | - |
| 12 | 16:29 (день) | взлет | 60 | 70 | - | 75 | - |
| 13 | 16:31 (день) | взлет | 60 | 70 | - | 75 | - |
| 14 | 16:32(день) | взлет | 59 | 70 | - | 75 | - |
| 15 | 16:34 (день) | взлет | 60 | 70 | - | 75 | - |
| 16 | 16:59 (день) | взлет | 57 | 70 | - | 75 | - |
| 17 | 17:00 (день) | взлет | 63 | 70 | - | 75 | - |
| 18 | 17:08 (день) | взлет | 50 | 70 | - | 75 | - |
| 19 | 17:15 (день) | взлет | 58 | 70 | - | 75 | - |
| 20 | 17:17 (день) | взлет | 68 | 70 | - | 75 | - |
| 21 | 17:58 (день) | взлет | 65 | 70 | - | 75 | - |
| 22 | 18:00 (день) | взлет | 63 | 70 | - | 75 | - |
| 23 | 18:08 (день) | взлет | 64 | 70 | - | 75 | - |
| 24 | 18:15 (день) | взлет | 67 | 70 | - | 75 | - |
| 25 | 18:45 (день) | взлет | 58 | 70 | - | 75 | - |
| 26 | 18:55 (день) | взлет | 58 | 70 | - | 75 | - |
| B735 | | | 54-65 | | | | |

| | Время собы- | Во тот/ | L_{A макс | Нормат | гивные з | начения | т, д Б (A) |
|--------|--------------|------------|-------------|--------|----------|---------|-----------------------------------|
| Тип ВС | ТИЯ | Взлет/ | , | Сан | ПиН | ГО | CT |
| | (день/ночь) | посадка | дБ(А) | День | Ночь | День | Ночь |
| 1 | 15:30 (день) | взлет | 54 | 70 | - | 75 | - |
| 2 | 16:19 (день) | взлет | 65 | 70 | - | 75 | - |
| 3 | 17:39 (день) | взлет | 60 | 70 | - | 75 | - |
| B763 | | | 61-70 | | | | |
| 1 | 15:09 (день) | взлет | 63 | 70 | - | 75 | - |
| 2 | 15:26 (день) | взлет | 70 | 70 | - | 75 | |
| 3 | 16:43 (день) | взлет | 61 | 70 | - | 75 | - |
| В73Н | | | 54-58 | | | | |
| 1 | 15:36 (день) | взлет | 54 | 70 | - | 75 | - |
| 2 | 17:36 (день) | взлет | 58 | 70 | - | 75 | - |
| CRJ2 | | | 46-49 | | | | |
| 1 | 15:16 (день) | взлет | 46 | 70 | - | 75 | - |
| 2 | 16:37 (день) | взлет | 49 | 70 | - | 75 | - |
| | | 06.07.2020 | 23:00-0 | 7:00 | | | |
| A319 | | | 67-72 | | | | |
| 1 | 23:04 (ночь) | взлет | 67 | - | 60 | - | 65 |
| 2 | 00:59 (ночь) | взлет | 72 | - | 60 | - | 65 |
| A320 | | | 66-74 | | | | |
| 1 | 23:26 (ночь) | взлет | 68 | - | 60 | - | 65 |
| 2 | 23:39 (ночь) | взлет | 66 | - | 60 | - | 65 |
| 3 | 23:44 (ночь) | взлет | 73 | - | 60 | - | 65 |
| 4 | 23:53(ночь) | взлет | 74 | - | 60 | - | 65 |
| 5 | 00:04 (ночь) | взлет | 71 | - | 60 | - | 65 |
| 6 | 00:18 (ночь) | взлет | 71 | - | 60 | - | 65 |
| 7 | 00:26 (ночь) | взлет | 70 | - | 60 | - | 65 |
| 8 | 00:31(ночь) | взлет | 71 | - | 60 | - | 65 |
| 9 | 00:44 (ночь) | взлет | 69 | - | 60 | - | 65 |
| B763 | | | 70-73 | | | | |
| 1 | 23:21 (ночь) | взлет | 73 | - | 60 | - | 65 |
| 2 | 00:19 (ночь) | взлет | 70 | - | 60 | - | 65 |

Таблица Б.18 — Результаты проведения мониторинга в точке №18 (пос. Ленсоветовский, д.25)

| Тип ВС Время собы- тия (день/ночь) | Время собы- | Важет/ | $L_{A	ext{Makc}}$ | Нормативные значения, дБ(А) | | | | |
|--|-----------------|---------|-------------------|-----------------------------|------|------|------|--|
| | D 3J1e17 | , | Сан | ПиН | ГО | CT | | |
| | (день/ночь) | посадка | дБ(А) | День | Ночь | День | Ночь | |
| 22.06.2020 15:00-19:00 | | | | | | | | |
| A319 | | | 66 | | | | | |

| | Время собы- | D / | $oldsymbol{L_{A	ext{Makc}}}$ | Нормат | гивные з | начения | н, дБ(А) |
|--------|--------------|---------|------------------------------|--------|----------|---------|-----------------|
| Тип ВС | тия | Взлет/ | • | Сан | ПиН | ГО | CT |
| | (день/ночь) | посадка | дБ(А) | День | Ночь | День | Ночь |
| 1 | 16:05 (день) | посадка | 66 | 70 | - | 75 | - |
| A320 | , , | | 54-71 | | | | |
| 1 | 15:03 (день) | взлет | 60 | 70 | - | 75 | - |
| 2 | 15:08 (день) | взлет | 56 | 70 | - | 75 | - |
| 3 | 15:09 (день) | взлет | 67 | 70 | - | 75 | - |
| 4 | 15:24 (день) | посадка | 54 | 70 | - | 75 | - |
| 5 | 15:28 (день) | посадка | 67 | 70 | - | 75 | - |
| 6 | 15:59 (день) | посадка | 65 | 70 | - | 75 | - |
| 7 | 16:26 (день) | посадка | 67 | 70 | - | 75 | - |
| 8 | 16:36 (день) | посадка | 66 | 70 | - | 75 | - |
| 9 | 16:42 (день) | посадка | 68 | 70 | - | 75 | - |
| 10 | 16:45 (день) | посадка | 71 | 70 | - | 75 | - |
| 11 | 16:51 (день) | посадка | 69 | 70 | - | 75 | - |
| 12 | 16:59 (день) | посадка | 68 | 70 | - | 75 | - |
| 13 | 17:21 (день) | посадка | 68 | 70 | - | 75 | - |
| 14 | 17:22 (день) | посадка | 68 | 70 | - | 75 | - |
| 15 | 17:32 (день) | посадка | 67 | 70 | - | 75 | - |
| 16 | 17:37:(день) | посадка | 68 | 70 | - | 75 | - |
| 17 | 18:02 (день) | посадка | 68 | 70 | - | 75 | - |
| 18 | 18:06 (день) | посадка | 70 | 70 | - | 75 | - |
| 19 | 18:08 (день) | посадка | 67 | 70 | - | 75 | - |
| 20 | 18:48 (день) | посадка | 68 | 70 | - | 75 | - |
| 21 | 18:51 (день) | посадка | 66 | 70 | - | 75 | - |
| 22 | 18:58 (день) | посадка | 68 | 70 | - | 75 | - |
| B735 | | | 62-71 | | | | |
| 1 | 15:11 (день) | взлет | 62 | 70 | - | 75 | - |
| 2 | 15:45 (день) | посадка | 71 | 70 | - | 75 | - |
| 3 | 16:02 (день) | посадка | 68 | 70 | - | 75 | - |
| 4 | 18:15 (день) | посадка | 68 | 70 | - | 75 | - |
| 5 | 18:18 (день) | посадка | 70 | 70 | - | 75 | - |
| 6 | 18:38 (день) | посадка | 68 | 70 | - | 75 | - |
| B763 | | | 70-74 | | | | |
| 1 | 15:00 (день) | взлет | 70 | 70 | - | 75 | - |
| 2 | 18:11 (день) | посадка | 74 | 70 | - | 75 | - |
| В73Н | | | 70 | | | | |
| 1 | 16:22 (день) | посадка | 70 | 70 | - | 75 | - |
| CRJ2 | | | 65-67 | | | | |
| 1 | 15:14 (день) | взлет | 67 | 70 | - | 75 | - |
| 2 | 17:01(день) | посадка | 65 | 70 | - | 75 | - |

| | Время собы- | D====/ | L_{A макс | Нормат | гивные з | начения | , д Б (А) |
|--------|--------------|------------|-------------|--------|----------|---------|------------------|
| Тип ВС | ТИЯ | Взлет/ | , | Сан | ПиН | ГО | CT |
| | (день/ночь) | посадка | дБ(А) | День | Ночь | День | Ночь |
| | | 24.06.2020 | 05:00-0 | 7:00 | | | |
| A319 | | | 48-66 | | | | |
| 1 | 05:22 (ночь) | взлет | 66 | - | 60 | - | 65 |
| 2 | 06:50 (ночь) | взлет | 48 | - | 60 | - | 65 |
| A320 | | | 50-62 | | | | |
| 1 | 05:07 (ночь) | взлет | 60 | - | 60 | - | 65 |
| 2 | 05:45 (ночь) | взлет | 52 | - | 60 | - | 65 |
| 3 | 05:55 (ночь) | взлет | 62 | - | 60 | - | 65 |
| 4 | 06:13 (ночь) | взлет | 50 | - | 60 | - | 65 |
| B735 | | | 51 | | | | |
| 1 | 06:48 (ночь) | взлет | 51 | - | 60 | - | 65 |
| B763 | | | 61-69 | | | | |
| 1 | 05:14 (ночь) | взлет | 63 | - | 60 | - | 65 |
| 2 | 05:27 (ночь) | взлет | 69 | - | 60 | - | 65 |
| 3 | 05:36 (ночь) | взлет | 64 | - | 60 | - | 65 |
| 4 | 06:46 (ночь) | взлет | 61 | - | 60 | - | 65 |
| CRJ2 | | | 58 | | | | |
| 1 | 06:26 (ночь) | взлет | 58 | - | 60 | - | 65 |
| | | 06.07.2020 | 15:00-1 | 9:00 | | | |
| A319 | | | 62-70 | | | | |
| 1 | 15:51 (день) | взлет | 70 | 70 | - | 75 | - |
| 2 | 16:01 (день) | взлет | 68 | 70 | - | 75 | 1 |
| 3 | 17:26 (день) | взлет | 69 | 70 | - | 75 | - |
| 4 | 18:37 (день) | взлет | 62 | 70 | - | 75 | ı |
| A320 | | | 56-73 | | | | |
| 1 | 15:20 (день) | взлет | 70 | 70 | - | 75 | ı |
| 2 | 15:21 (день) | взлет | 62 | 70 | - | 75 | - |
| 3 | 15:23 (день) | взлет | 69 | 70 | - | 75 | ı |
| 4 | 15:29 (день) | взлет | 68 | 70 | - | 75 | 1 |
| 5 | 15:32 (день) | взлет | 72 | 70 | - | 75 | - |
| 6 | 15:49 (день) | взлет | 67 | 70 | - | 75 | - |
| 7 | 15:53 (день) | взлет | 57 | 70 | _ | 75 | - |
| 8 | 16:04 (день) | взлет | 65 | 70 | - | 75 | - |
| 9 | 16:11 (день) | взлет | 69 | 70 | - | 75 | ı |
| 10 | 16:21 (день) | взлет | 61 | 70 | - | 75 | - |
| 11 | 16:22 (день) | взлет | 69 | 70 | _ | 75 | - |
| 12 | 16:29 (день) | взлет | 68 | 70 | - | 75 | _ |
| 13 | 16:31 (день) | взлет | 70 | 70 | - | 75 | - |
| 14 | 16:32(день) | взлет | 67 | 70 | - | 75 | ı |

| | Время собы- | D / | L_{A макс | Нормат | гивные з | вначения | , д Б (А) |
|--------|--------------|------------|-------------|--------|----------|----------|------------------|
| Тип ВС | тия | Взлет/ | , | | ПиН | ГО | |
| | (день/ночь) | посадка | дБ(А) | День | Ночь | День | Ночь |
| 15 | 16:34 (день) | взлет | 68 | 70 | - | 75 | - |
| 16 | 16:59 (день) | взлет | 68 | 70 | - | 75 | ı |
| 17 | 17:00 (день) | взлет | 70 | 70 | - | 75 | ı |
| 18 | 17:08 (день) | взлет | 56 | 70 | - | 75 | ı |
| 19 | 17:15 (день) | взлет | 69 | 70 | - | 75 | 1 |
| 20 | 17:17 (день) | взлет | 70 | 70 | - | 75 | ı |
| 21 | 17:58 (день) | взлет | 69 | 70 | - | 75 | ı |
| 22 | 18:00 (день) | взлет | 73 | 70 | - | 75 | ı |
| 23 | 18:08 (день) | взлет | 67 | 70 | - | 75 | ı |
| 24 | 18:15 (день) | взлет | 71 | 70 | - | 75 | - |
| 25 | 18:45 (день) | взлет | 69 | 70 | - | 75 | - |
| 26 | 18:55 (день) | взлет | 66 | 70 | - | 75 | ı |
| B735 | | | 64-68 | | | | |
| 1 | 15:30 (день) | взлет | 64 | 70 | - | 75 | ı |
| 2 | 16:19 (день) | взлет | 68 | 70 | - | 75 | ı |
| 3 | 17:39 (день) | взлет | 68 | 70 | - | 75 | ı |
| B763 | | | 68-72 | | | | |
| 1 | 15:09 (день) | взлет | 70 | 70 | - | 75 | ı |
| 2 | 15:26 (день) | взлет | 72 | 70 | - | 75 | |
| 3 | 16:43 (день) | взлет | 68 | 70 | - | 75 | - |
| B73H | | | 68-69 | | | | |
| 1 | 15:36 (день) | взлет | 68 | 70 | - | 75 | - |
| 2 | 17:36 (день) | взлет | 69 | 70 | - | 75 | - |
| CRJ2 | | | 49-59 | | | | |
| 1 | 15:16 (день) | взлет | 49 | 70 | - | 75 | - |
| 2 | 16:37 (день) | взлет | 59 | 70 | - | 75 | - |
| | | 06.07.2020 | 23:00-0 | 1:00 | | | |
| A319 | | | 58-59 | | | | |
| 1 | 23:04 (ночь) | взлет | 58 | - | 60 | - | 65 |
| 2 | 00:59 (ночь) | взлет | 59 | - | 60 | - | 65 |
| A320 | | | 57-66 | | | | |
| 1 | 23:26 (ночь) | взлет | 62 | - | 60 | - | 65 |
| 2 | 23:39 (ночь) | взлет | 60 | - | 60 | - | 65 |
| 3 | 23:44 (ночь) | взлет | 57 | - | 60 | - | 65 |
| 4 | 23:53(ночь) | взлет | 60 | - | 60 | - | 65 |
| 5 | 00:04 (ночь) | взлет | 58 | - | 60 | - | 65 |
| 6 | 00:18 (ночь) | взлет | 57 | - | 60 | - | 65 |
| 7 | 00:26 (ночь) | взлет | 59 | - | 60 | - | 65 |
| 8 | 00:31(ночь) | взлет | 59 | - | 60 | - | 65 |

| | Время собы- | D 3J1617 | $L_{A_{ m MAKC}}$ | Нормат | гивные з | вначения, дБ(А) | | | |
|------------|--------------|-----------------|-------------------|-----------------|----------|-----------------|-----|-----|----|
| Тип ВС Тия | ТИЯ | | Б 3Ле17 | D 3,1e17 | Бзлет/ | , | Сан | ПиН | ГО |
| | посадка | дБ(А) | День | Ночь | День | Ночь | | | |
| 9 | 00:44 (ночь) | взлет | 66 | - | 60 | - | 65 | | |
| B763 | | | 52-66 | | | | | | |
| 1 | 23:21 (ночь) | взлет | 66 | - | 60 | - | 65 | | |
| 2 | 00:19 (ночь) | взлет | 52 | - | 60 | - | 65 | | |

Таблица Б.19 — Результаты проведения мониторинга в точке №19 (г. Петергоф, Ропшинское шоссе, д. 10)

| | Время собы- | D / | $oldsymbol{L_{A}}$ макс | Норма | тивные з | начения | , д Б (A) |
|--------|--------------|------------|-------------------------|-------|----------|---------|----------------------------------|
| Тип ВС | ТИЯ | Взлет/ | , | Сан | ПиН | ГО | CT |
| | (день/ночь) | посадка | дБ(А) | День | Ночь | День | Ночь |
| | | 18.04.2022 | 15:00-1 | 9:00 | | | |
| A319 | | | 51-60 | | | | |
| 1 | 15:08 (день) | посадка | 59 | 70 | - | 75 | - |
| 2 | 16:20 (день) | посадка | 60 | 70 | - | 75 | - |
| 3 | 16:48 (день) | посадка | 54 | 70 | - | 75 | - |
| 4 | 16:53 (день) | посадка | 59 | 70 | - | 75 | - |
| 5 | 16:57 (день) | посадка | 60 | 70 | - | 75 | - |
| 6 | 18:02 (день) | посадка | 51 | 70 | _ | 75 | - |
| 7 | 18:20 (день) | посадка | 59 | 70 | - | 75 | - |
| A320 | | | 55-60 | | | | |
| 1 | 15:18 (день) | посадка | 60 | 70 | - | 75 | - |
| 2 | 15:28 (день) | посадка | 55 | 70 | - | 75 | - |
| 3 | 16:29 (день) | посадка | 62 | 70 | - | 75 | - |
| 4 | 17:16 (день) | посадка | 59 | 70 | - | 75 | - |
| 5 | 18:56 (день) | посадка | 60 | 70 | - | 75 | - |
| A321 | | | 55-62 | | | | |
| 1 | 16:31 (день) | посадка | 61 | 70 | - | 75 | - |
| 2 | 16:58 (день) | посадка | 56 | 70 | - | 75 | - |
| 3 | 17:36 (день) | посадка | 55 | 70 | - | 75 | - |
| 4 | 18:26 (день) | посадка | 62 | 70 | - | 75 | - |
| B735 | | | 58-60 | | | | |
| 1 | 16:01 (день) | посадка | 58 | 70 | - | 75 | - |
| 2 | 18:09 (день) | посадка | 60 | 70 | - | 75 | - |
| В73Н | | | 56-60 | | | | |
| 1 | 15:27 (день) | посадка | 56 | 70 | - | 75 | - |
| 2 | 15:45 (день) | посадка | 60 | 70 | - | 75 | - |
| 3 | 18:47 (день) | посадка | 56 | 70 | - | 75 | - |
| | | 04.05.2020 | 05:00-0 | 7:00 | | | |
| A319 | | | 59-68 | | | | |

| | Время собы- | Do zoz/ | L_{A макс | Норма | тивные з | вначения | , д Б (A) |
|--------|--------------|------------|-------------|-------|----------|----------|----------------------------------|
| Тип ВС | ТИЯ | Взлет/ | , | Сан | ПиН | ГО | CT |
| | (день/ночь) | посадка | дБ(А) | День | Ночь | День | Ночь |
| 1 | 05:23 (ночь) | посадка | 64 | ı | 60 | - | 65 |
| 2 | 05:38 (ночь) | посадка | 62 | ı | 60 | - | 65 |
| 3 | 05:42 (ночь) | посадка | 67 | - | 60 | - | 65 |
| 4 | 05:53 (ночь) | посадка | 59 | - | 60 | - | 65 |
| 5 | 05:59 (ночь) | посадка | 60 | - | 60 | - | 65 |
| 6 | 06:06 (ночь) | посадка | 60 | - | 60 | - | 65 |
| 7 | 06:12 (ночь) | посадка | 62 | - | 60 | - | 65 |
| 8 | 06:18 (ночь) | посадка | 67 | - | 60 | - | 65 |
| 9 | 06:22 (ночь) | посадка | 61 | - | 60 | - | 65 |
| 10 | 06:25 (ночь) | посадка | 68 | - | 60 | - | 65 |
| 11 | 06:37 (ночь) | посадка | 66 | - | 60 | - | 65 |
| 12 | 06:41 (ночь) | посадка | 62 | - | 60 | - | 65 |
| 13 | 06:57 (ночь) | посадка | 65 | - | 60 | - | 65 |
| A320 | | | 62-66 | | | | |
| 1 | 06:15 (ночь) | посадка | 62 | - | 60 | - | 65 |
| 2 | 07:00 (ночь) | посадка | 66 | - | 60 | - | 65 |
| B735 | | | 65 | | | | |
| 1 | 06:55 (ночь) | посадка | 65 | - | 60 | - | 65 |
| | | 28.04.2022 | 2 05:00-0 | 7:00 | | | |
| A319 | | | 56-61 | | | | |
| 1 | 05:24 (ночь) | взлет | - | - | 60 | - | 65 |
| 2 | 06:22 (ночь) | взлет | 61 | - | 60 | - | 65 |
| 3 | 06:56 (ночь) | взлет | 56 | - | 60 | - | 65 |
| A320 | | | 53-58 | | | | |
| 1 | 05:16 (ночь) | взлет | 53 | - | 60 | - | 65 |
| 2 | 05:53 (ночь) | взлет | 58 | - | 60 | - | 65 |
| A321 | | | 59-60 | | | | |
| 1 | 05:56 (ночь) | взлет | 60 | - | 60 | - | 65 |
| 2 | 06:30 (ночь) | взлет | 59 | - | 60 | - | 65 |
| B735 | | | 51 | | | | |
| 1 | 05:42 (ночь) | взлет | 51 | - | 60 | - | 65 |
| B738 | | | 57-60 | | | | |
| 1 | 05:05 (ночь) | взлет | - | - | 60 | - | 65 |
| 2 | 05:14 (ночь) | взлет | 57 | - | 60 | - | 65 |
| 3 | 06:11 (ночь) | взлет | 60 | - | 60 | - | 65 |
| В73Н | | | 61 | | | | |
| 1 | 06:06 (ночь) | взлет | 61 | - | 60 | - | 65 |

Таблица Б.21 — Результаты проведения мониторинга в точке №21 (д. Верхняя Колония, д. 35а)

| | Время собы- | D / | $L_{A{ m Makc}}$ | Нормат | гивные з | начения | , д Б (А) |
|--------|--------------|------------|------------------|--------|----------|---------|-------------------------|
| Тип ВС | тия | Взлет/ | , | Сан | ПиН | ГО | CT |
| | (день/ночь) | посадка | дБ(А) | День | Ночь | День | Ночь |
| | | 24.04.2022 | 15:00-1 | 9:00 | | | |
| A319 | | | 51-65 | | | | |
| 1 | 15:13 (день) | взлет | 61 | 70 | - | 75 | - |
| 2 | 16:04 (день) | взлет | 63 | 70 | - | 75 | - |
| 3 | 16:16 (день) | взлет | 59 | 70 | - | 75 | - |
| 4 | 16:18 (день) | взлет | 62 | 70 | - | 75 | - |
| 5 | 16:26 (день) | взлет | 63 | 70 | - | 75 | - |
| 6 | 16:28 (день) | взлет | 59 | 70 | - | 75 | - |
| 7 | 16:33 (день) | взлет | 65 | 70 | - | 75 | - |
| 8 | 16:45 (день) | взлет | 59 | 70 | _ | 75 | - |
| 9 | 16:51 (день) | взлет | 62 | 70 | | 75 | |
| 10 | 17:03 (день) | взлет | 61 | 70 | - | 75 | _ |
| 11 | 17:49 (день) | взлет | 60 | 70 | - | 75 | - |
| 12 | 18:02 (день) | взлет | 51 | 70 | - | 75 | - |
| 13 | 18:25 (день) | взлет | 63 | 70 | - | 75 | - |
| 14 | 18:42 (день) | взлет | 63 | 70 | - | 75 | - |
| A320 | | | 56-64 | | | | |
| 1 | 15:36 (день) | взлет | 56 | 70 | - | 75 | - |
| 2 | 15:48 (день) | взлет | 64 | 70 | - | 75 | - |
| 3 | 16:39 (день) | взлет | 60 | 70 | - | 75 | - |
| 4 | 17:50 (день) | взлет | 63 | 70 | - | 75 | - |
| 5 | 18:07 (день) | взлет | 62 | 70 | - | 75 | - |
| 6 | 18:14 (день) | взлет | 61 | 70 | - | 75 | - |
| A321 | | | 60-65 | | | | |
| 1 | 15:07 (день) | взлет | 60 | 70 | - | 75 | - |
| 2 | 15:59 (день) | взлет | 65 | 70 | - | 75 | _ |
| 3 | 16:34 (день) | взлет | 65 | 70 | - | 75 | - |
| 4 | 18:18 (день) | взлет | 65 | 70 | - | 75 | - |
| B735 | | | 63-69 | | | | |
| 1 | 15:11 (день) | взлет | 63 | 70 | - | 75 | - |
| 2 | 16:00 (день) | взлет | 65 | 70 | - | 75 | - |
| 3 | 16:09 (день) | взлет | 69 | 70 | - | 75 | - |
| B738 | | | 60-63 | | | | |
| 1 | 15:03 (день) | взлет | 60 | 70 | _ | 75 | - |
| 2 | 15:09 (день) | взлет | 63 | 70 | - | 75 | - |
| 3 | 17:39 (день) | взлет | 61 | 70 | - | 75 | - |

| | Время собы- | D / | L_{A макс | Нормат | гивные з | начения | , д Б (A) | | |
|--------|------------------------|---------|---------------------------------------|--------|----------|---------|----------------------------------|--|--|
| Тип ВС | тия | Взлет/ | • • • • • • • • • • • • • • • • • • • | Сан | ПиН | ГО | CT | | |
| | (день/ночь) | посадка | дБ(А) | День | Ночь | День | Ночь | | |
| В73Н | | | 62-66 | | | | | | |
| 1 | 15:43 (день) | взлет | 66 | 70 | ı | 75 | - | | |
| 2 | 17:20 (день) | взлет | 62 | 70 | ı | 75 | - | | |
| | 11.05.2022 23:00-01:00 | | | | | | | | |
| A319 | | | 60-66 | | | | | | |
| 1 | 23:03 (ночь) | взлет | 60 | - | 60 | - | 65 | | |
| 2 | 23:07 (ночь) | взлет | 65 | - | 60 | - | 65 | | |
| 3 | 23:15 (ночь) | взлет | 65 | - | 60 | - | 65 | | |
| 4 | 23:32 (ночь) | взлет | 66 | - | 60 | - | 65 | | |
| 5 | 23:47 (ночь) | взлет | 63 | - | 60 | - | 65 | | |
| 6 | 00:02 (ночь) | взлет | 64 | - | 60 | - | 65 | | |
| 7 | 00:14 (ночь) | взлет | 60 | - | 60 | - | 65 | | |
| 8 | 00:16 (ночь) | взлет | 66 | - | 60 | - | 65 | | |
| 9 | 00:46 (ночь) | взлет | 63 | - | 60 | - | 65 | | |
| 10 | 00:55 (ночь) | взлет | - | - | 60 | - | 65 | | |
| 11 | 00:58 (ночь) | взлет | 65 | - | 60 | - | 65 | | |
| A320 | | | 61 | | | | | | |
| 1 | 23:40 (ночь) | взлет | 61 | - | 60 | - | 65 | | |
| A321 | | | 60 | | | | | | |
| 1 | 23:48 (ночь) | взлет | 60 | - | 60 | - | 65 | | |
| B735 | | | 63 | | | | | | |
| 1 | 23:35 (ночь) | взлет | 63 | - | 60 | - | 65 | | |

Таблица Б.22 — Результаты проведения мониторинга в точке №22 (д. Ольгино, ул. Полевая)

| | Время собы- | D/ | $oldsymbol{L_{A}_{MAKC}}$ | Норма | тивные з | значения | я, дБ(А) | | | |
|------------------------|--------------|---------|---------------------------|-------|----------|----------|----------|--|--|--|
| Тип ВС | ТИЯ | D3JC1/ | , | Сан | ПиН | ГОСТ | | | | |
| | (день/ночь) | посадка | дБ(А) | День | Ночь | День | Ночь | | | |
| 18.04.2022 15:00-19:00 | | | | | | | | | | |
| A319 | | | 54-69 | | | | | | | |
| 1 | 15:08 (день) | посадка | 68 | 70 | - | 75 | - | | | |
| 2 | 16:20 (день) | посадка | 68 | 70 | - | 75 | - | | | |
| 3 | 16:48 (день) | посадка | 66 | 70 | - | 75 | - | | | |
| 4 | 16:53 (день) | посадка | 67 | 70 | - | 75 | - | | | |
| 5 | 16:57 (день) | посадка | 69 | 70 | - | 75 | - | | | |
| 6 | 18:02 (день) | посадка | 54 | 70 | - | 75 | - | | | |
| 7 | 18:20 (день) | посадка | 67 | 70 | - | 75 | - | | | |
| A320 | | | 61-68 | | | | | | | |

| | Время собы- | D/ | L_{A макс | Норма | гивные з | значени | я, дБ(А) |
|--------|--------------|------------|-------------|-------|----------|---------|----------|
| Тип ВС | ТИЯ | Взлет/ | , | Сан | ПиН | ГС | OCT |
| | (день/ночь) | посадка | дБ(А) | День | Ночь | День | Ночь |
| 1 | 15:18 (день) | посадка | 68 | 70 | - | 75 | - |
| 2 | 15:28 (день) | посадка | 61 | 70 | - | 75 | - |
| 3 | 16:29 (день) | посадка | 67 | 70 | - | 75 | - |
| 4 | 17:16 (день) | посадка | 67 | 70 | - | 75 | - |
| 5 | 18:56 (день) | посадка | 67 | 70 | 1 | 75 | - |
| A321 | | | 57-68 | | | | |
| 1 | 16:31 (день) | посадка | 68 | 70 | ı | 75 | - |
| 2 | 16:58 (день) | посадка | 57 | 70 | - | 75 | - |
| 3 | 17:36 (день) | посадка | 63 | 70 | ı | 75 | - |
| 4 | 18:26 (день) | посадка | 67 | 70 | ı | 75 | - |
| B735 | | | 64-65 | | | | |
| 1 | 16:01 (день) | посадка | 64 | 70 | - | 75 | - |
| 2 | 18:09 (день) | посадка | 65 | 70 | - | 75 | - |
| В73Н | | | 64-66 | | | | |
| 1 | 15:27 (день) | посадка | 66 | 70 | - | 75 | - |
| 2 | 15:45 (день) | посадка | 66 | 70 | - | 75 | - |
| 3 | 18:47 (день) | посадка | 64 | 70 | - | 75 | - |
| | | 04.05.2022 | 2 05:00-0 | 7:00 | | | |
| A319 | | | 66-73 | | | | |
| 1 | 05:23 (ночь) | посадка | 70 | - | 60 | - | 65 |
| 2 | 05:38 (ночь) | посадка | 69 | - | 60 | - | 65 |
| 3 | 05:42 (ночь) | посадка | 69 | - | 60 | - | 65 |
| 4 | 05:53 (ночь) | посадка | 66 | - | 60 | - | 65 |
| 5 | 05:59 (ночь) | посадка | 67 | - | 60 | - | 65 |
| 6 | 06:06 (ночь) | посадка | 66 | - | 60 | - | 65 |
| 7 | 06:12 (ночь) | посадка | 67 | - | 60 | - | 65 |
| 8 | 06:18 (ночь) | посадка | 70 | - | 60 | - | 65 |
| 9 | 06:22 (ночь) | посадка | 72 | - | 60 | - | 65 |
| 10 | 06:25 (ночь) | посадка | 73 | - | 60 | - | 65 |
| 11 | 06:37 (ночь) | посадка | 68 | - | 60 | - | 65 |
| 12 | 06:41 (ночь) | посадка | 67 | - | 60 | - | 65 |
| 13 | 06:57 (ночь) | посадка | 69 | - | 60 | - | 65 |
| A320 | | | 67-70 | | | | |
| 1 | 06:15 (ночь) | посадка | 67 | - | 60 | - | 65 |
| 2 | 07:00 (ночь) | посадка | 70 | - | 60 | - | 65 |
| B735 | | | 68 | | | | |
| 1 | 06:55 (ночь) | посадка | 68 | | 60 | - | 65 |
| | | 28.04.2022 | 2 05:00-0 | 7:00 | | | |
| A319 | | | 52-61 | | | | |
| 1 | 05:24 (ночь) | взлет | - | _ | 60 | - | 65 |

| | Время собы- | D===/ | L_{A Makc | Нормат | гивные з | вначения | д , д Б (А) |
|--------|--------------|---------|-------------|--------|----------|----------|---------------------------|
| Тип ВС | ТИЯ | Взлет/ | , | Сан | ПиН | ГО | CT |
| | (день/ночь) | посадка | дБ(А) | День | Ночь | День | Ночь |
| 2 | 06:22 (ночь) | взлет | 61 | - | 60 | - | 65 |
| 3 | 06:56 (ночь) | взлет | 52 | - | 60 | - | 65 |
| A320 | | | 55-56 | | | | |
| 1 | 05:16 (ночь) | взлет | 55 | - | 60 | - | 65 |
| 2 | 05:53 (ночь) | взлет | 56 | - | 60 | - | 65 |
| A321 | | | 57-62 | | | | |
| 1 | 05:56 (ночь) | взлет | 62 | - | 60 | - | 65 |
| 2 | 06:30 (ночь) | взлет | 57 | - | 60 | - | 65 |
| B735 | | | 53 | | | | |
| 1 | 05:42 (ночь) | взлет | 53 | - | 60 | - | 65 |
| B738 | | | 56-59 | | | | |
| 1 | 05:05 (ночь) | взлет | - | - | 60 | - | 65 |
| 2 | 05:14 (ночь) | взлет | 56 | - | 60 | - | 65 |
| 3 | 06:11 (ночь) | взлет | 59 | _ | 60 | - | 65 |
| B73H | | | 63 | | | | |
| 1 | 06:06 (ночь) | взлет | 63 | - | 60 | - | 65 |

Таблица Б.23 — Результаты проведения мониторинга в точке №23 (пос. Стрельна, ул. Нижняя Колония)

| | Время собы- | D / | L_{A макс | Нормат | гивные з | значения | , д Б (А) | | | |
|------------------------|--------------|------------|-------------|--------|----------|----------|------------------|--|--|--|
| Тип ВС | ТИЯ | Взлет/ | , | Сан | ПиН | ГОСТ | | | | |
| | (день/ночь) | посадка | дБ(А) | День | Ночь | День | Ночь | | | |
| 24.04.2022 15:00-19:00 | | | | | | | | | | |
| A319 | | | 56-69 | | | | | | | |
| 1 | 15:13 (день) | взлет | 67 | 70 | - | 75 | - | | | |
| 2 | 16:04 (день) | взлет | 67 | 70 | - | 75 | - | | | |
| 3 | 16:16 (день) | взлет | 64 | 70 | - | 75 | - | | | |
| 4 | 16:18 (день) | взлет | 62 | 70 | - | 75 | - | | | |
| 5 | 16:26 (день) | взлет | 67 | 70 | - | 75 | - | | | |
| 6 | 16:28 (день) | взлет | 63 | 70 | - | 75 | - | | | |
| 7 | 16:33 (день) | взлет | 64 | 70 | - | 75 | - | | | |
| 8 | 16:45 (день) | взлет | 66 | 70 | - | 75 | - | | | |
| 9 | 16:51 (день) | взлет | 67 | 70 | - | 75 | - | | | |
| 10 | 17:03 (день) | взлет | 69 | 70 | - | 75 | - | | | |
| 11 | 17:49 (день) | взлет | 67 | 70 | _ | 75 | _ | | | |
| 12 | 18:02 (день) | взлет | 56 | 70 | | 75 | - | | | |
| 13 | 18:25 (день) | взлет | 68 | 70 | - | 75 | - | | | |
| 14 | 18:42 (день) | взлет | 67 | 70 | _ | 75 | | | | |

| | Время собы- | Do . / | L_{A макс | Нормат | гивные з | начения | , д Б (A) |
|--------|--------------|------------|-------------|--------|----------|---------|----------------------------------|
| Тип ВС | ТИЯ | Взлет/ | , | Сан | ПиН | ГО | CT |
| | (день/ночь) | посадка | дБ(А) | День | Ночь | День | Ночь |
| A320 | | | 59-69 | | | | |
| 1 | 15:36 (день) | взлет | 62 | 70 | - | 75 | - |
| 2 | 15:48 (день) | взлет | 69 | 70 | - | 75 | - |
| 3 | 16:39 (день) | взлет | 59 | 70 | ı | 75 | - |
| 4 | 17:50 (день) | взлет | 68 | 70 | ı | 75 | - |
| 5 | 18:07 (день) | взлет | 67 | 70 | - | 75 | - |
| 6 | 18:14 (день) | взлет | 69 | 70 | ı | 75 | - |
| A321 | | | 57-70 | | | | |
| 1 | 15:07 (день) | взлет | 67 | 70 | - | 75 | - |
| 2 | 15:59 (день) | взлет | 57 | 70 | - | 75 | - |
| 3 | 16:34 (день) | взлет | 70 | 70 | - | 75 | - |
| 4 | 18:18 (день) | взлет | 61 | 70 | - | 75 | - |
| B735 | | | 66-71 | | | | |
| 1 | 15:11 (день) | взлет | 69 | 70 | - | 75 | - |
| 2 | 16:00 (день) | взлет | 71 | 70 | - | 75 | - |
| 3 | 16:09 (день) | взлет | 66 | 70 | - | 75 | - |
| B738 | | | 66-70 | | | | |
| 1 | 15:03 (день) | взлет | 66 | 70 | - | 75 | - |
| 2 | 15:09 (день) | взлет | 68 | 70 | - | 75 | - |
| 3 | 17:39 (день) | взлет | 70 | 70 | - | 75 | - |
| B73H | | | 67-70 | | | | |
| 1 | 15:43 (день) | взлет | 70 | 70 | - | 75 | - |
| 2 | 17:20 (день) | взлет | 67 | 70 | - | 75 | - |
| | | 11.05.2022 | 23:00-0 | 1:00 | | | |
| A319 | | | 61-67 | | | | |
| 1 | 23:03 (ночь) | взлет | 62 | - | 60 | - | 65 |
| 2 | 23:07 (ночь) | взлет | 66 | - | 60 | - | 65 |
| 3 | 23:15 (ночь) | взлет | 63 | - | 60 | - | 65 |
| 4 | 23:32 (ночь) | взлет | 65 | - | 60 | - | 65 |
| 5 | 23:47 (ночь) | взлет | 66 | - | 60 | - | 65 |
| 6 | 00:02 (ночь) | взлет | 67 | - | 60 | - | 65 |
| 7 | 00:14 (ночь) | взлет | 61 | - | 60 | - | 65 |
| 8 | 00:16 (ночь) | взлет | 65 | - | 60 | - | 65 |
| 9 | 00:46 (ночь) | взлет | 67 | - | 60 | - | 65 |
| 10 | 00:55 (ночь) | взлет | - | - | 60 | - | 65 |
| 11 | 00:58 (ночь) | взлет | 64 | - | 60 | - | 65 |
| A320 | | | 64 | | | | _ |
| 1 | 23:40 (ночь) | взлет | 64 | - | 60 | - | 65 |
| A321 | | | 63 | | | | |

| Тип ВС | Время собы- | Взлет/ посадка | $L_{A_{ m Makc}}$ | Нормативные значения, дБ(А) | | | | |
|--------|--------------|-------------------|-------------------|-----------------------------|------|------|------|--|
| | ТИЯ | | , | СанПиН | | ГОСТ | | |
| | (день/ночь) | | дБ(А) | День | Ночь | День | Ночь | |
| 1 | 23:48 (ночь) | взлет | 63 | - | 60 | - | 65 | |
| B735 | | | 68 | | | | | |
| 1 | 23:35 (ночь) | взлет | 68 | - | 60 | - | 65 | |

Таблица Б.24 — Результаты проведения мониторинга в точке №24 (г. Петергоф, Озерковая ул., д. 39)

| T. D.C. | Время собы- | Взлет/ | $oldsymbol{L_{A	ext{Makc}}}$ | Нор | мативнь дБ(| | ния, |
|---------|--------------|------------|------------------------------|-------------|----------------|------|------|
| Тип ВС | ТИЯ | посадка | , E(A) | Сан | ПиН | ГО | CT |
| | (день/ночь) | | дБ(А) | День | Ночь | День | Ночь |
| | | 18.04.2022 | 15:00-19 | 00:00 | | | |
| A319 | | | 55 | | | | |
| 1 | 15:08 (день) | посадка | - | 70 | - | 75 | - |
| 2 | 16:20 (день) | посадка | - | 70 | - | 75 | - |
| 3 | 16:48 (день) | посадка | 55 | 70 | - | 75 | - |
| 4 | 16:53 (день) | посадка | - | 70 | - | 75 | - |
| 5 | 16:57 (день) | посадка | _ | 70 | _ | 75 | - |
| 6 | 18:02 (день) | посадка | 55 | 70 | _ | 75 | |
| 7 | 18:20 (день) | посадка | - | 70 | - | 75 | - |
| A320 | , , , | | 50 | | | | |
| 1 | 15:18 (день) | посадка | - | 70 | - | 75 | - |
| 2 | 15:28 (день) | посадка | 50 | 70 | - | 75 | - |
| 3 | 16:29 (день) | посадка | - | 70 | - | 75 | - |
| 4 | 17:16 (день) | посадка | - | 70 | - | 75 | - |
| 5 | 18:56 (день) | посадка | - | 70 | - | 75 | - |
| A321 | , , , | | 52-57 | | | | |
| 1 | 16:31 (день) | посадка | - | 70 | - | 75 | - |
| 2 | 16:58 (день) | посадка | 52 | 70 | - | 75 | - |
| 3 | 17:36 (день) | посадка | - | 70 | - | 75 | - |
| 4 | 18:26 (день) | посадка | 57 | 70 | - | 75 | - |
| B735 | | | - | | | | |
| 1 | 16:01 (день) | посадка | - | 70 | - | 75 | - |
| 2 | 18:09 (день) | посадка | - | 70 | - | 75 | - |
| В73Н | | | 50-51 | | | | |
| 1 | 15:27 (день) | посадка | 51 | 70 | _ | 75 | _ |
| 2 | 15:45 (день) | посадка | - | 70 | - | 75 | - |
| 3 | 18:47 (день) | посадка | 50 | 70 | - | 75 | - |
| | | 04.05.2022 | 05:00-07 | ':00 | | | |
| A319 | | | 46-72 | | | | |

| T DC | Время собы- | Взлет/ | $oldsymbol{L_{A	ext{Makc}}}$ | Нор | мативнь дБ(| | ния, |
|--------|--------------|------------|------------------------------|-------------|----------------|------|------|
| Тип ВС | ТИЯ | посадка | , -E(A) | Сан | ПиН | ГОСТ | |
| | (день/ночь) | | дБ(А) | День | Ночь | День | Ночь |
| 1 | 05:23 (ночь) | посадка | 46 | - | 60 | - | 65 |
| 2 | 05:38 (ночь) | посадка | 46 | - | 60 | - | 65 |
| 3 | 05:42 (ночь) | посадка | 61 | - | 60 | - | 65 |
| 4 | 05:53 (ночь) | посадка | 47 | - | 60 | - | 65 |
| 5 | 05:59 (ночь) | посадка | 59 | - | 60 | - | 65 |
| 6 | 06:06 (ночь) | посадка | 70 | - | 60 | - | 65 |
| 7 | 06:12 (ночь) | посадка | 72 | - | 60 | - | 65 |
| 8 | 06:18 (ночь) | посадка | 66 | - | 60 | - | 65 |
| 9 | 06:22 (ночь) | посадка | 58 | - | 60 | - | 65 |
| 10 | 06:25 (ночь) | посадка | 63 | - | 60 | - | 65 |
| 11 | 06:37 (ночь) | посадка | 69 | - | 60 | - | 65 |
| 12 | 06:41 (ночь) | посадка | 71 | - | 60 | - | 65 |
| 13 | 06:57 (ночь) | посадка | 70 | - | 60 | =. | 65 |
| A320 | | | 69 | | | | |
| 1 | 06:15 (ночь) | посадка | - | - | 60 | - | 65 |
| 2 | 07:00 (ночь) | посадка | 69 | - | 60 | - | 65 |
| B735 | | | - | | | | |
| 1 | 06:55 (ночь) | посадка | - | - | 60 | - | 65 |
| | | 28.04.2022 | 05:00-07 | 7:00 | | | |
| A319 | | | 54 | | | | |
| 1 | 05:24 (ночь) | взлет | - | - | 60 | - | 65 |
| 2 | 06:22 (ночь) | взлет | 54 | - | 60 | _ | 65 |
| 3 | 06:56 (ночь) | взлет | - | - | 60 | - | 65 |
| A320 | | | 48 | | | | |
| 1 | 05:16 (ночь) | взлет | - | - | 60 | - | 65 |
| 2 | 05:53 (ночь) | взлет | 48 | - | 60 | - | 65 |
| A321 | | | 52-54 | | | | |
| 1 | 05:56 (ночь) | взлет | 52 | - | 60 | _ | 65 |
| 2 | 06:30 (ночь) | взлет | 54 | - | 60 | _ | 65 |
| B735 | | | 48 | | | | |
| 1 | 05:42 (ночь) | взлет | 48 | - | 60 | | 65 |
| B738 | | | 49-51 | | | | |
| 1 | 05:05 (ночь) | взлет | - | - | 60 | - | 65 |
| 2 | 05:14 (ночь) | взлет | 49 | - | 60 | - | 65 |
| 3 | 06:11 (ночь) | взлет | 51 | - | 60 | - | 65 |
| В73Н | | | 54 | | | | |
| 1 | 06:06 (ночь) | взлет | 54 | - | 60 | - | 65 |

Таблица Б.25 — Результаты проведения мониторинга в точке №25 (пос. Стрельна, ж/д станция «Стрельна»)

| | Время собы- | D / | $oldsymbol{L_{A	ext{Makc}}}$ | Нормат | гивные з | начения | і, дБ(А) |
|--------|--------------|------------|------------------------------|--------|----------|---------|-----------------|
| Тип ВС | ТИЯ | Взлет/ | , | Сан | ПиН | ГО | CT |
| | (день/ночь) | посадка | дБ(А) | День | Ночь | День | Ночь |
| | | 24.04.2022 | 15:00-1 | 9:00 | | | |
| A319 | | | 63-69 | | | | |
| 1 | 15:13 (день) | взлет | 68 | 70 | - | 75 | - |
| 2 | 16:04 (день) | взлет | 66 | 70 | - | 75 | - |
| 3 | 16:16 (день) | взлет | 63 | 70 | - | 75 | - |
| 4 | 16:18 (день) | взлет | 63 | 70 | - | 75 | - |
| 5 | 16:26 (день) | взлет | 68 | 70 | - | 75 | - |
| 6 | 16:28 (день) | взлет | 69 | 70 | - | 75 | - |
| 7 | 16:33 (день) | взлет | 67 | 70 | - | 75 | - |
| 8 | 16:45 (день) | взлет | 65 | 70 | _ | 75 | - |
| 9 | 16:51 (день) | взлет | 66 | 70 | | 75 | |
| 10 | 17:03 (день) | взлет | 67 | 70 | - | 75 | _ |
| 11 | 17:49 (день) | взлет | 67 | 70 | - | 75 | - |
| 12 | 18:02 (день) | взлет | 60 | 70 | - | 75 | - |
| 13 | 18:25 (день) | взлет | 68 | 70 | - | 75 | - |
| 14 | 18:42 (день) | взлет | 68 | 70 | - | 75 | - |
| A320 | | | 65-70 | | | | |
| 1 | 15:36 (день) | взлет | 65 | 70 | - | 75 | - |
| 2 | 15:48 (день) | взлет | 68 | 70 | - | 75 | - |
| 3 | 16:39 (день) | взлет | 58 | 70 | - | 75 | - |
| 4 | 17:50 (день) | взлет | 67 | 70 | - | 75 | - |
| 5 | 18:07 (день) | взлет | 70 | 70 | - | 75 | - |
| 6 | 18:14 (день) | взлет | 65 | 70 | - | 75 | - |
| A321 | | | 60-67 | | | | |
| 1 | 15:07 (день) | взлет | 67 | 70 | - | 75 | - |
| 2 | 15:59 (день) | взлет | 60 | 70 | - | 75 | _ |
| 3 | 16:34 (день) | взлет | 67 | 70 | - | 75 | |
| 4 | 18:18 (день) | взлет | 64 | 70 | - | 75 | - |
| B735 | | | 68 | | | | |
| 1 | 15:11 (день) | взлет | 68 | 70 | - | 75 | - |
| 2 | 16:00 (день) | взлет | 68 | 70 | - | 75 | - |
| 3 | 16:09 (день) | взлет | 68 | 70 | - | 75 | - |
| B738 | | | 65-69 | | | | |
| 1 | 15:03 (день) | взлет | 65 | 70 | - | 75 | - |
| 2 | 15:09 (день) | взлет | 67 | 70 | - | 75 | - |
| 3 | 17:39 (день) | взлет | 69 | 70 | - | 75 | - |

| | Время собы- | D / | L_{A макс | Нормат | гивные з | начения | , д Б (A) | | | |
|--------|------------------------|---------|-------------|--------|----------|---------|-------------------------|--|--|--|
| Тип ВС | ТИЯ | Взлет/ | , | Сан | ПиН | ГО | CT | | | |
| | (день/ночь) | посадка | дБ(А) | День | Ночь | День | Ночь | | | |
| В73Н | | | 67-68 | | | | | | | |
| 1 | 15:43 (день) | взлет | 67 | 70 | - | 75 | - | | | |
| 2 | 17:20 (день) | взлет | 68 | 70 | - | 75 | - | | | |
| | 11.05.2022 23:00-01:00 | | | | | | | | | |
| A319 | | | 54-65 | | | | | | | |
| 1 | 23:03 (ночь) | взлет | 60 | - | 60 | - | 65 | | | |
| 2 | 23:07 (ночь) | взлет | 63 | - | 60 | - | 65 | | | |
| 3 | 23:15 (ночь) | взлет | 60 | - | 60 | - | 65 | | | |
| 4 | 23:32 (ночь) | взлет | 61 | - | 60 | - | 65 | | | |
| 5 | 23:47 (ночь) | взлет | 60 | - | 60 | - | 65 | | | |
| 6 | 00:02 (ночь) | взлет | 62 | - | 60 | - | 65 | | | |
| 7 | 00:14 (ночь) | взлет | 54 | - | 60 | - | 65 | | | |
| 8 | 00:16 (ночь) | взлет | 65 | - | 60 | - | 65 | | | |
| 9 | 00:46 (ночь) | взлет | 63 | - | 60 | - | 65 | | | |
| 10 | 00:55 (ночь) | взлет | - | - | 60 | - | 65 | | | |
| 11 | 00:58 (ночь) | взлет | 65 | - | 60 | - | 65 | | | |
| A320 | | | 56 | | | | | | | |
| 1 | 23:40 (ночь) | взлет | 56 | - | 60 | - | 65 | | | |
| A321 | | | 59 | | | | | | | |
| 1 | 23:48 (ночь) | взлет | 59 | - | 60 | - | 65 | | | |
| B735 | | | 58 | | | | | | | |
| 1 | 23:35 (ночь) | взлет | 58 | - | 60 | - | 65 | | | |

Таблица Б.26 — Результаты проведения мониторинга в точке №26 (г. Петергоф, ул. Шахматова, д. 2к2)

| | Время собы- | D/ | L_{A макс | Нормативные значения, дБ(А) | | | | | | |
|------------------------|--------------|---------|-------------|-----------------------------|------|------|------|--|--|--|
| Тип ВС | тия | Взлет/ | , | Сан | ПиН | ГОСТ | | | | |
| | (день/ночь) | посадка | дБ(А) | День | Ночь | День | Ночь | | | |
| 18.04.2022 15:00-19:00 | | | | | | | | | | |
| A319 | | | 39-51 | | | | | | | |
| 1 | 15:08 (день) | посадка | - | 70 | - | 75 | - | | | |
| 2 | 16:20 (день) | посадка | 39 | 70 | - | 75 | - | | | |
| 3 | 16:48 (день) | посадка | 51 | 70 | - | 75 | - | | | |
| 4 | 16:53 (день) | посадка | 44 | 70 | - | 75 | - | | | |
| 5 | 16:57 (день) | посадка | - | 70 | - | 75 | - | | | |
| 6 | 18:02 (день) | посадка | 51 | 70 | - | 75 | - | | | |
| 7 | 18:20 (день) | посадка | 41 | 70 | - | 75 | - | | | |
| A320 | | | 40-48 | | | | | | | |

| | Время собы- | D / | L_{A} макс | Норма | тивные з | значени | я, дБ(А) |
|--------|--------------|------------|--------------|-------|----------|---------|----------|
| Тип ВС | ТИЯ | Взлет/ | , | Сан | ПиН | ГС | OCT |
| | (день/ночь) | посадка | дБ(А) | День | Ночь | День | Ночь |
| 1 | 15:18 (день) | посадка | - | 70 | - | 75 | - |
| 2 | 15:28 (день) | посадка | 40 | 70 | - | 75 | - |
| 3 | 16:29 (день) | посадка | 48 | 70 | - | 75 | - |
| 4 | 17:16 (день) | посадка | - | 70 | - | 75 | - |
| 5 | 18:56 (день) | посадка | 47 | 70 | - | 75 | - |
| A321 | | | 40-47 | | | | |
| 1 | 16:31 (день) | посадка | - | 70 | - | 75 | - |
| 2 | 16:58 (день) | посадка | 47 | 70 | - | 75 | - |
| 3 | 17:36 (день) | посадка | 42 | 70 | - | 75 | - |
| 4 | 18:26 (день) | посадка | 40 | 70 | - | 75 | - |
| B735 | | | 42-46 | | | | |
| 1 | 16:01 (день) | посадка | 42 | 70 | - | 75 | - |
| 2 | 18:09 (день) | посадка | 46 | 70 | - | 75 | - |
| В73Н | | | 40-51 | | | | |
| 1 | 15:27 (день) | посадка | 41 | 70 | - | 75 | - |
| 2 | 15:45 (день) | посадка | 40 | 70 | - | 75 | - |
| 3 | 18:47 (день) | посадка | 51 | 70 | - | 75 | - |
| | | 04.05.2022 | 2 05:00-0 | 7:00 | | | |
| A319 | | | 46-74 | | | | |
| 1 | 05:23 (ночь) | посадка | 48 | - | 60 | - | 65 |
| 2 | 05:38 (ночь) | посадка | 46 | - | 60 | - | 65 |
| 3 | 05:42 (ночь) | посадка | 64 | - | 60 | - | 65 |
| 4 | 05:53 (ночь) | посадка | 49 | - | 60 | - | 65 |
| 5 | 05:59 (ночь) | посадка | 67 | - | 60 | - | 65 |
| 6 | 06:06 (ночь) | посадка | 55 | - | 60 | - | 65 |
| 7 | 06:12 (ночь) | посадка | 54 | - | 60 | - | 65 |
| 8 | 06:18 (ночь) | посадка | 59 | - | 60 | - | 65 |
| 9 | 06:22 (ночь) | посадка | 74 | ı | 60 | - | 65 |
| 10 | 06:25 (ночь) | посадка | 70 | - | 60 | - | 65 |
| 11 | 06:37 (ночь) | посадка | 55 | - | 60 | _ | 65 |
| 12 | 06:41 (ночь) | посадка | 57 | - | 60 | - | 65 |
| 13 | 06:57 (ночь) | посадка | 58 | _ | 60 | _ | 65 |
| A320 | | | 57 | | | | |
| 1 | 06:15 (ночь) | посадка | _ | - | 60 | - | 65 |
| 2 | 07:00 (ночь) | посадка | 57 | - | 60 | - | 65 |
| B735 | | | - | | | | |
| 1 | 06:55 (ночь) | посадка | _ | | 60 | - | 65 |
| | | 28.04.2022 | 2 05:00-0 | 7:00 | | | |
| A319 | | | 50 | | | | |
| 1 | 05:24 (ночь) | взлет | - | | 60 | _ | 65 |

| Тип ВС | Время собы- тия | Взлет/ посадка | L_{A макс | Нормативные значения, дБ(А) | | | | |
|--------|--------------------|-------------------|-------------|-----------------------------|------|------|------|--|
| | | | , | СанПиН | | ГОСТ | | |
| | (день/ночь) | | дБ(А) | День | Ночь | День | Ночь | |
| 2 | 06:22 (ночь) | взлет | 50 | _ | 60 | - | 65 | |
| 3 | 06:56 (ночь) | взлет | - | - | 60 | - | 65 | |
| A320 | | | 50 | | | | | |
| 1 | 05:16 (ночь) | взлет | - | - | 60 | - | 65 | |
| 2 | 05:53 (ночь) | взлет | 50 | - | 60 | - | 65 | |
| A321 | | | 47-50 | | | | | |
| 1 | 05:56 (ночь) | взлет | 50 | - | 60 | - | 65 | |
| 2 | 06:30 (ночь) | взлет | 47 | - | 60 | - | 65 | |
| B735 | | | 47 | | | | | |
| 1 | 05:42 (ночь) | взлет | 47 | - | 60 | - | 65 | |
| B738 | | | 47 | | | | | |
| 1 | 05:05 (ночь) | взлет | - | - | 60 | - | 65 | |
| 2 | 05:14 (ночь) | взлет | | | 60 | | 65 | |
| 3 | 06:11 (ночь) | взлет | 47 | - | 60 | - | 65 | |
| В73Н | | | 51 | | | | | |
| 1 | 06:06 (ночь) | взлет | 51 | - | 60 | - | 65 | |

Таблица Б.26 — Результаты проведения мониторинга в точке №26 (г. Петергоф, ул. Шахматова, д. 2к2)

| Тип ВС | Время собы- тия | Взлет/ посадка | L_{A макс | Нормативные значения, дБ(А) | | | | |
|------------------------|--------------------|-------------------|-------------|-----------------------------|------|------|------|--|
| | | | , | СН | | ГОСТ | | |
| | (день/ночь) | | дБ(А) | День | Ночь | День | Ночь | |
| 24.04.2022 15:00-19:00 | | | | | | | | |
| A319 | | | 51-63 | | | | | |
| 1 | 15:13 (день) | взлет | 60 | 70 | - | 75 | - | |
| 2 | 16:04 (день) | взлет | 55 | 70 | - | 75 | - | |
| 3 | 16:16 (день) | взлет | 52 | 70 | - | 75 | - | |
| 4 | 16:18 (день) | взлет | 63 | 70 | - | 75 | - | |
| 5 | 16:26 (день) | взлет | 51 | 70 | - | 75 | - | |
| 6 | 16:28 (день) | взлет | 58 | 70 | - | 75 | - | |
| 7 | 16:33 (день) | взлет | 63 | 70 | - | 75 | - | |
| 8 | 16:45 (день) | взлет | 54 | 70 | - | 75 | - | |
| 9 | 16:51 (день) | взлет | 57 | 70 | - | 75 | - | |
| 10 | 17:03 (день) | взлет | - | 70 | - | 75 | - | |
| 11 | 17:49 (день) | взлет | 56 | 70 | _ | 75 | - | |
| 12 | 18:02 (день) | взлет | _ | 70 | - | 75 | - | |
| 13 | 18:25 (день) | взлет | 55 | 70 | - | 75 | - | |
| 14 | 18:42 (день) | взлет | 56 | 70 | | 75 | - | |

| Тип ВС | Время собы- тия | Взлет/ | $L_{A_{ m MAKC}}$ | Нормативные значения, дБ(А) | | | | |
|--------|--------------------|------------|-------------------|-----------------------------|------|------|------|--|
| | | | | СН | | ГОСТ | | |
| | (день/ночь) | посадка | дБ(А) | День | Ночь | День | Ночь | |
| A320 | | | 54-62 | | | | | |
| 1 | 15:36 (день) | взлет | - | 70 | - | 75 | - | |
| 2 | 15:48 (день) | взлет | 62 | 70 | - | 75 | - | |
| 3 | 16:39 (день) | взлет | - | 70 | - | 75 | - | |
| 4 | 17:50 (день) | взлет | 54 | 70 | - | 75 | - | |
| 5 | 18:07 (день) | взлет | 59 | 70 | - | 75 | - | |
| 6 | 18:14 (день) | взлет | 58 | 70 | - | 75 | - | |
| A321 | | | 51-56 | | | | | |
| 1 | 15:07 (день) | взлет | 56 | 70 | - | 75 | - | |
| 2 | 15:59 (день) | взлет | 50 | 70 | - | 75 | - | |
| 3 | 16:34 (день) | взлет | - | 70 | - | 75 | - | |
| 4 | 18:18 (день) | взлет | 52 | 70 | - | 75 | - | |
| B735 | | | 62 | | | | | |
| 1 | 15:11 (день) | взлет | 62 | 70 | - | 75 | - | |
| 2 | 16:00 (день) | взлет | - | 70 | - | 75 | - | |
| 3 | 16:09 (день) | взлет | - | 70 | - | 75 | - | |
| B738 | | | 56-62 | | | | | |
| 1 | 15:03 (день) | взлет | 58 | 70 | - | 75 | - | |
| 2 | 15:09 (день) | взлет | 56 | 70 | - | 75 | - | |
| 3 | 17:39 (день) | взлет | 62 | 70 | - | 75 | - | |
| B73H | | | 51-59 | | | | | |
| 1 | 15:43 (день) | взлет | 51 | 70 | - | 75 | - | |
| 2 | 17:20 (день) | взлет | 59 | 70 | - | 75 | - | |
| | | 11.05.2022 | 23:00-0 | 1:00 | | | | |
| A319 | | | 50-64 | | | | | |
| 1 | 23:03 (ночь) | взлет | 56 | - | 60 | - | 65 | |
| 2 | 23:07 (ночь) | взлет | 50 | - | 60 | - | 65 | |
| 3 | 23:15 (ночь) | взлет | 49 | - | 60 | - | 65 | |
| 4 | 23:32 (ночь) | взлет | 52 | - | 60 | - | 65 | |
| 5 | 23:47 (ночь) | взлет | 57 | - | 60 | - | 65 | |
| 6 | 00:02 (ночь) | взлет | 56 | - | 60 | - | 65 | |
| 7 | 00:14 (ночь) | взлет | 44 | - | 60 | - | 65 | |
| 8 | 00:16 (ночь) | взлет | 45 | - | 60 | - | 65 | |
| 9 | 00:46 (ночь) | взлет | 64 | - | 60 | - | 65 | |
| 10 | 00:55 (ночь) | взлет | - | - | 60 | - | 65 | |
| 11 | 00:58 (ночь) | взлет | 44 | - | 60 | - | 65 | |
| A320 | | | 40 | | | | _ | |
| 1 | 23:40 (ночь) | взлет | 40 | - | 60 | - | 65 | |
| A321 | | | 45 | | | | | |

ПРИЛОЖЕНИЕ В. Акты внедрения



ОБЩЕСТВО С ОГРАНИЧЕННОЙ ОТВЕТСТВЕННОСТЬЮ «ВОЗДУШНЫЕ ВОРОТА СЕВЕРНОЙ СТОЛИЦЫ» (ООО «ВОЗДУШНЫЕ ВОРОТА СЕВЕРНОЙ СТОЛИЦЫ») ю/а и п/а Пулковское ш., д. 41, литера ЗИ, Санкт-Петербург, Россия,

196140
Тел.: (812) 331-49-33, т/ф: (812) 331-47-48
http://www.pulkovoairport.ru
e-mail: office@pulkovo-airport.com
ОГРН 1067746535944
ИНН/КПП 7703590927/785150001/781001001
p/c 40702810015000004412

Ф. ОПЕРУ Банка ВТБ (ПАО) в г. Санкт-Петербурге г. Санкт-Петербург БИК044030704 к/с 30101810200000000704 в Северо-Западном ГУ Банка России

№ ot УТВЕРЖДАЮ

Руководитель группы охраны окружающей среды ООО «Воздушные Ворота Северной

Столицы»

ухаметшина Э.Р.

2024 г.

АКТ

NYAKOBO

KT-Derephy

о внедрении результатов диссертационной работы на соискание ученой степени кандидата технических наук Фиева К.П.

Результаты диссертационной работы «Оценка и снижение авиационного шума вблизи аэропортов» соискателя ученой степени кандидата технических наук Фиева К.П. использованы при выполнении работ по разработке и внедрению методики измерения авиационного шума, учитывающей влияние отклонения воздушных судов от стандартных маршрутов взлёта на шумовые контуры.

По рекомендации автора была проведена апробация предложенной методики, позволившей оценить вклад воздушных судов, отклонившихся от стандартных маршрутов взлёта, в шумовую нагрузку на селитебную территорию и разработать мероприятия по снижению воздействия авиационного шума на селитебную территорию.

Новизна подхода и методики, применённой в диссертационной работе, позволяет оператору аэропорта проводить статистический анализ по типам воздушных судов, создающих наибольшее звуковое давление и оказывающих шумовое воздействие на селитебную территорию, при отклонении от стандартных маршрутов взлёта, и требовать от авиакомпаний, чьи воздушные суда допускают такие отклонения, разработать и внедрить шумозащитные мероприятия эксплуатационного и процедурного характера, для соблюдения установленных санитарно-гигиенических нормативов.

Unxenep

На №

y kpanubuar T.A.

«УТВЕРЖДАЮ»

Помощник и.о. ректора по научной работе и инновационному развитию ФГБОУ ВО

> БГТУ «BOTTMEX» Д.Ф. Устинова

> > т.и., допент

«УТВЕРЖДАЮ» Генеральный директор ООО «ПКФ Цифровые Приборы»

Ю.В. Куриленко

2024 г.

внедрения результатов диссертационной работы на соискание ученой степени кандидата технических наук Фиева К.П.

Комиссия в составе генерального директора Куриленко Ю.В. и руководителя метрологической службы Воронкова А.А. составили настоящий акт о том, что результаты диссертационной работы «Контроль, оценка и снижение авиационного шума вблизи аэропортов» соискателя ученой степени кандидата технических наук Фиева К.П. (научная специальность 1.3.7 - Акустика), использованы при разработке и внедрении методики мониторинга авиационного шума измерительными станциями производства ООО «ПКФ Цифровые приборы», которая позволяет учитывать влияние отклонения воздушных судов от стандартных маршрутов взлёта на создаваемую акустическую нагрузку на селитебную территорию.

Разработанные в диссертационной работе Фиева К.П. рекомендации внедрены в процедуры измерения авиационного шума вблизи аэропортов станциями мониторинга производства ООО «ПКФ Цифровые приборы».

От ФГБОУ ВО БГТУ «ВОЕНМЕХ» им. Д.Ф. Устинова

Старший преподаватель кафедры Е5 «Экология и производственная безопасность»

К.П. Фиев

От ООО «ПКФ Цифровые Приборы»

Генеральный директор

Ю.В. Куриленко

Руководитель метрологической службы

А.А. Воронков